



## รายงานวิจัยฉบับสมบูรณ์

### โครงการ

การวิเคราะห์รูปแบบการแสดงออกของยีนในกั้งตึกแต่นหางจุด  
(*Harpiosquilla raphidea*) ด้วยเทคโนโลยี Next Generation Sequencing  
Differential gene expression profiles study in  
*Harpiosquilla raphidea* by next generation sequencing technique

### ผู้วิจัย

รชนิมุข หรัญสัจจาเลิศ, ศรีภาพรณ ราษณะรถ, พัชรี โยคิมูล,  
ณรงค์ศักดิ์ พ่วงลาภ และ นายสราวุธ วงศ์พยัคฆ์

โครงการวิจัยประเภทบประมาณเงินรายได้  
จากเงินอุดหนุนรัฐบาล (งบประมาณแผ่นดิน)  
ประจำปีงบประมาณ พ.ศ. 2560

รหัสโครงการ 2560A10802243

สัญญาเลขที่ 10/2560

## รายงานวิจัยฉบับสมบูรณ์

### โครงการ

การวิเคราะห์รูปแบบการแสดงออกของยีนในกั้งตึกแต่นหางจุด (*Harpiosquilla raphidea*) ด้วยเทคโนโลยี Next Generation Sequencing  
Differential gene expression profiles study in  
*Harpiosquilla raphidea* by next generation sequencing technique

### ผู้วิจัย

#### หัวหน้าโครงการวิจัย

นางชนินุช ทรัพย์สัจจาเลิศ คณะเทคโนโลยีทางทะเล มหาวิทยาลัยบูรพา (60%)

#### ผู้ร่วมโครงการวิจัย

นางศรีภาพรรณ ธรรมนารถ	คณะเทคโนโลยีทางทะเล มหาวิทยาลัยบูรพา วิทยาเขตจันทบุรี (10%)
นางสาวพัชรี โยคิมูล	ศูนย์พันธุวิศวกรรมและเทคโนโลยีชีวภาพแห่งชาติ (30%)
ดร.ณรงค์ศักดิ์ พ่วงลาก	ศูนย์พันธุวิศวกรรมและเทคโนโลยีชีวภาพแห่งชาติ (ที่ปรึกษา)
นายสราวุธ วงศ์พยัคฆ์	บริษัท วิชูโอล ไบโอเมดิคอล (ไทยแลนด์) จำกัด (ที่ปรึกษา)

## บทคัดย่อ

การศึกษาครั้งนี้ มีวัตถุประสงค์เพื่อวิเคราะห์ข้อมูลการแสดงออกของยีนในเลือดและรังไข่ของกั้งตักแตนหางจุด (*Harpisquilla raphidea*) ด้วยเทคโนโลยีชีวสารสนเทศ และเทคนิคเอ็นจีเอส (Next Generation Sequencing) โดยเริ่มจากการสร้างข้อมูลลำดับนิวคลีโอไทด์จากเครื่อง Illumina และทำการรวมนิวคลีโอไทด์สายสั้น (reads) เป็นลำดับนิวคลีโอไทด์ของแต่ละยีน (transcripts) ด้วยวิธีการวิเคราะห์ลำดับเบสในระดับตราศริปโตมโดยปราศจากจีโนมอ้างอิง ผ่านโปรแกรม Trinity ได้ทั้งหมด 93,344 เส้น ที่ถูกประเมินค่าการแสดงออกของแต่ละชุดลำดับนิวคลีโอไทด์ในเลือดของกั้งตักแตนหางจุด ในสภาวะที่ได้รับเชื้อ *Vibrio parahemolyticus* โดยการนิดเข้าตัวอย่างเป็นเวลา 24 ชั่วโมง และสภาวะปกติ โดยอยู่ในรูปของค่า FPKM (Frackments Per Kilobase of target transcript length per Million reads mapped) และเลือกชุดลำดับนิวคลีโอไทด์ที่มีค่าการแสดงออกที่แตกต่างกันได้ 214 เส้น และแบ่งลักษณะการแสดงออกได้เป็น 4 กลุ่มหลัก คือกลุ่มที่มีการแสดงออกลดลง (กลุ่มที่ 1/1 และ 2/1) และกลุ่มที่มีการแสดงออกสูงขึ้น (กลุ่มที่ 1/2 และ 2/2) เพื่อนำไประบุหน้าที่ในแต่ละกลุ่มโดยผ่านโปรแกรม Blast2go โดยพบยีนที่มีความเกี่ยวข้องในระบบภูมิคุ้มกันของกั้งตักแตนหางจุดที่สำคัญดังนี้ histone H1-delta-like มีบทบาทเกี่ยวข้องกับระบบภูมิคุ้มกันแบบไม่จำเพาะของสัตว์ไม่มีกระดูกสันหลัง และเชื่อม DNA ให้อยู่ร่วงห่วง nucleosomes กับ compact chromatin, cyclooxygenases เป็นตัวกรรตุนให้เกิดการเปลี่ยน arachidonic acid เป็นฮอร์โมน prostaglandins, 5-aminolevulinate erythroid-mitochondrial มีบทบาทในการสร้างเม็ด และ cytochrome, electron transfer flavo-ubiquinone mitochondrial มีบทบาทในการขับออกอิเล็กตรอนไปสู่ ubiquinone pool และยีน CCR4-NOT transcription complex subunit 7 isoform X1 มีบทบาทในการควบคุมระดับการแสดงออกของยีนโดยกระบวนการ ubiquitination และ deadenylation ส่วนในรังไข่ของกั้งตักแตน พบยีนที่เกี่ยวข้องกับการพัฒนารังไข่ในครัสเตเชียน เช่น Vitellogenin, Estrogen related receptor, retinoid-X receptor 2, hepatocyte nuclear factor 4-alpha-like, ecdysone receptor, nuclear receptor subfamily 2 group F member 1-A-like และ putative nuclear hormone receptor เป็นต้น จากการศึกษาในครั้งนี้ ทำให้ได้ข้อมูลพื้นฐานในการศึกษายีนที่เกี่ยวข้องกับระบบภูมิคุ้มกันและการพัฒนารังไข่ในกั้งตักแตนหางจุด และทราบถึงแนวทางการศึกษากลไกสำคัญเกี่ยวกับระบบภูมิคุ้มกันและการสร้างเซลล์ไข่ เพื่อเป็นประโยชน์ในการพัฒนาการเพาะเลี้ยง และอนุบาลกั้งตักแตนหางจุดในเชิงพาณิชย์ได้

**คำสำคัญ :** กั้งตักแตนหางจุด / เอ็นจีเอส / RNA-seq / การวิเคราะห์ลำดับเบสในระดับตราศริปโตมโดยปราศจากจีโนมอ้างอิง

## Abstract

This study aims to determine gene expression analysis in hemocyte and ovaries of *Harpisquilla raphidea* by using bioinformatics technology and Next Generation Sequencing (NGS) technique. RNA-seq data was built by Illumina platform while the reads were assembled to the transcripts by using *De novo* transcriptome assembly in the Trinity software. The total 93,344 transcripts were estimated the expression of each transcript in the hemocyte of *H. raphidea* (both infected by *Vibrio parahemolyticus* for 24 hours and normal condition) in terms of FPKM (Frackments Per Kilobase of target transcript length per Million reads mapped). The 214 differential expression of transcripts were classified into 4 clusters, i.e., down regulated expression levels (cluster 1/1 and 2/1) and up regulated expression levels (cluster 1/2 and 2/2). Clusters were further functional and annotation analyzed by using Blast2go software. The important genes that relevant in the immune system of *H. raphidea* were found this study. These included histone H1-delta-like (which played important roles in innate immune system as well as linked DNA to be in the middle of nucleosomes and compact chromatin), Cyclooxygenases (which played an important role in catalyst arachidonic acid into prostaglandins), 5-aminolevulinic erythroid-mitochondrial (which played important roles in produced heme and cytochrome), Electron transfer flavo-ubiquinone mitochondrial (which played an important role in the mechanism of electron transfer to ubiquinone pool) and CCR4-NOT transcription complex subunit 7 isoform X1 gene (which played an important role in gene expression level regulations by ubiquitination and deadenylation process). In *H. raphidea* ovaries, the numbers of transcripts involving to ovarian development were found, i.e., Vitellogenin, Estrogen related receptor, retinoid-X receptor 2, hepatocyte nuclear factor 4-alpha-like, ecdysone receptor, nuclear receptor subfamily 2 group F member 1-A-like and putative nuclear hormone receptor. The basic information in *H. raphidea* was investigated from this study which will be the guidance for further study about the importance process in the immune and female maturation systems of *H. raphidea*. These will be the useful information for commercial culture of *H. raphidea* in the future.

**Keyword:** *Harpisquilla raphidea/ NGS/ RNA-seq/ de novo TRANSCRIPTOME ASSEMBLY*

## กิตติกรรมประกาศ

งานวิจัยเรื่อง การวิเคราะห์รูปแบบการแสดงออกของยีนในกั้งตักแคนหางจุด (*Harpiosquilla raphidea*) ด้วยเทคโนโลยี Next Generation Sequencing ได้ผลงานวิจัยที่เป็นประโยชน์อย่างยิ่งต่อความเข้าใจด้านกลไกของร่างกายในการตอบสนองต่อเชื้อแบคทีเรียและชีววิทยาการสืบพันธุ์ของกั้งตักแคนหางจุด ซึ่งเป็นสัตว์เศรษฐกิจที่กำลังเป็นที่ต้องการของตลาดทั้งในและต่างประเทศ งานวิจัยนี้ได้รับทุนสนับสนุนการวิจัยจากบประมาณเงินรายได้จากเงินอุดหนุนรัฐบาล (งบประมาณแผ่นดิน) ประจำปีงบประมาณ พ.ศ. 2560 มหาวิทยาลัยบูรพา ผ่านสำนักงานคณะกรรมการการวิจัยแห่งชาติ เลขที่ สัญญา 10/2560

ขอขอบคุณ คณะเทคโนโลยีทางทะเล มหาวิทยาลัยบูรพา วิทยาเขตจันทบุรี และห้องปฏิบัติการเทคโนโลยีชีวภาพทางทะเล ศูนย์พันธุวิศวกรรมและเทคโนโลยีชีวภาพแห่งชาติ สำนักงานพัฒนาวิทยาศาสตร์และเทคโนโลยีแห่งชาติ (สวทช.) ตลอดจนเจ้าหน้าที่ผู้เกี่ยวข้องที่ได้อำนวยความสะดวก และให้ความช่วยเหลือในการทำวิจัย

ขอขอบพระคุณ ดร.ณรงค์ศักดิ์ พ่วงลาภ นักวิจัยในห้องปฏิบัติการเทคโนโลยีชีวภาพทางทะเล และ ดร.สรวิศ พ่orthongศุข หัวหน้าห้องปฏิบัติการเทคโนโลยีชีวภาพทางทะเล ที่ช่วยผลักดันและสนับสนุนการทำงานวิจัยครั้งนี้ ขอขอบคุณ นายสราวุธ วงศ์พยัคฆ์ บริษัท วิชูโอ ไบโอมเดคอล (ไทยแลนด์) จำกัด สำหรับความช่วยเหลือต่างๆ ตลอดงานวิจัยครั้งนี้

มกราคม 2562

## สารบัญ

บทคัดย่อภาษาไทย.....	ก
บทคัดย่อภาษาอังกฤษ.....	ข
กิตติกรรมประกาศ.....	ค
สารบัญ.....	ง
สารบัญภาพ.....	น
สารบัญตาราง.....	ภ
คำอธิบายสัญลักษณ์และคำอ้อที่ใช้ในการวิจัย.....	ท
<b>บทที่</b>	
<b>1 บทนำ .....</b>	<b>1</b>
1.1 ความสำคัญและที่มาของปัญหาที่ทำการวิจัย.....	1
1.2 วัตถุประสงค์ของการวิจัย .....	2
1.3 ขอบเขตของการวิจัย .....	2
1.4 การทบทวนวรรณกรรม/สารสนเทศ (information) ที่เกี่ยวข้อง.....	3
<b>2 อุปกรณ์และวิธีดำเนินการวิจัย .....</b>	<b>9</b>
2.1 วัสดุและอุปกรณ์ .....	9
2.1.1 อุปกรณ์สำหรับเก็บรักษาตัวอย่าง .....	9
2.1.2 อุปกรณ์สำหรับสกัดอาร์เอ็นเอทั้งหมด (total RNA) .....	9
2.2 สารเคมี .....	9
2.3 เครื่องมือในการทำ RNA-Seq และการวิเคราะห์ข้อมูล .....	10
2.4 สถานที่ทำการศึกษา.....	10
2.5 วิธีการดำเนินงาน .....	10
2.5.1 การเก็บตัวอย่างร่างไข่ของกั้งตึกแทนทางจุด.....	10
2.5.2 การเก็บตัวอย่างเลือดของกั้งตึกแทนทางจุด.....	10
2.5.3 การสกัด RNA ทั้งหมด (Total RNA extraction).....	11
2.5.4 การวิเคราะห์ RNA ทั้งหมด.....	11
2.5.5 การสร้างข้อมูล RNA-Seq.....	12
2.5.6 การวิเคราะห์การแสดงออกของยีน.....	13
<b>3 ผลการวิจัย .....</b>	<b>21</b>
3.1 ระดับการแสดงออกของยีน .....	21
3.1.1 การกรองข้อมูล ตามค่าการแสดงออกของ transcripts (FPKM) .....	21
3.2 การระบุหน้าที่ของยีน (Functional annotation of genes).....	22
3.2.1 กลุ่มที่ 1/1 มีลักษณะการแสดงออกลดลง.....	22
3.2.2 กลุ่มที่ 1/2 มีลักษณะการแสดงออกเพิ่มขึ้น.....	47
3.2.3 กลุ่มที่ 2/1 มีลักษณะการแสดงออกลดลง.....	91

## สารบัญ (ต่อ)

3.2.4 กลุ่มที่ 2/2 มีลักษณะการแสดงออกเพิ่มขึ้น .....	134
3.3 การศึกษาลำดับนิวคลีโอไทด์เต็มยืนในรังไข่กับตัวแคนเทนทางจุด.....	170
3.3.1 ยืนไว้เหลโลเจนิน.....	170
3.3.2 ยืนตัวรับฮอร์โมนเอสโตรเจน.....	189
3.3.3 ยืน hepatocyte nuclear factor 4-alpha-like.....	195
3.3.4 ยืน putative nuclear hormone receptor HR38.....	201
3.3.5 ยืน retinoid-X receptor 2.....	209
3.3.6 ยืน ecdysone receptor.....	215
3.3.7 ยืน nuclear receptor subfamily 2 group F member 1-A-like.....	221
4 อภิปรายผลและสรุปผลการวิจัย .....	227
4.1 การวิเคราะห์ลำดับนิวคลีโอไทด์โดยใช้เทคโนโลยี Next Generation Sequencing (NGS) .....	227
4.2 รูปแบบการแสดงออกของ transcripts ในเลือดของกับตัวแคนเทนทางจุด .....	229
4.3 รูปแบบการแสดงออกของ transcripts ในรังไข่ของกับตัวแคนเทนทางจุด .....	237
4.3.1 การทำงานของโดเมน ZnF_C4 และโดเมน HOI.....	241
4.3.2 การทำงานของโดเมน ZnF_C4.....	241
4.3.3 การทำงานของโดเมน HOI.....	241
4.4 สรุปผลการวิจัย.....	242
5 ผลผลิต .....	245
5.1 ผลกระทบด้านต่างๆ.....	245
5.1.1 ผลกระทบเชิงเศรษฐศาสตร์/พาณิชย์.....	245
5.1.2 ผลกระทบเชิงสังคม/ สิ่งแวดล้อม.....	245
5.1.3 ผลกระทบเชิงวิชาการ/ วิทยาศาสตร์.....	245
5.2 การนำเสนอผลงานและตีพิมพ์ผลงานในวารสาร .....	245
บรรณาธิกร .....	247
ประวัติผู้วิจัย .....	252
รายงานสรุปการเงิน .....	253

## สารบัญภาพ

ภาพที่ 1-1 ลักษณะภายนอกของกั้งตีกแต่นหางจุด ( <i>Harpiosquilla raphidea</i> ).....	5
ภาพที่ 1-2 ส่วนหัวและลักษณะปล้องที่ 5-7 ของกั้งตีกแต่นหางจุด ( <i>Harpiosquilla raphidea</i> ).....	5
ภาพที่ 1-3 แผนภาพแสดงการกระจายพันธุ์ของกั้งตีกแต่นหางจุด ( <i>Harpiosquilla raphidea</i> ).....	6
ภาพที่ 2-1 แผนภาพแสดงแผนการทดลองและการเก็บตัวอย่างกั้งตีกแต่นหางจุด.....	11
ภาพที่ 2-2 แสดงขั้นตอนการวิเคราะห์การ傳送ออกของยีน.....	14
ภาพที่ 2-3 Gene Ontology analysis workflow.....	15
ภาพที่ 2-4 load fasta file.....	15
ภาพที่ 2-5 การตั้งค่า sequences format.....	15
ภาพที่ 2-6 sequences ที่ถูกโหลดเข้ามาใน Blast2go.....	16
ภาพที่ 2-7 เลือก blast sequences.....	16
ภาพที่ 2-8 เลือกฐานข้อมูลสำหรับการ blast .....	16
ภาพที่ 2-9 การกำหนดค่าการ blast .....	17
ภาพที่ 2-10 การทำ InterPro scan เป็นการระบุโปรตีนจากฐานข้อมูลโปรตีนอื่นๆ โดยการกำหนดค่าเป็น default .....	17
ภาพที่ 2-11 การ save ผลการทำ InterPro scan .....	18
ภาพที่ 2-12 การ maps sequences เพื่อการดึงเอาข้อมูลจากฐานข้อมูลอื่นๆไปสู่การทำ GO term โดยกำหนดค่าเป็น default .....	18
ภาพที่ 2-13 การกำหนดค่าการทำ Annotation กำหนดค่าเป็น default .....	19
ภาพที่ 2-14 กำหนดค่า Evidence code เป็น delault .....	19
ภาพที่ 2-15 Sequences หลังจากการทำ Annotation .....	20
ภาพที่ 3-1 heatmap การจัดกลุ่มตามลักษณะการแสดงออกของ transcripts โดยมี hc0_a เป็นชุดควบคุม และ hc24_a เป็นชุดทดลอง .....	21
ภาพที่ 3-2 องค์ประกอบหน้าที่ของ transcripts ในส่วน biological process ในกลุ่มที่ 1/1 .....	45
ภาพที่ 3-3 องค์ประกอบหน้าที่ของ transcripts ในส่วน molecular function ในกลุ่มที่ 1/1 .....	45
ภาพที่ 3-4 องค์ประกอบหน้าที่ของ transcripts ในส่วน cellular component ในกลุ่มที่ 1/1 .....	46
ภาพที่ 3-5 องค์ประกอบหน้าที่ของ transcripts ในส่วน biological process ในกลุ่มที่ 1/2 .....	86
ภาพที่ 3-6 องค์ประกอบหน้าที่ของ transcripts ในส่วน molecular function ในกลุ่มที่ 1/2 .....	86
ภาพที่ 3-7 องค์ประกอบหน้าที่ของ transcripts ในส่วน cellular function ในกลุ่มที่ 1/2 .....	87
ภาพที่ 3-8 Arachidonic acid metabolism pathway ในกลุ่มที่ 1/2 .....	89
ภาพที่ 3-9 Phenylpropanoid biosynthesis pathway ในกลุ่มที่ 1/2 .....	89

## สารบัญภาพ (ต่อ)

ภาพที่ 3-10 Thiamine metabolism pathway และ Purine metabolism ในกลุ่มที่ 1/2 .....	90
ภาพที่ 3-11 Purine metabolism pathway ในกลุ่มที่ 1/2 .....	90
ภาพที่ 3-12 องค์ประกอบหน้าที่ของ transcripts ในส่วน biological process ในกลุ่มที่ 2/1 .....	130
ภาพที่ 3-13 องค์ประกอบหน้าที่ของ transcripts ในส่วน molecular function ในกลุ่มที่ 2/1 .....	130
ภาพที่ 3-14 องค์ประกอบหน้าที่ของ transcripts ในส่วน cellular component ในกลุ่มที่ 2/1 .....	131
ภาพที่ 3-15 Glycine, serine and threonine metabolism pathway ในกลุ่มที่ 2/1 .....	132
ภาพที่ 3-16 Porphyrin and chlorophyll metabolism pathway ในกลุ่มที่ 2/1 .....	133
ภาพที่ 3-17 องค์ประกอบหน้าที่ของ transcripts ในส่วน biological process ในกลุ่มที่ 2/2 .....	168
ภาพที่ 3-18 องค์ประกอบหน้าที่ของ transcripts ในส่วน molecular function ในกลุ่มที่ 2/2 .....	168
ภาพที่ 3-19 องค์ประกอบหน้าที่ของ transcripts ในส่วน cellular component ในกลุ่มที่ 2/2 .....	169
ภาพที่ 3-20 ลำดับนิวคลีโอไทด์และการ咚ะมิโนของยีนไวเทลโลเจนินในร่างไข่ของกั้งตึกแต่นหางจุดเมื่อผ่านการ blastX โดยตัวอักษรพิมพ์เล็กคือลำดับนิวคลีโอไทด์ก่อนถึง start codon และหลัง stop codon โดยสัญลักษณ์สีเหลืองคือ Signal peptide, สีฟ้าคือโดเมน LPD_N, สีเขียวคือโดเมน DUF1943, สีแดงคือ VWD, สีชมพูคือ Transcription termination signal และสีเทาคือPolyadenylation .....	171
ภาพที่ 3-21 การแสดงความคล้ายคลึงของยีนไวเทลโลเจนินในกั้งตึกแต่นหางจุดกับสิ่งมีชีวิตในฐานข้อมูลของ Genbank ด้วยวิธี Nucleotide blast โดยกร咚ะมิโน cysteine ที่พบในตำแหน่งเดียวกันของทุกอร์โนนในกลุ่มสีเมซีวิตที่มียีน vitellogenin ใช้สัญลักษณ์สีดำ ส่วนตำแหน่งที่เหมือนกันในยีนทุกตัวใช้สัญลักษณ์สีเทา กรอบสีเหลืองคือ Signal peptide, สีฟ้าคือ LPD_N, สีเขียวคือ DUF1943, สีแดงคือ VWD .....	176
ภาพที่ 3-22 การศึกษาความสัมพันธ์เชิงวิัฒนาการโดยใช้ลำดับนิวคลีโอไทด์ของยีนที่ทำหน้าที่ผลิตไวเทลโลเจนินในสัตว์กลุ่มกั้งตึกแต่นหาง คุ้ง และปูที่มีการระบุในห้องสมุดยีน โดยใช้ <i>O.oratoria</i> (ALI16501.1), <i>P.trituberculatus</i> (AAC94762.1), <i>S.paramamosain</i> (ACO36035.1), <i>C.sapidus</i> (AFI59132.1), <i>F.chinensis</i> (ABC86571.1), <i>M.japonicus</i> (BAD98732.1), <i>P.carinicauda</i> (AFM82474.1), <i>M.rosenbergii</i> (BAB69831.1), <i>P.hypsinotus</i> (DAD11098.1), <i>P.japonica</i> (AHD26978.1), <i>P.monodon</i> (ABB89953.1) และ <i>D.rerio</i> (XP_009294676.1) .....	188
ภาพที่ 3-23 ลำดับนิวคลีโอไทด์และการ咚ะมิโนของยีนตัวรับฮอร์โมนเอสโตรเจน (NGS: 6598) ในกั้งตึกแต่นหางจุดเมื่อผ่านการ BLASTX โดยตัวอักษรพิมพ์เล็กคือลำดับนิวคลีโอไทด์ก่อนถึง start codon และหลัง stop codon โดยสัญลักษณ์สีเหลืองคือโดเมน ZnF_C4, สีฟ้าคือโดเมน HOII และสีชมพูคือ Transcription termination signal .....	191

## สารบัญภาพ (ต่อ)

ภาพที่ 3-24 การแสดงความคล้ายคลึงของยีนตัวรับฮอร์โมนเอสโตรเจน (NGS: 6598) ในกั้งตักแตนหางจุดกับสิ่งมีชีวิตในฐานข้อมูลของ GenBank ด้วยวิธี Nucleotide BLAST โดยกรดอะมิโน cysteine ที่พบร่วมกับตำแหน่งเดียวกันของทุกฮอร์โมนในกลุ่มสิ่งมีชีวิตที่มียีน estrogen related receptor ใช้สัญลักษณ์สีเทาเข้ม ส่วนตำแหน่งที่เหมือนกันในยีนทุกตัวใช้สัญลักษณ์สีเทา กรอบสีเหลืองคือโดเมน ZnF_C4 และสีฟ้าคือโดเมน HOI ..... 192
ภาพที่ 3-25 การศึกษาความสัมพันธ์เชิงวิวัฒนาการโดยใช้ลำดับนิวคลีโอไทด์ของยีนตัวรับฮอร์โมน เอสโตรเจน ในกั้งตักแตนหางจุด ที่มีการระบุในห้องสมุดยีน โดยใช้ <i>S. paramamosain</i> (ADB43256.1), <i>P. trituberculatus</i> (AIS76179.1), <i>Z. nevadensis</i> (KDR06670.1), <i>P.corporis</i> (XP_002431237.1), <i>T. emma</i> (ACW84414.1), <i>S. mimosarum</i> (KFM71034.1), <i>D. ponderosae</i> (YQE) (ENN81341.1), <i>D. ponderosae</i> (D910) (ERL87717.1), <i>T. japonicus</i> (AID52852.1) และ <i>F. arisanus</i> (XP_011312293.1) ..... 194
ภาพที่ 3-26 ลำดับนิวคลีโอไทด์และกรดอะมิโนของยีน hepatocyte nuclear factor 4-alpha-like (NGS: 20511) ในตับของกั้งตักแตนหางจุดเมื่อผ่านการ BLASTX โดยตัวอักษรพิมพ์เล็กคือลำดับนิวคลีโอไทด์ก่อนถึง start codon และหลัง stop codon โดยสัญลักษณ์สีเหลืองคือโดเมน ZnF_C4, สีฟ้าคือโดเมน HOI และสีเขียวพื้นคือ Transcription termination signal ..... 197
ภาพที่ 3-27 การแสดงความคล้ายคลึงของยีน hepatocyte nuclear factor 4-alpha-like (NGS: 20511) ในกั้งตักแตนหางจุดกับสิ่งมีชีวิตในฐานข้อมูลของ GenBank ด้วยวิธี Nucleotide BLAST โดยกรดอะมิโน cysteine ที่พบร่วมกับตำแหน่งเดียวกันของทุกฮอร์โมนในกลุ่มสิ่งมีชีวิตที่มียีน hepatocyte nuclear factor 4-alpha-like ใช้สัญลักษณ์สีเทาเข้ม ส่วนตำแหน่งที่เหมือนกันในยีนทุกตัวใช้สัญลักษณ์สีเทา กรอบสีเหลืองคือโดเมน ZnF_C4 และสีฟ้าคือโดเมน HOI ..... 198
ภาพที่ 3-28 การศึกษาความสัมพันธ์เชิงวิวัฒนาการโดยใช้ลำดับนิวคลีโอไทด์ของยีน hepatocyte nuclear factor 4-alpha-like (NGS: 20511) ในกั้งตักแตนหางจุดโดยใช้ <i>S. kowalevskii</i> (XP_002731047.1), <i>T. castaneum10</i> (XP_008196276.1), <i>T. castaneum3</i> (XP_008196269.1), <i>T. castaneum4</i> (EFA07427.1.1), <i>T. castaneum5</i> (XP_008196271.1), <i>L. Polyphemus1</i> (XP_013779786.1), <i>F. arisanus</i> (XP_011302608.1), <i>L. Polyphemus2</i> (XP_013791686.1), <i>C. gigas</i> (XP_011451246.1) และ <i>T. castaneum6</i> (XP_008196272.1). ..... 200
ภาพที่ 3-29 ลำดับนิวคลีโอไทด์และกรดอะมิโนของยีน putative nuclear hormone receptor HR38 (NGS: 56829) ในของกั้งตักแตนหางจุดเมื่อผ่านการ BLASTX โดยตัวอักษรพิมพ์เล็กคือลำดับนิวคลีโอไทด์ก่อนถึง start codon และหลัง stop codon โดยสัญลักษณ์สีเหลืองคือโดเมน ZnF_C4 และสีฟ้าคือโดเมน HOI ..... 203

## สารบัญภาพ (ต่อ)

ภาพที่ 3-30 การแสดงความคล้ายคลึงของยีน putative nuclear hormone receptor HR38 (NGS: 56829) ในกั้งตักแต่นหางจุดกับสิ่งมีชีวิตในฐานข้อมูลของ GenBank ด้วยวิธี Nucleotide BLAST โดยกรดอะมิโน cysteine ที่พับในตำแหน่งเดียวกันของทุกออร์โนนในกลุ่มสิ่งมีชีวิตที่มียีน putative nuclear hormone receptor HR38 ใช้สัญลักษณ์สีเทาเข้ม ส่วนตำแหน่งที่เหมือนกันในยีนทุกตัวใช้สัญลักษณ์สีเทา กรอบสีเหลืองคือโดเมน ZnF_C4 และกรอบสีฟ้าคือโดเมน HOI ..... 204
ภาพที่ 3-31 การศึกษาความสัมพันธ์เชิงวิัฒนาการโดยใช้ลำดับนิวคลีโอไทด์ของของยีน putative nuclear hormone receptor HR38 (NGS: 56829) ในกั้งตักแต่นหางจุด ที่มีการระบุในห้องสมุดยีน โดยใช้ <i>Z. nevadensis</i> (KDR09534.1), <i>A. gambiae</i> str. PEST (XP_317123.4), <i>P. humanuscorporis</i> (XP_002428935.1), <i>A. aegypti</i> (AAF23095.1), <i>T. castaneum</i> (XP_008194320.1), <i>M. domestica</i> (XP_011292206.1), <i>D. ponderosae</i> (ERL89163.1), <i>A. aegypti</i> (XP_001663431.1), <i>H. saltator</i> (EFN81833.1) และ <i>O. abietinus</i> (XP_012285623.1) ..... 208
ภาพที่ 3-32 ลำดับนิวคลีโอไทด์และกรดอะมิโนของยีน retinoid-X receptor 2 (NGS: 21609) ในกั้งตักแต่นหางจุด เมื่อผ่านการ BLASTX โดยตัวอักษรพิมพ์เล็กคือลำดับนิวคลีโอไทด์ก่อนถึง start codon โดยสัญลักษณ์สีเหลืองคือโดเมน ZnF_C4 และสีฟ้าคือโดเมน HOI ..... 211
ภาพที่ 3-33 การแสดงความคล้ายคลึงของยีน retinoid-X receptor 2 (NGS: 21609) ในกั้งตักแต่นหางจุด กับสิ่งมีชีวิตในฐานข้อมูลของ GenBank ด้วยวิธี Nucleotide BLAST โดยกรดอะมิโน cysteine ที่พับในตำแหน่งเดียวกันของทุกออร์โนนในกลุ่มสิ่งมีชีวิตที่มียีน retinoid-X receptor 2 ใช้สัญลักษณ์สีเทาเข้ม ส่วนตำแหน่งที่เหมือนกันในยีนทุกตัวใช้สัญลักษณ์สีเทา กรอบสีเหลืองคือโดเมน ZnF_C4 และสีฟ้าคือโดเมน HOI ..... 212
ภาพที่ 3-34 การศึกษาความสัมพันธ์เชิงวิัฒนาการของยีน retinoid-X receptor 2 (NGS: 21609) ในกั้งตักแต่นหางจุด โดยใช้ <i>P. trituberculatus</i> (AHJ81363.1), <i>M. nipponense1</i> (AHA33388.1), <i>C. sapidus</i> (AET06182.1), <i>L. vannamei</i> (AGG55291.1), <i>M. nipponense2</i> (AHA33387.1), <i>S. paramamosain</i> (ALM98948.1), <i>F. chinensis</i> (ACN78602.1), <i>E. sinensis</i> (AHF65152.1), <i>H. americanus</i> (AGI15961.1) และ <i>C. sapidus2</i> (AGB34183.1) ..... 214
ภาพที่ 3-35 ลำดับนิวคลีโอไทด์และกรดอะมิโนของยีน ecdysone receptor (NGS: 38631) ในกั้งตักแต่นหางจุด เมื่อผ่านการ BLASTX โดยตัวอักษรพิมพ์เล็กคือลำดับนิวคลีโอไทด์ก่อนถึง start codon โดยสัญลักษณ์สีเหลืองคือโดเมน ZnF_C4, สีเขียวคือโดเมน Pfam:Hormone_recep ..... 217

## สารบัญภาพ (ต่อ)

ภาพที่ 3-36 การแสดงความคล้ายคลึงของยีน ecdysone receptor (NGS: 38631) ในกั้งตักแต่นหางจุดกับสิ่งมีชีวิตในฐานข้อมูลของ GenBank ด้วยวิธี Nucleotide BLAST โดยกรดอะมิโน cysteine ที่พบในตำแหน่งเดียวกันของทุกซอร์มอนในกลุ่มสิ่งมีชีวิตที่มียีน ecdysone receptor ใช้สัญลักษณ์สีเทาเข้ม ส่วนตำแหน่งที่เหมือนกันในยีนทุกตัวใช้สัญลักษณ์สีเทา กรอบสีเหลืองคือโดเมน ZnF_C4 และสีเขียวคือโดเมน Pfam:Hormone_recep .....	218
ภาพที่ 3-37 การศึกษาความสัมพันธ์เชิงวิัฒนาการของยีน ecdysone receptor (NGS: 38631) ในกั้งตักแต่นหางจุดโดยใช้ <i>M. rosenbergii</i> 1 (AKL71618.1), <i>M. rosenbergii</i> 2 (AKL71617.1), <i>U. pugilator</i> (AAC33432.2), <i>M. nipponense</i> (AHA33385.1), <i>C. sapidus</i> (AET06180.1), <i>U. pugilator</i> 3 (AIE88263.1), <i>P. trituberculatus</i> (AFH35032.1), <i>M. rosenbergii</i> 3 (AKL71619.1), <i>C. crangon</i> (ACO44667.1) และ <i>U. pugilator</i> 1 (AIE88261.1) .....	220
ภาพที่ 3-38 ลำดับนิวคลีโอไทด์และกรดอะมิโนของยีน ของ nuclear receptor subfamily 2 group F member 1-A-like (NGS: 47812) ในกั้งตักแต่นหางจุดเมื่อผ่านการ BLASTX โดยตัวอักษรพิมพ์เล็กคือลำดับนิวคลีโอไทด์ก่อนถึง start codon โดยสัญลักษณ์สีเหลืองคือโดเมน ZnF_C4 .....	221
ภาพที่ 3-39 การแสดงความคล้ายคลึงของยีน nuclear receptor subfamily 2 group F member 1-A-like (NGS: 47812) ในกั้งตักแต่นหางจุดกับสิ่งมีชีวิตในฐานข้อมูลของ GenBank ด้วยวิธี Nucleotide BLAST โดยกรดอะมิโน cysteine ที่พบในตำแหน่งเดียวกันของทุกซอร์มอนในกลุ่มสิ่งมีชีวิตที่มียีน nuclear receptor subfamily 2 group F member 1-A-like ใช้สัญลักษณ์สีเทาเข้ม ส่วนตำแหน่งที่เหมือนกันในยีนทุกตัวใช้สัญลักษณ์สีเทา กรอบสีเหลืองคือโดเมน ZnF_C4 .....	223
ภาพที่ 3-40 การศึกษาความสัมพันธ์เชิงวิัฒนาการของยีน nuclear receptor subfamily 2 group F member 1-A-like (NGS: 47812) ในกั้งตักแต่นหางจุด โดยใช้ <i>L. Polyphemus</i> (XP_013774988.1), <i>L. anatine</i> (XP_013394781.1), <i>L. Polyphemus</i> (XP_013790693.1), <i>B. terrestris</i> (XP_012174781.1), <i>C. floridanus</i> (XP_011263764.1), <i>M. rotundata</i> (XP_012140861.1), <i>C. teleta</i> (ELT89160.1), <i>P. paniscus</i> (XP_014200330.1), <i>C. gigas</i> (XP_012542052.1) และ <i>L. anatine</i> (XP_013394783.1) .....	225
ภาพที่ 4-1 ALAS heme biosynthesis to aerobic respiration .....	232
ภาพที่ 4-2 กลไกการขนส่ง electron ใน short electron transfer pathway เริ่มการขนส่ง electron จาก Octanoyl-CoA ไปสู่ Ubiquinone โดยมีตัวกลางเป็น ETF และ ETF : QO (Watmough and Frerman. 2010) .....	234

## สารบัญตาราง

ตารางที่ 3-1 องค์ประกอบของ transcripts ในกลุ่มที่ 1/1 .....	23
ตารางที่ 3-2 หน้าที่ของยีนในกลุ่มที่ 1/1 .....	27
ตารางที่ 3-3 gene ontology biological process graph กลุ่มที่ 1/1.....	28
ตารางที่ 3-4 gene ontology molecular function ในกลุ่มที่ 1/1.....	38
ตารางที่ 3-5 gene ontology cellular component ในกลุ่มที่ 1/1 .....	40
ตารางที่ 3-6 องค์ประกอบของ transcripts ในกลุ่มที่ 1/2 .....	48
ตารางที่ 3-7 หน้าที่ของยีนในกลุ่มที่ 1/2 .....	51
ตารางที่ 3-8 gene ontology biological process ในกลุ่มที่ 1/2 .....	54
ตารางที่ 3-9 gene ontology molecular function ในกลุ่มที่ 1/2.....	77
ตารางที่ 3-10 gene ontology cellular component ในกลุ่มที่ 1/2 .....	84
ตารางที่ 3-11 pathway ในกลุ่มที่ 1/2 .....	87
ตารางที่ 3-12 องค์ประกอบของ transcripts ในกลุ่มที่ 2/1 .....	92
ตารางที่ 3-13 หน้าที่ของยีน ในกลุ่มที่ 2/1 .....	107
ตารางที่ 3-14 gene ontology biological process ในกลุ่มที่ 2/1.....	110
ตารางที่ 3-15 gene ontology molecular function ในกลุ่มที่ 2/1 .....	122
ตารางที่ 3-16 gene ontology cellular component ในกลุ่มที่ 2/1 .....	127
ตารางที่ 3-17 pathway ในกลุ่มที่ 2/1 .....	131
ตารางที่ 3-18 องค์ประกอบของ transcripts ในกลุ่มที่ 2/2 .....	135
ตารางที่ 3-19 หน้าที่ของยีนในกลุ่มที่ 2/2 .....	141
ตารางที่ 3-20 gene ontology biological process ในกลุ่มที่ 2/2.....	143
ตารางที่ 3-21 gene ontology molecular function ในกลุ่มที่ 2/2 .....	159
ตารางที่ 3-22 gene ontology cellular component ในกลุ่มที่ 2/2.....	163
ตารางที่ 3-23 การเปรียบเทียบลำดับนิวคลีโอไทด์ที่ได้กับข้อมูลในห้องสมุดยีนด้วยวิธี blastX .....	170
ตารางที่ 3-24 โอดเมนที่พับนยีนไว้เพลโลเจนินที่ได้จากเทคนิค Next generation sequencing technology ด้วยเครื่อง Illumina .....	170
ตารางที่ 3-25 โอดเมนที่พับนยีนตัวรับฮอร์โมนเอสโตรเจนในกั้งตักแตนทางจุดที่ได้จากเทคนิค Next generation sequencing technology ด้วยหลักการของหลักการของเครื่อง Illumina .....	189
ตารางที่ 3-26 การเปรียบเทียบลำดับนิวคลีโอไทด์ที่ได้กับข้อมูลในห้องสมุดยีนด้วยวิธี BLASTX ของยีนตัวรับฮอร์โมนเอสโตรเจนในกั้งตักแตนทางจุด.....	190

## สารบัญตาราง (ต่อ)

ตารางที่ 3-27 โดเมนที่พบรนยืน hepatocyte nuclear factor 4-alpha-like ในกั้งตักแต่นหางจุดที่ได้จากเทคนิค Next generation sequencing technology ด้วยหลักการของเครื่อง Illumina .....	195
ตารางที่ 3-28 การเปรียบเทียบลำดับนิวคลีโอไทด์ที่ได้กับข้อมูลในห้องสมุดยืนด้วยวิธี BLASTX ของยืน hepatocyte nuclear factor 4-alpha-like ในกั้งตักแต่นหางจุด .....	196
ตารางที่ 3-29 โดเมนที่พบรนยืน putative nuclear hormone receptor HR38 (NGS: 56829) ในกั้งตักแต่นหางจุดที่ได้จากเทคนิค Next generation sequencing technology ด้วยหลักการของเครื่อง Illumina.....	201
ตารางที่ 3-30 การเปรียบเทียบลำดับนิวคลีโอไทด์ที่ได้กับข้อมูลในห้องสมุดยืนด้วยวิธี BLASTX ของยืน putative nuclear hormone receptor HR38 ในกั้งตักแต่นหางจุด.....	202
ตารางที่ 3-31 โดเมนที่พบรนยืน retinoid-X receptor 2 ในกั้งตักแต่นหางจุด ที่ได้จากเทคนิค Next generation sequencing technology ด้วยหลักการของเครื่อง Illumina .....	209
ตารางที่ 3-32 การเปรียบเทียบลำดับนิวคลีโอไทด์ที่ได้กับข้อมูลในห้องสมุดยืนด้วยวิธี BLASTX ของยืน retinoid-X receptor 2 ในกั้งตักแต่นหางจุด .....	210
ตารางที่ 3-33 โดเมนที่พบรนยืน ecdysone receptor ในกั้งตักแต่นหางจุด ที่ได้จากเทคนิค Next generation sequencing technology ด้วยหลักการของเครื่อง Illumina .....	125
ตารางที่ 3-34 การเปรียบเทียบลำดับนิวคลีโอไทด์ที่ได้กับข้อมูลในห้องสมุดยืนด้วยวิธี BLASTX ของยืน ecdysone receptor ในกั้งตักแต่นหางจุด.....	216
ตารางที่ 3-35 โดเมนที่พบรนยืน nuclear receptor subfamily 2 group F member 1-A-like ในกั้งตักแต่นหางจุด ที่ได้จากเทคนิค Next generation sequencing technology ด้วยหลักการของเครื่อง Illumina.....	221
ตารางที่ 3-36 การเปรียบเทียบลำดับนิวคลีโอไทด์ที่ได้กับข้อมูลในห้องสมุดยืนด้วยวิธี BLASTX ของยืน nuclear receptor subfamily 2 group F member 1-A-like ในกั้งตักแต่นหางจุด .....	222
ตารางที่ 3-37 สรุปกลุ่มยืนตัวรับฮอร์โมน (Hormone receptor gene).....	226
ตารางที่ 4-1 การเปรียบเทียบ Output ของเทคนิค NGS เทียบกับการหา Nucleotide ด้วยเทคนิคอื่น ๆ .....	228
ตารางที่ 4-2 หน้าที่ของ transcripts TR8251 c0_g3_i1, TR51934 c0_g1_i1 และ TR30957 c0_g1_i1 จากฐานข้อมูล GO .....	230
ตารางที่ 4-3 หน้าที่ของ transcript TR33858 c0_g1_i1 จากฐานข้อมูล GO .....	231
ตารางที่ 4-4 หน้าที่ของ transcripts TR31322 c0_g1_i1 และ TR31322 c0_g2_i1 จากฐานข้อมูล GO .....	233
ตารางที่ 4-5 หน้าที่ของ transcript TR16718_c0_g1_i1 จากฐานข้อมูล GO .....	235

## สารบัญตาราง (ต่อ)

ตารางที่ 4-6 หน้าที่ของ transcript TR11263 c0_g2_i1 จากฐานข้อมูล GO .....	236
ตารางที่ 4-7 ผลโดยเมนที่พับบนยีนໄวเทลโลเจนินในสิ่งมีชีวิตที่ใกล้เคียงกัน .....	239
ตารางที่ 4-8 สรุปจำนวน transcripts ภายหลังจากการดำเนินการในแต่ละขั้นตอน.....	242

### คำอธิบายสัญลักษณ์และคำย่อที่ใช้ในการวิจัย

qseqid	Query Seq-id (ID of your sequence)
sseqid	Subject Seq-id (ID of the database hit)
pident	Percentage of identical matches
length	Alignment length
mismatch	Number of mismatches
gapopen	Number of gap openings
qstart	Start of alignment in query
qend	End of alignment in query
sstart	Start of alignment in subject (database hit)
send	End of alignment in subject (database hit)
evalue	Expectation value (E-value)
bitscore	Bit score
bp	base pair
°C	degree Celsius
DNA	deoxyribonucleic acid
EtBr	ethidium bromide
kDa	kilodaton
mg	milligram
ml	millilitre
mM	millimolar
ng	nanogram
OD	optical density
PCR	polymerase chain reaction
RNA	Ribonucleic acid
rpm	revolution per minute

## บทที่ 1

### บทนำ

#### 1.1 ความสำคัญและที่มาของปัญหาที่ทำการวิจัย

ในสภาวะปัจจุบันมีความนิยมในการบริโภคกั้งตักแต่นเป็นอาหาร โดยกั้งตักแต่นทางจุด (*Harpisquilla raphidea*) นับเป็นกั้งตักแต่นเศรษฐกิจชนิดหนึ่งที่กำลังได้รับความนิยมในการบริโภคเพิ่มมากขึ้น (ลงนุช ตั้งเกริกโวหาร และพิชญานันท์ รักษา, 2555) และผลผลิตที่ได้มาสู่ห้องตลาดนั้นไม่ได้มาจากการเพาะเลี้ยง ส่งผลให้เกิดการจับในปริมาณที่เพิ่มมากขึ้นที่มีผลมาจากการต้องการในห้องตลาด และศักยภาพของเครื่องมือประมงที่มีเพิ่มมากขึ้น ทำให้ปริมาณกั้งตักแต่นทางจุดในธรรมชาตินั้นได้รับผลกระทบจากการทำประมงที่มีศักยภาพเกินกำลังการผลิตตามธรรมชาติทำให้เกิดความพยายามในการเพาะเลี้ยงกั้งตักแต่น โดยมีจุดประสงค์ในการเพาะเลี้ยงกั้งตักแต่นในเชิงพาณิชย์ เพื่อเพิ่มผลผลิตและอนุรักษ์ประชากรกั้งตักแต่นให้คงอยู่ (บงอร ศรีมุกดา และสรณัญช์ จำปาศรี, 2537) ซึ่งในปัจจุบันกั้งตักแต่นนั้นยังไม่ประสบความสำเร็จในการผลิตลูกพันธุ์ เนื่องจากการขาดความเข้าใจในชีววิทยาของกั้งตักแต่นในส่วนของการต้านทานโรคและการสืบพันธุ์ ดังนั้นการทราบถึงลำดับของยีนที่เกี่ยวข้องกับการต้านทานโรค และการสืบพันธุ์ เป็นปัจจัยหนึ่งที่ทำให้การเข้าใจชีววิทยาของกั้งตักแต่นมีเพิ่มมากขึ้น

ในการศึกษาระดับการแสดงออกของยีนในอวัยวะของกั้งตักแต่นทางจุดนั้น ใช้เทคโนโลยี Next Generation Sequencing (NGS) เป็นเครื่องมือในการศึกษา โดยเทคโนโลยี NGS อาศัยการอ่าน DNA ต้นแบบแบบสุ่มทั้งจีโนม และตัดชิ้นส่วนของ DNA เป็นชิ้นสั้นๆ และนำไปเชื่อมต่อเข้ากับ adaptor ที่จำเพาะในช่วงของการสังเคราะห์ DNA นั้นๆ ทำให้สามารถเพิ่มจำนวน DNA ที่สังเคราะห์ได้พร้อมกันเป็นจำนวนมาก และได้ reads ความยาวสั้นๆ จำนวนมากสำหรับใช้ในการวิเคราะห์ เทคโนโลยี NGS นั้นยังทำให้สามารถทราบถึงลำดับเบสทั้งหมดได้โดยไม่ต้องทราบถึงลำดับเบสก่อน โดยอาศัย adaptor ที่จำเพาะต่อเอ็นไซม์ที่ปลายด้าน 3' ซึ่งทราบถึงชนิดของ adaptor ที่ใช้อยู่ก่อนแล้ว เทคโนโลยี NGS ในแต่ละรูปแบบนั้นมีความแตกต่างกันในรูปแบบของการทรีด DNA ต้นแบบให้อยู่กับที่ โดยขึ้นอยู่กับเครื่องมือที่ใช้ (อลิชา วิลันโท, 2555)

การใช้เทคโนโลยี NGS ใน การศึกษาด้าน transcriptome ก่อให้เกิดประโยชน์ในการจำแนก หรือการค้นหา yin ที่ไม่เคยทราบมาก่อน ซึ่งทำให้สามารถบ่งชี้ว่ายังอยู่ตำแหน่งใดบนจีโนมได้ หนึ่งในเป้าหมายของการศึกษาด้าน transcriptome คือการศึกษาปริมาณระดับการแสดงออกของยีนในระดับ transcription ในช่วงของการพัฒนาหรือภายในตัวสภาวะทางกายภาพหรือการก่อโรค โดยการวิเคราะห์ข้อมูลโดยใช้เทคนิค RNA-Sequencing (RNA-Seq) เป็นการวิเคราะห์ข้อมูลโครงสร้างพื้นฐานของยีน และหน้าที่ของยีนเป็นหลัก เนื่องด้วยการศึกษา yin ของกั้งตักแต่นทางจุดนั้นไม่มีจีโนมอ้างอิง (reference genome) ในฐานข้อมูล ดังนั้น รูปแบบในการวิเคราะห์ข้อมูลโดยไม่มี reference genome สามารถวิเคราะห์ผลแบบ *de novo assembly* โดยใช้การประกอบเรียงกันของบริเวณชุดของเบสที่ซ้ำกันมากๆ (contig) ในแต่ละชุดของ reads ทั้งหมด เกิดการประกอบเรียงชิ้นของลำดับเบสในช่วงที่สั้นลง และใช้ส่วน contig แต่ละ contig เรียงชิ้นลำดับเบส ทำให้

ได้ scaffold ซึ่งมีขนาดใหญ่มากขึ้นทำให้การเรียงชื่นลำดับเบสในจีโนมเน้นมีคุณภาพสูงมากขึ้นทำให้ทราบถึง genome profiles ในส่วนของ mRNA ที่อาจครอบคลุมไปถึงบางส่วนของจีโนมเพื่อทำการวิเคราะห์การแสดงออกของยีนได้ (อลิชา วิลันโท, 2555) การใช้เทคโนโลยี NGS ในการตรวจสอบโครงสร้างและหน้าที่ของยีน โดยใช้ complementary DNA (cDNA) ที่ได้มาจากการเป็นสารพันธุกรรมเริ่มต้นในการวิเคราะห์ข้อมูลในการลดรั้งพันธุกรรม หรือเรียกว่า RNA-Seq (กุลชนา เกษสุวรรณ, 2557) ดังนั้นการศึกษาระดับการแสดงออกของยีนในอวัยวะต่างๆ ที่เกี่ยวข้องกับระบบสืบพันธุ์และระบบภูมิคุ้มกันของกั้งตึกแตenทางจุดโดยใช้ข้อมูลของกั้งตึกแตenทางจุด ซึ่งไม่มีข้อมูลจีโนมอ้างอิงใช้ในการศึกษาโดยอาศัยเครื่องมือทางชีวาระนเทศ (bioinformatics tools) ทำให้ทราบถึง transcriptome ใหม่ที่ยังไม่เคยมีการศึกษามาก่อน ซึ่งจะสามารถทำให้ได้ข้อมูลยีนที่แสดงออกในอวัยวะสำคัญ ที่สามารถเพิ่มข้อมูลทางชีววิทยาของกั้งตึกแตenทางจุด สำรับแนวทางในการเพาะเลี้ยงกั้งตึกแตenทางจุดในเชิงพาณิชย์ และในการอนุรักษ์ประชากรกั้งตึกแตenชนิดอื่นๆ ในธรรมชาติ สอดคล้องกับยุทธศาสตร์การวิจัยที่ 2 การสร้างศักยภาพและความสามารถเพื่อการพัฒนาทางเศรษฐกิจ

## 1.2 วัตถุประสงค์ของการวิจัย

1.2.1 วิเคราะห์ข้อมูลการแสดงออกของยีนในกั้งตึกแตenทางจุด ด้วยเทคนิค Next Generation Sequencing (NGS)

1.2.2 ใช้เทคนิคทางชีวาระนเทศ (bioinformatics) ในการศึกษา profile transcriptomes ของกั้งตึกแตenทางจุดโดยปราศจากข้อมูลจีโนมอ้างอิงในฐานข้อมูล

## 1.3 ขอบเขตของการวิจัย

วิเคราะห์การแสดงออกของยีนในเลือด และรังไข่ ของกั้งตึกแตenทางจุดด้วยเทคนิค NGS โดยเปรียบเทียบตัวอย่าง RNA ที่ได้จากเลือดที่ได้รับเชื้อ *Vibrio parahaemolyticus* ที่ 6 ชั่วโมง และ 24 ชั่วโมง กับตัวอย่าง RNA ที่ได้จากเลือดกั้งตึกแตenทางจุดปกติ และจากตัวอย่าง RNA จากรังไข่ของกั้งตึกแตenทางจุด (กลุ่มการทดลองละ 3 ช้ำ) ด้วยเครื่อง Illumina โดยใช้หลักการ sequencing by synthesis จากนั้นนำข้อมูลลำดับนิวคลีโอไทด์มาวิเคราะห์ข้อมูลด้วยเทคนิคทางชีวาระนเทศ (bioinformatics) โดยใช้โปรแกรม Trinity ในการศึกษา profile transcriptomes ของกั้งตึกแตenทางจุด (*Harpisquilla raphidea*) โดยปราศจากข้อมูลจีโนมอ้างอิงในฐานข้อมูล

## 1.4 การบททวนวรรณกรรม/สารสนเทศ (information) ที่เกี่ยวข้อง

1. ลำดับทางอนุกรมวิธานและลักษณะทั่วไปของกั้งตักแตen (บพิธ จารุพันธุ์ และ นันทพร จารุพันธุ์, 2546)

ในปัจจุบันพบกั้งตักแตen (Mantis shrimp) ประมาณ 300 ชนิด ซึ่งจัดอยู่ใน Order Stomatopoda ซึ่งพบการกระจายพันธุ์อยู่ในทะเลเขตต้อนเป็นส่วนใหญ่ โดยจัดลำดับทางอนุกรมวิธานได้ดังนี้

Phylum Arthropoda

Class Crustacea

Subclass Malacostraca

Suborder Hoplocarida

Order Stomatopoda

Family Harpiosquillidae

Family Squillidae

Family Lysioiquillidae

Family Gonodactylidae

Family Bathysquillidae

กั้งตักแตen มีลักษณะเฉพาะที่ส่วนหัวจะถูกปกลุมด้วยกระดอง (carapace) ที่สันและส่วนหน้าแคบกว่าส่วนท้าย โดยแอนтенนาที่ 1 และก้านตาประกอบมีจุดกำเนิดจากปล้องที่แยกตัวออกจากส่วนอื่นของหัว เป็นปล้องเทียม (pseudosegment) จำนวน 2 ปล้อง และบริเวณหน้าปล้องเทียมมี罗斯ทรัมที่เคลื่อนไหวได้ และเป็นจุดเชื่อมต่อ กับกระดอง (carapace) กั้งตักแตen มี carapace ปกลุมปล้องออก 4 ปล้องและยึดติดกัน ใน 3 ปล้องแรก ขอบส่วนหน้าของหัวมีลักษณะเว้าทำให้มุ่ด้านข้างของกระดอง (anterolateral) ทั้งสองข้าง แหลม ที่ผิวด้านบนของ carapace มีสันตามยาว (carina) โดยด้านหน้าสุดของ carapace จะมีแผ่นกรี (rostrum plate) รูปร่างสี่เหลี่ยมหรือสามเหลี่ยมที่สามารถเคลื่อนไหวได้ ตาของกั้งตักแตen เป็นตาประกอบซึ่งเคลื่อนไหวได้ตามการเคลื่อนที่ของก้านตา ตาของกั้งตักแตen ประกอบไปด้วยกลุ่มของอมาทีเดียม ซึ่งทำหน้าที่แยกและรับรู้ของเหยื่อและกำหนดระยะห่าง

กั้งตักแตen มีรยางค์ออก 5 คู่ แรกแบบยูนิรามัส เป็นซับคีเลต (มีก้าม 1 อัน) โดยในคู่ที่ 2 มีขนาดใหญ่กว่าคู่อื่นๆ ใช้สำหรับจับเหยื่อ (raptorial clown) ในส่วนของโพโรโพดัส (propodus) ของ raptorial clown มีลักษณะเป็นร่องซึ่งจะรวมเข้ากับแดดทิล (Dactyl) ในลักษณะเดียวกันกับมีดพับ รยางค์ออกคู่ที่ 1 ใช้สำหรับทำ

ความสะอาดส่วนต่างๆ ส่วนรยางค์อกคู่ที่ 3-5 ใช้ในการฉีกและจับอาหาร โดยมักเรียกรยางค์หั้ง 5 คู่นี้ว่าแมกซิลิเพส (maxilliped) และรยางค์คอก 3 คู่ท้ายเป็นรยางค์ขาเดินแบบใบรามส์

ส่วนท้องของกังตึกแต่นมีทั้งหมด 6 ปล้อง ผิวด้านบนโค้งนูนและมีสันต่อไปนี้ทอโดยว้าไปในทุกปล้อง median carinae สันตรงกลาง 1 สัน submedian carinae ขนาดข้าง median carinae ด้านละ 1 สัน intermediate carinae เป็นสันถัดจาก submedian carinae ด้านละ 1 สัน lateral carinae เป็นสันถัดจาก intermediate carinae ด้านละ 1 สัน marginal carinae เป็นสันด้านนอกสุดของลำตัวทั้งสองด้าน ด้านละ 1 สัน ซึ่งในส่วนท้องมีรยางค์ว่ายน้ำ (pleopod) ทั้งหมด 5 คู่ อยู่ในส่วนท้องของปล้องที่ 1-5

ส่วนหาง (telson) ของกังตึกแต่นมีจะต่อ กับปล้องที่ 6 ของส่วนท้อง ในด้านบนมี median carina ส่วนหางของกังตึกแต่นมีประกอบด้วย แร่แหลมที่ขอบด้านข้างของส่วนหาง (teeth) รอยหยัก (denticles) บริเวณขอบหางจะอยู่ระหว่าง teeth และส่วนของแพนหาง (uropod) จำนวน 1 คู่ ขนาดด้านข้างและทอดยาวจากส่วนท้องของปล้องที่ 6

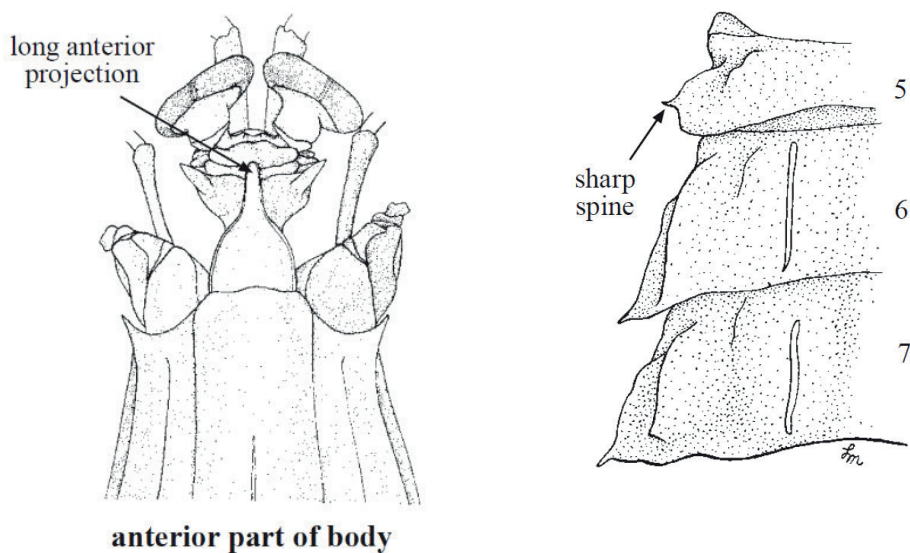
## 2. กังตึกแต่นมหางจุด (*Harpiosquilla raphidea*) (นงนุช ตั้งเกริกโภcar, 2550)

กังตึกแต่นมหางจุด (*Harpiosquilla raphidea*) เป็นกังตึกแต่นมีขนาดใหญ่ แผ่นกรีมีความยาวมากกว่าความกว้าง ในส่วนหัวเรียวยาว dactylus ของก้ามเกี่ยว มีฟัน 8 ซี่ ส่วนอกปล้องที่ 5 มีลักษณะแหลมที่ด้านข้างทั้ง 2 ด้าน ในอกปล้องที่ 6-8 มี submedian carinae และ intermediate carinae ใน intermediate carinae มีปลายเป็นหนาม ส่วนสันด้านล่างของปล้องที่ 8 มีลักษณะคล้ายแพนหางมีจุดสีดำกระจายตัวหนาแน่นประมาณครึ่งหนึ่งของแพนหาง ที่ตำแหน่งแพนหางคุ้นอกสุด ขอบด้านนอกของปล้องโคน มีหนามที่เคลื่อนไหวได้จำนวน 8 อัน และบริเวณข้อต่อระหว่างปล้องฐานและปล้องโคนมีหนาม 1 อัน

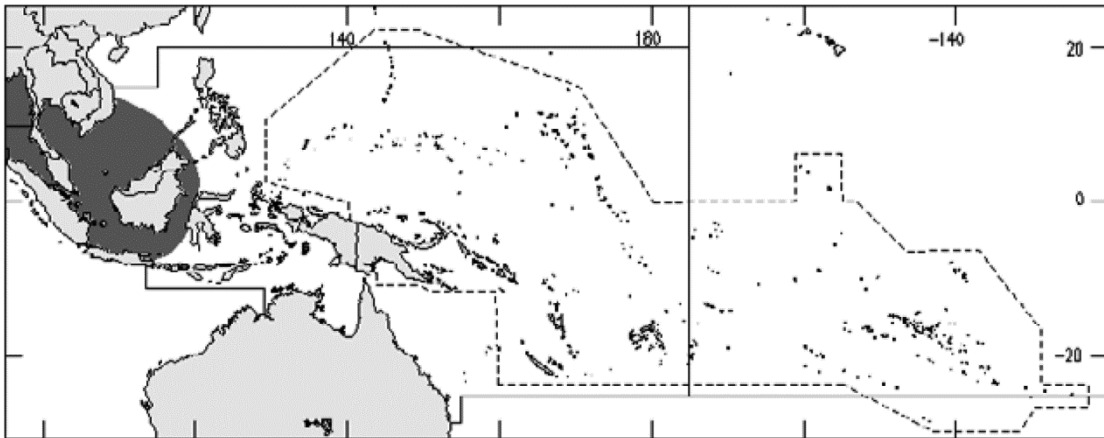
ลำตัวมีสีเขียวคล้ำ มีเม็ดสีดำกระจายบริเวณก้านหนวดคู่ที่ 1 และ 2 แผ่นกรีมีสีใส บริเวณสันของกระดองมีสีเขียวเข้ม บริเวณเส้นขอบของปล้องทุกปล้องมีเส้นขอบสีดำ ขาเดินมีสีเหลือง บริเวณส่วนของ median carina ของหางมีจุดกลมใหญ่สีน้ำตาลหรือสีเขียวเข้ม 1 จุด



ภาพที่ 1-1 ลักษณะภายนอกของก้ังตื้กแตนหางจุด (*Harpiosquilla raphidea*)



ภาพที่ 1-2 ส่วนหัวและลักษณะปล้องที่ 5-7 ของก้ังตื้กแตนหางจุด (*Harpiosquilla raphidea*)



ภาพที่ 1-3 แผนภาพแสดงการกระจายพันธุ์ของ ก้วยตักแตนทางจุด (*Harpilosquilla raphidea*)

### 3. เทคโนโลยี Next Generation Sequencing (NGS)

เทคโนโลยี NGS อาศัยการอ่าน DNA ต้นแบบแบบสุมหั้งจีโนม และตัดชิ้นส่วนของ DNA เป็นชิ้นสั้นๆ และนำไปเชื่อมต่อเข้ากับ adapter ที่จำเพาะในช่วงของการสังเคราะห์ DNA นั้นๆ ทำให้สามารถเพิ่มจำนวน DNA ที่สังเคราะห์ได้พร้อมกันเป็นจำนวนมาก และได้ reads ความยาวสั้นๆ จำนวนมากมากสำหรับใช้ในการวิเคราะห์ เทคโนโลยี NGS นั้นยังสามารถทราบถึงลำดับเบสทั้งหมดได้โดยไม่ต้องทราบถึงลำดับเบสก่อน โดยใช้ adapter ที่จำเพาะต่อเย็นไข่มีปีบลายด้าน 3' ซึ่งทราบถึงชนิดของ adapter ที่เชื่อมกับอันแล้ว เทคโนโลยี NGS ในแต่ละรูปแบบนั้นมีความแตกต่างกันในรูปแบบของการตีเริง DNA ต้นแบบให้อยู่กับที่ซึ่งขึ้นอยู่กับเครื่องมือที่ใช้ โดยรูปแบบเครื่องมือที่นิยมใช้ได้แก่ 454/Roche, Illumina และ SOLiD/Life Technology (ABI) (Martin and Wang, 2011; อลิษา วิลลัณโฑ, 2555) ดังนั้นการใช้เทคโนโลยี NGS ในการตรวจสอบโครงสร้างและหน้าที่ของยีน โดยใช้ complementary DNA (cDNA) ที่ได้มาจากการตีเริง RNA เป็นสารพันธุกรรมเริ่มต้นในการวิเคราะห์ข้อมูลในการถอดรหัสพันธุกรรม หรือเรียกว่า RNA-Seq (กุลชนา เกศสุวรรณ, 2557) ดังนั้นรูปแบบในการวิเคราะห์ข้อมูลโดยไม่มี reference genome สามารถวิเคราะห์ผลแบบ *de novo assembly* โดยใช้การประกอบเรียงกันของบริเวณชุดของเบสที่ซ้ำกันมากๆ (contig) ในแต่ละชุดของ reads ทั้งหมด เกิดการประกอบเรียงขึ้นของลำดับเบสในช่วงที่สั้นลง และใช้ส่วน contig แต่ละ contig เรียงขึ้นลำดับเบส ทำให้ได้ scaffold ซึ่งมีขนาดใหญ่มากขึ้นทำให้การเรียงขึ้นลำดับเบสในจีโนมนั้นมีคุณภาพสูงมาก ขึ้นทำให้ทราบถึง genome profiles ในส่วนของ mRNA ที่อาจครอบคลุมไปถึงบางส่วนของจีโนมเพื่อทำการวิเคราะห์การแสดงออกของยีนได้ (อลิษา วิลลัณโฑ, 2555)

#### 3.1 การสังเคราะห์ลำดับนิวคลีโอไทด์โดยใช้เครื่อง Illumina

การทำลำดับเบสโดยเครื่อง Illumina ทำได้โดยใช้หลักการ sequencing by synthesis โดยแยกสาย DNA ในแต่ละกลุ่มเป็น DNA สายเดียว ใช้ primers สำหรับหาลำดับเบสจับกับ DNA ที่จำเพาะนั้นๆ

ในช่วงเริ่มนั้นของการหาลำดับเบส โดยมีการเติมอีนไซเมร์ DNA polymerase และนิวคลีโอไทด์ทั้ง 4 เบส ที่ติดด้วยสารเรืองแสงที่มีสีแตกต่างกัน และใช้ reversible terminator ด้วยการ block ปลายด้าน 3' OH ไว้เพื่อหยุดการสังเคราะห์สาย DNA ของอีนไซเมร์ DNA polymerase เมื่อหยุดการสังเคราะห์สาย DNA นิวคลีโอไทด์ที่ไม่ได้เข้าคู่กับสาย DNA ตั้งต้นที่เหลือในปฏิกิริยาจะถูกล้างออก หลังจากการกระตุนด้วยแสง จะมีการบันทึกภาพการปลดปล่อยสารเรืองแสงของนิวคลีโอไทด์จากแต่ละกลุ่มนกระยะสไลด์ที่ได้ เพื่อบันทึกความเหมือนกันของเบสแรกสำหรับกลุ่มนั้นๆ ตามด้วยขั้นตอนการตัด (cleavage) เพื่อกำจัด terminator และ fluorescent dye ออก จากนั้นเติมนิวคลีโอไทด์ชุดใหม่ และอีนไซเมร์ DNA polymerase เพื่อสังเคราะห์สาย DNA ต่อ โดยการทำซ้ำต่อไปเรื่อยๆ ซึ่งในแต่ละรอบจะเป็นตัวกำหนดลำดับเบสที่อ่านได้ในแต่ละครั้ง (กิตติพัฒน์ อุโฐกิจ และคณะ, 2558)

### 3.2 การวิเคราะห์ข้อมูลลำดับนิวคลีโอไทด์โดย Trinity

Trinity คือโปรแกรมคอมพิวเตอร์ประยุกต์ ซึ่งประกอบไปด้วยสามองค์ประกอบหลักในการวิเคราะห์ข้อมูล ได้แก่ Inchworm, Chrysalis และ Butterfly ซึ่งทำการจัดเรียง RNA-Seq reads เป็น contig และนำ contig ที่ได้ไปสร้าง *de Bruijn* graphs ที่จัดเรียงแต่ละกลุ่มของ contig เข้าไว้ด้วยกันและประมวลผลกราฟในแต่ละช่วง เพื่อสร้าง full-length transcripts ที่ใช้ในการวิเคราะห์การแสดงออกของยีนต่อไปซึ่งทำให้สามารถทราบถึง paralogous genes (Garcia-Seco et al., 2015)

- **Inchworm** สร้าง contig โดยการกำหนดค่าคงตัวของจำนวนเบสที่ซ้ำกันในแต่ละ reads (k-mer) และรวมส่วนที่มีการซ้ำกันของลำดับเบสในแต่ละ reads เข้าไว้ด้วยกันเป็น contig

- **Chrysalis** ทำการจัดกลุ่มของ contig ที่มีความคล้ายคลึงกัน โดย cluster ที่อยู่ใกล้เคียงกันจะมีที่มาจากการเกิด alternative spliced transcripts หรือมาจากการกลุ่มยืนกลุ่มเดียวกัน และนำไปเรียงลำดับเป็น *de Bruijn* graph

- **Butterfly** ประมวลผล *de Bruijn* graph แต่ละกราฟโดยใช้หน่วยประมวลผลแบบคู่ขนาน ที่ทำการประมวลผลลดความยาวกราฟ และรวมแต่ละ cluster เข้าด้วยกันเพื่อนำไปสร้างเป็น full-length transcripts ที่มีลักษณะเดียวกันกับ cDNA ต้นแบบที่เกิด alternative spliced transcripts และสามารถใช้อธิบายถึง paralogous genes ได้

### 3.3 การวิเคราะห์การแสดงออกของยีน

วิเคราะห์ข้อมูล Transcripts ที่ได้โดยใช้โปรแกรมประยุกต์ทางชีวสารสนเทศ และโปรแกรมทางสถิติในการวิเคราะห์ผลการแสดงออกของยีน

Grabherr, et al. (2011) สร้าง full-length transcriptome โดยปราศจากจีโนม จากข้อมูล RNA-Seq ซึ่งทำการจัดเรียง reads เพื่อใช้เป็นจีโนมอ้างอิงในฐานข้อมูลที่ยังขาดอยู่หรือไม่สมบูรณ์ โดยใช้ซอฟแวร์ Trinity ที่ใช้สำหรับการสร้าง *de novo* full-length transcriptome ในยีส หนู และแมลงหวีขาว

ซึ่งจากการศึกษานี้ trinity มีประสิทธิภาพในการสร้าง full-length transcriptome ได้ดีกว่าอร์ฟแวร์ de novo transcriptome assembly ตัวอื่นๆที่มีอยู่ ซึ่งจะนำไปสู่การเพิ่มข้อมูลจีโนมอ้างอิงในฐานข้อมูลอย่างสมบูรณ์

Hass et al. (2013) สร้างข้อมูล *de novo* transcript sequence จากข้อมูล RNA-Seq และวิเคราะห์ผลด้วย Trinity การศึกษาด้าน transcriptome โดยปราศจากจีโนมอ้างอิงในฐานข้อมูล โดยทำการอธิบายถึงหลักการวิเคราะห์ข้อมูลบน Trinity platform ในการทำ *de novo* transcriptome assembly จากข้อมูล RNA-Seq โดยไม่มีสิ่งมีชีวิตต้นแบบ และการวิเคราะห์ผลโดยใช้ R/Bioconductor packages ในการระบุและเปรียบเทียบการแสดงออกของ transcripts ระหว่างตัวอย่างซึ่งทำให้สามารถเข้าถึงข้อมูลทางชีววิทยาที่ยังขาดหายอยู่ได้เพิ่มมากขึ้น

กุลชนา เกษสุวรรณ (2557) วิเคราะห์ข้อมูลการถอดรหัส ที่ส่งผลต่อการแสดงออกของยีนที่แตกต่างกันในช่องอก จากจีโนมข้าวพันธุ์ผสม และพันธุ์พ่อแม่ โดยใช้เทคนิค Next Generation Sequencing (NGS) SOLiD System Sequencing Platform และนำผลการวิเคราะห์ลำดับนิวคลีโอไทด์ในแต่ละสายพันธุ์ไปเทียบกับข้าวพื้นที่อ้างอิง และทดสอบระดับการแสดงออกของยีนที่แตกต่างกันระหว่างข้าวแต่ละสายพันธุ์ ทำให้ได้ซึ่งข้อมูลพื้นฐานสำหรับการปรับปรุงพันธุ์ข้าวพันธุ์ผสมที่ต้องคงไว้ซึ่งลักษณะเด่นจากพ่อแม่พันธุ์เพื่อการได้มาซึ่งศักยภาพในการให้ผลผลิตที่สูง

Garcia-Seco et al. (2015) วิเคราะห์ข้อมูล RNA-Seq และ ข้อมูลtranscriptome ในเบล็คเบอร์รี โดยการทำ *de novo* transcriptome assembly บนพื้นฐาน Illumina Hiseq 2000 platform จากผลการทำ *de novo* ข้อมูล RNA-Seq ของผลเบล็คเบอร์รีสูก ได้ผลการอ่านลำดับนิวคลีโอไทด์ทั้งหมดประมาณ 9 พันล้านนิวคลีโอไทด์ ซึ่งจะถูกรวบได้เป็น 42,062 sequences และทำการระบุหน้าที่ของยีนจากการเปรียบเทียบลำดับนิวคลีโอไทด์จากฐานข้อมูลที่แตกต่างทำให้ได้ข้อมูลลำดับนิวคลีโอไทด์ใหม่เพิ่มขึ้น สำหรับการใช้เป็นเครื่องมือในงานวิจัยด้านชีววิทยา

## บทที่ 2

### อุปกรณ์และวิธีดำเนินการวิจัย

#### 2.1 วัสดุและอุปกรณ์

##### 2.1.1 อุปกรณ์สำหรับเก็บรักษาตัวอย่าง

- หลอดทดลอง
- ตู้เย็น 4 องศาเซลเซียส
- ตู้แช่แข็ง -20 องศาเซลเซียส และ -80 องศาเซลเซียส
- พาราฟิล์ม (Para film)

##### 2.1.2 อุปกรณ์สำหรับสกัดอาร์เอ็นเอทั้งหมด (total RNA)

- ถุงมือ
- แท่งแก้วบด
- กระดาษทิชชู
- อุปกรณ์ผ่าตัด
- ไมโครปิเพตเตอร์ (Micropipette) พร้อมไมโครปิเพตเตอร์ทิป (Micropipette tip)
- หลอดไมโครเซนทริฟิวจ์ (Microcentrifuge tube) 1.5 mL และ 0.2 mL
- เครื่องเพิ่มปริมาณดีเอ็นเอ (PCR Thermocycler)
- เครื่องสเปกโตรโฟโตเมตอร์ (Spectrophotometer)
- เครื่องผสมสาร (Vortex mixture) (Fine Vortex Finepcr, Korea)
- เครื่องอิเล็กโทรโฟเรซิส (Eletrophoresis) (Elite, Taiwan)
- เครื่องซึ่งสั่นตัวแห้ง (Sartorius, Geramany)
- เครื่องปั่นตกรากอน (Centrifuge)
- เครื่องไมโครเวฟ
- ขวดน้ำกลั่น
- ขวดรูปนมพู่ (Flash) 250 mL
- ตู้ปฏิบัติงานพีซีอาร์ (PCR Cabinet) (Dwyer, USA)
- ตะเกียงแอลกอฮอล์
- แท่งแก้วสามเหลี่ยม
- อ่างน้ำควบคุมอุณหภูมิ (Water bath)

#### 2.2 สารเคมี

- RNA later (Ambian, USA)
- Tri reagent
- Chloroform (ACLabscan, Thailand)
- Isopropanol
- 75% Ethanol

- 100% Ethanol
- น้ำ Diethylpyrocarbonate (DEPC)

### 2.3 เครื่องมือในการทำ RNA-Seq และการวิเคราะห์ข้อมูล

Illumina MiSeq System และ คอมพิวเตอร์ Dell N5368-W56635007TH (windows 10)

### 2.4 สถานที่ทำการศึกษา

ห้องปฏิบัติการเทคโนโลยีชีวภาพทางทะเล (Marine biotechnology laboratory) ศูนย์วิจัยเทคโนโลยีทางทะเล มหาวิทยาลัยบูรพา วิทยาเขตจันทบุรี

### 2.5 วิธีการดำเนินงาน

#### 2.5.1 การเก็บตัวอย่างรังไข่ของกั้งตื๊กแตนทางจุด

นำกั้งตื๊กแตนทางจุดมีชีวิตที่ได้จากการเก็บตัวอย่างรังไข่ของกั้งตื๊กแตน นำไปพักในถังเลี้ยงเป็นเวลา 3 วัน ทำการผ่าเพื่อเก็บรังไข่ และนำมาซึ่งน้ำหนักเพื่อหาข้อมูลด้านความสมบูรณ์เพศ เก็บตัวอย่างรังไข่ของกั้งตื๊กแตนแบ่งเป็น 2 ระยะ (ระยะต้น และระยะสุดท้าย) ระยะละ 3 ตัว หลังจากนั้นแบ่งเก็บตัวอย่างเป็นตัวอย่างละสองส่วน ส่วนแรกนำไปต้มในโคลีเซ็นติฟิวส์ขนาด 15 มิลลิลิตร ที่มี RNA later ปริมาตร 10 มิลลิลิตร โดยเก็บที่อุณหภูมิ 4 องศาเซลเซียส เป็นเวลา 12 ชั่วโมง หลังจากนั้นนำไปเก็บที่อุณหภูมิ -80 องศาเซลเซียส ส่วนที่สอง เก็บใส่หลอดไมโครเซ็นติฟิวส์ขนาด 1.5 มิลลิลิตร หลังจากนั้นนำไปเก็บไว้ที่อุณหภูมิ -80 องศาเซลเซียส

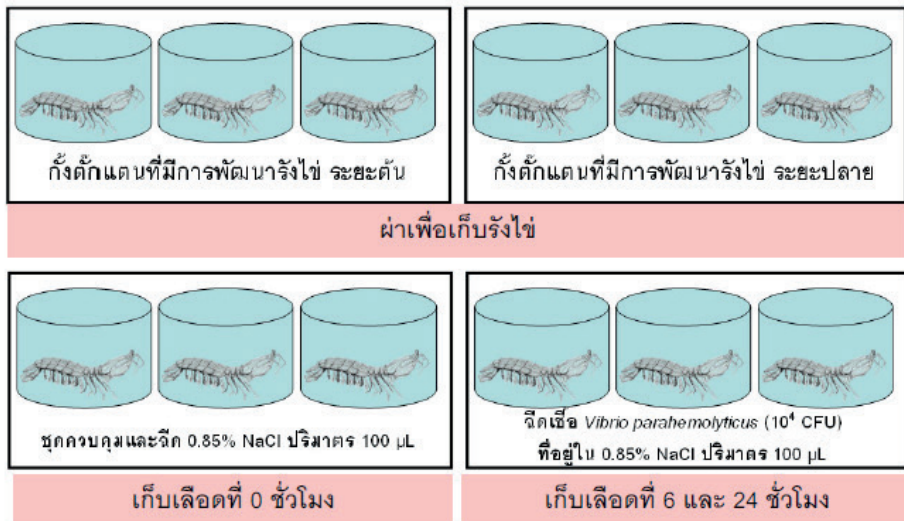
#### 2.5.2 การเก็บตัวอย่างเลือดของกั้งตื๊กแตนทางจุด

นำกั้งตื๊กแตนทางจุดมีชีวิตที่ได้จากการเก็บตัวอย่างรังไข่ของกั้งตื๊กแตน นำไปพักในถังเลี้ยงก่อนทำการทดลองเป็นเวลา 3 วัน เติมอาหารตลอดเวลา ใช้อาหารกุ้งขนาดเม็ดใหญ่เป็นอาหาร ใช้กั้งตื๊กแตนทั้งหมด 6 ตัว แบ่งเป็น

1. กั้งตื๊กแตนชุดควบคุมที่ฉีด normal saline (0.85% NaCl) ปริมาตร 100  $\mu$ L 3 ตัว ทำการเก็บเลือดกั้งตื๊กแตนทุกตัวที่ 0 ชั่วโมง

2. กั้งตื๊กแตนที่ได้รับเชื้อ *Vibrio parahemolyticus* จำนวน 3 ตัว โดยทำการฉีดเชื้อ *Vibrio parahemolyticus* ที่มีความเข้มข้น  $10^4$  CFU ที่อยู่ใน normal saline (0.85% NaCl) ปริมาตร 100  $\mu$ L (ทำให้เชื้อตายโดยการพาสเจอร์ที่ 63 องศาเซลเซียส เป็นเวลา 30 นาที) ทำการเก็บเลือดกั้งตื๊กแตนทุกตัวที่ 6 ชั่วโมง และ 24 ชั่วโมง

หลังจากนั้นแบ่งเก็บตัวอย่างเป็นตัวอย่างละสองส่วน ส่วนแรกนำไปต้มในโคลีเซ็นติฟิวส์ขนาด 15 มิลลิลิตร ที่มี RNA later ปริมาตร 10 มิลลิลิตร โดยเก็บที่อุณหภูมิ 4 องศาเซลเซียส เป็นเวลา 12 ชั่วโมง หลังจากนั้นนำไปเก็บที่อุณหภูมิ -80 องศาเซลเซียส ส่วนที่สอง เก็บใส่หลอดไมโครเซ็นติฟิวส์ขนาด 1.5 มิลลิลิตร หลังจากนั้นนำไปเก็บไว้ที่อุณหภูมิ -80 องศาเซลเซียส



ภาพที่ 2-1 แผนภาพแสดงแผนการทดลองและการเก็บตัวอย่างกุ้งตัวต้นทางจุล

### 2.5.3 การสกัด RNA ทั้งหมด (Total RNA extraction)

นำเลือด รังไข่ และตับ/ตับอ่อน ที่เก็บไว้ใน RNA later และที่ไม่ได้เก็บใน RNA later อย่างละ 0.5 กรัม แยกบดใน Tri reagent ปริมาตร 200 ไมโครลิตร แล้วเติม Tri reagent เพิ่มอีก 800 ไมโครลิตร จากนั้น ดูดเนื้อเยื่อที่บดแล้วแบ่งใส่หลอดไมโครเซ็นติพิวส์หลอดใหม่ หลอดละ 500 ไมโครลิตร เติม Tri reagent เพิ่มลงในแต่ละหลอด รวมถึงหลอดเริ่มต้นด้วย จนครบ 1000 ไมโครลิตร จากนั้นเติม Chloroform ปริมาตร 0.2 มิลลิลิตร เพื่อแยก RNA ออกจาก DNA และโปรตีน นำไปเขย่าด้วยเครื่องผสมสาร (Vortex) 15 นาที ตั้งไว้ที่ อุณหภูมิห้อง 5 นาที ดูดส่วนใสลงในหลอดไมโครเซ็นติพิวส์หลอดใหม่ แล้วเติม Isopropanol ปริมาตร 0.5 มิลลิลิตรเพื่อตกตะกอน RNA พลิกหลอดไมโครเซ็นติพิวส์เบาๆที่อุณหภูมิห้องเป็นเวลา 10 นาที หลังจากนั้น นำไปปั่นเหวี่ยงด้วยเครื่องปั่นตกตะกอน (Centrifuge) ที่ 12,000 ງ อุณหภูมิ 4 องศาเซลเซียส เป็นเวลา 15 นาที เทส่วนใสทึบแล้วล้างตะกอน RNA โดยการเติม Ethanol 75% ปริมาตร 1 มิลลิลิตร (ดีดตะกอนให้หลุดจากข้างหลอด) นำไปปั่นเหวี่ยงด้วยเครื่องปั่นตกตะกอน ที่ 12,000 ງ อุณหภูมิ 4 องศาเซลเซียส เป็นเวลา 15 นาที เทส่วนใสทึบแล้วคว้าหลอดไมโครเซ็นติพิวส์บนกระดาษทิชชูเป็นเวลา 10 นาที เพื่อให้ตะกอนแห้ง และเก็บตะกอน RNA โดยการเติม Ethanol ปริสุทธิ์ ปริมาตร 1 มิลลิลิตร แล้วดีดข้างหลอดเพื่อให้ตะกอน RNA หลุดจากข้างหลอดและเก็บที่อุณหภูมิ -80 องศาเซลเซียส

### 2.5.4 การวิเคราะห์ RNA ทั้งหมด

เจือจาง RNA ทั้งหมดด้วยน้ำ DEPC ในอัตราส่วน 1:99 เพื่อนำไปวัดค่าการดูดกลืนแสงด้วยเครื่องสเปกโตรโฟโตเมตเตอร์ที่ความยาวคลื่น 260 นาโนเมตร (OD 260) และ 280 นาโนเมตร (OD 280) เพื่อหา ความเข้มข้นและคุณภาพของ RNA ทั้งหมด คำนวณได้จากการที่ 1 และสมการที่ 2 โดย RNA ที่มีคุณภาพ

ความมีค่าเท่ากับ 2 (Sambrook and Russel, 2001) ตรวจสอบความบริสุทธิ์โดยละลายอะก้าโรสในไมโครเวฟ เป็นเวลาประมาณ 2 นาที จนอะก้าโรสละลายทั้งหมดตั้งที่วิวัฒนาณอุณหภูมิประมาณ 60 องศาเซลเซียส จึงเหลง ถอดพลาสติกที่มีหวี (comb) ติดตั้งอยู่ รอให้เจลแข็งตัวที่อุณหภูมิห้องใช้เวลาประมาณ 30 นาที เมื่อถอดหวี ออกจะทำให้เกิดช่องว่างสำหรับใส่ตัวอย่าง วางแผ่นเจลใน chamber และเติม electrophoresis buffer (1x TEA buffer) ให้ท่วมแผ่นเจล (ระวังอย่าให้เกิดฟองอากาศในช่องใส่ตัวอย่าง) จากนั้นผสมตัวอย่างกับ loading dye และน้ำนานาโนบริสุทธิ์ (Nano pure) ในอัตราส่วน 1:2:5 แล้วทำการเติมสารผสมลงในช่องสำหรับใส่สาร ตัวอย่าง (well) โดยใช้ DNA standard marker เป็นตัวเปรียบเทียบขนาด จ่ายกระแทกไฟฟ้าที่ความต่างศักย์ คงที่ 100 โวลต์เป็นเวลา 20 นาที นำแผ่นเจลอะก้าโรสไปย้อมต่อด้วยเอธิเดียมไบโรมายด์ 1-3 นาที ล้างเอธิเดียมไบโรมายด์ออกด้วยน้ำประปาประมาณ 20-30 นาที ดูผลการทดลองภายใต้แสง UV โดยใช้เครื่อง Gel documentation และบันทึกผลด้วยการถ่ายภาพ

ความเข้มข้นของ RNA (ng/ $\mu$ L) = Dilution factor  $\times$  OD 260  $\times$  40 .....1

คุณภาพของ RNA = (OD 260 / OD 280)..... 2

## 2.5.5 การสร้างข้อมูล RNA-Seq

(Professor Dr. Hidehiro Kondo and Professor Dr. Ikuo Hirono, Laboratory of Genome Science Tokyo University of Marine Science and Technology, Japan)

การสร้างข้อมูล RNA-Seq ทำโดยเครื่อง Illumina ซึ่งทำการวิเคราะห์ข้อมูลลำดับนิวคลีโอไทด์ตามหลักการ sequencing by synthesis ทำให้สามารถอ่านความยาว read ได้ถึง 150 คู่เบส โดยในการหาลำดับเบส 1 ครั้งจะได้จำนวนเบส ประมาณ 10 ล้าน reads หรือประมาณ 1.5 กิกะเบส ซึ่งมีความถูกต้องของเบสที่ได้ (Q30) มีมากกว่าร้อยละ 99.5

การเตรียม cDNA ต้นแบบโดยการตัด cDNA ด้วย nebulizer โดยอาศัยเทคนิค nebulization ซึ่งใช้ cDNA ปริมาณ 0.5 ถึง 5 มิลลิกรัม โดยจะเกิดการควบคุมขนาดของ cDNA ด้วยการเปลี่ยนแปลงความดันของ ก๊าซภายใน nebulizer รวมถึงปัจจัยอื่นๆที่มีผลตัวอย่าง เช่น ความหนืดของสารละลาย อุณหภูมิของสารละลาย ซึ่งมีผลต่อขนาดของสาย cDNA (Sambrook and Russell, 2006) การตัดสาย cDNA จะทำให้ได้สาย cDNA ที่มีขนาดน้อยกว่า 800 คู่เบส หลังจากนั้นส่วนปลายที่ถูกตัดจะถูกต่อเข้าด้วยเอนไซม์ D4 DNA polymerase, Klenow enzyme และ T4 poly nucleotide kinase (Son and Taylor, 2011) และเติมนิวคลีโอไทด์เบส A ที่ปลาย 3' ของสาย cDNA นั้นๆ เพื่อให้สามารถเชื่อมต่อกับ adapter ได้ดีขึ้น ซึ่ง adapter มีขนาด 66 คู่เบส และติดเบส T ที่ปลายทั้งสองด้าน หลังจากนั้นคัดแยกสาย DNA ที่มีขนาด 150 ถึง 200 คู่เบสบนเจล และเพิ่มปริมาณสาย cDNA โดยเทคนิค PCR

การสร้างกลุ่มของสาย cDNA โดยวิธี bridge amplification นำสาย cDNA ที่ได้จากขั้นตอนการตัดใช้ cDNA สายเดียวใส่ลงบนแผ่นกระเจลสไลด์ (flow cell channels) แบบสูม โดยที่ผิวของแผ่นกระเจลสไลด์ ถูกฉบับด้วย adapter และ adapter ที่เป็นคู่สมกัน (complementary adapter) ซึ่งทำหน้าที่เชื่อมต่อ กับ primer ที่ใช้ในการเพิ่มปริมาณ cDNA ด้วยเทคนิค PCR จากนั้นเติมนิวคลีโอไทด์และเอนไซม์ เพื่อเริ่มการเพิ่ม

ปริมาณแบบสะพาน (bridge amplification) จาก cDNA สายเดี่ยว 1 โมเลกุล จับกับ primer เป็นรูปสะพาน โค้ง (double-stranded bridges) ในขั้นตอนการแยกสาย cDNA จะได้ cDNA สายเดี่ยว เพื่อใช้เป็น cDNA ต้นแบบอีกรัง หลังจากเพิ่มจำนวนด้วยเทคนิค PCR จะได้กลุ่มของสาย cDNA มากกว่า 50 ล้านกลุ่ม โดยแต่ละกลุ่มประกอบด้วย cDNA ประมาณ 1,000 ชุดในแต่ละช่อง

การทำลำดับเบสโดยเครื่อง Illumina ทำได้โดยใช้หลักการ sequencing by synthesis โดยแยกสาย cDNA ในแต่ละกลุ่มเป็น cDNA สายเดี่ยว ใช้ primers สำหรับทำลำดับเบสจับกับ cDNA ที่จำเพาะนั้นๆ ในช่วงเริ่มต้นของการทำลำดับเบสจะมีการเติมเอ็นไซม์ DNA polymerase และนิวคลีโอไทด์ทั้ง 4 เบส ที่ติดด้วยสารเรืองแสงที่มีสีแตกต่างกัน และใช้ reversible terminator ด้วยการ block ปลายด้าน 3' OH ไว้เพื่อหยุดการสังเคราะห์สาย cDNA ของเอ็นไซม์ DNA polymerase เมื่อหยุดการสังเคราะห์สาย cDNA นิวคลีโอไทด์ที่ไม่ได้เข้าคู่กับสาย cDNA ตั้งต้นที่เหลือในปฏิกิริยาจะถูกล้างออก หลังจากการกระตุ้นด้วยแสง จะมีการบันทึกภาพการปลดปล่อยสารเรืองแสงของนิวคลีโอไทด์จากแต่ละกลุ่มนรรจกสไลด์ที่ได้ เพื่อบันทึกความเหมือนกันของเบสแรกสำหรับกลุ่มนั้นๆ ตามด้วยขั้นตอนการตัด (cleavage) เพื่อกำจัด terminator และ fluorescent dye ออก จากนั้นเติมนิวคลีโอไทด์ชุดใหม่ และเอ็นไซม์ DNA polymerase เพื่อสังเคราะห์สาย cDNA ต่อ โดยการทำซ้ำต่อไปเรื่อยๆ ซึ่งในแต่ละรอบจะเป็นตัวกำหนดลำดับเบสที่อ่านได้ในแต่ละครั้ง

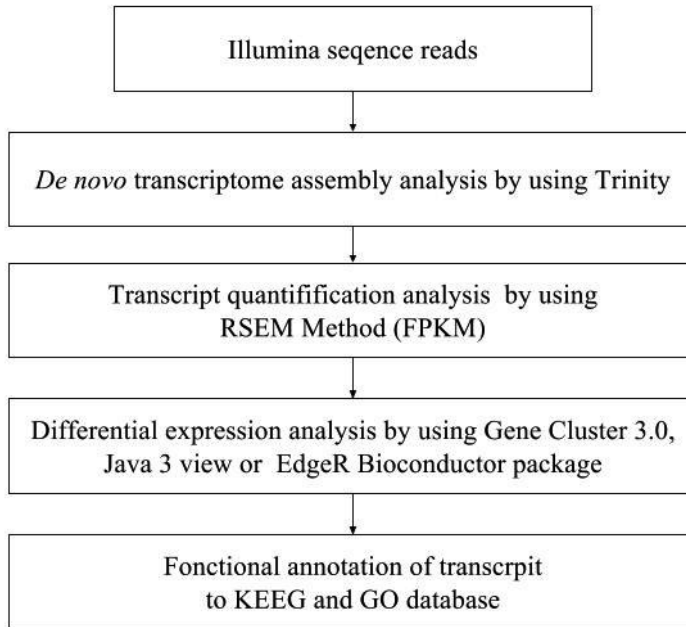
### 2.5.6 การวิเคราะห์การแสดงออกของยีน

ขั้นตอน *De novo transcriptome assembly* และ *Transcript abundance estimation De novo transcriptome assembly*

เมื่อได้ข้อมูล RNA-Seq จากการวิเคราะห์ข้อมูลลำดับเบสจากเครื่อง Illumina ทำให้ได้ลำดับนิวคลีโอไทด์ที่มีขนาดเท่ากันทุกเส้นในปริมาณมาก การทำ *De novo transcriptome assembly* ทำได้โดยการนำข้อมูล RNA-Seq เข้าสู่การวิเคราะห์ข้อมูลโดยใช้ Trinity ซึ่งประกอบไปด้วยขั้นตอนทั้งหมด 3 ขั้นตอน ขั้นตอนแรก Inchworm ทำหน้าที่ในการต่อ reads ที่ได้จากเครื่อง Illumina เข้าด้วยกันตามตำแหน่งที่ซ้ำกันของเบสในแต่ละ reads ที่สามารถนำมาต่อกันได้เป็น contig ขั้นตอนที่สอง Chrysalis ทำหน้าที่ในการจัดกลุ่มของ contig ที่มีลักษณะเหมือนกันหรือคล้ายกันเข้าไว้ด้วยกัน โดยในแต่ละกลุ่มของ contig ที่มีความใกล้ชิดกันจะถูกเรียงติดกัน และสร้างเป็น *De Bruijn graph* ในขั้นตอนสุดท้าย Butterfly ทำหน้าที่ในการรวมแต่ละกลุ่มของ contig ที่ถูกเรียงเป็น *De Bruijn graph* แล้วนั้นให้ได้เป็น transcripts

#### 1) Transcript abundance estimation

เมื่อได้ข้อมูล transcripts ทั้งหมดมาแล้ว นำข้อมูลที่ได้เข้าสู่กระบวนการ RSEM (RNA-Seq by Expectation-Maximization) เพื่อทำการประเมินระดับการแสดงออกในแต่ละ transcripts ในแต่ละอวัยวะโดยการเปรียบเทียบกันของในรูปของ isoform ที่มีอยู่ของแต่ละ transcripts ซึ่งจะทำการประเมินได้จากการเปรียบเทียบปริมาณ reads ใน transcripts ที่มีเหมือนกัน และแตกต่างกันในแต่ละ isoform ซึ่งในขณะที่ทำการประเมิน reads ที่มีเหมือนกันจะไม่ถูกนับ ระบบจะนับเพียง reads ที่มีเฉพาะใน transcripts นั้นๆ ทำให้สามารถประเมินได้ออกมาเป็นตัวเลข FPKM (Frackments Per Kilobase of target transcript length per Million reads mapped) ซึ่งเป็นค่าการแสดงออกของแต่ละ transcripts



ภาพที่ 2-2 แสดงขั้นตอนการวิเคราะห์การแสดงออกของยีน

## 2) Differential expression

วิเคราะห์เปรียบเทียบระดับการแสดงออกของ transcripts ในตัวอย่างเลือดที่ได้รับเชื้อ *Vibrio parahemolyticus* และตัวอย่างเลือดปกติ จากค่า FPKM (ค่าการแสดงออก) โดยอาศัยการวิเคราะห์ผลด้วยโปรแกรมคอมพิวเตอร์ประยุกต์ทางสถิติ R studio ในการสร้างสร้าง gene expression profile โดยเริ่มจากการตัดข้อมูลที่มีค่าการแสดงออกตัวต่ำที่สุดเป็น 0 ในตัวอย่างเลือดที่ได้รับเชื้อ *Vibrio parahemolyticus* และตัวอย่างเลือดปกติ 以便นั้นทำการปรับค่าข้อมูลค่าการแสดงออกที่เหลือให้อยู่ในรูป **log<sub>10</sub>** ทั้งหมดเพื่อให้สามารถเปรียบเทียบกันในช่วงจำนวนที่น้อยลง และประเมินค่าความแปรปรวนของค่าการแสดงออกระหว่าง ตัวอย่างเลือดที่ได้รับเชื้อ *Vibrio parahemolyticus* และตัวอย่างเลือดปกติ และตัดข้อมูลที่มีความแปรปรวน ต่ำกว่า 2 ออก ทำให้เหลือเพียง transcripts ที่มีค่าการแสดงออกที่มีความแตกต่างกันมากตามค่าความแปรปรวนที่เกิดขึ้น หลังจากนั้นทำการจัดกลุ่มโดยใช้ package gplots ใน function heatmap.2

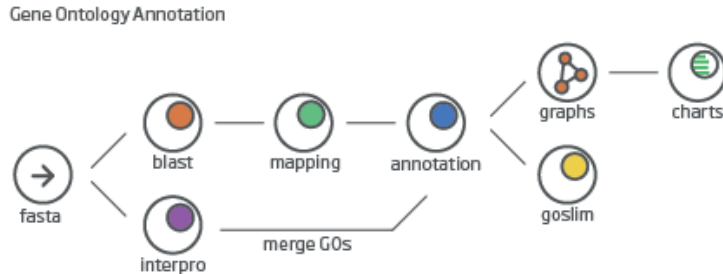
## 3) เลือกข้อมูล sequences

ทำการเลือกข้อมูลลำดับนิวคลีโอไทด์ จากชีอ์ transcripts ที่ถูกจัดกลุ่มตามลักษณะการแสดงออกที่ลงทะเบียน เนื่องจากข้อมูลลำดับนิวคลีโอไทด์ของ transcripts ที่มีอยู่จะอยู่ในรูปแบบ fasta file จำนวน 1 file ซึ่งจะเก็บ transcripts ไว้ทั้งหมด 93,344 transcripts ซึ่งจะไม่ถูกรวมไว้กับค่าการแสดงออก ดังนั้นเมื่อจัดกลุ่ม transcripts แล้วต้องเลือกข้อมูลลำดับนิวคลีโอไทด์ที่ลงทะเบียนโดยการค้นหาจากชีอ์ transcripts ในแต่ละกลุ่มและบันทึกข้อมูลในรูปแบบ fasta file โดยค้นหาจากชุดข้อมูลที่มีอยู่ทั้งหมดในฐานข้อมูลที่สร้างไว้ในโปรแกรม Cut off transcripts

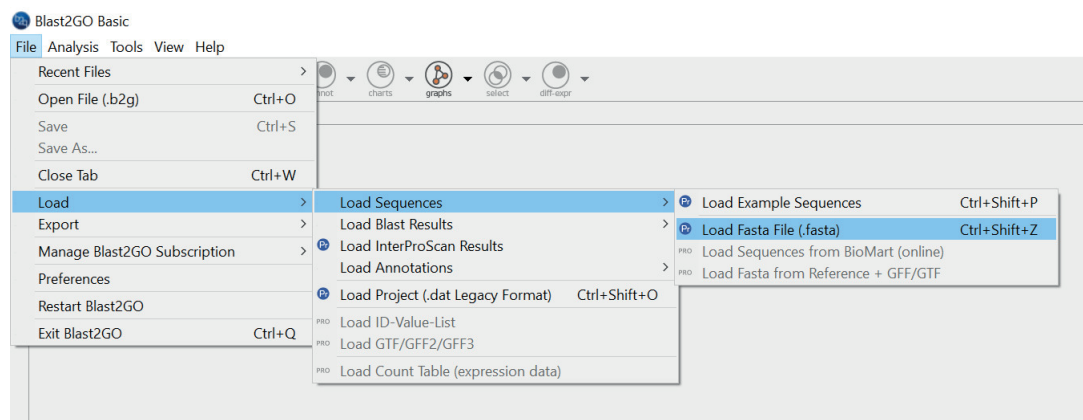
## 4) Functional annotation of transcripts

หลังจากทราบถึง Transcripts ที่มีค่าการแสดงออกที่แตกต่างกันตาม gene expression profile จะถูกนำไประบบหน้าที่ของแต่ละ transcripts โดยใช้ software Blast2go ซึ่งเริ่มจากการระบุยีนโดย

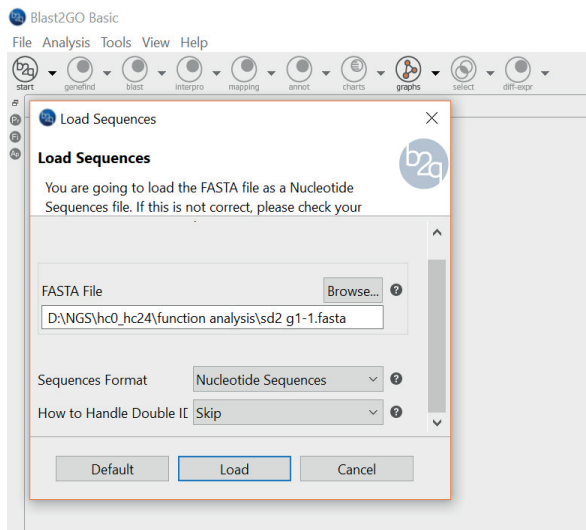
ใช้ blastx เนื่องจาก transcripts ที่ได้ถูกตัดส่วนที่เป็น intron ออกแล้วจึงเหลือเพียงส่วนที่เป็น protein coding region ทำให้สามารถเทียบ transcripts จากฐานข้อมูล blastx ได้โดยตรง เมื่อได้ข้อมูลแล้วต้องทำการ map transcripts ที่มีกับฐานข้อมูลโปรตีนอื่นๆเพื่อให้สามารถเข้าถึงข้อมูลที่เกี่ยวข้องให้ได้มากที่สุดแล้ว จึงทำการทำ gene ontology โดยการจัดระดับโดยการเชื่อมต่อกับฐานข้อมูล GO จากนั้นทำการระบุ pathway ของแต่ละ transcript จากฐานข้อมูล Kyoto Encyclopedia of Genes and Genomes Pathway database (KEGG) ซึ่งมีขั้นตอนดังภาพที่ 2-3 ถึง ภาพที่ 2-15



ภาพที่ 2-3 Gene Ontology analysis workflow



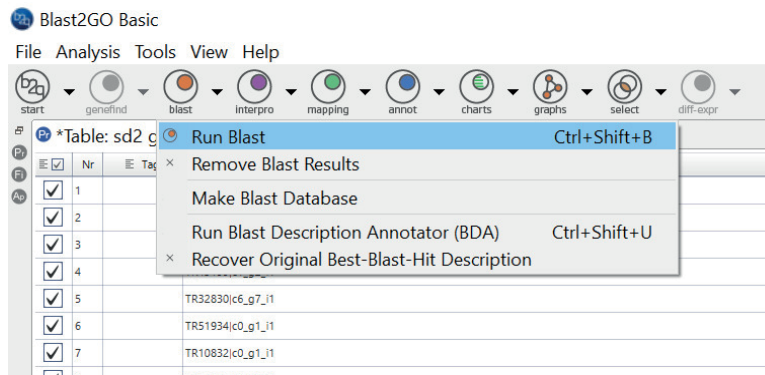
ภาพที่ 2-4 load fasta file



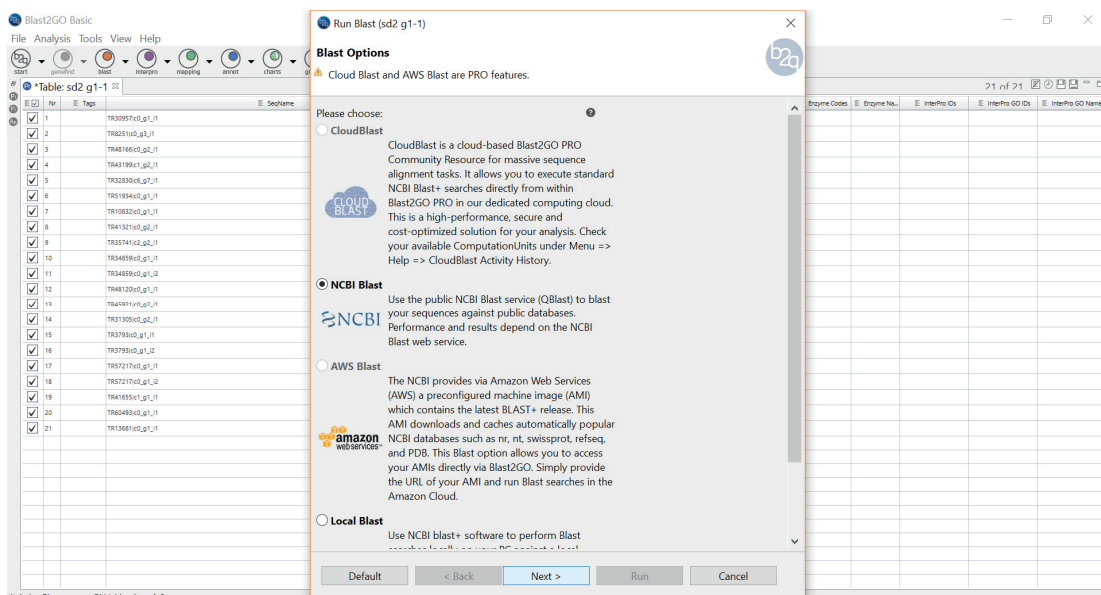
ภาพที่ 2-5 การตั้งค่า sequences format

Nr	SeqName	Description	Length	#Hits	eValue	sim mean	GO	GO IDs	GO Names	Enzyme Codes	Enzyme No.	InterPro IDs	InterPro GO IDs	InterPro GO Names
1	TR30937(c0,g1_1)		540											
2	TR82510(c0,g3_1)		540											
3	TR40166(c0,g2_1)		540											
4	TR43199(c0,g2_1)		540											
5	TR32303(c0,g7_1)		479											
6	TR51940(c0,g1_1)		540											
7	TR10832(c0,g1_1)		540											
8	TR41311(c0,g2_1)		419											
9	TR33711(c0,g2_1)		540											
10	TR34899(c0,g1_1)		540											
11	TR34898(c0,g1_2)		540											
12	TR48120(c0,g1_1)		540											
13	TR44911(c0,g3_1)		42n											
14	TR31356(c0,g2_1)		432											
15	TR37910(c0,g1_1)		540											
16	TR37910(c0,g1_2)		540											
17	TR57217(c0,g1_1)		540											
18	TR57217(c0,g1_2)		540											
19	TR41655(c0,g1_1)		540											
20	TR60493(c0,g1_1)		540											
21	TR13681(c0,g1_1)		540											

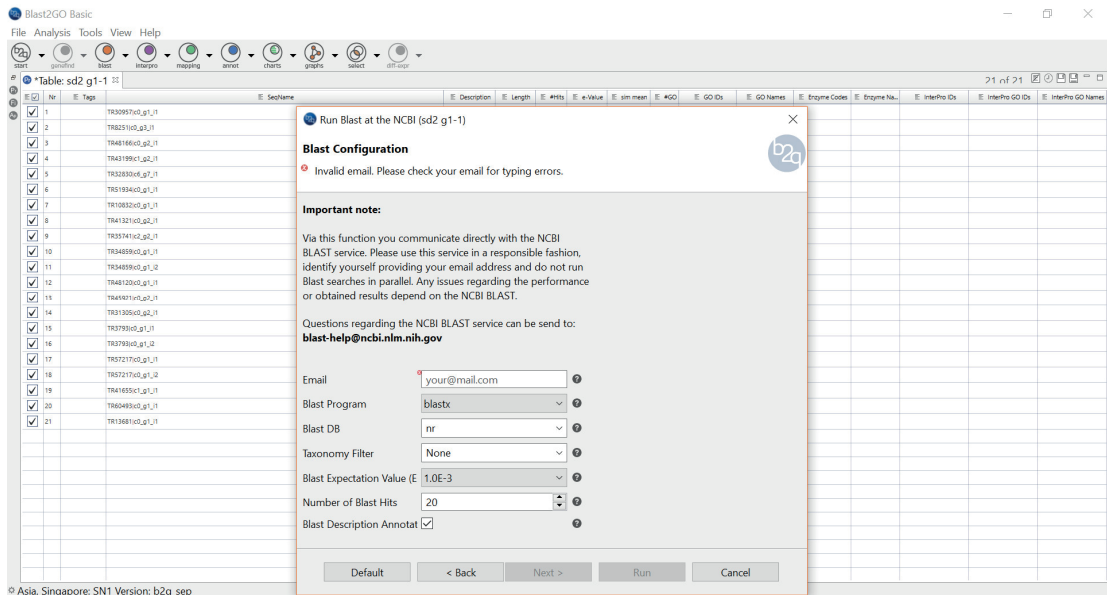
ภาพที่ 2-6 sequences ที่ถูกโหลดเข้ามาใน Blast2go



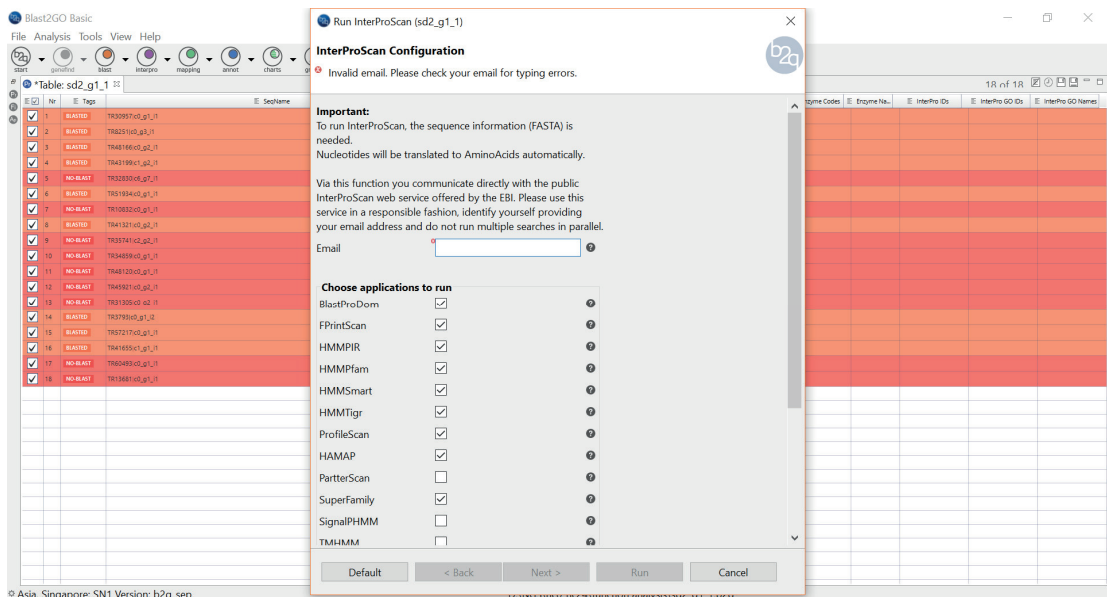
ภาพที่ 2-7 เลือก blast sequences



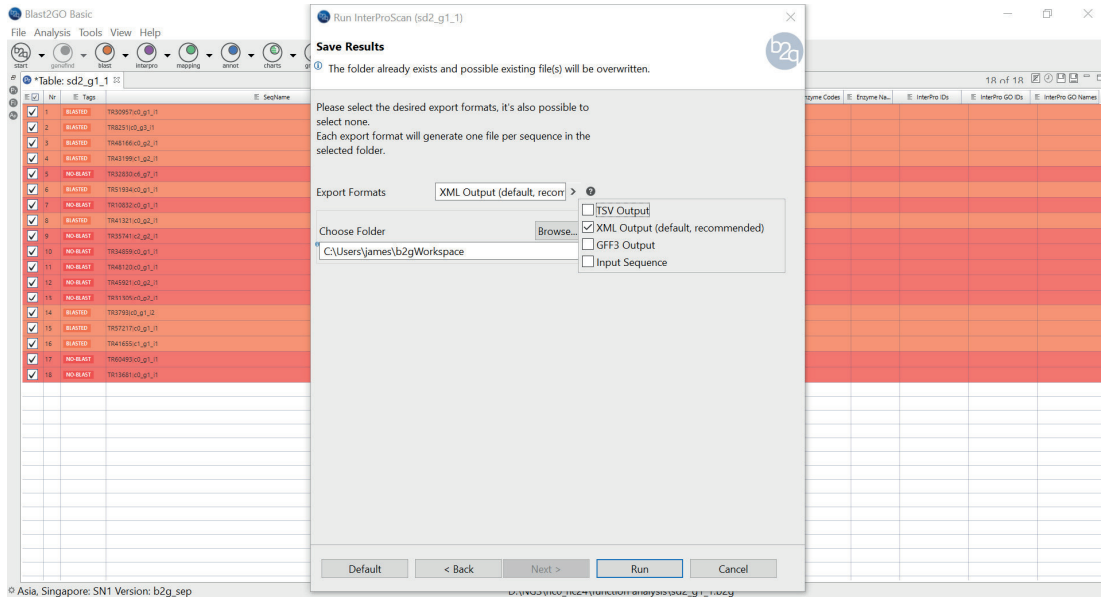
ภาพที่ 2-8 เลือกร้านข้อมูลสำหรับการ blast



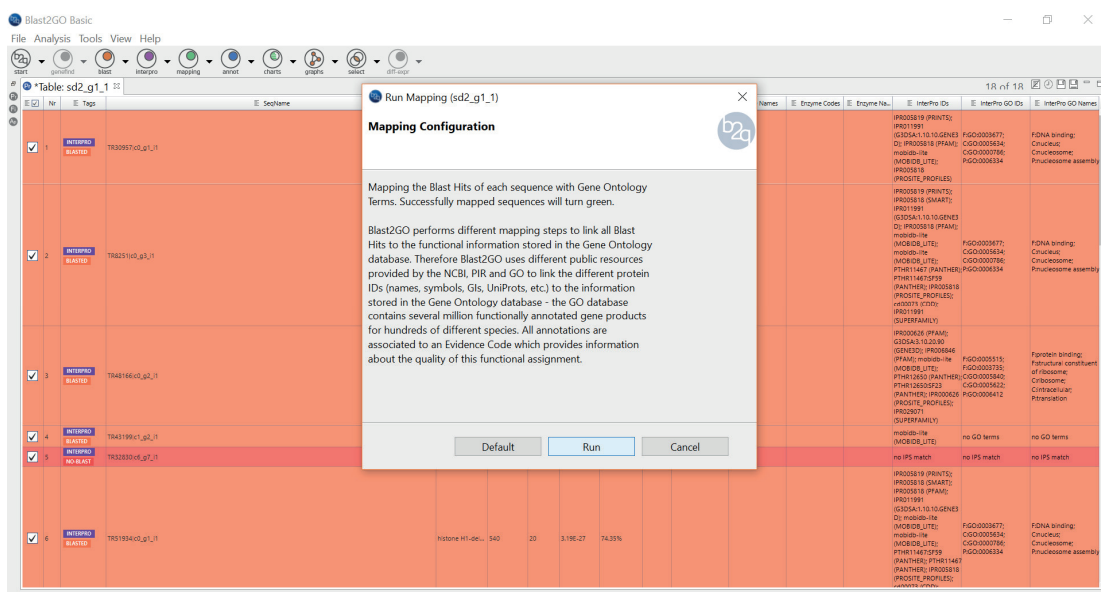
ภาพที่ 2-9 การกำหนดค่าการ blast



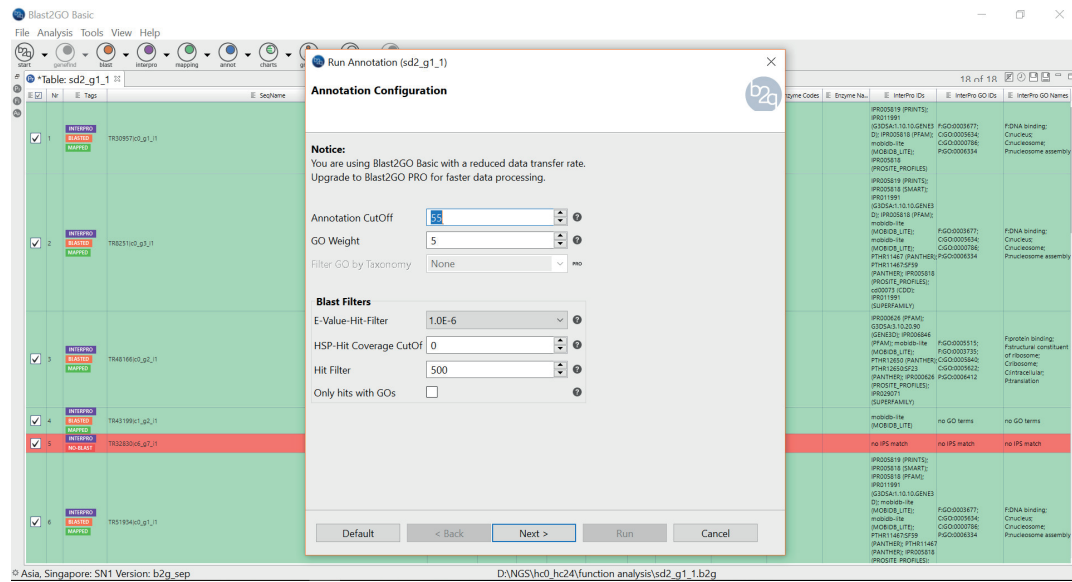
ภาพที่ 2-10 การทำ InterPro scan เป็นการระบุโปรตีนจากฐานข้อมูลโปรตีนอื่นๆ โดยการกำหนดค่าเป็น default



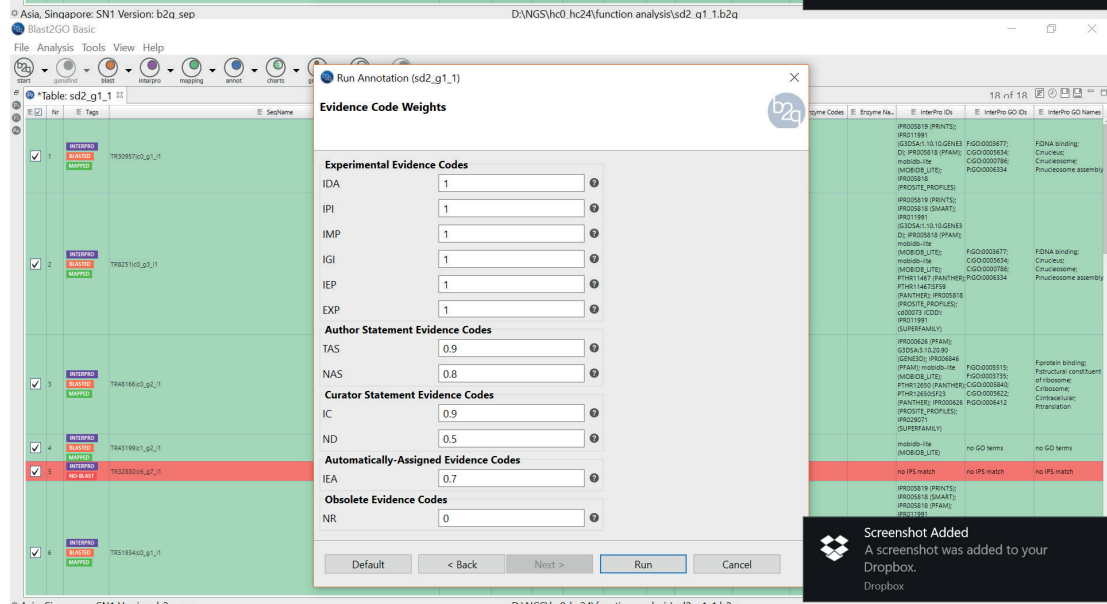
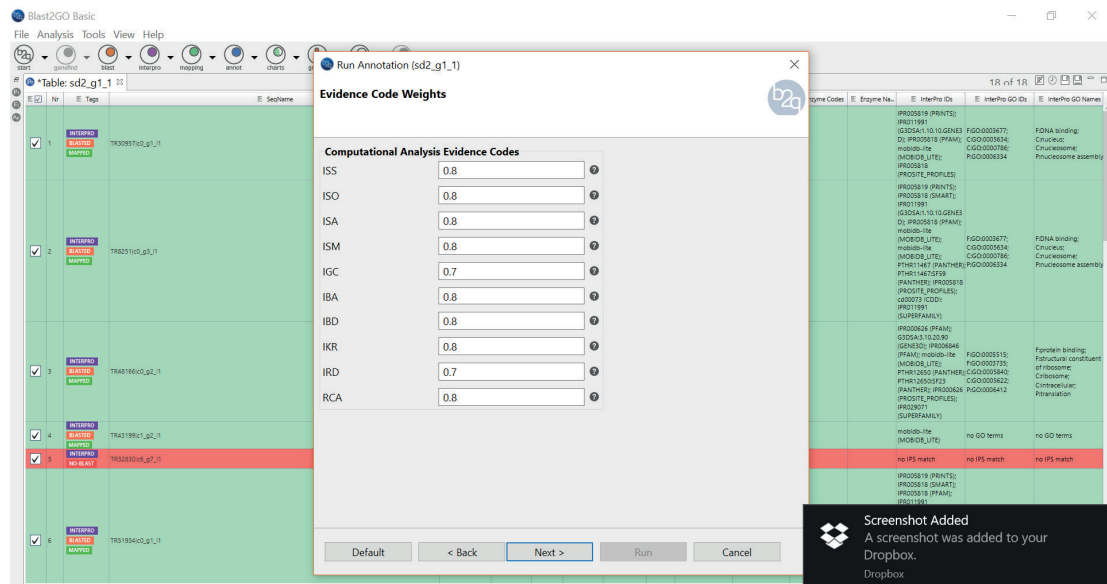
ภาพที่ 2-11 การ save ผลการทำ InterPro scan



ภาพที่ 2-12 การ maps sequences เพื่อการดึงเอาข้อมูลจากฐานข้อมูลอื่นๆไปสู่การทำ GO term โดยกำหนดค่าเป็น default



ภาพที่ 2-13 การกำหนดค่าการทำ Annotation กำหนดค่าเป็น default



ภาพที่ 2-14 กำหนดค่า Evidence code เป็น default

ภาพที่ 2-15 Sequences หลังจากการทำ Annotation

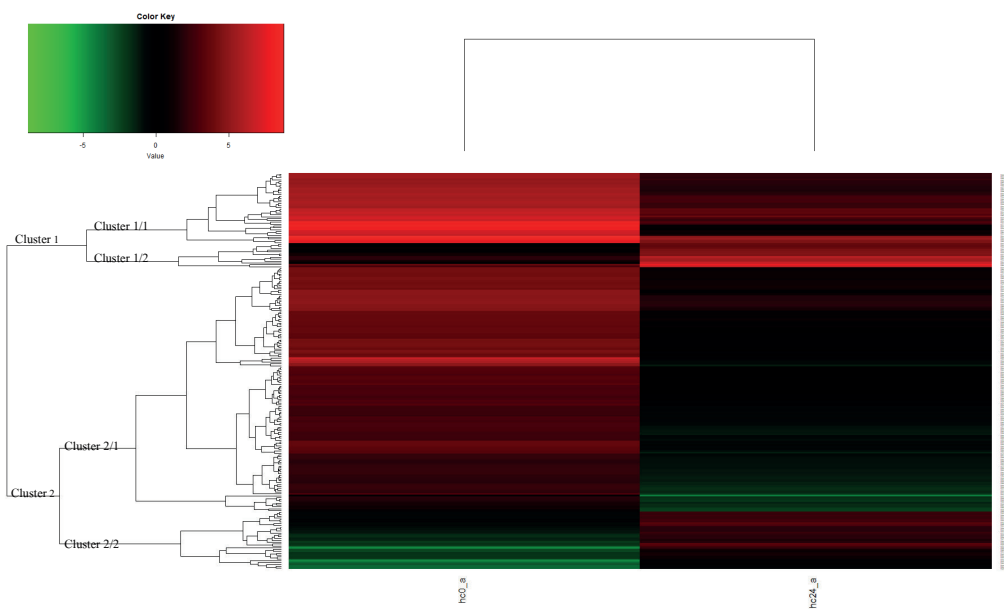
## บทที่ 3

### ผลการวิจัย

#### 3.1 ระดับการแสดงออกของยีน

##### 3.1.1 การกรองข้อมูล ตามค่าการแสดงออกของ transcripts (FPKM)

จากการทำ *De novo* transcriptome assembly ได้ transcripts ทั้งหมด 93,344 sequences และทำการตัดข้อมูลที่มีความนำเชื่อถือน้อยออกโดยทำการตัด transcripts ที่มีค่าการแสดงออกเป็น 0 ทั้งชุดทดลองและ ชุดควบคุม ทำให้เหลือ transcripts เพียง 28,323 transcripts จากนั้น เปรียบเทียบค่า FPKM ในรูป **log<sub>10</sub>** และมีค่าความแปรปรวนระหว่างชุดทดลองและ ชุดควบคุมไม่ต่างกว่า 2 จะได้ข้อมูลค่าความแตกต่างในการแสดงออกของแต่ละ transcript ทั้งหมด 214 transcripts และสามารถแบ่งออกได้เป็น 2 กลุ่มใหญ่โดยกลุ่มที่ 1 จะมีการเปลี่ยนแปลงค่าการแสดงออกระหว่างสภาวะปกติ และ สภาวะที่ได้รับเชื้อ *Vibrio parahemolyticus* น้อยกว่ากลุ่มที่ 2 และแต่ละกลุ่มแบ่งเป็นกลุ่มละ 2 กลุ่มย่อย เป็นกลุ่มที่ 1/1, 1/2, 2/1 และ 2/2 ดังภาพที่ 3-1



ภาพที่ 3-1 heatmap การจัดกลุ่มตามลักษณะการแสดงออกของ transcripts โดยมี hc0\_a เป็นชุดควบคุม และ hc24\_a เป็นชุดทดลอง

## 3.2 การระบุหน้าที่ของยีน (Functional annotation of genes)

### 3.2.1 กลุ่มที่ 1/1 มีลักษณะการแสดงออกลดลง

มีทั้งหมด 18 transcripts มีลักษณะการแสดงออกลดลงเมื่อได้รับเชื้อ *Vibrio parahemolyticus* เมื่อเปรียบเทียบกับสภาพปกติ (hc0\_a ในภาพที่ 3-1) สามารถระบุชื่อยีนจากฐานข้อมูล blastx ได้ทั้งหมด 9 transcripts ดังตารางที่ 3-1 และนำไปอธิบายถึงหน้าที่ของยีนได้ทั้งหมด 5 transcripts จาก 9 transcripts ที่สามารถระบุชื่อยีนได้ดังตารางที่ 3-1 โดยการนำเอาข้อมูลจากฐานข้อมูลออนไลน์ GO โดยในแต่ละ transcript จะแบ่งเป็นส่วนของ biological process, molecular function และ cellular component ดังตารางที่ 3-2 ซึ่งมีการจัดลำดับขั้นตามรูปแบบของ gene ontology ดังตารางที่ 3-3, 3-4 และ 3-5 สามารถสรุปองค์ประกอบหน้าที่ของ transcripts ตามระดับที่ 2 (level 2) ของการจัดลำดับตามรูปแบบของ gene ontology ได้ดังนี้

biological process มีทั้งหมด 7 ส่วนประกอบ ประกอบไปด้วย cellular component organization or biogenesis จำนวน 5 transcripts, cellular process จำนวน 5 transcripts, biological regulation จำนวน 1 transcript, metabolic process จำนวน 1 transcript, growth จำนวน 1 transcript, single organism process จำนวน 1 transcript, regulation of biological process จำนวน 1 transcript ดังภาพที่ 3-2

molecular function มีทั้งหมด 2 ส่วนประกอบ ประกอบไปด้วย binding เป็นส่วนใหญ่ จำนวน 5 transcripts และ structural molecular activity จำนวน 1 transcript ดังภาพที่ 3-3

cellular component มีทั้งหมด 7 ส่วนประกอบ ประกอบไปด้วย molecular complex จำนวน 5 transcripts, cell part จำนวน 4 transcripts, organelle จำนวน 4 transcripts, cell จำนวน 4 transcripts, organelle part จำนวน 3 transcripts, extracellular region จำนวน 1 transcript และ extracellular region part จำนวน 1 transcript ดังภาพที่ 3-4

ตารางที่ 3-1 องค์ประกอบของ transcripts ในกลุ่มที่ 1/1

SeqName	description	Length	#Hits	e-Value	sim mean	#GO	GO IDs	GO Names	Enzyme codes	Enzyme names	InterPro IDs	InterPro GO IDs	GO IDs
TR30957 c0_g1_i1	histone H1-delta-like	540	20	4.91E-21	81.85	4	C:GO:0005634; F:GO:0003677; C:GO:0000786; P:GO:0006334	C:nucleus; F:DNA binding; C:nucleosome; P:nucleosome assembly	IPR05819 (PRINTS); IPR011991 (G3DSA1.10.10.GENE3D); IPR05818 (PFAM); mobidb-lite (MOBIDB_LITE); IPR05818 (PROSITE_PROFILES)	F:GO:0003677; C:GO:0005634; C:GO:0000786; P:GO:0006334	F:GO:0003677; C:GO:0005634; C:GO:0000786; P:GO:0006334	C:GO:0005624; F:GO:0003677; C:GO:0005634; C:GO:0000786; P:GO:0006335	
TR8251 c0_g3_i1	histone H1-delta-like	540	20	5.52E-24	76.1	4	C:GO:0005634; F:GO:0003677; C:GO:0000786; P:GO:0006334	C:nucleus; F:DNA binding; C:nucleosome; P:nucleosome assembly	IPR05819 (PRINTS); IPR05818 (SMART); IPR011991 (G3DSA1.10.10.GENE3D); IPR05818 (PFAM); mobidb-lite (MOBIDB_LITE); mobidb-lite (MOBIDB_LITE); PTHR11467 (PANTHER); PTHR11467.SF59	F:GO:0003677; C:GO:0005634; C:GO:0000786; P:GO:0006334	F:GO:0003677; C:GO:0005634; C:GO:0000786; P:GO:0006334	C:GO:0005624; F:GO:0003677; C:GO:0005634; C:GO:0000786; P:GO:0006335	

ตารางที่ 3-1 (ต่อ) วงศ์ประภากบฏของ transcripts ในกลุ่มที่ 1/1

SeqName	description	Length	#Hits	e-Value	sim mean	#GO	GO IDs	GO Names	Enzyme codes	Enzyme names	InterPro IDs	GO IDs
TR48166 c0_g2_i1	40S ribosomal S30	540	20	2.77E-58	78.6	5	F:GO:0005515; F:GO:003735;	F:protein binding; F:structural	IPRO00626 (PFAM); G3DSA:3.10.20.90 (GENE3D);	F:GO:0005515; F:GO:0003735;		
							P:GO:0042254; C:GO:0005840; P:GO:0006412	constituent of ribosome; P:ribosome biogenesis; C:ribosome; P:translation	IPRO06846 (PFAM); mobidb-lite (MOBIDB_LITE); PTHR12650 (PANTHER); PTMR12650;SF23 (PANTHER); IPRO00626 (PROSITE_PROFILES); IPRO29071 (SUPERFAMILY)	P:GO:0042254; C:GO:0005840; C:GO:0005622; P:GO:0006412		
TR43199 c1_g2_i1	Collagen alpha-1(V) chain	540	19	9.03E-11	73.84	1	C:GO:0005581	C:collagen trimer	mobidb-lite (MOBIDB_LITE)	no GO terms	C:GO:0005582	
TR32830 c6_g7_i1	--NA--		479								no IPS match	
TR51934 c0_g1_i1	histone H1-delta-like	540	20	3.19E-27	74.35	4	C:GO:0005634; F:GO:003677;	C:nucleus; F:DNA binding;	IPRO05819 (PRINTS); IPRO05818 (SMART); IPRO05818 (PFAM); IPR011991 (G3DSA:1.10.10.GENE3D);	F:GO:0003677; C:GO:0005634; C:GO:0000786; P:GO:0006334		
							C:GO:0000786; P:GO:0006334	Pinucleosome assembly	mobidb-lite (MOBIDB_LITE); PTHR11467;SF59 (PANTHER); PTHR11467 (PANTHER); IPRO05818 (PROSITE_PROFILEs); cd00073 (CD); IPRO11991	P:GO:0000786; P:GO:0006334		

ຕາງານທີ 3-1 (ຕ່ອ) ອັດປັບປຸງຂອບເຂດຂອງ transcripts ໃນກິລູ້ທີ 1/1

SeqName	description	Length	#Hits	e-Value	sim mean	#GO	GO IDs	GO Names	Enzyme codes	Enzyme names	InterPro IDs	GO IDs
TR41321 c0_g2_i1	anti-lipopoly saccharide factor	419	20	1.01E-11	51.5						IPR024509 (PFAM); IPR024716 (PRODOM)	no GO terms
TR35741 c2_g2_i1	--NA--	540										no IPIs match
TR34859 c0_g1_i1	--NA--	540										no IPIs match
TR48120 c0_g1_i1	--NA--	540										no IPIs match
TR45921 c0_g2_i1	--NA--	540										no IPIs match
TR31305 c0_g2_i1	--NA--	432										no IPIs match
TR3793 c0_g1_i2	uridine phosphorylase 1	540	20	4.35E-18	62.5	5	C:GO:0005737; F:GO:0003824; P:GO:0009166; P:GO:0009116; F:GO:0004850	C:cytoplasm; F:catalytic activity; P:nucleotide catabolic process; P:nucleoside metabolic process; F:uridine phosphorylase activity				no GO terms
TR57217 c0_g1_i1	N-acyl-L-amino acid amidohydrolase	540	1	0.0874811	52	2	P:GO:0008152; F:GO:0016787					no IPIs match
												P:GO:0009166; P:GO:0009116; F:GO:0004851

ตารางที่ 3-1 (ต่อ) องค์ประกอบของของ transcripts ในกลุ่มที่ 1/1

SeqName	description	Length	#Hits	e-Value	sim	#GO	GO IDs	GO Names	Enzyme codes	Enzyme names	InterPro IDs	GO IDs
TR41655 C1_g1_i1	venom toxin	540	20	2.26E-15	56.75	3	C:GO:0016942; P:GO:0001558; F:GO:0005520	C:insulin-like growth factor binding protein complex; P:regulation of cell growth; F:insulin-like growth factor binding	IPR00867 (SMART); IPR000867 (PFAM); PTI1R14186; SF26 (PANTHER); IPR011390 (PANTHER); IPR010850 (PRODOM); IPR000867 (PROSITE_PROFILES); IPR009030 (SUPERFAMILY)	P:GO:0001558; C:GO:0005576; F:GO:0005520	IPR00867 (SMART); IPR000867 (PFAM); PTI1R14186; SF26 (PANTHER); IPR011390 (PANTHER); IPR010850 (PRODOM); IPR000867 (PROSITE_PROFILES); IPR009030 (SUPERFAMILY)	C:GO:0016942; P:GO:0001558; F:GO:0005520
TR60493 C0_g1_i1	--NA--										no IPS match	no IPS match
TR13681 C0_g1_i1	--NA--										no IPS match	no IPS match

ตารางที่ 3-2 หน่วยของโปรตีนในกลุ่มที่ 1/1

SeqName	description	biological process (level 2)	biological process (level 2)	molecular function (level 2)	molecular function function	cellular component (level 2)	cellular component
TR8251 c0_g3_i1	histone H1-delta-like	cellular process, cellular component	nucleosome assembly	binding	DNA binding	macromolecular complex, organelle, cell part, cell, organelle part	nucleosome, nucleus
TR51934 c0_g1_i1	histone H1-delta-like	cellular process, cellular component	nucleosome assembly	binding	DNA binding	macromolecular complex, organelle, cell part, cell, organelle part	nucleosome, nucleus
TR41655 c1_g1_i1	venom toxin	regulation of biological process, biological regulation, growth, cellular process, cellular component, single-organism process	regulation of cell growth	binding	insulin-like growth factor binding, protein binding	macromolecular complex, extracellular region part, extracellular region	insulin-like growth factor binding protein complex
TR48166 c0_g2_i1	40S ribosomal S30	cellular process, cellular component, metabolic process (translation)	translation, ribosome biogenesis	binding, structural molecule activity	protein binding, structural constituent of ribosome	macromolecular complex, organelle, cell part, cell	ribosome
TR30957 c0_g1_i1	histone H1-delta-like	cellular process, cellular component	nucleosome assembly	binding	DNA binding	macromolecular complex, organelle, cell part, cell, organelle part	nucleosome, nucleus

### ตารางที่ 3-3 gene ontology biological process graph กลุ่มที่ 1/1

Level	GO ID	GO Name	GO Type	Parents (ACC)	Parents (Name)	Nodescore	#Seqs	Sequence Names
1	GO:0008150	biological_process	Biological Process			0.66	5	TR8251 c0_g3_i1, TR51934 c0_g1_i1, TR41655 c1_g1_i1, TR48166 c0_g2_i1, TR30957 c0_g1_i1,
2	GO:0071840	cellular component organization or biogenesis	Biological Process	GO:0008150	biological_process	0.82	5	TR8251 c0_g3_i1, TR51934 c0_g1_i1, TR41655 c1_g1_i1, TR48166 c0_g2_i1, TR30957 c0_g1_i1,
2	GO:0044699	single-organism process	Biological Process	GO:0008150	biological_process	0.22	1	TR41655 c1_g1_i1
2	GO:0040007	growth	Biological Process	GO:0008150	biological_process	0.36	1	TR41655 c1_g1_i1
2	GO:0008152	metabolic process	Biological Process	GO:0008150	biological_process	0.13	1	TR48166 c0_g2_i1
2	GO:0065007	biological regulation	Biological Process	GO:0008150	biological_process	0.22	1	TR41655 c1_g1_i1
2	GO:0050789	regulation of biological process	Biological Process	GO:0008150, GO:0065007	biological_process, biological regulation	0.36	1	TR41655 c1_g1_i1
2	GO:0009987	cellular process	Biological Process	GO:0008150	biological_process	0.58	5	TR8251 c0_g3_i1, TR51934 c0_g1_i1, TR41655 c1_g1_i1, TR48166 c0_g2_i1, TR30957 c0_g1_i1

ตารางที่ 3-3 (ต่อ) gene ontology biological process graph กลุ่มที่ 1/1

Level	GO ID	GO Name	GO Type	Parents (ACC)	Parents (Name)	Nodescore	#Seqs	Sequence Names
3	GO:0050794	regulation of cellular process	Biological Process	GO:0050789, GO:009987	regulation of biological process, cellular process	0.36	1	TR41655 c1_g1_i1
3	GO:0044238	primary metabolic process	Biological Process	GO:0008152	metabolic process	0.22	1	TR48166 c0_g2_i1
3	GO:0006807	nitrogen compound metabolic process	Biological Process	GO:0008152	metabolic process	0.13	1	TR48166 c0_g2_i1
3	GO:0016043	cellular component organization	Biological Process	GO:0071840, GO:009987	cellular component organization or biogenesis, cellular process	0.75	4	TR8251 c0_g3_i1, TR51934 c0_g1_i1, TR41655 c1_g1_i1, TR30957 c0_g1_i1
3	GO:0071704	organic substance metabolic process	Biological Process	GO:0008152	metabolic process	0.22	1	TR48166 c0_g2_i1
3	GO:0044763	single-organism cellular process	Biological Process	GO:0044699, GO:009987	single-organism process, cellular process	0.36	1	TR41655 c1_g1_i1
3	GO:0044085	cellular component biogenesis	Biological Process	GO:0071840	cellular component organization or biogenesis	1.01	4	TR8251 c0_g3_i1, TR51934 c0_g1_i1, TR48166 c0_g2_i1, TR30957 c0_g1_i1
3	GO:0009058	biosynthetic process	Biological Process	GO:0008152	metabolic process	0.22	1	TR48166 c0_g2_i1
3	GO:0044237	cellular metabolic process	Biological Process	GO:0008152, GO:009987	metabolic process, cellular process	0.22	1	TR48166 c0_g2_i1

ตารางที่ 3-3 (ต่อ) gene ontology biological process graph กลุ่มที่ 1/1

Level	GO ID	GO Name	GO Type	Parents (ACC)	Parents (Name)	Nodescore	#Seqs	Sequence Names
3	GO:0016049	cell growth	Biological Process	GO:0044763, GO:0040007	single-organism cellular process,	0.6	1	TR41655 c1_g1_i1
3	GO:0040008	regulation of growth	Biological Process	GO:0050789, GO:0040007	regulation of biological process, growth	0.6	1	TR41655 c1_g1_i1
4	GO:0019538	protein metabolic process	Biological Process	GO:0044238, GO:0043170	primary metabolic process, macromolecule	0.36	1	TR48166 c0_g2_i1
4	GO:0070271	protein complex biogenesis	Biological Process	GO:0044085	cellular component biogenesis	1.08	3	TR8251 c0_g3_i1, TR51934 c0_g1_i1, TR30957 c0_g1_i1
4	GO:1901564	organonitrogen compound metabolic process	Biological Process	GO:0071704, GO:0006807	organic substance metabolic process, nitrogen compound	0.22	1	TR48166 c0_g2_i1
4	GO:0044260	cellular macromolecule metabolic process	Biological Process	GO:0043170, GO:0044237	macromolecule metabolic process, cellular metabolic process	0.36	1	TR48166 c0_g2_i1

ตารางที่ 3-3 (ต่อ) gene ontology biological process graph กลุ่มที่ 1/1

Level	GO ID	GO Name	GO Type	Parents (ACC)	Parents (Name)	Nodescore	#Seqs	Sequence Names
4	GO:0044249	cellular biosynthetic process	Biological Process	GO:0009058, GO:0044237	biosynthetic process, cellular metabolic process	0.36	1	TR48166 c0_g2_i1
4	GO:0022613	ribonucleoprotein complex biogenesis	Biological Process	GO:00044085	cellular component biogenesis	0.6	1	TR48166 c0_g2_i1
4	GO:0034641	cellular nitrogen compound metabolic process	Biological Process	GO:0006807, GO:0044237	nitrogen compound metabolic process, cellular metabolic process	0.13	1	TR48166 c0_g2_i1
4	GO:0051128	regulation of cellular component organization	Biological Process	GO:0016043, GO:0050794	cellular component organization, regulation of cellular process	0.6	1	TR41655 c1_g1_i1
4	GO:1901576	organic substance biosynthetic process	Biological Process	GO:0009058, GO:0071704	biosynthetic process, organic substance	0.22	1	TR48166 c0_g2_i1
4	GO:0001558	regulation of cell growth	Biological Process	GO:0051128, GO:0016049, GO:0040008	regulation of cellular component organization, cell growth, regulation of growth	1	1	TR41655 c1_g1_i1

ตารางที่ 3-3 (ต่อ) gene ontology biological process graph กลุ่มที่ 1/1

Level	GO ID	GO Name	GO Type	Parents (ACC)	Parents (Name)	Nodescore	#Seqs	Sequence Names
4	GO:0043933	macromolecular complex subunit organization	Biological Process	GO:0016043	cellular component organization	0.65	3	TR8251 c0_g3_i1, TR51934 c0_g1_i1, TR30957 c0_g1_i1
4	GO:0043170	macromolecule metabolic process	Biological Process	GO:0071704	organic substance metabolic process	0.36	1	TR48166 c0_g2_i1
4	GO:0022607	cellular component assembly	Biological Process	GO:0016043, GO:0044085	cellular component organization, cellular component biogenesis	0.65	3	TR8251 c0_g3_i1, TR51934 c0_g1_i1, TR30957 c0_g1_i1
4	GO:0006996	organelle organization	Biological Process	GO:0016043	cellular component organization	0.23	3	TR8251 c0_g3_i1, TR51934 c0_g1_i1, TR30957 c0_g1_i1
5	GO:0006461	protein complex assembly	Biological Process	GO:0070271, GO:0071822, GO:0065003	protein complex biogenesis, protein complex subunit organization, macromolecular complex assembly	1.8	3	TR8251 c0_g3_i1, TR51934 c0_g1_i1, TR30957 c0_g1_i1
5	GO:0044271	cellular nitrogen compound biosynthetic process	Biological Process	GO:0044249, GO:0034641	cellular biosynthetic process, cellular nitrogen compound metabolic process	0.22	1	TR48166 c0_g2_i1

ตารางที่ 3-3 (ต่อ) gene ontology biological process graph กลุ่มที่ 1/1

Level	GO ID	GO Name	GO Type	Parents (ACC)	Parents (Name)	Nodescore	#Seqs	Sequence Names
5	GO:0043603	cellular amide metabolic process	Biological Process	GO:0034641	cellular nitrogen compound	0.22	1	TR48166 c0_g2_i1
5	GO:0034645	cellular macromolecule biosynthetic process	Biological Process	GO:0009059, GO:0044260, GO:0044249	metabolic process macromolecule biosynthetic process, cellular macromolecule metabolic process, cellular biosynthetic process	0.6	1	TR48166 c0_g2_i1
5	GO:0071824	protein-DNA complex subunit organization	Biological Process	GO:0043933	macromolecular complex subunit organization	1.08	3	TR8251 c0_g3_i1, TR51934 c0_g1_i1, TR30957 c0_g1_i1
5	GO:0065003	macromolecular complex assembly	Biological Process	GO:0022267, GO:0043933	cellular component assembly, macromolecular complex subunit organization	1.08	3	TR8251 c0_g3_i1, TR51934 c0_g1_i1, TR30957 c0_g1_i1
5	GO:0044267	cellular protein metabolic process	Biological Process	GO:0019538, GO:0044260	protein metabolic process, cellular macromolecule metabolic process	0.6	1	TR48166 c0_g2_i1

ตารางที่ 3-3 (ต่อ) gene ontology biological process graph กลุ่มที่ 1/1

Level	GO ID	GO Name	GO Type	Parents (ACC)	Parents (Name)	Nodescore	#Seqs	Sequence Names
5	GO:0006518	peptide metabolic process	Biological Process	GO:1901564, GO:0043603	organonitrogen compound	0.36	1	TR48166 c0_g2_i1
5	GO:0051276	chromosome organization	Biological Process	GO:0006996	metabolic process, cellular amide			
5	GO:0006325	chromatin organization	Biological Process	GO:0043933	metabolic process cellular amide			
5	GO:0042254	ribosome biogenesis	Biological Process	GO:0022613	cellular amide			
5	GO:0009059	macromolecule biosynthetic process	Biological Process	GO:1901576, GO:0043170	cellular amide			
5	GO:1901566	organonitrogen compound biosynthetic process	Biological Process	GO:1901576, GO:1901564	cellular amide			

ตารางที่ 3-3 (ต่อ) gene ontology biological process graph กลุ่มที่ 1/1

Level	GO ID	GO Name	GO Type	Parents (ACC)	Parents (Name)	Nodescore	#Seqs	Sequence Names
5	GO:0071822	protein complex subunit organization	Biological Process	GO:0043933	macromolecular complex subunit organization	1.08	3	TR8251 c0_g3_i1, TR51934 c0_g1_i1, TR30957 c0_g1_i1
5	GO:0010467	gene expression	Biological Process	GO:0043170	macromolecule metabolic process	0.6	1	TR48166 c0_g2_i1
6	GO:0043604	amide biosynthetic process	Biological Process	GO:0044271, GO:0043603	cellular nitrogen compound biosynthetic process, cellular amide metabolic process	0.36	1	TR48166 c0_g2_i1
6	GO:0006333	chromatin assembly or disassembly	Biological Process	GO:0006325	chromatin organization	1.08	3	TR8251 c0_g3_i1, TR51934 c0_g1_i1, TR30957 c0_g1_i1
6	GO:0043043	peptide biosynthetic process	Biological Process	GO:0043604, GO:1901566, GO:0006518	amide biosynthetic process, organonitrogen compound biosynthetic process, peptide metabolic process	0.6	1	TR48166 c0_g2_i1

ตารางที่ 3-3 (ต่อ) gene ontology biological process graph กลุ่มที่ 1/1

Level	GO ID	GO Name	GO Type	Parents (ACC)	Parents (Name)	Nodescore	#Seqs	Sequence Names
6	GO:0031497	chromatin assembly	Biological Process	GO:0065003, GO:0006333, GO:0006323	macromolecular complex assembly, chromatin assembly or disassembly, DNA packaging	1.8	3	TR8251 c0_g3_i1, TR51934 c0_g1_i1, TR30957 c0_g1_i1
6	GO:0006412	translation	Biological Process	GO:0010467, GO:0044267, GO:0043043, GO:0034645	gene expression, cellular protein metabolic process, peptide biosynthetic process, cellular macromolecule biosynthetic process	1	1	TR48166 c0_g2_i1
6	GO:0006334	nucleosome assembly	Biological Process	GO:0006461, GO:0031497, GO:0034728, GO:0065004	protein complex assembly, chromatin assembly, nucleosome organization, protein-DNA complex assembly	3	3	TR8251 c0_g3_i1, TR51934 c0_g1_i1, TR30957 c0_g1_i1

ตารางที่ 3-3 (ต่อ) gene ontology biological process graph กลุ่มที่ 1/1

Level	GO ID	GO Name	GO Type	Parents (ACC)	Parents (Name)	Nodescore	#Seqs	Sequence Names
6	GO:0065004	protein-DNA complex assembly	Biological Process	GO:0071824, GO:0034622	protein-DNA complex subunit organization, cellular macromolecular complex assembly	1.8	3	TR8251 c0_g3_i1, TR51934 c0_g1_i1, TR30957 c0_g1_i1
6	GO:0034728	nucleosome organization	Biological Process	GO:0071822, GO:0006325, GO:0071824	protein complex subunit organization, chromatin organization, protein-DNA complex subunit organization	1.8	3	TR8251 c0_g3_i1, TR51934 c0_g1_i1, TR30957 c0_g1_i1
6	GO:0034622	cellular macromolecular complex assembly	Biological Process	GO:0065003	macromolecular complex assembly	1.08	3	TR8251 c0_g3_i1, TR51934 c0_g1_i1, TR30957 c0_g1_i1
6	GO:0071103	DNA conformation change	Biological Process	GO:0051276	chromosome organization	0.65	3	TR8251 c0_g3_i1, TR51934 c0_g1_i1, TR30957 c0_g1_i1
7	GO:0006323	DNA packaging	Biological Process	GO:0071103	DNA conformation change	1.08	3	TR8251 c0_g3_i1, TR51934 c0_g1_i1, TR30957 c0_g1_i1

ตารางที่ 3-4 gene ontology molecular function ในกลุ่มที่ 1/1

Level	GO ID	GO Name	GO Type	Parents (ACC)	Parents (Name)	Nodescore	#Seqs	Sequence Names
1	GO:0003674	molecular_function	Molecular Function			1.6	5	TR8251 c0_g3_i1, TR51934 c0_g1_i1, TR41655 c1_g1_i1, TR48166 c0_g2_i1, TR30957 c0_g1_i1
2	GO:0005488	binding	Molecular Function	GO:0003674	molecular_function	2.06	5	TR8251 c0_g3_i1, TR51934 c0_g1_i1, TR41655 c1_g1_i1, TR48166 c0_g2_i1, TR30957 c0_g1_i1
2	GO:0005198	structural molecule activity	Molecular Function	GO:0003674	molecular_function	0.6	1	TR48166 c0_g2_i1
3	GO:0097159	organic cyclic compound binding	Molecular Function	GO:0005488	binding	1.08	3	TR8251 c0_g3_i1, TR51934 c0_g1_i1, TR30957 c0_g1_i1
3	GO:1901363	heterocyclic compound binding	Molecular Function	GO:0005488	binding	1.08	3	TR8251 c0_g3_i1, TR51934 c0_g1_i1, TR30957 c0_g1_i1
3	GO:0005515	protein binding	Molecular Function	GO:0005488	binding	2.36	2	TR41655 c1_g1_i1, TR48166 c0_g2_i1
3	GO:0003755	structural constituent of ribosome	Molecular Function	GO:0005198	structural molecule activity	1	1	TR48166 c0_g2_i1
4	GO:0019838	growth factor binding	Molecular Function	GO:0005515	protein binding	0.6	1	TR41655 c1_g1_i1

ตารางที่ 3-4 (ต่อ) gene ontology molecular function ในตู้มท 1/1

Level	GO ID	GO Name	GO Type	Parents (ACC)	Parents (Name)	Nodescore	#Seqs	Sequence Names
4	GO:0003676	nucleic acid binding	Molecular Function	GO:0097159, GO:1901363	organic cyclic compound binding, heterocyclic compound binding	1.8	3	TR8251 c0_g3_i1, TR51934 c0_g1_i1, TR30957 c0_g1_i1
5	GO:0005520	insulin-like growth factor binding	Molecular Function	GO:0019838	growth factor binding	1	1	TR41655 c1_g1_i1
5	GO:0003677	DNA binding	Molecular Function	GO:0003676	nucleic acid binding	3	3	TR8251 c0_g3_i1, TR51934 c0_g1_i1, TR30957 c0_g1_i1

### ตารางที่ 3-5 gene ontology cellular component ในกรุ๊ปที่ 1/1

Level	GO ID	GO Name	GO Type	Parents (ACC)	Parents (Name)	Nodescore	#Seq§	Sequence Names
1	GO:0005575	cellular_component	Cellular Component			1.53	5	TR8251 c0_g3_i1, TR51934 c0_g1_i1, TR41655 c1_g1_i1, TR48166 c0_g2_i1, TR30957 c0_g1_i1
2	GO:0005623	cell	Cellular Component	GO:0005575	cellular_component	0.6	4	TR8251 c0_g3_i1, TR51934 c0_g1_i1, TR48166 c0_g2_i1, TR30957 c0_g1_i1
2	GO:0032991	macromolecular complex	Cellular Component	GO:0005575	cellular_component	1.51	5	TR8251 c0_g3_i1, TR51934 c0_g1_i1, TR41655 c1_g1_i1, TR48166 c0_g2_i1, TR30957 c0_g1_i1
2	GO:0043226	organelle	Cellular Component	GO:0005575	cellular_component	1.25	4	TR8251 c0_g3_i1, TR51934 c0_g1_i1, TR48166 c0_g2_i1, TR30957 c0_g1_i1
2	GO:0005576	extracellular region	Cellular Component	GO:0005575	cellular_component	0.36	1	TR41655 c1_g1_i1
2	GO:0044421	extracellular region part	Cellular Component	GO:0005575, GO:0005576	cellular_component, extracellular region	0.6	1	TR41655 c1_g1_i1

ตารางที่ 3-5 (ต่อ) gene ontology cellular component ในกลุ่มที่ 1/1

Level	GO ID	GO Name	GO Type	Parents (ACC)	Parents (Name)	Nodescore	#Seqs	Sequence Names
2	GO:0044464	cell part	Cellular Component	GO:0005575, GO:0005623	cellular_component, cell	0.99	4	TR8251 c0_g3_i1, TR51934 c0_g1_i1,
2	GO:0044422	organelle part	Cellular Component	GO:0043226, GO:0005575	organelle, cellular_component	0.65	3	TR48166 c0_g2_i1, TR30957 c0_g1_i1
3	GO:0044446	intracellular organelle part	Cellular Component	GO:0043229, GO:0044422, GO:0044424	intracellular organelle, organelle part, intracellular part	1.08	3	TR8251 c0_g3_i1, TR51934 c0_g1_i1, TR30957 c0_g1_i1
3	GO:0032993	protein-DNA complex	Cellular Component	GO:0032991	macromolecular complex	1.8	3	TR8251 c0_g3_i1, TR51934 c0_g1_i1, TR30957 c0_g1_i1
3	GO:0043228	non-membrane-bounded organelle	Cellular Component	GO:0043226	organelle	0.75	4	TR8251 c0_g3_i1, TR51934 c0_g1_i1, TR48166 c0_g2_i1, TR30957 c0_g1_i1
3	GO:0016942	insulin-like growth factor binding protein complex	Cellular Component	GO:0044421, GO:0005615, GO:0036454	extracellular region part, extracellular space, growth factor complex	1	1	TR41655 c1_g1_i1
3	GO:0005615	extracellular space	Cellular Component	GO:0044421	extracellular region part	0.6	1	TR41655 c1_g1_i1

ตารางที่ 3-5 (ต่อ) gene ontology cellular component ในกลุ่มที่ 1/1

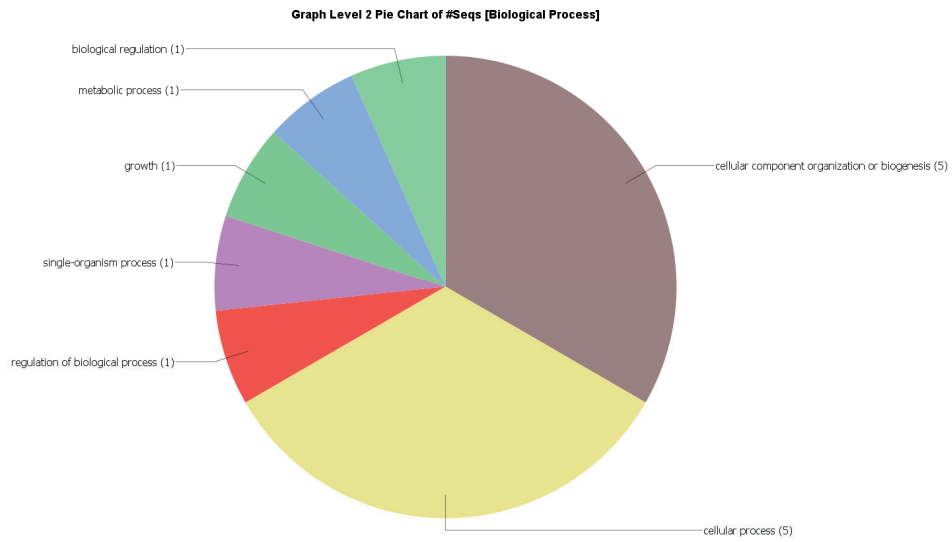
Level	GO ID	GO Name	GO Type	Parents (ACC)	Parents (Name)	Nodescore	#Seqs	Sequence Names
3	GO:0000785	chromatin	Cellular Component	GO:0032991, GO:0044427	macromolecular complex, chromosomal part	1.8	3	TR8251 c0_g3_i1, TR51934 c0_g1_i1,
3	GO:0044424	intracellular part	Cellular Component	GO:0044464, GO:0005622	cell part, intracellular	1.66	4	TR3057 c0_g1_i1, TR8251 c0_g3_i1, TR51934 c0_g1_i1, TR48166 c0_g2_i1,
3	GO:1990904	ribonucleoprotein complex	Cellular Component	GO:0032991	macromolecular complex	0.36	1	TR3057 c0_g1_i1, TR48166 c0_g2_i1
3	GO:0043229	intracellular organelle	Cellular Component	GO:0043226, GO:0044424	organelle, intracellular part	2.09	4	TR8251 c0_g3_i1, TR51934 c0_g1_i1, TR48166 c0_g2_i1, TR3057 c0_g1_i1
3	GO:0005622	intracellular	Cellular Component	GO:0044464	cell part	0.99	4	TR8251 c0_g3_i1, TR51934 c0_g1_i1, TR48166 c0_g2_i1, TR3057 c0_g1_i1
3	GO:0043227	membrane-bounded organelle	Cellular Component	GO:0043226	organelle	1.08	3	TR8251 c0_g3_i1, TR51934 c0_g1_i1, TR3057 c0_g1_i1

ตารางที่ 3-5 (ต่อ) gene ontology cellular component ในกลุ่มที่ 1/1

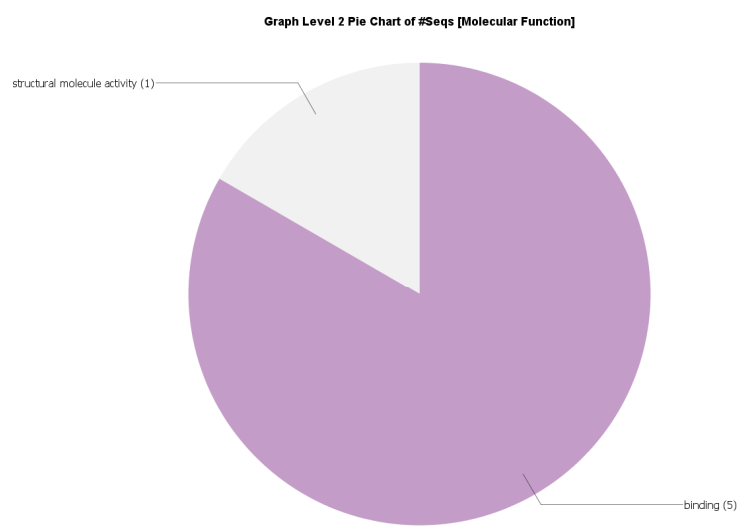
Level	GO ID	GO Name	GO Type	Parents (ACC)	Parents (Name)	Nodescore	#Seqs	Sequence Names
3	GO:0043234	protein complex	Cellular Component	GO:0032991	macromolecular complex	1.44	4	TR8251 c0_g3_i1, TR51934 c0_g1_i1,
4	GO:0043232	intracellular non-membrane-bounded organelle	Cellular Component	GO:0043228, GO:0043229	non-membrane-bounded organelle, intracellular organelle	1.25	4	TR41555 c1_g1_i1, TR30957 c0_g1_i1, TR8251 c0_g3_i1, TR51934 c0_g1_i1, TR48166 c0_g2_i1, TR30957 c0_g1_i1
4	GO:0000786	nucleosome	Cellular Component	GO:0044815, GO:0032993, GO:0000785, GO:0044427	DNA packaging complex, protein-DNA complex, chromatin, chromosomal part	3	3	TR8251 c0_g3_i1, TR51934 c0_g1_i1, TR30957 c0_g1_i1
4	GO:0044444	cytoplasmic part	Cellular Component	GO:0005737, GO:0044424	cytoplasm, intracellular part intracellular part	0.6	1	TR48166 c0_g2_i1 TR48166 c0_g2_i1
4	GO:0005737	cytoplasm	Cellular Component	GO:0044424	intracellular part	0.36	1	TR8251 c0_g3_i1, TR51934 c0_g1_i1, TR30957 c0_g1_i1
4	GO:0044815	DNA packaging complex	Cellular Component	GO:0043234	protein complex	1.8	3	TR41555 c1_g1_i1, TR48166 c0_g2_i1
4	GO:0036454	growth factor complex	Cellular Component	GO:0043234	protein complex	0.6	1	TR48166 c0_g2_i1
4	GO:0030529	intracellular ribonucleoprotein complex	Cellular Component	GO:1990904, GO:0044424	ribonucleoprotein complex, intracellular part	0.6	1	

ตารางที่ 3-5 (ต่อ) gene ontology cellular component ในกลุ่มที่ 1/1

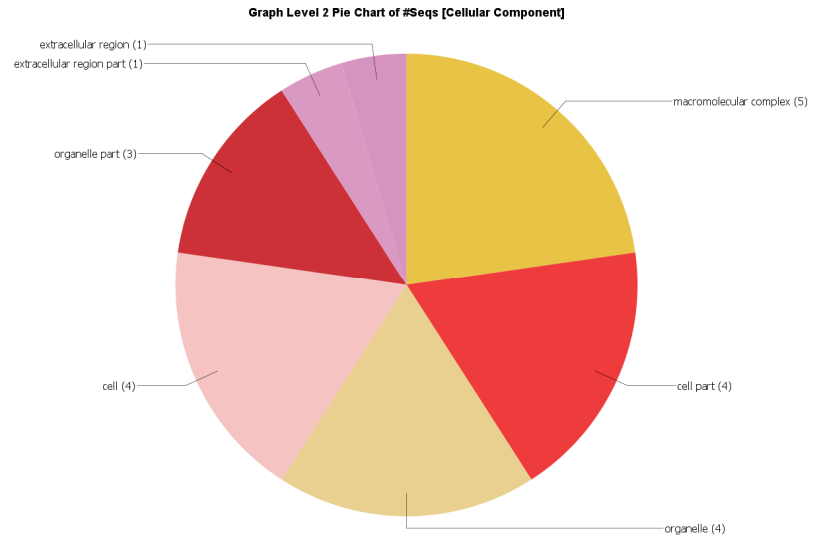
Level	GO ID	GO Name	GO Type	Parents (ACC)	Parents (Name)	Nodescore	#Seqs	Sequence Names
4	GO:0044427	chromosomal part	Cellular Component	GO:0044446, GO:0005694	intracellular organelle part, chromosome	1.8	3	TR8251 c0_g3_i1, TR51934 c0_g1_i1,
4	GO:0043231	intracellular membrane-bound organelle	Cellular Component	GO:0043227, GO:0043229	membrane-bound organelle, intracellular organelle	1.8	3	TR3057 c0_g1_i1, TR8251 c0_g3_i1, TR51934 c0_g1_i1,
5	GO:0005840	ribosome	Cellular Component	GO:0044444, GO:0030529, GO:0043232	cytoplasmic part, intracellular ribonucleoprotein complex, intracellular non-membrane-bound organelle	1	1	TR48166 c0_g2_i1
5	GO:0005634	nucleus	Cellular Component	GO:0043231	intracellular membrane-bound organelle	3	3	TR8251 c0_g3_i1, TR51934 c0_g1_i1, TR3057 c0_g1_i1
5	GO:0005694	chromosome	Cellular Component	GO:0043232	intracellular non-membrane-bound organelle	1.08	3	TR8251 c0_g3_i1, TR51934 c0_g1_i1, TR3057 c0_g1_i1



ภาพที่ 3-2 องค์ประกอบหน้าที่ของ transcripts ในส่วน biological process ในกลุ่มที่ 1/1



ภาพที่ 3-3 องค์ประกอบหน้าที่ของ transcripts ในส่วน molecular function ในกลุ่มที่ 1/1



ภาพที่ 3-4 องค์ประกอบหน้าที่ ของ transcripts ในส่วน cellular component ในกลุ่มที่ 1/1

### 3.2.2 กลุ่มที่ 1/2 มีลักษณะการแสดงออกเพิ่มขึ้น

มีทั้งหมด 34 transcripts มีลักษณะการแสดงออกเพิ่มขึ้นเมื่อได้รับเชื้อ *Vibrio parahemolyticus* เมื่อเปรียบเทียบกับสภาพปกติ (hc0\_a ในภาพที่ 3-1) สามารถระบุชื่อยืนจากฐานข้อมูล blastx ได้ทั้งหมด 9 transcripts และนำไปอธิบายถึงหน้าที่ของยีนได้ทั้งหมด 8 transcripts จาก 9 transcripts ที่สามารถระบุชื่อยืนได้ ดังตารางที่ 3-6 โดยการนำเอาข้อมูลจากฐานข้อมูลออนไลน์ GO โดยในแต่ละ transcript จะเป็นส่วนของ biological process, molecular function และ cellular component ดังตารางที่ 3-7 โดยมีการจัดลำดับขั้นตามรูปแบบของ gene ontology ดังภาพที่ 3-8, 3-9 และ 3-10 สามารถสรุปองค์ประกอบหน้าที่ของ transcripts ตามระดับที่ 2 (level 2) ของการจัดลำดับตามรูปแบบของ gene ontology ได้ดังนี้

biological process มีทั้งหมด 12 ส่วนประกอบ โดยส่วนใหญ่มีความเกี่ยวข้องกับ metabolic process จำนวน 7 transcripts รองลงมาเป็น single-organism process จำนวน 6 transcripts, cellular process จำนวน 4 transcripts, biological regulation จำนวน 3 transcripts, และ อื่นๆ อีก 8 ส่วนประกอบ ซึ่งมีสัดส่วนตามภาพที่ 3-5

molecular function มีทั้งหมด 4 ส่วนประกอบ โดยส่วนใหญ่เป็น binding จำนวน 7 transcripts, catalytic activity จำนวน 6 transcripts ซึ่งมีสัดส่วนตามภาพที่ 3-6

cellular component มีทั้งหมด 7 ส่วนประกอบ โดยส่วนใหญ่เป็นส่วนของ cell จำนวน 2 transcripts, macromolecular complex จำนวน 2 transcripts, cell part จำนวน 2 transcripts และส่วนอื่นๆ ซึ่งมีสัดส่วนตามภาพที่ 3-7

### ตารางที่ 3-6 องค์ประกอบของ transcripts ในกลุ่มที่ 1/2

SeqName	description	Length	#Hits	e-value	sim mean	#GO	GO IDs	GO Names	Enzyme codes	Enzyme names	InterPro IDs	InterPro GO IDs	GO IDs
TR30957 c0_g1_i1	histone H1-delta-like	540	20	4.91E-21	81.85	4	C:GO:0005634; F:GO:0003677; C:GO:000786; P:GO:0006334	C:nucleus; F:DNA binding; C:nucleosome; P:nucleosome assembly	IPRO05819 (PRINTS); IPRO11991 (G3DSA:1.10.10.GENE3D); IPRO05818 (PFAM); mobidb-lite (MOBIDB_LITE); IPRO05818 (PROSITE_PROFILES)	IPRO05819 (PRINTS); IPRO11991 (SMART); IPRO11991 (G3DSA:1.10.10.GENE3D); IPRO05818 (PFAM); mobidb-lite (MOBIDB_LITE); mobidb-lite (MOBIDB_LITE); PTHR11467 (PANTHER); PTHR11467:Sf59 (PANTHER); IPRO05818 (PROSITE_PROFILES); cd00073 (CDD); IPRO11991 (SUPERFAMILY)	F:GO:0003677; C:GO:0005634; C:GO:000786; P:GO:0006334	C:GO:0005634; F:GO:0003677; C:GO:0005634; C:GO:000786; P:GO:0006334	
TR8251 c0_g3_i1	histone H1-delta-like	540	20	5.52E-24	76.1	4	C:GO:0005634; F:GO:0003677; C:GO:000786; P:GO:0006334	C:nucleus; F:DNA binding; C:nucleosome; P:nucleosome assembly	IPRO05819 (PRINTS); IPRO11991 (G3DSA:1.10.10.GENE3D); IPRO05818 (PFAM); mobidb-lite (MOBIDB_LITE); mobidb-lite (MOBIDB_LITE); PTHR11467 (PANTHER); PTHR11467:Sf59 (PANTHER); IPRO05818 (PROSITE_PROFILES); cd00073 (CDD); IPRO11991 (SUPERFAMILY)	F:GO:0003677; C:GO:0005634; C:GO:000786; P:GO:0006334	F:GO:0003677; C:GO:0005634; C:GO:000786; P:GO:0006334		
TR48166 c0_g2_i1	40S ribosomal S30	540	20	2.77E-58	78.6	5	F:GO:0005515; F:GO:0003735; P:GO:0042254; C:GO:0005840; P:GO:0006412	F:protein binding; F:structural constituent of ribosome; P:ribosome biogenesis; C:ribosome; P:translational P:translation	IPRO0626 (PFAM); G3DSA:3.10.20.90 (GENE3D); IPRO06846 (PFAM); mobidb-lite (MOBIDB_LITE); PTHR12650 (PANTHER); PTHR12650:Sf23 (PANTHER); IPRO0626 (PROSITE_PROFILES); IPRO29071 (SUPERFAMILY)	F:GO:0005515; F:GO:0003735; C:GO:0005840; C:GO:0005622; P:GO:0006412	F:GO:0005515; F:GO:0003735; C:GO:0005840; C:GO:0005622; P:GO:0006412		
TR43199 c1_g2_i1	Collagen alpha-1(V) chain	540	19	9.03E-11	73.84	1	C:GO:0005581	C:collagen trimer	mobidb-lite (MOBIDB_LITE)	no GO terms	no GO terms	C:GO:0005582	
TR32830 c0_g7_i1	---	---	---	479						no IBS match	no IBS match		

ตารางที่ 3-6 (ต่อ) องค์ประกอบของของ transcripts ในกลุ่มที่ 1/2

ตารางที่ 3-6 (ต่อ) องค์ประกอบของ transcripts ในกลุ่มที่ 1/2

SeqName	description	Length	#Hits	e-value	sim mean	#GO IDs	GO IDs	GO Names	Enzyme codes	Enzyme names	InterPro IDs	InterPro GO IDs	GO IDs
TR3793 c0_g1_i2	uridine phosphorylase 1	540	20	4.35E-18	62.5	5	C:GO:0005737; F:GO:0003824; P:GO:0009166; P:GO:009116; F:GO:0004850	C:cytoplasm; F:catalytic activity; P:nucleotide catabolic process; P:nucleoside metabolic process; F:uridine phosphorylase activity	mobidb-Lite (MOBIDB_LITE)	no GO terms	C:GO:0005737; F:GO:0003824; P:GO:0009166; P:GO:009116; F:GO:0004851		
TR57217 c0_g1_i1	N-acyl-L-amino acid amidohydrolase	540	1	0.0874811	52	2	P:GO:0008152; F:GO:0016787	P:metabolic process; F:hydrolase activity	no IPS match	P:GO:0008152; F:GO:0016788			
TR41655 c1_g1_i1	venom toxin	540	20	2.26E-15	56.75	3	C:GO:0016942; P:GO:0001558; F:GO:0005520	C:insulin-like growth factor binding protein complex; P:regulation of cell growth; F:insulin-like growth factor binding	IPR00867 (SMART); IPR000867 (PFAM); PTHR14_186_SF26 (PANTHER); IPR011390 (PANTHER); IPR010850 (PRODOM); IPR000867 (PROSITE_PROFILE); IPR009030 (SUPRFAMILY)	P:GO:0001558; C:GO:0005576; F:GO:0005520	C:GO:0016942; P:GO:0001558; F:GO:0005521		
TR60493 c0_g1_i1	--NA--									no IPS match			no IPS match
TR13683 c0_g1_i1	--NA--									no IPS match			no IPS match

ตารางที่ 3-7 หน้าที่ของโปรตีนในกลุ่มที่ 1/2

SeqName	description	biological process (level 2)	biological process	molecular function (level 2)	molecular function	cellular component (level 2)	cellular component
TR13837 c0_g1_i1	ccaat enhancer-binding	regulation of biological process, biological regulation, metabolic process, cellular process	regulation of transcription, DNA-templated	nucleic acid binding, binding	transcription factor activity, sequence-specific DNA binding, sequence-specific DNA binding	macromolecular complex, cell part, cell membrane	transcription factor complex
TR33858 c0_g1_i1	cyclooxygenase	detoxification, multicellular organismal process, single-organism process, biological regulation, metabolic process, cellular process response to stimulus	cellular oxidant detoxification, regulation of blood pressure, oxidation-reduction process, cyclooxygenase pathway, leukotriene metabolic process, response to oxidative stress	antioxidant activity, binding, catalytic activity	peroxidase activity, heme binding, peroxidase activity, prostaglandin-endoperoxide synthase activity, oxidoreductase activity	membrane part, membrane	integral component of membrane
TR9688 c0_g1_i1	phosphoenol pyruvate carboxykinase e	single-organism process, metabolic process	gluconeogenesis	binding, catalytic activity	GTP binding, phosphoenolpyruvate carboxykinase activity		

ตารางที่ 3-7 (ต่อ) หน้าที่ของยีนในกลุ่มที่ 1/2

SeqName	description	biological process (level 2)	biological process (level 2)	molecular function	molecular function	cellular component	cellular component
TR60392 c0_g1_i1	MAP kinase-interacting serine/threonine-kinase 1 isoform X1	single-organism process, metabolic process, cellular process	serine family amino acid, metabolic process, protein phosphorylation	binding, catalytic activity	ATP binding, protein serine/threonine kinase activity	macromolecular complex, cell part, cell, organelle	ribosome
TR4161 c0_g1_i1	elongation factor 1-alpha	growth, locomotion, multicellular organismal process, single-organism process, developmental process, regulation of biological process, biological regulation, metabolic process, cellular process, reproduction	growth, locomotion, determination of adult lifespan, embryo development ending in birth or egg hatching, nematode larval development, regulation of translational elongation, reproduction	binding, catalytic activity	GTP binding, translation elongation factor activity, GTPase activity	macromolecular complex, cell part, cell, organelle	ribosome

**ตารางที่ 3-7 (ต่อ) หน้าที่ของยีนในกลุ่มที่ 1/2**

SeqName	description	biological process (level 2)	biological process	molecular function (level 2)	molecular function	cellular function (level 2)	cellular component
TR11428 c0_g1_i1	Phosphoenol pyruvate carboxykinase	single-organism process	gluconeogenesis	binding, catalytic activity	GTP binding, phosphoenolpyruvate carboxykinase activity		
TR61286 c3_g5_i1	prophenoloxidase	single-organism process, metabolic process	oxidation-reduction process	binding, catalytic activity	metal ion binding, oxidoreductase activity		
TR13681 c1_g2_i1	serum amyloid A - like					extracellular region	extracellular region

### ตารางที่ 3-8 gene ontology biological process ในกลุ่มที่ 1/2

Level	GO ID	GO Name	GO Type	Parents (ACC)	Parents (Name)	Nodescore	#Seqs	Sequence Names
1	GO:0008150	biological_process	Biological Process			3.63	7	TR13837 c0_g1_i1, TR33858 c0_g1_i1, TR9688 c0_g1_i1, TR0392 c0_g1_i1, TR4161 c0_g1_i1, TR11428 c0_g1_i1, TR61286 c3_g5_i1
2	GO:0050789	regulation of biological process	Biological Process	GO:0065007, GO:0008150	biological regulation, biological_process	0.21	2	TR13837 c0_g1_i1, TR4161 c0_g1_i1
2	GO:0098754	detoxification	Biological Process	GO:0009336, GO:0008150	response to toxic substance, biological_process	0.36	1	TR33858 c0_g1_i1
2	GO:0044699	single-organism process	Biological Process	GO:0008150	biological_process	1.69	6	TR33858 c0_g1_i1, TR9688 c0_g1_i1, TR60392 c0_g1_i1, TR4161 c0_g1_i1, TR11428 c0_g1_i1, TR61286 c3_g5_i1
2	GO:0040007	growth	Biological Process	GO:0008150	biological_process	1	1	TR4161 c0_g1_i1
2	GO:0032502	developmental process	Biological Process	GO:0008150	biological_process	0.39	1	TR4161 c0_g1_i1
2	GO:0000003	reproduction	Biological Process	GO:0008150	biological_process	1	1	TR4161 c0_g1_i1
2	GO:0050896	response to stimulus	Biological Process	GO:0008150	biological_process	0.44	1	TR33858 c0_g1_i1
2	GO:0009987	cellular process	Biological Process	GO:0008150	biological_process	0.85	4	TR13837 c0_g1_i1, TR33858 c0_g1_i1, TR60392 c0_g1_i1, TR4161 c0_g1_i1
2	GO:0065007	biological regulation	Biological Process	GO:0008150	biological_process	0.48	3	TR13837 c0_g1_i1, TR33858 c0_g1_i1, TR4161 c0_g1_i1

ตารางที่ 3-8 (ต่อ) gene ontology biological process ในกลุ่มที่ 1/2

Level	GO ID	GO Name	GO Type	Parents (ACC)	Parents (Name)	Nodescore	#Seqs	Sequence Names
2	GO:0032501	multicellular organismal process	Biological Process	GO:0008150	biological_process	0.75	2	TR33858 c0_g1_i1, TR4161 c0_g1_i1
2	GO:0040011	locomotion	Biological Process	GO:0008150	biological_process	1	1	TR4161 c0_g1_i1
2	GO:0008152	metabolic process	Biological Process	GO:0008150	biological_process	1.35	7	TR13837 c0_g1_i1, TR33858 c0_g1_i1, TR9688 c0_g1_i1, TR60392 c0_g1_i1, TR4161 c0_g1_i1, TR11428 c0_g1_i1, TR61286 c3_g5_i1
3	GO:0019222	regulation of metabolic process	Biological Process	GO:0008152, GO:0050789	metabolic process, regulation of biological process	0.35	2	TR13837 c0_g1_i1, TR4161 c0_g1_i1
3	GO:0044707	single-multicellular organism process	Biological Process	GO:0032501, GO:0044699	multicellular organism process, single-organism process	1.03	1	TR4161 c0_g1_i1
3	GO:1990748	cellular detoxification	Biological Process	GO:0009887, GO:0098754	cellular process, detoxification	0.6	1	TR33858 c0_g1_i1
3	GO:0003008	system process	Biological Process	GO:0032501	multicellular organismal process	0.22	1	TR33858 c0_g1_i1
3	GO:0065008	regulation of biological quality	Biological Process	GO:0065007	biological regulation	0.6	1	TR33858 c0_g1_i1
3	GO:0044237	cellular metabolic process	Biological Process	GO:0009887, GO:0008152	cellular process, metabolic process	0.81	4	TR13837 c0_g1_i1, TR33858 c0_g1_i1, TR60392 c0_g1_i1, TR4161 c0_g1_i1

ตารางที่ 3-8 (ต่อ) gene ontology biological process ในกลุ่มที่ 1/2

Level	GO ID	GO Name	GO Type	Parents (ACC)	Parents (Name)	Nodescore	#Seqs	Sequence Names
3	GO:0044763	single-organism cellular process	Biological Process	GO:0009987, GO:0044699	cellular process, single-organism process	0.42	2	TR33858 c0_g1_i1, TR60392 c0_g1_i1
3	GO:0044238	primary metabolic process	Biological Process	GO:0008152	metabolic process	0.47	6	TR13837 c0_g1_i1, TR33858 c0_g1_i1, TR9688 c0_g1_i1, TR60392 c0_g1_i1, TR4161 c0_g1_i1, TR11428 c0_g1_i1
3	GO:0048856	anatomical structure development	Biological Process	GO:0032502	developmental process	0.65	1	TR4161 c0_g1_i1
3	GO:0042221	response to chemical stimulus	Biological Process	GO:0050896	response to stimulus	0.13	1	TR33858 c0_g1_i1
3	GO:0009058	biosynthetic process	Biological Process	GO:0008152	metabolic process	0.44	5	TR13837 c0_g1_i1, TR33858 c0_g1_i1, TR9688 c0_g1_i1, TR4161 c0_g1_i1, TR11428 c0_g1_i1
3	GO:0071704	organic substance metabolic process	Biological Process	GO:0008152	metabolic process	0.78	6	TR13837 c0_g1_i1, TR33858 c0_g1_i1, TR9688 c0_g1_i1, TR60392 c0_g1_i1, TR4161 c0_g1_i1, TR11428 c0_g1_i1
3	GO:0050794	regulation of cellular process	Biological Process	GO:0009987, GO:0050789	cellular process, regulation of biological process	0.26	2	TR13837 c0_g1_i1, TR4161 c0_g1_i1
3	GO:0044710	single-organism metabolic process	Biological Process	GO:0044699, GO:0008152	single-organism process, metabolic process	1.61	5	TR33858 c0_g1_i1, TR9688 c0_g1_i1, TR60392 c0_g1_i1, TR11428 c0_g1_i1, TR61286 c3_g5_i1
3	GO:0006950	response to stress	Biological Process	GO:0050896	response to stimulus	0.6	1	TR33858 c0_g1_i1

ตารางที่ 3-8 (ต่อ) gene ontology biological process ในกลุ่มที่ 1/2

Level	GO ID	GO Name	GO Type	Parents (ACC)	Parents (Name)	Nodescore	#Seqs	Sequence Names
3	GO:0006807	nitrogen compound metabolic process	Biological Process	GO:0008152	metabolic process	0.39	3	TR13837 c0_g1_i1, TR60392 c0_g1_i1, TR4161 c0_g1_i1
3	GO:0044767	single-organism developmental process	Biological Process	GO:0032502, GO:0044699	developmental process, single-organism process	0.65	1	TR4161 c0_g1_i1
4	GO:0003013	circulatory system process	Biological Process	GO:0003008	system process	0.36	1	TR33858 c0_g1_i1
4	GO:0034641	cellular nitrogen compound metabolic process	Biological Process	GO:0044237, GO:0006807	cellular metabolic process, nitrogen compound metabolic process	0.18	2	TR13837 c0_g1_i1, TR4161 c0_g1_i1
4	GO:0009636	response to toxic substance	Biological Process	GO:0042221	response to chemical	0.22	1	TR33858 c0_g1_i1
4	GO:0006082	organic acid metabolic process	Biological Process	GO:0071704, GO:0044237, GO:004763, GO:0044281	organic substance metabolic process, cellular metabolic process, single-organism cellular process, small molecule metabolic process	0.57	2	TR33858 c0_g1_i1, TR60392 c0_g1_i1
4	GO:1901576	organic substance biosynthetic process	Biological Process	GO:0071704, GO:0009058	organic substance metabolic process, biosynthetic process	0.57	5	TR13837 c0_g1_i1, TR33858 c0_g1_i1, TR9688 c0_g1_i1, TR4161 c0_g1_i1, TR11428 c0_g1_i1

ตารางที่ 3-8 (ต่อ) gene ontology biological process ในกลุ่มที่ 1/2

Level	GO ID	GO Name	GO Type	Parents (ACC)	Parents (Name)	Nodescore	#Seqs	Sequence Names
4	GO:0060255	regulation of macromolecule metabolic process	Biological Process	GO:0019222, GO:0043170	regulation of metabolic process, macromolecule metabolic process	0.49	2	TR13837 c0_g1_i1, TR4161 c0_g1_i1
4	GO:0005975	carbohydrate metabolic process	Biological Process	GO:0071704, GO:0044238	organic substance metabolic process, primary metabolic process	0.16	2	TR9688 c0_g1_i1, TR11428 c0_g1_i1
4	GO:0044255	cellular lipid metabolic process	Biological Process	GO:0006629, GO:0044237, GO:0044763	lipid metabolic process, cellular metabolic process, single-organism cellular process	0.35	1	TR33858 c0_g1_i1
4	GO:0008340	determination of adult lifespan	Biological Process	GO:0044707, GO:0010259	single-multicellular organism process, multicellular organism aging	1	1	TR4161 c0_g1_i1
4	GO:1901564	organonitrogen compound metabolic process	Biological Process	GO:0071704, GO:0006807	organic substance metabolic process, nitrogen compound metabolic process	0.44	2	TR60392 c0_g1_i1, TR4161 c0_g1_i1
4	GO:0055114	oxidation-reduction process	Biological Process	GO:0044710	single-organism metabolic process	2	2	TR33858 c0_g1_i1, TR61286 c3_g5_i1
4	GO:0044249	cellular biosynthetic process	Biological Process	GO:0009058, GO:0044237	biosynthetic process, cellular metabolic process	0.48	3	TR13837 c0_g1_i1, TR33858 c0_g1_i1, TR4161 c0_g1_i1

ตารางที่ 3-8 (ต่อ) gene ontology biological process ในกลุ่มที่ 1/2

Level	GO ID	GO Name	GO Type	Parents (ACC)	Parents (Name)	Nodescore	#Seqs	Sequence Names
4	GO:0044711	single-organism biosynthetic process	Biological Process	GO:0009058, GO:0044710	biosynthetic process, single-organism metabolic process	0.31	3	TR33858 c0_g1_i1, TR9688 c0_g1_i1, TR11428 c0_g1_i1
4	GO:0044260	cellular macromolecule metabolic process	Biological Process	GO:0044237, GO:0043170	cellular metabolic process, macromolecule metabolic process	0.65	3	TR13837 c0_g1_i1, TR60392 c0_g1_i1, TR4161 c0_g1_i1
4	GO:0007275	multicellular organism development	Biological Process	GO:0044767, GO:0044707, GO:0048856	single-organism developmental process, single-multicellular organism process, anatomical structure development	1.08	1	TR4161 c0_g1_i1
4	GO:0008217	regulation of blood pressure	Biological Process	GO:0065008, GO:0008015	regulation of biological quality, blood circulation	1	1	TR33858 c0_g1_i1
4	GO:0006725	cellular aromatic compound metabolic process	Biological Process	GO:0044237	cellular metabolic process	0.05	1	TR13837 c0_g1_i1
4	GO:0019538	protein metabolic process	Biological Process	GO:0043170, GO:0044238	macromolecule metabolic process, primary metabolic process	0.35	2	TR60392 c0_g1_i1, TR4161 c0_g1_i1

ตารางที่ 3-8 (ต่อ) gene ontology biological process ในกลุ่มที่ 1/2

Level	GO ID	GO Name	GO Type	Parents (ACC)	Parents (Name)	Nodescore	#Seqs	Sequence Names
4	GO:0051171	regulation of nitrogen compound metabolic process	Biological Process	GO:0019222, GO:0006807	regulation of metabolic process, nitrogen compound metabolic process	0.29	2	TR13837 c0_g1_i1, TR4161 c0_g1_i1
4	GO:0044723	single-organism carbohydrate metabolic process	Biological Process	GO:0005975, GO:0044710	carbohydrate metabolic process, single-organism metabolic process	0.26	2	TR9688 c0_g1_i1, TR11428 c0_g1_i1
4	GO:0043170	macromolecule metabolic process	Biological Process	GO:0071704	organic substance metabolic process	0.48	3	TR13837 c0_g1_i1, TR60392 c0_g1_i1, TR4161 c0_g1_i1
4	GO:0046483	heterocycle metabolic process	Biological Process	GO:0044237	cellular metabolic process	0.05	1	TR13837 c0_g1_i1
4	GO:0006979	response to oxidative stress	Biological Process	GO:0006950	response to stress	1	1	TR33858 c0_g1_i1
4	GO:0006793	phosphorus metabolic process	Biological Process	GO:0044237	cellular metabolic process	0.22	1	TR60392 c0_g1_i1
4	GO:0031323	regulation of cellular metabolic process	Biological Process	GO:0050794, GO:0044237, GO:0019222	regulation of cellular process, cellular metabolic process, regulation of metabolic process	0.43	2	TR13837 c0_g1_i1, TR4161 c0_g1_i1

ตารางที่ 3-8 (ต่อ) gene ontology biological process ในกลุ่มที่ 1/2

Level	GO ID	GO Name	GO Type	Parents (ACC)	Parents (Name)	Nodescore	#Seqs	Sequence Names
4	GO:0006139	nucleobase-containing compound metabolic process	Biological Process	GO:0046483, GO:1901360, GO:0034641, GO:0044238, GO:0006725	heterocycle metabolic process, organic cyclic compound metabolic process, cellular nitrogen compound metabolic process, primary metabolic process, cellular aromatic compound metabolic process	0.08	1	TR13837 c0_g1_i1
4	GO:0007568	aging	Biological Process	GO:0044767	single-organism developmental process	0.36	1	TR4161 c0_g1_i1
4	GO:0006629	lipid metabolic process	Biological Process	GO:0071704, GO:0044710, GO:0044238	organic substance metabolic process, single-organism metabolic process, primary metabolic process	0.21	1	TR33858 c0_g1_i1
4	GO:1901360	organic cyclic compound metabolic process	Biological Process	GO:0071704	organic substance metabolic process	0.05	1	TR13837 c0_g1_i1
4	GO:0044281	small molecule metabolic process	Biological Process	GO:0044710	single-organism metabolic process	0.6	4	TR33858 c0_g1_i1, TR9688 c0_g1_i1, TR60392 c0_g1_i1, TR11428 c0_g1_i1
4	GO:0088869	cellular oxidant detoxification	Biological Process	GO:1990748	cellular detoxification	1	1	TR33858 c0_g1_i1

ตารางที่ 3-8 (ต่อ) gene ontology biological process ในกลุ่มที่ 1/2

Level	GO ID	GO Name	GO Type	Parents (ACC)	Parents (Name)	Nodescore	#Seqs	Sequence Names
4	GO:0080090	regulation of primary metabolic process	Biological Process	GO:0019222, GO:0044238	regulation of metabolic processes, primary	0.21	2	TR13837 c0_g1_i1, TR4161 c0_g1_i1
4	GO:0009791	post-embryonic development	Biological Process	GO:0044707, GO:0007275	single-metabolic organism process, multicellular organism development	0.36	1	TR4161 c0_g1_i1
4	GO:0009889	regulation of biosynthetic process	Biological Process	GO:0009058, GO:0019222	biosynthetic process, regulation of metabolic process	0.35	2	TR13837 c0_g1_i1, TR4161 c0_g1_i1
5	GO:1901362	organic cyclic compound biosynthetic process	Biological Process	GO:1901360, GO:1901576	organic cyclic compound metabolic process, organic substance biosynthetic process	0.08	1	TR13837 c0_g1_i1
5	GO:0010468	regulation of gene expression	Biological Process	GO:0010467, GO:0060255	gene expression, regulation of macromolecule	0.82	2	TR13837 c0_g1_i1, TR4161 c0_g1_i1
5	GO:0009059	macromolecule biosynthetic process	Biological Process	GO:1901576, GO:0043170	metabolic process, organic substance biosynthetic process, macromolecule metabolic process	0.43	2	TR13837 c0_g1_i1, TR4161 c0_g1_i1

ตารางที่ 3-8 (ต่อ) gene ontology biological process ในกลุ่มที่ 1/2

Level	GO ID	GO Name	GO Type	Parents (ACC)	Parents (Name)	Nodescore	#Seqs	Sequence Names
5	GO:0043436	oxoacid metabolic process	Biological Process	GO:0006082	organic acid metabolic process	0.35	1	TR33858 c0_g1_i1
5	GO:0090304	nucleic acid metabolic process	Biological Process	GO:0043170, GO:0006139	macromolecule metabolic process, nucleobase-containing compound metabolic process	0.08	1	TR13837 c0_g1_i1
5	GO:0044267	cellular protein metabolic process	Biological Process	GO:0044260, GO:0019538	cellular macromolecule metabolic process, protein metabolic process	0.58	2	TR60392 c0_g1_i1, TR4161 c0_g1_i1
5	GO:0002164	larval development	Biological Process	GO:0009791, GO:0007275	post-embryonic development, multicellular organism development	0.6	1	TR4161 c0_g1_i1
5	GO:0051252	regulation of RNA metabolic process	Biological Process	GO:0019219, GO:0060255, GO:0016070	regulation of nucleobase-containing compound metabolic process, regulation of macromolecule metabolic process, RNA metabolic process	0.22	1	TR13837 c0_g1_i1
5	GO:0006796	phosphate-containing compound metabolic process	Biological Process	GO:0006793	phosphorus metabolic process	0.36	1	TR60392 c0_g1_i1

ตารางที่ 3-8 (ต่อ) gene ontology biological process ในกลุ่มที่ 1/2

Level	GO ID	GO Name	GO Type	Parents (ACC)	Parents (Name)	Nodescore	#Seqs	Sequence Names
5	GO:0010556	regulation of macromolecule biosynthetic process	Biological Process	GO:0009059, GO:0060255, GO:0009889	macromolecule biosynthetic process, regulation of macromolecule metabolic process, regulation of biosynthetic process	0.58	2	TR13837 c0_g1_i1, TR4161 c0_g1_i1
5	GO:0006518	peptide metabolic process	Biological Process	GO:0043603, GO:1901564	cellular amide metabolic process, organonitrogen compound metabolic process	0.13	1	TR4161 c0_g1_i1
5	GO:0010259	multicellular organism aging	Biological Process	GO:0007568, GO:0007275	aging, multicellular organism development	0.6	1	TR4161 c0_g1_i1
5	GO:0016053	organic acid biosynthetic process	Biological Process	GO:0044249, GO:0006082, GO:1901576, GO:0044283	cellular biosynthetic process, organic acid metabolic process, organic substance, small molecule biosynthetic process	0.08	1	TR33858 c0_g1_i1
5	GO:0016051	carbohydrate biosynthetic process	Biological Process	GO:0044711, GO:0044723, GO:1901576	single-organism biosynthetic process, single-organism carbohydrate metabolic process, organic substance biosynthetic process	0.43	2	TR9688 c0_g1_i1, TR11428 c0_g1_i1

ตารางที่ 3-8 (ต่อ) gene ontology biological process ในกลุ่มที่ 1/2

Level	GO ID	GO Name	GO Type	Parents (ACC)	Parents (Name)	Nodescore	#Seqs	Sequence Names
5	GO:0036211	protein modification process	Biological Process	GO:0019538, GO:0043412	protein metabolic process, macromolecule modification	0.36	1	TR60392 c0_g1_i1
5	GO:1901566	organonitrogen compound biosynthetic process	Biological Process	GO:1901564, GO:1901576	organonitrogen compound metabolic process, organic substance biosynthetic process	0.13	1	TR4161 c0_g1_i1
5	GO:0044271	cellular nitrogen compound biosynthetic process	Biological Process	GO:0044249, GO:0034641	cellular biosynthetic process, cellular nitrogen compound metabolic process	0.16	2	TR13837 c0_g1_i1, TR4161 c0_g1_i1
5	GO:0032268	regulation of cellular protein metabolic process	Biological Process	GO:0051246, GO:0044267, GO:0031323	regulation of protein metabolic process, cellular protein metabolic process, regulation of cellular metabolic process	0.36	1	TR4161 c0_g1_i1
5	GO:0034645	cellular macromolecule biosynthetic process	Biological Process	GO:0044249, GO:0044260, GO:0009059	cellular biosynthetic process, cellular macromolecule metabolic process, macromolecule biosynthetic process	0.72	2	TR13837 c0_g1_i1, TR4161 c0_g1_i1

ตารางที่ 3-8 (ต่อ) gene ontology biological process ในกลุ่มที่ 1/2

Level	GO ID	GO Name	GO Type	Parents (ACC)	Parents (Name)	Nodescore	#Seqs	Sequence Names
5	GO:0031326	regulation of cellular biosynthetic process	Biological Process	GO:0044249, GO:0009889, GO:0031323	cellular biosynthetic process, regulation of biosynthetic process, regulation of cellular metabolic process	0.58	2	TR13837 c0_g1_i1, TR4161 c0_g1_i1
5	GO:0006631	fatty acid metabolic process	Biological Process	GO:0032787, GO:0044255	monocarboxylic acid metabolic process, cellular lipid metabolic process	0.58	1	TR33858 c0_g1_i1
5	GO:0008610	lipid biosynthetic process	Biological Process	GO:0044711, GO:0006629, GO:1901576	single-organism biosynthetic process, lipid metabolic process, organic substance biosynthetic process	0.08	1	TR33858 c0_g1_i1
5	GO:0043603	cellular amide metabolic process	Biological Process	GO:0034641	cellular nitrogen compound metabolic process	0.22	1	TR4161 c0_g1_i1
5	GO:0018130	heterocycle biosynthetic process	Biological Process	GO:0046483, GO:0044249	heterocycle metabolic process, cellular biosynthetic process	0.08	1	TR13837 c0_g1_i1

ตารางที่ 3-8 (ต่อ) gene ontology biological process ในกลุ่มที่ 1/2

Level	GO ID	GO Name	GO Type	Parents (ACC)	Parents (Name)	Nodescore	#Seqs	Sequence Names
5	GO:0034654	nucleobase-containing compound biosynthetic process	Biological Process	GO:0044271, GO:1901362, GO:0019438, GO:0006139, GO:0018130	cellular nitrogen compound biosynthetic process, organic cyclic compound biosynthetic process, aromatic compound biosynthetic process, nucleobase-containing compound metabolic process, heterocycle biosynthetic process	0.13	1	TR13837 c0_g1_i1
5	GO:0010467	gene expression	Biological Process	GO:0043170	macromolecule metabolic process	0.58	2	TR13837 c0_g1_i1, TR4161 c0_g1_i1
5	GO:0009790	embryo development	Biological Process	GO:0007275	multicellular organism development	0.6	1	TR4161 c0_g1_i1
5	GO:1901605	alpha-amino acid metabolic process	Biological Process	GO:1901564, GO:0006082	organonitrogen compound metabolic process, organic acid metabolic process	0.6	1	TR60392 c0_g1_i1
5	GO:0051246	regulation of protein metabolic process	Biological Process	GO:0080090, GO:0019538, GO:0060255	regulation of primary metabolic process, protein metabolic process, regulation of macromolecule metabolic process	0.22	1	TR4161 c0_g1_i1

ตารางที่ 3-8 (ต่อ) gene ontology biological process ในกลุ่มที่ 1/2

Level	GO ID	GO Name	GO Type	Parents (ACC)	Parents (Name)	Nodescore	#Seqs	Sequence Names
5	GO:0019219	regulation of nucleobase-containing compound metabolic process	Biological Process	GO:0080090, GO:0051171, GO:0006139, GO:0031323	regulation of primary metabolic process, regulation of nitrogen compound metabolic process, nucleobase-containing compound metabolic process, regulation of cellular metabolic process	0.13	1	TR13837 c0_g1_i1
5	GO:0034248	regulation of cellular amide metabolic process	Biological Process	GO:0043603, GO:0051171, GO:0031323	cellular amide metabolic process, regulation of nitrogen compound metabolic process, regulation of cellular metabolic process	0.36	1	TR4161 c0_g1_i1
5	GO:0019438	aromatic compound biosynthetic process	Biological Process	GO:0044249, GO:0006725	cellular biosynthetic process, cellular aromatic compound metabolic process	0.08	1	TR13837 c0_g1_i1
5	GO:0043412	macromolecule modification	Biological Process	GO:0043170	macromolecule metabolic process	0.22	1	TR60392 c0_g1_i1

ตารางที่ 3-8 (ต่อ) gene ontology biological process ในกลุ่มที่ 1/2

Level	GO ID	GO Name	GO Type	Parents (ACC)	Parents (Name)	Nodescore	#Seqs	Sequence Names
5	GO:0005996	monosaccharide metabolic process	Biological Process	GO:0044723, GO:0044281	single-organism carbohydrate metabolic process, small molecule metabolic process	0.43	2	TR9688 c0_g1_i1, TR11428 c0_g1_i1
5	GO:0016070	RNA metabolic process	Biological Process	GO:0044260, GO:0090304	cellular macromolecule metabolic process, nucleic acid metabolic process	0.13	1	TR13837 c0_g1_i1
5	GO:0044283	small molecule biosynthetic process	Biological Process	GO:0044711, GO:0044281	single-organism biosynthetic process, small molecule	0.48	3	TR33858 c0_g1_i1, TR9688 c0_g1_i1 TR11428 c0_g1_i1
5	GO:0008015	blood circulation	Biological Process	GO:0003013	circulatory system metabolic process	0.6	1	TR33858 c0_g1_i1
6	GO:0032774	RNA biosynthetic process	Biological Process	GO:0034654, GO:0009059, GO:0016070	nucleobase-containing compound biosynthetic process, macromolecule biosynthetic process, RNA metabolic process	0.22	1	TR13837 c0_g1_i1
6	GO:0046364	monosaccharide biosynthetic process	Biological Process	GO:0016051, GO:0005996, GO:0044283	carbohydrate biosynthetic process, monosaccharide metabolic process, small molecule biosynthetic process	0.72	2	TR9688 c0_g1_i1, TR11428 c0_g1_i1

ตารางที่ 3-8 (ต่อ) gene ontology biological process ในกลุ่มที่ 1/2

Level	GO ID	GO Name	GO Type	Parents (ACC)	Parents (Name)	Nodescore	#Seqs	Sequence Names
6	GO:2001141	regulation of RNA biosynthetic process	Biological Process	GO:0032774, GO:0051252, GO:0031326, GO:0010556	RNA biosynthetic process, regulation of RNA metabolic process, regulation of cellular biosynthetic process, regulation of macromolecule biosynthetic process	0.36	1	TR13837 c0_g1_i1
6	GO:0006464	cellular protein modification process	Biological Process	GO:0036211, GO:0044267	protein modification process, cellular protein metabolic process	0.6	1	TR60392 c0_g1_i1
6	GO:0033559	unsaturated fatty acid metabolic process	Biological Process	GO:0006631	fatty acid metabolic process	0.96	1	TR33858 c0_g1_i1
6	GO:0016310	phosphorylation	Biological Process	GO:0006796	phosphate-containing compound metabolic process	0.6	1	TR60392 c0_g1_i1
6	GO:2000112	regulation of cellular macromolecule biosynthetic process	Biological Process	GO:0034645, GO:0031326, GO:0010556	cellular macromolecule biosynthetic process, regulation of cellular biosynthetic process, regulation of macromolecule biosynthetic process	0.96	2	TR13837 c0_g1_i1, TR4161 c0_g1_i1

ตารางที่ 3-8 (ต่อ) gene ontology biological process ในกลุ่มที่ 1/2

Level	GO ID	GO Name	GO Type	Parents (ACC)	Parents (Name)	Nodescore	#Seqs	Sequence Names
6	GO:0006355	regulation of transcription, DNA-templated	Biological Process	GO:0010468, GO:0006351, GO:1903506, GO:2000112	regulation of gene expression, transcription, DNA-templated, regulation of nucleic acid-templated transcription, regulation of cellular macromolecule biosynthetic process	1	1	TR13837 c0_g1_i1
6	GO:0019318	hexose metabolic process	Biological Process	GO:0005996	monosaccharide metabolic process	0.72	2	TR9688 c0_g1_i1, TR11428 c0_g1_i1
6	GO:0046394	carboxylic acid biosynthetic process	Biological Process	GO:0016053, GO:0019752	organic acid biosynthetic process, carboxylic acid metabolic process	0.13	1	TR33858 c0_g1_i1
6	GO:0010608	posttranscriptional regulation of gene expression	Biological Process	GO:0010468	regulation of gene expression	0.36	1	TR4161 c0_g1_i1
6	GO:0001676	long-chain fatty acid metabolic process	Biological Process	GO:0006631	fatty acid metabolic process	0.36	1	TR33858 c0_g1_i1
6	GO:0002119	nematode larval development	Biological Process	GO:0002164	larval development	1	1	TR4161 c0_g1_i1

ตารางที่ 3-8 (ต่อ) gene ontology biological process ในกลุ่มที่ 1/2

Level	GO ID	GO Name	GO Type	Parents (ACC)	Parents (Name)	Nodescore	#Seqs	Sequence Names
6	GO:0006351	transcription, DNA-templated	Biological Process	GO:0010467, GO:0034645, GO:0097659	gene expression, cellular macromolecule biosynthetic process, nucleic acid-templated transcription	0.6	1	TR13837 c0_g1_i1
6	GO:0009792	embryo development ending in birth or egg hatching	Biological Process	GO:0009790	embryo development	1	1	TR4161 c0_g1_i1
6	GO:0006412	translation	Biological Process	GO:0010467, GO:0034645, GO:0044267, GO:0043043	gene expression, cellular macromolecule biosynthetic process, cellular protein metabolic process, peptide biosynthetic process	0.36	1	TR4161 c0_g1_i1
6	GO:0043043	peptide biosynthetic process	Biological Process	GO:0043604, GO:1901566, GO:0006518	amide biosynthetic process, organonitrogen compound biosynthetic process, peptide metabolic process	0.22	1	TR4161 c0_g1_i1
6	GO:0006633	fatty acid biosynthetic process	Biological Process	GO:0008610, GO:0072330, GO:0006631	lipid biosynthetic process, monocarboxylic acid biosynthetic process, fatty acid metabolic process	0.13	1	TR33858 c0_g1_i1

ตารางที่ 3-8 (ต่อ) gene ontology biological process ในกลุ่มที่ 1/2

Level	GO ID	GO Name	GO Type	Parents (ACC)	Parents (Name)	Nodescore	#Seqs	Sequence Names
6	GO:0006414	translational elongation	Biological Process	GO:003445, GO:0006412	cellular macromolecule biosynthetic process, translation	0.6	1	TR4161 c0_g1_i1
6	GO:0006417	regulation of translation	Biological Process	GO:0034248, GO:0032268, GO:2000112, GO:0010608, GO:0006412	regulation of cellular amide metabolic process, regulation of cellular protein metabolic process, regulation of cellular macromolecule biosynthetic processes, posttranscriptional regulation of gene expression, translation	0.6	1	TR4161 c0_g1_i1
6	GO:0043604	amide biosynthetic process	Biological Process	GO:0044271, GO:00043603	cellular nitrogen compound biosynthetic process, cellular amide metabolic process	0.13	1	TR4161 c0_g1_i1
6	GO:0009069	serine family amino acid metabolic process	Biological Process	GO:1901605	alpha-amino acid metabolic process	1	1	TR60392 c0_g1_i1
6	GO:0019752	carboxylic acid metabolic process	Biological Process	GO:0043436	oxoacid metabolic process	0.58	1	TR33858 c0_g1_i1

ตารางที่ 3-8 (ต่อ) gene ontology biological process ในกลุ่มที่ 1/2

Level	GO ID	GO Name	GO Type	Parents (ACC)	Parents (Name)	Nodescore	#Seqs	Sequence Names
7	GO:0019369	arachidonic acid metabolic process	Biological Process	GO:0001676, GO:0006690, GO:0033559	long-chain fatty acid metabolic process, icosanoid metabolic process, unsaturated fatty acid metabolic process	0.6	1	TR33858 c0_g1_i1
7	GO:0006692	prostanoid metabolic process	Biological Process	GO:0006690, GO:0033559	icosanoid metabolic process, unsaturated fatty acid metabolic process	0.22	1	TR33858 c0_g1_i1
7	GO:0006691	leukotriene metabolic process	Biological Process	GO:0006690, GO:0033559	icosanoid metabolic process, unsaturated fatty acid metabolic process	1	1	TR33858 c0_g1_i1
7	GO:0006690	icosanoid metabolic process	Biological Process	GO:0019752	carboxylic acid metabolic process	0.96	1	TR33858 c0_g1_i1
7	GO:0032787	monocarboxylic acid metabolic process	Biological Process	GO:0019752	carboxylic acid metabolic process	0.35	1	TR33858 c0_g1_i1
7	GO:0006448	regulation of translational elongation	Biological Process	GO:0006414, GO:0006417	translational elongation, regulation of translation	1	1	TR4161 c0_g1_i1
7	GO:0006006	glucose metabolic process	Biological Process	GO:0019318	hexose metabolic process	1.2	2	TR9688 c0_g1_i1, TR11428 c0_g1_i1
7	GO:1903506	regulation of nucleic acid-templated transcription	Biological Process	GO:00097659, GO:2001141	nucleic acid templated transcription, regulation of RNA biosynthetic process	0.6	1	TR13837 c0_g1_i1

ตารางที่ 3-8 (ต่อ) gene ontology biological process ในกลุ่มที่ 1/2

Level	GO ID	GO Name	GO Type	Parents (ACC)	Parents (Name)	Nodescore	#Seqs	Sequence Names
7	GO:0006468	protein phosphorylation	Biological Process	GO:0016310, GO:0006464	phosphorylation, cellular protein modification process	1	1	TR00392 c0_g1_i1
7	GO:0097659	nucleic acid-templated transcription	Biological Process	GO:0032774	RNA biosynthetic process	0.36	1	TR13837 c0_g1_i1
7	GO:0019319	hexose biosynthetic process	Biological Process	GO:0019318, GO:0046364	hexose metabolic process, monosaccharide biosynthetic process	1.2	2	TR9688 c0_g1_i1, TR11428 c0_g1_i1
7	GO:0006636	unsaturated fatty acid biosynthetic process	Biological Process	GO:0006633, GO:0033559	fatty acid biosynthetic process, unsaturated fatty acid metabolic process	0.22	1	TR33858 c0_g1_i1
7	GO:0072330	monocarboxylic acid biosynthetic process	Biological Process	GO:0032787, GO:0046394	monocarboxylic acid metabolic process, carboxylic acid biosynthetic process	0.08	1	TR33858 c0_g1_i1
7	GO:0046456	icosanoid biosynthetic process	Biological Process	GO:0006690, GO:0046394	icosanoid metabolic process, carboxylic acid biosynthetic process	0.22	1	TR33858 c0_g1_i1

ตารางที่ 3-8 (ต่อ) gene ontology biological process ในกลุ่มที่ 1/2

Level	GO ID	GO Name	GO Type	Parents (ACC)	Parents (Name)	Nodescore	#Seqs	Sequence Names
8	GO:0046457	prostanoid biosynthetic process	Biological Process	GO:0006636, GO:0046456, GO:0006692	unsaturated fatty acid biosynthetic process, icosanoid biosynthetic process, prostanoid metabolic process	0.36	1	TR33858 c0_g1_i1
8	GO:0019371	cyclooxygenase pathway	Biological Process	GO:0001516	arachidonic acid metabolic process, prostaglandin biosynthetic process	1	1	TR33858 c0_g1_i1
8	GO:0006094	gluconeogenesis	Biological Process	GO:0019319, GO:0006006	hexose biosynthetic process, glucose metabolic process	2	2	TR9688 c0_g1_i1, TR11428 c0_g1_i1
8	GO:0006693	prostaglandin metabolic process	Biological Process	GO:0006692	prostanoid metabolic process	0.36	1	TR33858 c0_g1_i1
9	GO:0001516	prostaglandin biosynthetic process	Biological Process	GO:0006693, GO:0046457	prostaglandin metabolic process, prostanoid biosynthetic process	0.6	1	TR33858 c0_g1_i1

ตารางที่ 3-9 gene ontology molecular function ในกลุ่มที่ 1/2

Level	GO ID	GO Name	GO Type	Parents (ACC)	Parents (Name)	Nodescore	#Seqs	Sequence Names
1	GO:0003674	molecular_function	Molecular Function			2.49	7	TR13837 c0_g1_i1, TR33858 c0_g1_i1, TR9688 c0_g1_i1, TR60392 c0_g1_i1, TR4161 c0_g1_i1, TR11428 c0_g1_i1, TR61286 c3_g5_i1
2	GO:0003824	catalytic activity	Molecular Function	GO:0003674	molecular_function	2.02	6	TR33858 c0_g1_i1, TR9688 c0_g1_i1, TR60392 c0_g1_i1, TR4161 c0_g1_i1, TR11428 c0_g1_i1, TR61286 c3_g5_i1
2	GO:0005488	binding	Molecular Function	GO:0003674	molecular_function	1.16	7	TR13837 c0_g1_i1, TR33858 c0_g1_i1, TR9688 c0_g1_i1, TR60392 c0_g1_i1, TR4161 c0_g1_i1, TR11428 c0_g1_i1, TR61286 c3_g5_i1
2	GO:0016209	antioxidant activity	Molecular Function	GO:0003674	molecular_function	0.6	1	TR33858 c0_g1_i1
2	GO:0001071	nucleic acid binding	Molecular Function	GO:0003674	molecular_function	0.6	1	TR13837 c0_g1_i1
3	GO:0097367	transcription factor activity	Molecular Function	GO:0005488	binding	0.52	4	TR9688 c0_g1_i1, TR60392 c0_g1_i1, TR11428 c0_g1_i1, TR4161 c0_g1_i1
3	GO:1901363	carbohydrate derivative binding	Molecular Function	GO:0005488	binding	1.57	6	TR13837 c0_g1_i1, TR33858 c0_g1_i1, TR9688 c0_g1_i1, TR60392 c0_g1_i1, TR4161 c0_g1_i1, TR11428 c0_g1_i1
		heterocyclic compound	Molecular Function					
		binding						

ตารางที่ 3-9 (ต่อ) gene ontology molecular function ในตัวอย่าง 1/2

Level	GO ID	GO Name	GO Type	Parents (ACC)	Parents (Name)	Nodescore	#Seqs	Sequence Names
3	GO:0016829	lyase activity	Molecular Function	GO:0003824	catalytic activity	0.43	2	TR9688 c0_g1_i1, TR11428 c0_g1_i1
3	GO:0003700	transcription factor activity, sequence-specific DNA binding	Molecular Function	GO:0001071	nucleic acid binding transcription factor activity	1	1	TR13837 c0_g1_i1
3	GO:0043167	ion binding	Molecular Function	GO:0005488	binding	0.36	1	TR61286 c3_g5_i1
3	GO:0016491	oxidoreductase activity	Molecular Function	GO:0003824	catalytic activity	2.72	2	TR3358 c0_g1_i1, TR61286 c3_g5_i1
3	GO:0016787	hydrolase activity	Molecular Function	GO:0003824	catalytic activity	0.08	1	TR4161 c0_g1_i1
3	GO:0016740	transferase activity	Molecular Function	GO:0003824	catalytic activity	0.13	1	TR60392 c0_g1_i1
3	GO:0026094	small molecule binding	Molecular Function	GO:0005488	binding	0.52	4	TR9688 c0_g1_i1, TR60392 c0_g1_i1, TR11428 c0_g1_i1, TR4161 c0_g1_i1, TR13837 c0_g1_i1, TR9688 c0_g1_i1, TR60392 c0_g1_i1, TR4161 c0_g1_i1, TR9688 c0_g1_i1, TR60392 c0_g1_i1, TR11428 c0_g1_i1, TR4161 c0_g1_i1
3	GO:0004601	peroxidase activity	Molecular Function	GO:0016209, GO:0016684	antioxidant activity, oxidoreductase activity, acting on peroxide as acceptor	1	1	TR3358 c0_g1_i1
3	GO:0097159	organic cyclic compound binding	Molecular Function	GO:0005488	binding	1.57	6	TR13837 c0_g1_i1, TR3358 c0_g1_i1, TR9688 c0_g1_i1, TR60392 c0_g1_i1, TR4161 c0_g1_i1, TR9688 c0_g1_i1, TR60392 c0_g1_i1, TR11428 c0_g1_i1, TR4161 c0_g1_i1, TR9688 c0_g1_i1, TR60392 c0_g1_i1, TR11428 c0_g1_i1, TR4161 c0_g1_i1
4	GO:0001882	nucleoside binding	Molecular Function	GO:0097367, GO:0036094, GO:1901363, GO:0097159	carbohydrate derivative binding, small molecule binding, heterocyclic compound binding, organic cyclic compound binding	0.86	4	

ตารางที่ 3-9 (ต่อ) gene ontology molecular function ในตัวอย่างที่ 1/2

Level	GO ID	GO Name	GO Type	Parents (ACC)	Parents (Name)	Nodescore	#Seqs	Sequence Names
4	GO:0003676	nucleic acid binding	Molecular Function	GO:1901363, GO:0097159	heterocyclic compound binding, organic cyclic compound binding	0.58	2	TR1383 c0_g1_i1, TR4161 c0_g1_i1
4	GO:0016830	carbon-carbon lyase activity	Molecular Function	GO:0016829	lyase activity	0.72	2	TR9688 c0_g1_i1, TR11428 c0_g1_i1
4	GO:0016705	oxidoreductase activity, acting on paired donors, with incorporation or reduction of molecular oxygen	Molecular Function	GO:0016491	oxidoreductase activity	0.6	1	TR33858 c0_g1_i1
4	GO:1901265	nucleoside phosphate binding	Molecular Function	GO:1901363, GO:0097159	heterocyclic compound binding, organic cyclic compound binding	1.44	4	TR9688 c0_g1_i1, TR60392 c0_g1_i1, TR11428 c0_g1_i1, TR4161 c0_g1_i1
4	GO:0016772	transferase activity, transferring phosphorus- containing groups	Molecular Function	GO:0016740	transferase activity	0.22	1	TR60392 c0_g1_i1
4	GO:0046906	tetrapyrrole binding	Molecular Function	GO:1901363, GO:0097159	heterocyclic compound binding, organic cyclic compound binding	0.6	1	TR33858 c0_g1_i1
4	GO:0016817	hydrolase activity, acting on acid anhydrides	Molecular Function	GO:0016787	hydrolase activity	0.13	1	TR4161 c0_g1_i1
4	GO:0043169	cation binding	Molecular Function	GO:0043167	ion binding	0.6	1	TR61286 c3_g5_i1
4	GO:000166	nucleotide binding	Molecular Function	GO:0036094, GO:1901265	small molecule binding, nucleoside phosphate binding	0.52	4	TR9688 c0_g1_i1, TR60392 c0_g1_i1, TR11428 c0_g1_i1, TR4161 c0_g1_i1

ตารางที่ 3-9 (ต่อ) gene ontology molecular function ในตัวอย่างที่ 1/2

Level	GO ID	GO Name	GO Type	Parents (ACC)	Parents (Name)	Nodescore	#Seqs	Sequence Names
4	GO:0032553	ribonucleotide binding	Molecular Function	GO:0000166, GO:0097367	nucleotide binding, carbohydrate derivative binding	0.86	4	TR9688 c0_g1_i1, TR60392 c0_g1_i1, TR11428 c0_g1_i1, TR4161 c0_g1_i1
4	GO:0016684	oxidoreductase activity, acting on peroxide as acceptor	Molecular Function	GO:0016491	oxidoreductase activity	0.6	1	TR33858 c0_g1_i1
5	GO:0046872	metal ion binding	Molecular Function	GO:0043169	cation binding	1	1	TR61286 c3_g5_i1
5	GO:0036777	DNA binding	Molecular Function	GO:0003676	nucleic acid binding	0.6	1	TR13837 c0_g1_i1
5	GO:0016301	kinase activity	Molecular Function	GO:0016772	transferase activity, transferring phosphorus- containing groups	0.36	1	TR60392 c0_g1_i1
5	GO:0017076	purine nucleotide binding	Molecular Function	GO:0000166	nucleotide binding	0.86	4	TR9688 c0_g1_i1, TR60392 c0_g1_i1, TR11428 c0_g1_i1, TR4161 c0_g1_i1
5	GO:0001883	purine nucleoside binding	Molecular Function	GO:0001882	nucleoside binding	1.44	4	TR9688 c0_g1_i1, TR60392 c0_g1_i1, TR11428 c0_g1_i1, TR4161 c0_g1_i1
5	GO:0016773	phosphotransferase activity, alcohol group as acceptor	Molecular Function	GO:0016772	transferase activity, transferring phosphorus- containing groups	0.36	1	TR60392 c0_g1_i1
5	GO:0003723	RNA binding	Molecular Function	GO:0003676	nucleic acid binding	0.36	1	TR4161 c0_g1_i1
5	GO:0016831	carboxy-lyase activity	Molecular Function	GO:0016830	carbon-carbon lyase activity	1.2	2	TR9688 c0_g1_i1, TR11428 c0_g1_i1

ตารางที่ 3-9 (ต่อ) gene ontology molecular function ในตัวอย่างที่ 1/2

Level	GO ID	GO Name	GO Type	Parents (ACC)	Parents (Name)	Nodescore	#Seqs	Sequence Names
5	GO:0032555	purine ribonucleotide binding	Molecular Function	GO:0032553, GO:0017076	ribonucleotide binding, purine nucleotide binding	1.44	4	TR9688 c0_g1_i1, TR60392 c0_g1_i1, TR11428 c0_g1_i1, TR4161 c0_g1_i1
5	GO:0020037	heme binding	Molecular Function	GO:0046906	tetrapyrrole binding	1	1	TR33858 c0_g1_i1
5	GO:0016818	hydrolase activity, acting on acid anhydrides, in phosphorus-containing anhydrides	Molecular Function	GO:0016817	hydrolase activity, acting on acid anhydrides	0.22	1	TR4161 c0_g1_i1
5	GO:0032549	ribonucleoside binding	Molecular Function	GO:0001882	nucleoside binding	1.44	4	TR9688 c0_g1_i1, TR60392 c0_g1_i1, TR11428 c0_g1_i1, TR4161 c0_g1_i1
5	GO:0035639	purine ribonucleoside triphosphate binding	Molecular Function	GO:1901265	nucleoside phosphate binding	2.4	4	TR9688 c0_g1_i1, TR60392 c0_g1_i1, TR11428 c0_g1_i1, TR4161 c0_g1_i1
5	GO:0004666	prostaglandin-endoperoxide synthase activity	Molecular Function	GO:0016705	oxidoreductase activity, acting on paired donors, with incorporation or reduction of molecular oxygen	1	1	TR33858 c0_g1_i1
6	GO:0004672	protein kinase activity	Molecular Function	GO:0016301, GO:0016773	kinase activity, phosphotransferase activity, alcohol group as acceptor	0.6	1	TR60392 c0_g1_i1
6	GO:0030554	adenyl nucleotide binding	Molecular Function	GO:0017076	purine nucleotide binding	0.36	1	TR60392 c0_g1_i1
6	GO:0043565	sequence-specific DNA binding	Molecular Function	GO:0003677	DNA binding	1	1	TR13837 c0_g1_i1

ตารางที่ 3-9 (ต่อ) gene ontology molecular function ในตัวอย่างที่ 1/2

Level	GO ID	GO Name	GO Type	Parents (ACC)	Parents (Name)	Nodescore	#Seqs	Sequence Names
6	GO:0005525	GTP binding	Molecular Function	GO:0032550, GO:0035639, GO:0032561	purine ribonucleoside binding, purine ribonucleoside triphosphate binding, guanyl ribonucleotide binding	3	3	TR9688 c0_g1_i1, TR11428 c0_g1_i1, TR4161 c0_g1_i1
6	GO:0032550	purine ribonucleoside binding	Molecular Function	GO:0032549, GO:0001883	ribonucleoside binding, purine nucleoside binding	2.4	4	TR9688 c0_g1_i1, TR60392 c0_g1_i1, TR11428 c0_g1_i1, TR4161 c0_g1_i1
6	GO:0008135	translation factor activity, RNA binding	Molecular Function	GO:0003723	RNA binding	0.6	1	TR4161 c0_g1_i1
6	GO:0032559	adenyl ribonucleotide binding	Molecular Function	GO:0030554, GO:0032555	adenyl nucleotide binding, purine ribonucleotide binding	0.6	1	TR60392 c0_g1_i1
6	GO:0019001	guanyl nucleotide binding	Molecular Function	GO:0017076	purine nucleotide binding	1.08	3	TR9688 c0_g1_i1, TR11428 c0_g1_i1, TR4161 c0_g1_i1
6	GO:0005524	ATP binding	Molecular Function	GO:0032550, GO:0032559, GO:0035639	purine ribonucleoside binding, adenylyl ribonucleotide binding, purine ribonucleoside triphosphate binding	1	1	TR60392 c0_g1_i1

ตารางที่ 3-9 (ต่อ) gene ontology molecular function ในตัวอย่างที่ 1/2

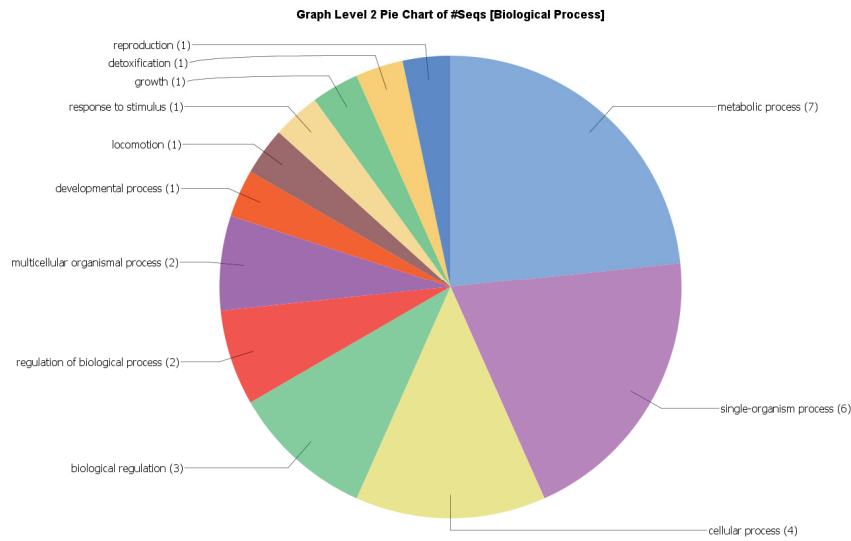
Level	GO ID	GO Name	GO Type	Parents (ACC)	Parents (Name)	Nodescore	#Seqs	Sequence Names
6	GO:0016462	pyrophosphatase activity	Molecular Function	GO:0016818	hydrolase activity, acting on acid anhydrides, in phosphorus-containing anhydrides	0.36	1	TR4161 c0_g1_i1
6	GO:0004611	phosphoenolpyruvate carboxykinase activity	Molecular Function	GO:0016831	carboxy-lyase activity	2	2	TR9688 c0_g1_i1, TR11428 c0_g1_i1
6	GO:0032561	guanyl ribonucleotide binding	Molecular Function	GO:0019001, GO:0032555	guanyl nucleotide binding, purine ribonucleotide binding	1.8	3	TR9688 c0_g1_i1, TR11428 c0_g1_i1, TR4161 c0_g1_i1
7	GO:0003746	translation elongation factor activity	Molecular Function	GO:0008135	translation factor activity, RNA binding	1	1	TR4161 c0_g1_i1
7	GO:0017111	nucleoside-triphosphatase activity	Molecular Function	GO:0016462	pyrophosphatase activity	0.6	1	TR4161 c0_g1_i1
7	GO:0004674	protein serine/threonine kinase activity	Molecular Function	GO:0004672	protein kinase activity	1	1	TR60392 c0_g1_i1
8	GO:0003924	GTPase activity	Molecular Function	GO:0017111	nucleoside-triphosphatase activity	1	1	TR4161 c0_g1_i1

### ตารางที่ 3-10 gene ontology cellular component ในกลุ่มที่ 1/2

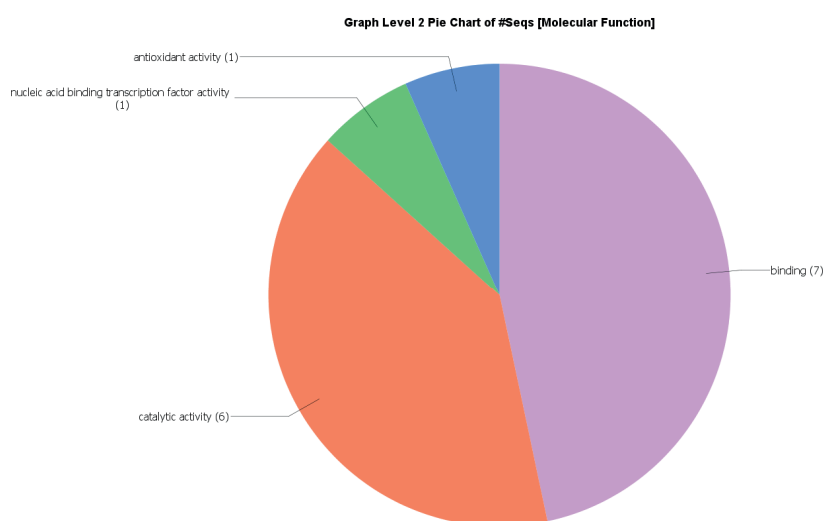
Level	GO ID	GO Name	GO Type	Parents (ACC)	Parents (Name)	NodeScore	#Seqs	Sequence Names
1	GO:0005575	cellular_component	Cellular Component	GO:0016020,	membrane,	1.16	4	TR13837 c0_g1_i1, TR33858 c0_g1_i1,
2	GO:0044425	membrane part	Cellular Component	GO:0005575	cellular_component	0.36	1	TR13681 c1_g2_i1, TR4161 c0_g1_i1
2	GO:0043226	organelle	Cellular Component	GO:0005575	cellular_component	0.22	1	TR4161 c0_g1_i1
2	GO:0016020	membrane	Cellular Component	GO:0005575	cellular_component	0.22	1	TR33858 c0_g1_i1
2	GO:0005623	cell	Cellular Component	GO:0005575	cellular_component	0.35	2	TR13837 c0_g1_i1, TR4161 c0_g1_i1
2	GO:0032991	macromolecular complex	Cellular Component	GO:0005575	cellular_component	0.58	2	TR13837 c0_g1_i1, TR4161 c0_g1_i1
2	GO:0005576	extracellular region	Cellular Component	GO:0005575	cellular_component	1	1	TR13681 c1_g2_i1
2	GO:0044464	cell part	Cellular Component	GO:0005623,	cell, cellular_component	0.58	2	TR13837 c0_g1_i1, TR4161 c0_g1_i1
3	GO:0043228	non-membrane-bounded organelle	Cellular Component	GO:0005575	organelle	0.36	1	TR4161 c0_g1_i1
3	GO:1990904	ribonucleoprotein complex	Cellular Component	GO:0032991	macromolecular complex	0.36	1	TR4161 c0_g1_i1
3	GO:0043234	protein complex	Cellular Component	GO:0032991	macromolecular complex	0.6	1	TR13837 c0_g1_i1
3	GO:0044424	intracellular part	Cellular Component	GO:0005622,	intracellular, cell part	0.96	2	TR13837 c0_g1_i1, TR4161 c0_g1_i1
3	GO:0031224	intrinsic component of membrane	Cellular Component	GO:0044464	membrane part	0.6	1	TR33858 c0_g1_i1
3	GO:0005622	intracellular	Cellular Component	GO:0044464	cell part	0.58	2	TR13837 c0_g1_i1, TR4161 c0_g1_i1

ตารางที่ 3-10 (ต่อ) gene ontology cellular component ในกลุ่มที่ 1/2

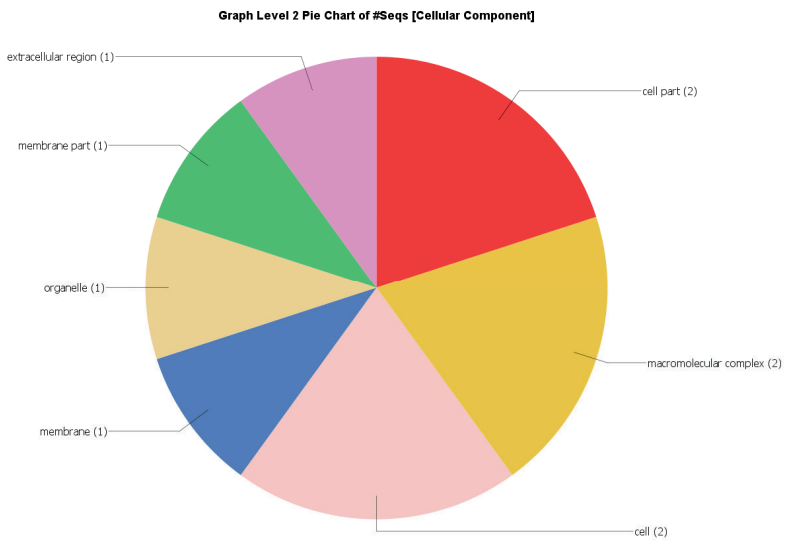
Level	GO ID	GO Name	GO Type	Parents (ACC)	Parents (Name)	NodeScore	#Seqs	Sequence Names
3	GO:0043229	intracellular organelle	Cellular Component	GO:0043226, GO:0044424	organelle, intracellular part	0.36	1	TR4161 c0_g1_i1
4	GO:0044444	cytoplasmic part	Cellular Component	GO:0005737, GO:0044424	cytoplasm, intracellular part	0.6	1	TR4161 c0_g1_i1
4	GO:0005737	cytoplasm	Cellular Component	GO:0044424	intracellular part	0.36	1	TR4161 c0_g1_i1
4	GO:005667	transcription factor complex	Cellular Component	GO:0043234, GO:0044424	protein complex, intracellular part	1	1	TR13837 c0_g1_i1
4	GO:0030529	intracellular ribonucleoprotein complex	Cellular Component	GO:1990904, GO:0044424	ribonucleoprotein complex, intracellular part	0.6	1	TR4161 c0_g1_i1
4	GO:0016021	integral component of membrane	Cellular Component	GO:0031224	intrinsic component of membrane	1	1	TR33858 c0_g1_i1
4	GO:0043232	intracellular non-membrane-bounded organelle	Cellular Component	GO:0043228, GO:0043229	non-membrane-bounded organelle, intracellular organelle	0.6	1	TR4161 c0_g1_i1
5	GO:0005840	ribosome	Cellular Component	GO:0030529, GO:0044444, GO:0043232	intracellular ribonucleoprotein complex, cytoplasmic part, intracellular non-membrane-bounded organelle	1	1	TR4161 c0_g1_i1



ภาพที่ 3-5 องค์ประกอบหน้าที่ของ transcripts ในส่วน biological process ในกลุ่มที่ 1/2



ภาพที่ 3-6 องค์ประกอบหน้าที่ของ transcripts ในส่วน molecular function ในกลุ่มที่ 1/2



ภาพที่ 3-7 องค์ประกอบหน้าที่ของ transcripts ในส่วน cellular function ในกลุ่มที่ 1/2

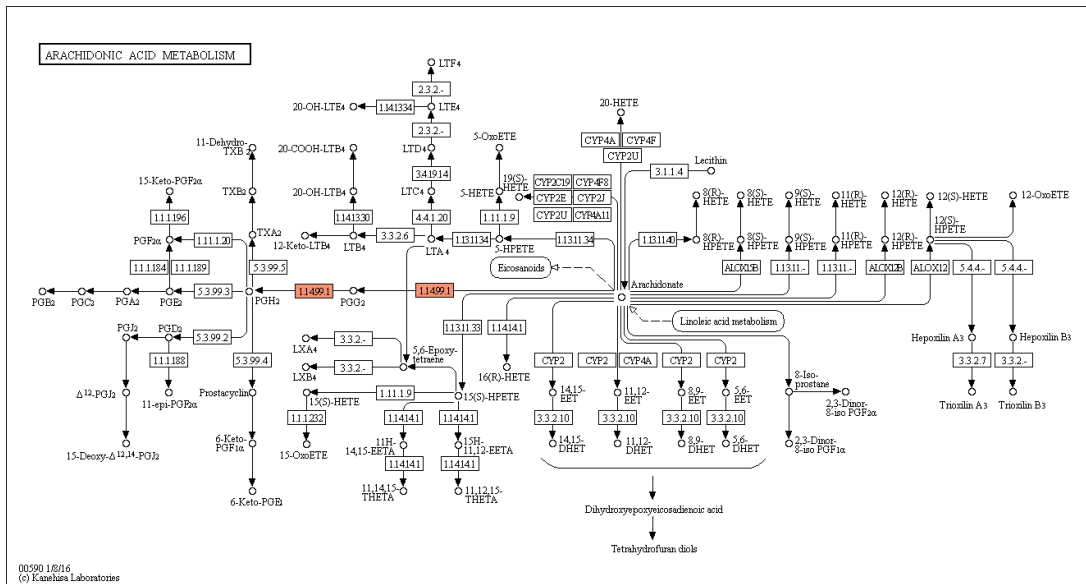
### Pathway analysis

ในกลุ่มที่ 1/2 พบ enzyme pathway จำนวน 4 pathway จาก 2 transcripts ประกอบไปด้วย Arachidonic acid metabolism, Phenylpropanoid biosynthesis, Thiamine metabolism และ Purine metabolism ดังตารางที่ 3-11

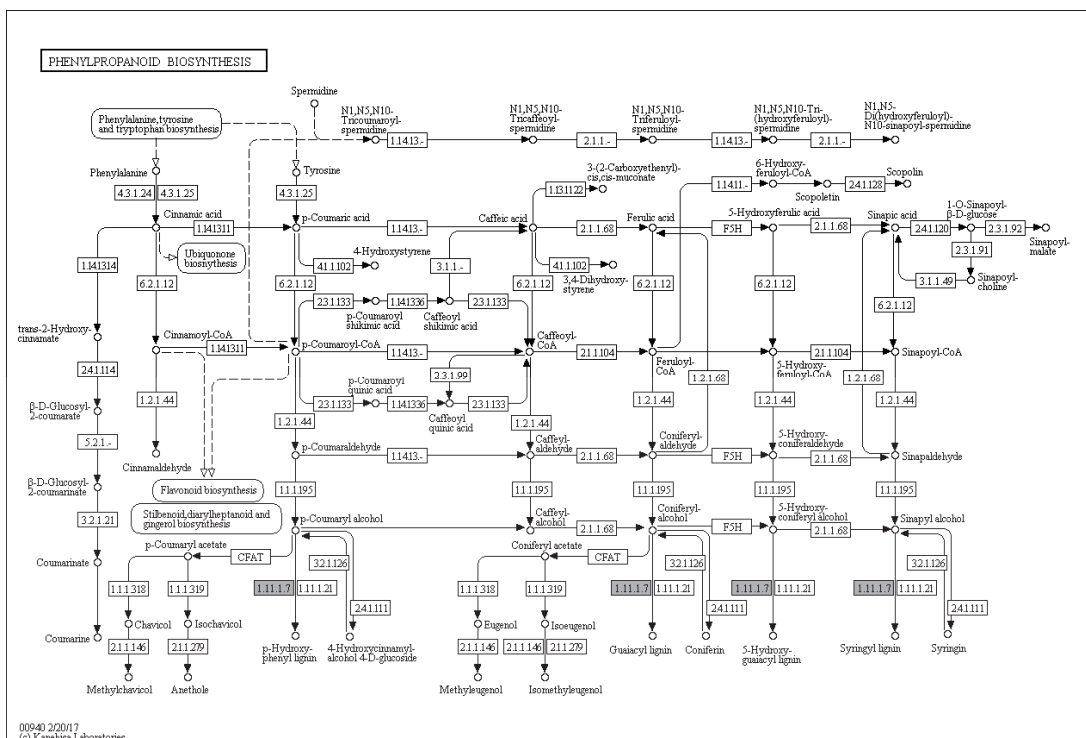
ตารางที่ 3-11 pathway ในกลุ่มที่ 1/2

Seq	Pathway	Pathway ID	#Enzs in Pathway	Enzyme
TR33858 c0_g1_i1	Arachidonic acid metabolism, Phenylpropanoid biosynthesis	map00590, map00940	1, 1	ec:1.14.99.1 - synthase, ec:1.11.1.7 - lactoperoxidase
TR4161 c0_g1_i1	Thiamine metabolism, Purine metabolism	map00730, map00230	1, 1	ec:3.6.1.15 - phosphatase, ec:3.6.1.15 - phosphatase

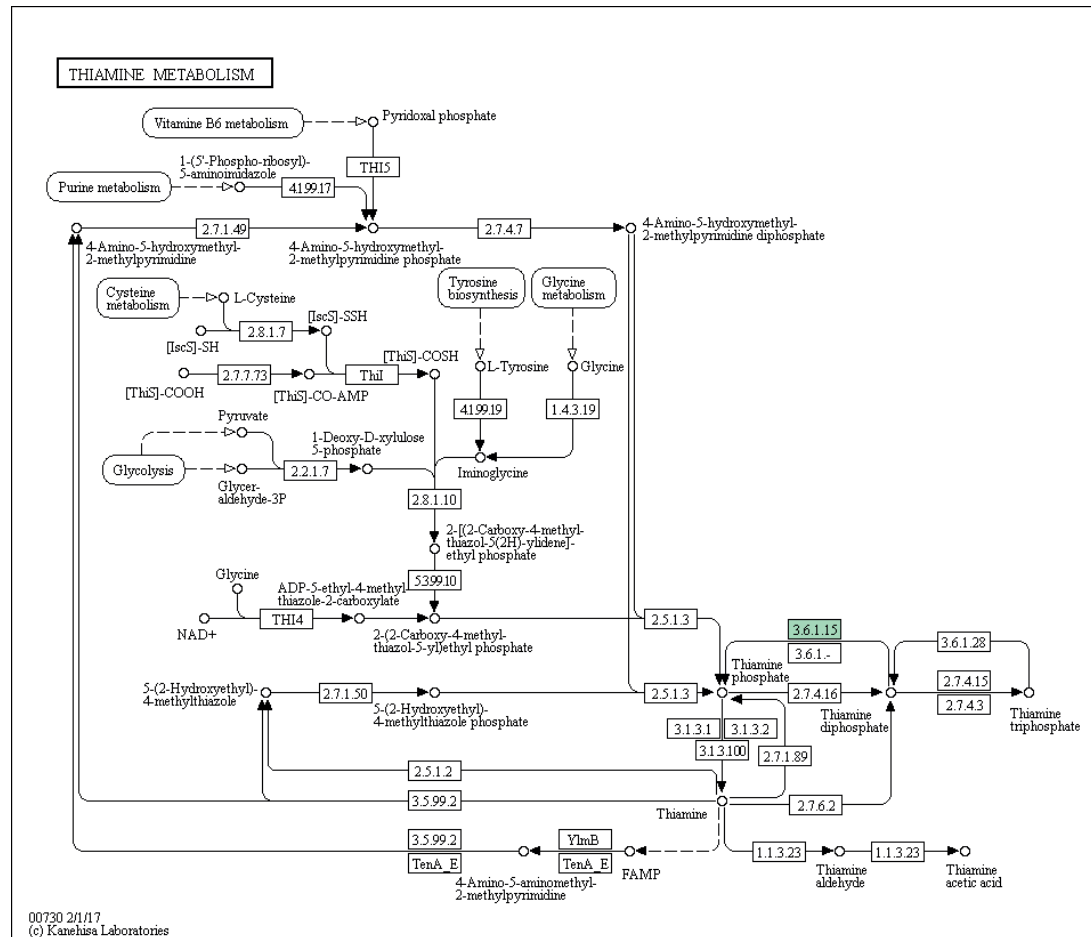




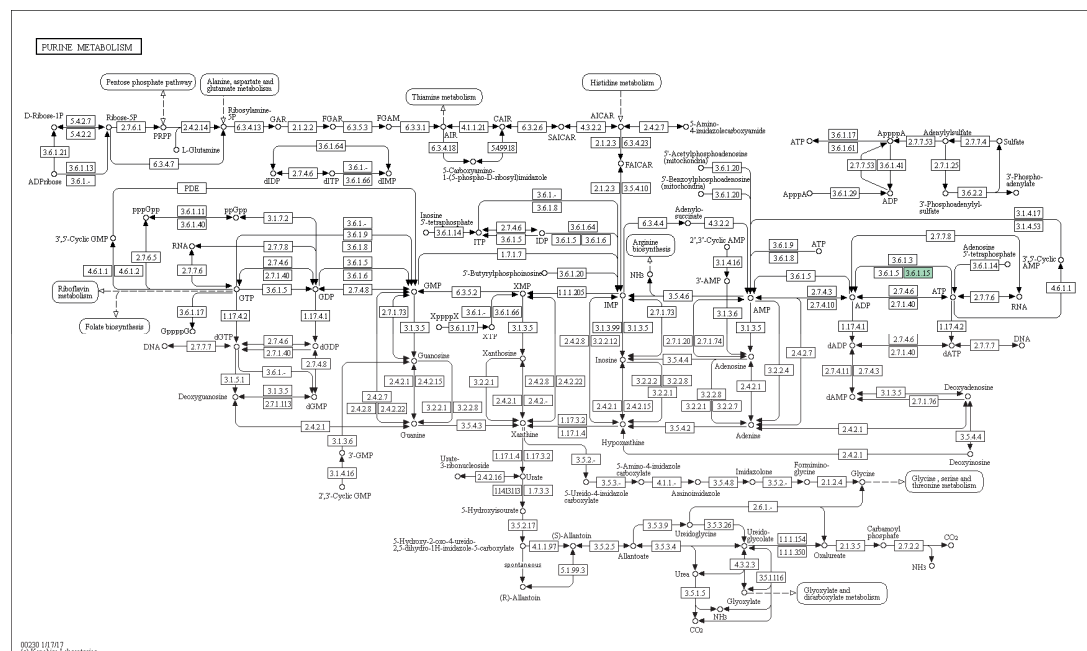
ภาพที่ 3-8 Arachidonic acid metabolism pathway ในกลุ่มที่ 1/2



ภาพที่ 3-9 Phenylpropanoid biosynthesis pathway ในกลุ่มที่ 1/2



ภาพที่ 3-10 Thiamine metabolism pathway และ Purine metabolism ในกลุ่มที่ 1/2



ภาพที่ 3-11 Purine metabolism pathway ในกลุ่มที่ 1/2

### 3.2.3 กลุ่มที่ 2/1 มีลักษณะการแสดงออกลดลง

มีทั้งหมด 135 transcripts มีลักษณะการแสดงออกลดลงเมื่อได้รับเชื้อ *Vibrio parahemolyticus* เมื่อเปรียบเทียบกับสภาพปกติ (hc0\_a ในภาพที่ 3-1) สามารถระบุชื่อยืนจากฐานข้อมูล blastx ได้ทั้งหมด 34 transcripts และนำไปอธิบายถึงหน้าที่ของยีนได้ทั้งหมด 13 transcripts จาก 34 transcripts ที่สามารถระบุชื่อยืนได้ ดังตารางที่ 3-12 โดยการนำเอาข้อมูลจากฐานข้อมูลออนไลน์ GO โดยในแต่ละ transcript จะเป็นส่วนของ biological process, molecular function และ cellular component ดังตารางที่ 3-13 โดยมีการจัดลำดับขั้นตามรูปแบบของ gene ontology ดังตารางที่ 3-14, 3-15 และ 3-16 สามารถสรุปองค์ประกอบหน้าที่ของ transcripts ตามระดับที่ 2 (level 2) ของการจัดลำดับตามรูปแบบของ gene ontology ได้ดังนี้

biological process มีทั้งหมด 10 ส่วนประกอบ โดยส่วนใหญ่มีความเกี่ยวข้องกับ cellular process จำนวน 6 transcripts และ single-organism process จำนวน 6 transcripts และ อีก 8 ส่วนประกอบ ซึ่งมีสัดส่วนตามภาพที่ 3-12

molecular function มีทั้งหมด 4 ส่วนประกอบ โดยส่วนใหญ่เป็น binding จำนวน 8 transcripts, catalytic activity จำนวน 4 transcripts และส่วนอื่นๆซึ่งมีสัดส่วนตามภาพที่ 3-13

cellular component มีทั้งหมด 9 ส่วนประกอบ โดยส่วนใหญ่เป็นส่วนของ extracellular region จำนวน 5 transcripts และส่วนอื่นๆ ซึ่งมีสัดส่วนตามภาพที่ 3-14

### ตารางที่ 3-12 องค์ประกอบของ transcripts ในกลุ่มที่ 2/1

SeqName	description	Length	#Hits	e-Value	slim mean	#GO	GO IDs	GO Names	Enzyme codes	Enzyme names	InterPro IDs	InterPro GO Names
TR11354 c0_g1_1l	tyrosine decarboxylase	540	20	1.02E-63	84.35	3	F:GO:0030170; P:GO:0006520; F:GO:0016831	F:pyridoxal phosphate binding; P:cellular amino acid metabolic process; F:carboxy-lyase activity	IPR010977 (PRINTS); G3DSA:1.20.1340.10 (GENE3D); IPR015421 (G3DSA:3.40.640.GENE3D); IPR002129 (PFAM); mobidb-lite (MOBIDB_LITE); PTHR11999 (PANTHER); PTHR11999_SF131 (PANTHER); IPR15424 (SUPERFAMILY)	F:GO:0030170; F:GO:0003824; P:GO:0006520; P:GO:0019752; F:GO:0016831	F:GO:0030170; F:GO:0003824; P:GO:0006520; F:catalytic activity; P:cellular amino acid metabolic process; P:carboxylic acid metabolic process; F:carboxy-lyase activity	
TR42640 c0_g1_1l	crustacean hyperglycemic hormone	540	20	4.34E-53	67.3	3	P:GO:0007218; F:GO:0005184; C:GO:0005576	P:neuropeptide signaling pathway; F:neuropeptide hormone activity; C:extracellular region	IPR003246 (PRINTS); IPR01166 (PRINTS); IPR031098 (G3DSA:1.10.20.10.GENE3D); IPR031098 (PFAM); mobidb-lite (MOBIDB_LITE); PTHR35981_SF3 (PANTHER); IPR31098 (SUPERFAMILY)	F:GO:0005184; C:GO:0005576	F:neuropeptide hormone activity; C:extracellular region	
TR58893 c0_g9_1l	—NA—	—NA—	—NA—	—NA—	—NA—	540					no IPS match	no IPS match
TR34515 c0_g1_1l	—NA—	—NA—	—NA—	—NA—	—NA—	540					mobidb-lite (MOBIDB_LITE)	no GO terms

ตารางที่ 3-12 (ต่อ) องค์ประกอบของ transcripts ในคุณที่ 2/1

ตารางที่ 3-12 (ต่อ) องค์ประกอบของ transcript ในกลุ่มที่ 2/1

SeqName	description	Length	#Hits	e-Value	sim mean	#GO	GO IDs	GO Names	Enzyme codes	Enzyme names	InterPro IDs	InterPro GO Names
TR63074 c0_98_i1	--NA--	423									no IGS match	no IGS match
TR30386 c0_91_i1	--NA--	426									no IGS match	no IGS match
TR61509 c0_31_i1	--NA--	458									no IGS match	no IGS match
TR31322 c0_51_i1	5 aminolevulinate erythroid- mitochondrial	540	20	1.31E-51	69	8	F:GO:0030170 ; P:GO:0042967 ; C:GO:0005759 ; P:GO:0006563 ; P:GO:0006783 ; F:GC:0003870 ; P:GO:0006544	F:pyridoxal phosphate binding; Phacyl-carrier- protein biosynthetic process; C:mitochondrial matrix; P:L-serine metabolic process; P:heme biosynthetic process; F:5-aminolevulinate synthase activity; P:glycine metabolic process; P:threonine metabolic process	EC2.3.1.37 ; EC2.3.1 aminolevulinic acid synthase; Acyltransferases	5 aminolevulinate synthase;	P:GO:0015118 (PFAM); PTHR13693;F66 (PANTHER); PTHR13693 (PANTHER)	F:GO:0030170; C:GO:0005759; F:GO:0003870
TR60509 c0_91_i1	--NA--	540									no IGS match	no IGS match
TR31669 c0_91_i1	--NA--	540									no IGS match	no IGS match
TR33611 c0_31_i1	--NA--	540									no IGS match	no IGS match
TR1659 c0_91_i1	--NA--	540									no IGS match	no IGS match
TR55236 c1_92_i1	--NA--	489									no IGS match	no IGS match
TR18543 c0_91_i1	--NA--	540									no IGS match	no IGS match
TR59079 c0_91_i1	--NA--	540									no IGS match	no IGS match
TR22347 c0_91_i1	--NA--	540									mobidb-lite (MOBIDB_LITE)	no GO terms
TR57388 c0_91_i1	--NA--	540									no IGS match	no IGS match

### ตารางที่ 3-12 (ต่อ) องค์ประกอบของข้อมูล transcripts ในกลุ่มที่ 2/1

SeqName	description	Length	#Hits	e-Value	sim mean	#GO	GO IDs	GO Names	Enzyme codes	Enzyme names	InterPro IDs	InterPro GO Names
TR10457 c0_g2_i1	--NA--	369									no IGS match	no IGS match
TR53805 c0_g1_i1	--NA--	540									no IGS match	no IGS match
TR4908 c0_g1_i1	--NA--	432									no IGS match	no IGS match
TR60997 c0_g1_i1	--NA--	540									no IGS match	no IGS match
TR54470 c0_g1_i1	bumetanide-sensitive	540	20	1.16E-73	71.45	2	P:GO:0055085 ; C:GO:0016020; C:GO:0016020	P:transmembrane transport; C:membrane P:transport;			P:GO:0055085; PTHR11827:SF86 (PANTHER); C:GO:0016020; PTHR11827 (PANTHER)	
cotransporter	sodium-(potassium)-chloride											
cotransporter isoform X1												
TR40749 c1_g1_i1	--NA--	540									no IGS match	no IGS match
TR3869 c0_g1_i1	--NA--	540									no IGS match	no IGS match
TR52696 c0_g1_i1	RNA-directed DNA polymerase from mobile element jockey-like	493	20	5.22E-08	54.25	3	F:GO:0003964 ; F:GO:0003723 ; P:GO:0006278	F:RNA-directed DNA polymerase activity; F:RNA binding; P:RNA-dependent DNA biosynthetic process				
TR26236 c0_g6_i1	--NA--	401									no IGS match	no IGS match
TR32933 c0_g1_i1	deoxyribonucleoside triphosphate triphosphohydrolase SAMHD1-like	256	20	6.03E-12	71.65						no IGS match	no IGS match
TR49751 c0_g1_i1	--NA--	540									no IGS match	no IGS match

ตารางที่ 3-12 (ต่อ) องค์ประกอบของ transcripts ในกลุ่มที่ 2/1

ตารางที่ 3-12 (ต่อ) องค์ประกอบของ transcripts ในกลุ่มที่ 2/1

SeqName	description	Length	#Hits	e-Value	sim	#GO	GO IDs	GO Names	Enzyme codes	Enzyme names	InterPro IDs	InterPro GO IDs	InterPro GO Names
TR8464 c0_g1_i1_e	cyclooxygenase	540	13	3.69E-06	86	12	F:GO:0004601 ; P:response to oxidative stress; F:prostaglandin-endoperoxide synthase activity; ; P:cyclooxygenase pathway; ; F:oxidoreductase activity; P:prostaglandin biosynthetic process; ; P:GO:0001516 C:membrane; C:integral component of membrane; P:cellular oxidant detoxification; ; C:GO:0016020 P:oxidation-reduction process; P:regulation of blood pressure; F:heme binding ; P:GO:00055114 ; P:GO:0008869 ; P:GO:0008217 ; F:GO:0020037	F:peroxidase activity; P:response to oxidative stress; F:prostaglandin-endoperoxide synthase activity; P:cyclooxygenase pathway; F:oxidoreductase activity; P:prostaglandin biosynthetic process; C:membrane; C:integral component of membrane; P:cellular oxidant detoxification; P:oxidation-reduction process; P:regulation of blood pressure; F:heme binding P:GO:00055114 P:GO:0008869 P:GO:0008217 F:GO:0020037	no I/PS match	no I/PS match	no I/PS match		

ตารางที่ 3-12 (ต่อ) องค์ประกอบของ transscripts ในกลุ่มที่ 2/1

SeqName	description	Length	#Hits	e-Value	sim	#GO	GO IDs	GO Names	Enzyme codes	Enzyme names	InterPro IDs	InterPro GO IDs	InterPro GO Names
TR12714 C0_g1_i1	programmed cell death 5	540	20	5.74E-26	72.15	1	F:GO:0003677	F:DNA binding	IPR02836 (G3DSA:1.10.8.GENE3D); IPR02836 (PFAM); IPR02836 (PIRSF); mobidb-lite (MOBIDB_LITE); IPR02836 (PANTHER); IPR02836 (SUPERFAMILY)	IPR02836 (G3DSA:1.10.8.GENE3D); IPR02836 (PFAM); IPR02836 (PIRSF); mobidb-lite (MOBIDB_LITE); IPR02836 (PANTHER); IPR02836 (SUPERFAMILY)	F:GO:0003677	F:DNA binding	
TR49559 C1_g2_i1	hypothetical protein g_750, partial	334	1	4.68E-05	60				no IP5 match	no IP5 match			
TR25714 C0_g1_i1	—NA--	540	4	4.53E-04	59.25	4	F:GO:0003964		no IP5 match	no IP5 match			
TR3119 C3_g1_i1	RNA-directed DNA Non LTR Retrotransposo n	350					F:GO:0016779	F:RNA-directed DNA polymerase activity; F:nucleotidyltransferase activity; P:RNA-dependent DNA biosynthetic process; F:transferase activity	;	;			
TR12211 C0_g1_i1	—NA--	540					F:GO:0016740		no IP5 match	IPR05135 (G3DSA:3.60.10.GENE3D)			
TR10256 C0_g1_i1	craniofacial development	540	20	1.85E-16	65.6				no IP5 match	no GO terms			
TR25808 C0_g1_i1	2-like —NA--	540							no IP5 match				

### ตารางที่ 3-12 (ต่อ) องค์ประกอบของ transcripts ในกลุ่มที่ 2/1

SeqName	description	Length	#Hits	e-Value	sim	#GO	GO IDs	GO Names	Enzyme codes	Enzyme names	InterPro IDs	InterPro GO Names
TR11265 c0_g1_i1	PBDC1	540	20	1.28E-61	80.55						IPRO21148 (PFAM); IPRO23139 (G3DSA1.10.3560.GENE3D);	no GO terms
TR39480 c0_g1_i1	--NA--	540									IPRO08476 (PANTHER)	no GO terms
TR44497 c0_g2_i1	--NA--	321									mobidb-lite (MOBIDB_LITE)	no GO terms
TR60949 c0_g1_i1	--NA--	540									mobidb-lite (MOBIDB_LITE)	no GO terms
TR44975 c0_g1_i1	--NA--	540									no IPS match	no GO terms
TR54600 c0_g1_i1	--NA--	540									no IPS match	no IPS match
TR16717 c0_g2_i1	--NA--	540									no IPS match	no IPS match
TR53896 c0_g1_i1	--NA--	540									no IPS match	no IPS match
TR15748 c0_g1_i1	carboxic anhydrase	540	20	2.38E-16	53.7	5	F:CC:0008270 ; F:CC:0046872 ; F:CC:0004089 ; P:GO:0006730	F:zinc ion binding; F:metal ion binding; F:lyase activity; F:carbonate dehydratase activity; P:one-carbon metabolic process			IPRO01148 (PFAM); IPRO01148 (G3DSA3.10.200.GENE3D); mobidb-lite (MOBIDB_LITE); PTHR18952:SF130 (PANTHER); IPRO23561 (PANTHER); IPRO01148 (PROSITE_PROFILES); IPRO01148 (SUPERFAMILY)	no GO terms
TR49465 c0_g1_i1	--NA--	540									no IPS match	no GO terms
TR234 c0_g1_i1	--NA--	540									PS51257 (PROSITE_PROFILES)	no GO terms
TR8618 c0_g1_i1	--NA--	540									no IPS match	no IPS match
TR29865 c0_g1_i1	--NA--	540									no IPS match	no IPS match

### ตารางที่ 3-12 (ต่อ) องค์ประกอบของ transcripts ในกลุ่มที่ 2/1

SeqName	description	Length	#Hits	e-value	sim	#GO	GO IDs	GO Names	Enzyme codes	Enzyme names	InterPro IDs	InterPro GO Names
TR52551 c0_g1_i1	--NA--	540									no IFS match	no IFS match
TR20427 c1_g1_i1	--NA--	540									no IFS match	no GO terms
TR58854 c0_g1_i1	neuroparin-A-like	540	20	2.68E-19	66.25	3	P:GO:0001558	P:regulation of cell growth; C:extracellular region; F:insulin-like growth factor binding			IPIR010850 (PFAM); IPIR010850 (PRODOM); IPIR009030 (SUPERFAMILY)	no GO terms
							C:GO:0005576					
							;					
							F:GO:0005520					
TR4373 c0_g1_i1	--NA--	540									no IFS match	no IFS match
TR46076 c0_g1_i1	--NA--	540									no IFS match	no IFS match
TR12232 c0_g1_i1	--NA--	540									no IFS match	no IFS match
TR2035 c0_g1_i1	--NA--	540									no IFS match	no IFS match
TR61247 c0_g1_i1	--NA--	540									no IFS match	no IFS match
TR63058 c0_g1_i1	--NA--	540									no IFS match	no IFS match
TR14859 c2_g1_i1	Transposon T12-6 poly	540	12	4.15E-06	51	4	F:GO:0003676	F:nucleic acid binding; F:zinc ion binding; F:aspartic-type endopeptidase activity; F:CC:0008270				
							;					
							F:GO:0004190					
							;					
							P:GO:0006508					
TR40752 c0_g1_i1	--NA--	540									no IFS match	no IFS match
TR16077 c0_g2_i1	--NA--	540									no IFS match	no IFS match
TR3765 c0_g1_i1	--NA--	540									no IFS match	no IFS match
TR58252 c0_g1_i1	--NA--	540									no IFS match	no IFS match
TR9108 c1_g1_i1	--NA--	540									no IFS match	no IFS match
TR58074 c0_g1_i1	--NA--	540									no IFS match	no IFS match
TR32987 c0_g1_i1	--NA--	540									no IFS match	no IFS match
TR42261 c1_g1_i1	--NA--	540									no IFS match	no IFS match
TR42616 c0_g1_i1	--NA--	540									no IFS match	no IFS match

ตารางที่ 3-12 (ต่อ) องค์ประกอบของ transcripts ในกลุ่มที่ 2/1

SeqName	description	Length	#Hits	e-Value	sim	#GO	GO IDs	GO Names	Enzyme codes	Enzyme names	InterPro IDs	InterPro GO IDs	Names
TR18975 C0_31_i1	--NA--	540									no I/PS match	no I/PS match	
TR49249 C0_31_i1	--NA--	540									no I/PS match	no I/PS match	
TR22598 C0_31_i1	thyroid hormone receptor-associated complex	540	20	2.39E-48	62.1	3	C:GO:0005634 ; P:GO:0016573 ;	C:nucleus; P:histone acetylation; Chistone acetyltransferase complex			mobidb-lite (MOBIDB_LITE); mobidb-lite (MOBIDB_LITE)	no GO terms	no GO terms
TR22598 C0_31_i2	Myosin light chain smooth	540	20	1.73E-60	61.85	3	C:GO:0000123 ; C:GO:0005634 ; P:GO:0016573 ;	C:nucleus; P:histone acetylation; Chistone acetyltransferase complex			mobidb-lite (MOBIDB_LITE); mobidb-lite (MOBIDB_LITE)	no GO terms	no GO terms
TR46759 C0_31_i1	--NA--	540									no I/PS match	no I/PS match	

### ตารางที่ 3-12 (ต่อ) องค์ประกอบของ transcripts ในกลุ่มที่ 2/1

SeqName	description	Length	#Hits	e-value	sim	#GO	GO IDs	GO Names	Enzyme codes	Enzyme names	InterPro IDs	InterPro GO IDs	InterPro GO Names
TR52975 c0_31_i1	low-density lipo receptor	540	20	7.33E-43	59.8	3	F:GO:0005515 ; F:GO:0030229 ; P:GO:0007165	F:protein binding; F:very-low-density lipoprotein particle receptor activity; P:signal transduction	IPRO02172 (PRINTS); IPRO02172 (SMART); (G3DSA:4:10400.GENE3D); IPRO02172 (PFAM); IPRO02172 (G3DSA:4:10400.GENE3D); PTHR10529 (PANTHER); IPRO32931 (PTHR10529:PANTHER); IPRO02172 (PROSITE_PROFILE); IPRO02172 (PROSITE_PROFILE); PS51257 (PROSITE_PROFILE); IPRO02172 (PROSITE_PROFILE); cd00112 (CDD); cd00112 (CDD); cd00112 (CDD); IPRO02172 (SUPERFAMILY); IPRO02172 (SUPERFAMILY); IPRO02172 (SUPERFAMILY)	F:GO:0005515; F:GO:0030229		F:protein binding; Every-low-density lipoprotein particle receptor activity; signal transduction	
TR19764 c1_g5_i1	—NA--								no IGS match	no IGS match			

ตารางที่ 3-12 (ต่อ) องค์ประกอบของ transcripts ในกลุ่มที่ 2/1

ตรางที่ 3-12 (ต่อ) องค์ประกอบขององ transcrips ในกลุ่มที่ 2/1

ตารางที่ 3-12 (ต่อ) องค์ประกอบของ transcripts ในกลุ่มที่ 2/1

SeqName	description	Length	#Hits	e-Value	sim	#GO	GO IDs	GO Names	Enzyme codes	Enzyme names	InterPro IDs	InterPro GO Names
TR323438 c0_g1_i2	crustin-like peptide type	540	20	2.33E-09	49.1	2	F:GO:0030414; C:GO:0005576	F:peptidase inhibitor activity; C:extracellular region	IPRO08197 (PRINTS); IPRO08197 (SMART); IPRO08197 (G3DSA:4.10.75.GENE3D); IPRO08197 (PFAM); IPRO08197 (PROSITE_PROFILES); IPRO08197 (SUPERFAMILY)	F:peptidase inhibitor activity; C:extracellular region	F:GO:0030414; C:GO:0005576	F:peptidase inhibitor activity; C:extracellular region
TR22591 c1_g2_i1	--NA--	540										
TR2010 c0_g2_i1	--NA--	540										
TR50970 c0_g1_i1	--NA--	540										
TR35711 c2_g15_i1	homeobox 2-like	540	4	2.65E-07	50.25							
TR59223 c0_g1_i1	--NA--	540										
TR63138 c0_g1_i1	70 kDa heat shock	540	20	2.70E-74	80.05	1	F:GO:0005524	F:ATP binding				

### ตารางที่ 3-12 (ต่อ) องค์ประกอบของ transcripts ในกลุ่มที่ 2/1

SeqName	description	Length	#Hits	e-Value	sim	#GO	GO IDs	GO Names	Enzyme codes	Enzyme names	InterPro IDs	InterPro GO IDs	InterPro GO Names
TR38097 c0_g1_i1	Ovalumin-related Y	540	20	9.69E-30	54.55	1	C:GO:0005615	C:extracellular space	G3DSA:2.30.39.10 (GENE3D); IPR023796 (PFAM); G3DSA:3.30.497.10 (GENE3D); PTHR11461:SF242 (PANTHER); IPR000215 (SUPERFAMILY)	C:GO:0005615	C:extracellular space		
TR60473 c0_g1_i1	NIP3 homolog isoform X2	540	6	1.27E-06	89.33						no IPS match	no IPS match	
TR47123 c0_g1_i1	--NA--	540							mobidb-lite (MOBIDB_LITE)		no GO terms	no GO terms	
TR4015 c0_g1_i1	--NA--	435							mobidb-lite (MOBIDB_LITE)		no GO terms	no GO terms	
TR19778 c1_g3_i1	cryptochrome-1-like isoform X2	540	20	1.40E-63	78.5	1	F:GO:0016829	F:lyase activity			no IPS match	no IPS match	

ตารางที่ 3-13 หน้าที่ของโปรตีน ในกลุ่มที่ 2/1

SeqName	description	biological process (level 2)	biological process	molecular function (level 2)	molecular function	cellular component (level 2)	cellular component
TR42640 c0_g1_i1	crustacean hyperglycemic hormone	cellular process, single-organism process, regulation of biological process, biological regulation, signaling, response to stimulus	neuropeptide signaling pathway, signal transduction	binding	protein binding (neuropeptide hormone activity)	extracellular region	extracellular region
TR31322 c0_g1_i1	5-aminolevulinate erythroid-mitochondrial	metabolic process, cellular process, single-organism process	cellular amino acid metabolic process (threonine)	binding, catalytic activity	pyridoxal phosphate binding, 5-aminolevulinate synthase activity	membrane-enclosed lumen, cell part, cell, organelle part, organelle matrix	mitochondrial matrix
TR16077 c0_g1_i1	venom toxin	growth, cellular component, cellular process, single-organism process, regulation of biological process, biological regulation	regulation of cell growth	binding	protein binding (insulin-like growth factor binding)	micromolecular complex, extracellular region part, extracellular region	extracellular space (insulin-like growth factor binding protein complex)

ตารางที่ 3-13 (ต่อ) หน้าที่ของยีน ในกลุ่มที่ 2/1

SeqName	description	biological process (level 2)	biological process	molecular function (level 2)	molecular function	cellular component (level 2)	cellular component
TR54470 c0_g1_i1	bumetanide-sensitive sodium-(potassium)-chloride cotransporter	localization	transmembrane transport			membrane	membrane
TR11354 c0_g1_i1	tyrosine decarboxylase isoform X1	metabolic process, cellular process, single-organism process	cellular amino acid metabolic process	binding, catalytic activity	lyase activity (carboxy-lyase activity)		
TR31322 c0_g2_i1	5-aminolevulinic acid synthase, erythroid-mitochondrial	metabolic process, cellular process, single-organism process	cellular amino acid metabolic process (threonine)	binding, catalytic activity	pyridoxol phosphate binding, 5-aminolevulinate synthase activity	membrane-enclosed lumen, cell part, cell, organelle part, organelle	mitochondrial matrix

ตารางที่ 3-13 (ต่อ) หน้าที่ของยีน ในกลุ่มที่ 2/1

SeqName	description	biological process (level 2)	biological process	molecular function (level 2)	molecular function	cellular component (level 2)	cellular component
TR52975 c0_g1_i1	low-density lipo receptor	cellular process, single-organism process, regulation of biological process, biological regulation, signaling, response to stimulus	signal transduction	binding	very-low-density lipoprotein, protein binding		
TR63138 c0_g1_i1	70 kDa heat shock		binding	ATP binding			
TR33438 c0_g1_i2	crustin-like peptide type		molecular function regulator	peptidase inhibitor activity	extracellular region		
TR33438 c0_g1_i1	crustin antimicrobial peptide		molecular function regulator	peptidase inhibitor activity	extracellular region		
TR19778 c1_g3_i1	cryptochrome-1-like isoform X2		catalytic activity	lyase activity			
TR12714 c0_g1_i1	programmed cell death 5		binding	DNA binding			
TR38097 c0_g1_i1	Ovalbumin-related γ			extracellular region part, extracellular region	extracellular space		

### ตารางที่ 3-14 gene ontology biological process ในกลุ่มที่ 2/1

Level	GO ID	GO Name	GO Type	Parents (ACC)	Parents (Name)	Nodescore	#Seqs	Sequence Names
1	GO:0008150	biological_process	Biological Process			2.7	7	TR42640 c0_g1_i1, TR31322 c0_g1_i1, TR16077 c0_g1_i1, TR54470 c0_g1_i1, TR11354 c0_g1_i1, TR31322 c0_g2_i1, TR52975 c0_g1_i1
2	GO:0009987	cellular process	Biological Process	GO:0008150	biological_process	2.46	6	TR42640 c0_g1_i1, TR31322 c0_g1_i1, TR16077 c0_g1_i1, TR11354 c0_g1_i1, TR31322 c0_g2_i1, TR52975 c0_g1_i1
2	GO:0040007	growth	Biological Process	GO:0008150	biological_process	0.36	1	TR16077 c0_g1_i1
2	GO:0008152	metabolic process	Biological Process	GO:0008150	biological_process	3.07	3	TR31322 c0_g1_i1, TR11354 c0_g1_i1, TR31322 c0_g2_i1
2	GO:0050896	response to stimulus	Biological Process	GO:0008150	biological_process	0.85	2	TR42640 c0_g1_i1, TR52975 c0_g1_i1
2	GO:0071840	cellular component organization or biogenesis	Biological Process	GO:0008150	biological_process	0.22	1	TR16077 c0_g1_i1
2	GO:0044699	single-organism process	Biological Process	GO:0008150	biological_process	2.2	6	TR42640 c0_g1_i1, TR31322 c0_g1_i1, TR16077 c0_g1_i1, TR11354 c0_g1_i1, TR31322 c0_g2_i1, TR52975 c0_g1_i1
2	GO:0051179	localization	Biological Process	GO:0008150	biological_process	0.22	1	TR54470 c0_g1_i1
2	GO:0023052	signaling	Biological Process	GO:0008150	biological_process	0.85	2	TR42640 c0_g1_i1, TR52975 c0_g1_i1
2	GO:0050789	regulation of biological process	Biological Process	GO:0065007, GO:0008150	biological regulation, biological_process	1.21	3	TR42640 c0_g1_i1, TR16077 c0_g1_i1, TR52975 c0_g1_i1
2	GO:0065007	biological regulation	Biological Process	GO:0008150	biological_process	0.73	3	TR42640 c0_g1_i1, TR16077 c0_g1_i1, TR52975 c0_g1_i1

ตารางที่ 3-14 (ต่อ) gene ontology biological process ในกลุ่มที่ 2/1

Level	GO ID	GO Name	GO Type	Parents (ACC)	Parents (Name)	Nodescore	#Seqs	Sequence Names
3	GO:0071704	organic substance metabolic process	Biological Process	GO:0008152	metabolic process	2.79	3	TR31322 c0_g1_i1, TR11354 c0_g1_i1, TR31322 c0_g2_i1
3	GO:0044700	single organism signaling	Biological Process	GO:0044699, GO:0023052	single-organism process, signaling	1.42	2	TR42640 c0_g1_i1, TR52975 c0_g1_i1
3	GO:0009058	biosynthetic process	Biological Process	GO:0008152	metabolic process	1.15	2	TR31322 c0_g1_i1, TR31322 c0_g2_i1
3	GO:0016043	cellular component organization	Biological Process	GO:0009987, GO:0071840	cellular process, cellular component organization or biogenesis	0.36	1	TR16077 c0_g1_i1
3	GO:0051234	establishment of localization	Biological Process	GO:0051179	localization	0.36	1	TR54470 c0_g1_i1
3	GO:0044763	single-organism cellular process	Biological Process	GO:0009987, GO:0044699	cellular process, single-organism process	3.1	6	TR42640 c0_g1_i1, TR31322 c0_g1_i1, TR16077 c0_g1_i1, TR11354 c0_g1_i1, TR31322 c0_g2_i1, TR52975 c0_g1_i1
3	GO:0044710	single-organism metabolic process	Biological Process	GO:0008152, GO:0044699	metabolic process, single-organism process	1.42	3	TR31322 c0_g1_i1, TR11354 c0_g1_i1, TR31322 c0_g2_i1
3	GO:0040008	regulation of growth	Biological Process	GO:0050789, GO:0040007	regulation of biological process, growth	0.6	1	TR16077 c0_g1_i1
3	GO:0006807	nitrogen compound metabolic process	Biological Process	GO:0008152	metabolic process	2.53	3	TR31322 c0_g1_i1, TR11354 c0_g1_i1, TR31322 c0_g2_i1
3	GO:0051716	cellular response to stimulus	Biological Process	GO:0009987, GO:0050896	cellular process, response to stimulus	1.42	2	TR42640 c0_g1_i1, TR52975 c0_g1_i1

ตารางที่ 3-14 (ต่อ) gene ontology biological process ในกลุ่มที่ 2/1

Level	GO ID	GO Name	GO Type	Parents (ACC)	Parents (Name)	Nodescore	#Seqs	Sequence Names
3	GO:0044237	cellular metabolic process	Biological Process	GO:0009987, GO:0008152	cellular process, metabolic process	1.86	3	TR31322 c0_g1_i1, TR11354 c0_g1_i1, TR31322 c0_g2_i1
3	GO:0016049	cell growth	Biological Process	GO:0040007, GO:0044763	growth, single- organism cellular process	0.6	1	TR16077 c0_g1_i1
3	GO:0050794	regulation of cellular process	Biological Process	GO:0009987, GO:0050789	cellular process, regulation of biological process	1.78	3	TR42640 c0_g1_i1, TR16077 c0_g1_i1, TR52975 c0_g1_i1
3	GO:0044238	primary metabolic process	Biological Process	GO:0008152	metabolic process	3.96	3	TR31322 c0_g1_i1, TR11354 c0_g1_i1, TR31322 c0_g2_i1
4	GO:0042168	heme metabolic process	Biological Process	GO:0006778, GO:0042440, GO:0044763	porphyrin-containing compound metabolic process, pigment metabolic process, single-organism cellular process	1.2	2	TR31322 c0_g1_i1, TR31322 c0_g2_i1
4	GO:0006725	cellular aromatic compound metabolic process	Biological Process	GO:0044237	cellular metabolic process	0.26	2	TR31322 c0_g1_i1, TR31322 c0_g2_i1

ຕາງ່າງທີ 3-14 (ຕ້ອ) gene ontology biological process ໃນຕຸມທີ 2/1

Level	GO ID	GO Name	GO Type	Parents (ACC)	Parents (Name)	Nodescore	#Seqs	Sequence Names
4	GO:0006520	cellular amino acid metabolic process	Biological Process	GO:0019752, GO:0044288, GO:1901564	carboxylic acid metabolic process, primary metabolic process,	6.6	3	TR31322 c0_g1_i1, TR31322 c0_g2_i1
					organonitrogen compound			
					metabolic process			
4	GO:1901360	organic cyclic compound metabolic process	Biological Process	GO:0071704	organic substance	0.26	2	TR31322 c0_g1_i1, TR31322 c0_g2_i1
4	GO:0042440	pigment metabolic process	Biological Process	GO:0044710	metabolic process	0.72	2	TR31322 c0_g1_i1, TR31322 c0_g2_i1
4	GO:0001558	regulation of cell growth	Biological Process	GO:0051128, GO:0040008, GO:0016049	single-organism metabolic process	1	1	TR16077 c0_g1_i1
					regulation of cellular component			
					organization, regulation of growth, cell growth			
4	GO:0044260	cellular macromolecule metabolic process	Biological Process	GO:0043170, GO:0044237	macromolecule metabolic process, cellular metabolic process	0.72	2	TR31322 c0_g1_i1, TR31322 c0_g2_i1
4	GO:1901564	organonitrogen compound metabolic process	Biological Process	GO:0071704, GO:006807	organic substance metabolic process, nitrogen compound metabolic process	4.22	3	TR31322 c0_g1_i1, TR31322 c0_g2_i1

ตารางที่ 3-14 (ต่อ) gene ontology biological process ในตัวอย่าง 2/1

Level	GO ID	GO Name	GO Type	Parents (ACC)	Parents (Name)	Nodescore	#Seqs	Sequence Names
4	GO:0044281	small molecule metabolic process	Biological Process	GO:0044710	single-organism metabolic process	1.17	3	TR31322 c0_g1_i1, TR11354 c0_g1_i1, TR31322 c0_g2_i1
4	GO:0034641	cellular nitrogen compound metabolic process	Biological Process	GO:0006807, GO:0044237	nitrogen compound metabolic process, cellular metabolic process	0.26	2	TR31322 c0_g1_i1, TR31322 c0_g2_i1
4	GO:0051128	regulation of cellular component organization	Biological Process	GO:0050794, GO:0016043	regulation of cellular process, cellular component organization	0.6	1	TR16077 c0_g1_i1
4	GO:0051186	cofactor metabolic process	Biological Process	GO:0044237	cellular metabolic process	0.43	2	TR31322 c0_g1_i1, TR31322 c0_g2_i1
4	GO:0006810	transport	Biological Process	GO:0051234	establishment of localization	0.6	1	TR54470 c0_g1_i1
4	GO:0044249	cellular biosynthetic process	Biological Process	GO:0009058, GO:0044237	biosynthetic process, cellular metabolic process	1.15	2	TR31322 c0_g1_i1, TR31322 c0_g2_i1
4	GO:0044711	single-organism biosynthetic process	Biological Process	GO:0009058, GO:0044710	biosynthetic process, single-organism metabolic process	1.2	2	TR31322 c0_g1_i1, TR31322 c0_g2_i1
4	GO:1901576	organic substance biosynthetic process	Biological Process	GO:0009058, GO:0071704	biosynthetic process, organic substance metabolic process	0.69	2	TR31322 c0_g1_i1, TR31322 c0_g2_i1

ตารางที่ 3-14 (ต่อ) gene ontology biological process ในกลุ่มที่ 2/1

Level	GO ID	GO Name	GO Type	Parents (ACC)	Parents (Name)	Nodescore	#Seqs	Sequence Names
4	GO:0006082	organic acid metabolic process	Biological Process	GO:0044281, GO:0071704, GO:0044763, GO:0044237	small molecule metabolic process, organic substance metabolic process, single-organism cellular process, cellular metabolic process	1.94	3	TR31322 c0_g1_i1, TR11354 c0_g1_i1, TR31322 c0_g2_i1
4	GO:0046483	heterocycle metabolic process	Biological Process	GO:0044237	cellular metabolic process	0.26	2	TR31322 c0_g1_i1, TR31322 c0_g2_i1
4	GO:0007154	cell communication	Biological Process	GO:0044763	single-organism cellular process	1.42	2	TR42640 c0_g1_i1, TR52975 c0_g1_i1
4	GO:0043170	macromolecule metabolic process	Biological Process	GO:0071704	organic substance metabolic process	0.43	2	TR31322 c0_g1_i1, TR31322 c0_g2_i1
4	GO:0007165	signal transduction	Biological Process	GO:0044700, GO:0050794, GO:0007154, GO:0051716	single organism signaling, regulation of cellular process, cell communication, cellular response to stimulus	2.36	2	TR42640 c0_g1_i1, TR52975 c0_g1_i1
5	GO:0051188	cofactor biosynthetic process	Biological Process	GO:0051186, GO:0044249	cofactor metabolic process, cellular biosynthetic process	0.72	2	TR31322 c0_g1_i1, TR31322 c0_g2_i1

ตารางที่ 3-14 (ต่อ) gene ontology biological process ในตัวอย่าง 2/1

Level	GO ID	GO Name	GO Type	Parents (ACC)	Parents (Name)	Nodescore	#Seqs	Sequence Names
5	GO:0006783	heme biosynthetic process	Biological Process	GO:0042168, GO:0046148, GO:0044711, GO:0006779	heme metabolic process, pigment biosynthetic process, single-organism biosynthetic process, porphyrin-containing compound	2	2	TR31322 c0_g1_i1, TR31322 c0_g2_i1
5	GO:0006566	threonine metabolic process	Biological Process	GO:0006520, GO:0009066	cellular amino acid metabolic process, aspartate family amino acid metabolic process	2	2	TR31322 c0_g1_i1, TR31322 c0_g2_i1
5	GO:0046148	pigment biosynthetic process	Biological Process	GO:0042440	pigment metabolic process	1.2	2	TR31322 c0_g1_i1, TR31322 c0_g2_i1
5	GO:0019438	aromatic compound biosynthetic process	Biological Process	GO:0044249, GO:0006725	cellular biosynthetic process, cellular aromatic compound metabolic process	0.43	2	TR31322 c0_g1_i1, TR31322 c0_g2_i1
5	GO:1901362	organic cyclic compound biosynthetic process	Biological Process	GO:1901360, GO:1901576	organic cyclic compound metabolic process, organic substance biosynthetic process	0.43	2	TR31322 c0_g1_i1, TR31322 c0_g2_i1

ตารางที่ 3-14 (ต่อ) gene ontology biological process ในกลุ่มที่ 2/1

Level	GO ID	GO Name	GO Type	Parents (ACC)	Parents (Name)	Nodescore	#Seqs	Sequence Names
5	GO:0018130	heterocycle biosynthetic process	Biological Process	GO:0044249, GO:0046483	cellular biosynthetic process, heterocycle metabolic process	0.43	2	TR31322 c0_g1_i1, TR31322 c0_g2_i1
5	GO:0006544	glycine metabolic process	Biological Process	GO:0009069, GO:0006520	serine family amino acid metabolic process, cellular amino acid metabolic process	2	2	TR31322 c0_g1_i1, TR31322 c0_g2_i1
5	GO:0055085	transmembrane transport	Biological Process	GO:0006810	transport	1	1	TR54470 c0_g1_i1
5	GO:1901566	organonitrogen compound biosynthetic process	Biological Process	GO:1901576, GO:1901564	organic substance biosynthetic process, organonitrogen compound metabolic process	0.43	2	TR31322 c0_g1_i1, TR31322 c0_g2_i1
5	GO:0007186	G-protein coupled receptor signaling pathway	Biological Process	GO:0007165	signal transduction	0.6	1	TR42640 c0_g1_i1
5	GO:0044271	cellular nitrogen compound biosynthetic process	Biological Process	GO:0044249, GO:0034641	cellular biosynthetic process, cellular nitrogen compound metabolic process	0.43	2	TR31322 c0_g1_i1, TR31322 c0_g2_i1

ตารางที่ 3-14 (ต่อ) gene ontology biological process ในกลุ่มที่ 2/1

Level	GO ID	GO Name	GO Type	Parents (ACC)	Parents (Name)	Nodescore	#Seqs	Sequence Names
5	GO:0034645	cellular macromolecule biosynthetic process	Biological Process	GO:0044249, GO:0044260, GO:0009059	cellular biosynthetic process, cellular macromolecule metabolic process, macromolecule	1.2	2	TR31322 c0_g1_i1, TR31322 c0_g2_i1
5	GO:0006563	L-serine metabolic process	Biological Process	GO:0009069, GO:0006520	serine family amino acid metabolic process, cellular amino acid metabolic process	2	2	TR31322 c0_g1_i1, TR31322 c0_g2_i1
5	GO:0006778	porphyrin-containing compound metabolic process	Biological Process	GO:0051186, GO:0033013	cofactor metabolic process, tetrapyrrole metabolic process	0.72	2	TR31322 c0_g1_i1, TR31322 c0_g2_i1
5	GO:0043436	oxoacid metabolic process	Biological Process	GO:0006082	organic acid metabolic process	2.38	3	TR31322 c0_g1_i1, TR11354 c0_g1_i1, TR31322 c0_g2_i1

ตารางที่ 3-14 (ต่อ) gene ontology biological process ในกลุ่มที่ 2/1

Level	GO ID	GO Name	GO Type	Parents (ACC)	Parents (Name)	Nodescore	#Seqs	Sequence Names
5	GO:0033013	tetrapyrole metabolic process	Biological Process	GO:0046483, GO:1901360, GO:0006725, GO:1901564	heterocycle metabolic process, organic cyclic compound metabolic process, cellular aromatic compound metabolic process, organonitrogen compound metabolic process	0.43	2	TR31322 c0_g1_i1, TR31322 c0_g2_i1
5	GO:0009059	macromolecule biosynthetic process	Biological Process	GO:0043170, GO:1901576	macromolecule metabolic process, organic substance	0.72	2	TR31322 c0_g1_i1, TR31322 c0_g2_i1
5	GO:1901605	alpha-amino acid metabolic process	Biological Process	GO:0006082, GO:1901564	biosynthetic process organic acid metabolic process, organonitrogen compound metabolic process	2.16	2	TR31322 c0_g1_i1, TR31322 c0_g2_i1
6	GO:0009069	serine family amino acid metabolic process	Biological Process	GO:1901605	alpha-amino acid metabolic process	2.4	2	TR31322 c0_g1_i1, TR31322 c0_g2_i1

ตารางที่ 3-14 (ต่อ) gene ontology biological process ในตัวอย่าง 2/1

Level	GO ID	GO Name	GO Type	Parents (ACC)	Parents (Name)	Nodescore	#Seqs	Sequence Names
6	GO:0006779	porphyrin-containing compound biosynthetic process	Biological Process	GO:0033014, GO:0051188, GO:0006778	tetrapyrrole biosynthetic process, cofactor biosynthetic process, porphyrin-containing compound	1.2	2	TR31322 c0_g1_i1, TR31322 c0_g2_i1
6	GO:0042967	acyl-carrier-protein biosynthetic process	Biological Process	GO:0034645	metabolic process cellular macromolecule	2	2	TR31322 c0_g1_i1, TR31322 c0_g2_i1
6	GO:0033014	tetrapyrrole biosynthetic process	Biological Process	GO:0044271, GO:1901566,	cellular nitrogen biosynthetic process compound	0.72	2	TR31322 c0_g1_i1, TR31322 c0_g2_i1
6	GO:0019752	carboxylic acid metabolic process	Biological Process	GO:0033013, GO:0019428, GO:1901362, GO:0018130	organonitrogen compound biosynthetic process, tetrapyrrole metabolic process, aromatic compound			
6	GO:0019752	carboxylic acid metabolic process	Biological Process	GO:0043436	biosynthetic process, organic cyclic compound heterocycle	3.96	3	TR31322 c0_g1_i1, TR31322 c0_g2_i1

ตารางที่ 3-14 (ต่อ) gene ontology biological process ในกลุ่มที่ 2/1

Level	GO ID	GO Name	GO Type	Parents (ACC)	Parents (Name)	Nodescore	#Seqs	Sequence Names
6	GO:0007218	neuropeptide signaling pathway	Biological Process	GO:0007186	G-protein coupled receptor signaling pathway	1	1	TR42640 c0_g1_11
6	GO:0009066	aspartate family amino acid metabolic process	Biological Process	GO:1901605	alpha-amino acid metabolic process	1.2	2	TR31322 c0_g1_11, TR31322 c0_g2_i1

ตารางที่ 3-15 gene ontology molecular function ในกลุ่มที่ 2/1

Level	GO ID	GO Name	GO Type	Parents (ACC)	Parents (Name)	Nodescore	#Seqs	Sequence Names
1	GO:0003674	molecular_function	Molecular Function			3.39	11	TR42640 c0_g1_i1, TR63138 c0_g1_i1, TR31322 c0_g1_i1, TR16077 c0_g1_i1, TR33438 c0_g1_i2, TR33438 c0_g1_i1, TR19778 c1_g3_i1, TR11354 c0_g1_i1, TR52975 c0_g1_i1, TR31322 c0_g2_i1, TR12714 c0_g1_i1
2	GO:0060089	molecular transducer activity	Molecular Function	GO:0003674	molecular_function	0.13	1	TR52975 c0_g1_i1
2	GO:0098772	molecular function regulator	Molecular Function	GO:0003674	molecular_function	0.43	2	TR33438 c0_g1_i2, TR63138 c0_g1_i1
2	GO:0005488	binding	Molecular Function	GO:0003674	molecular_function	3.57	8	TR42640 c0_g1_i1, TR63138 c0_g1_i1, TR16077 c0_g1_i1, TR31322 c0_g1_i1, TR11354 c0_g1_i1, TR52975 c0_g1_i1, TR31322 c0_g2_i1, TR12714 c0_g1_i1, TR31322 c0_g1_i1, TR19778 c1_g3_i1, TR11354 c0_g1_i1, TR31322 c0_g2_i1
2	GO:0003824	catalytic activity	Molecular Function	GO:0003674	molecular_function	1.51	4	TR31322 c0_g1_i1, TR19778 c1_g3_i1, TR42640 c0_g1_i1, TR16077 c0_g1_i1, TR52975 c0_g1_i1
3	GO:0016829	lyase activity	Molecular Function	GO:0003824	catalytic activity	2.36	2	TR11354 c0_g1_i1, TR19778 c1_g3_i1
3	GO:0005515	protein binding	Molecular Function	GO:0005488	binding	3.58	3	TR42640 c0_g1_i1, TR16077 c0_g1_i1, TR52975 c0_g1_i1
3	GO:0036094	small molecule binding	Molecular Function	GO:0005488	binding	0.13	1	TR63138 c0_g1_i1
3	GO:1901363	heterocyclic compound binding	Molecular Function	GO:0005488	binding	0.58	2	TR63138 c0_g1_i1, TR12714 c0_g1_i1
3	GO:0097367	carbohydrate derivative binding	Molecular Function	GO:0005488	binding	0.13	1	TR63138 c0_g1_i1
3	GO:0004872	receptor activity	Molecular Function	GO:0060089	molecular transducer activity	0.22	1	TR52975 c0_g1_i1

ตารางที่ 3-15 (ต่อ) gene ontology molecular function ในกลุ่มที่ 2/1

Level	GO ID	GO Name	GO Type	Parents (ACC)	Parents (Name)	Nodscore	#Seqs	Sequence Names
3	GO:0097159	organic cyclic compound binding	Molecular Function	GO:005488	binding	0.58	2	TR63138 c0_g1_i1, TR12714 c0_g1_i1
3	GO:0030234	enzyme regulator activity	Molecular Function	GO:0098772	molecular function regulator	0.72	2	TR33438 c0_g1_i2, TR33438 c0_g1_i1
3	GO:0043167	ion binding	Molecular Function	GO:005488	binding	1.08	3	TR31322 c0_g1_i1, TR11354 c0_g1_i1, TR31322 c0_g2_i1
3	GO:0048037	cofactor binding	Molecular Function	GO:005488	binding	1.8	3	TR31322 c0_g1_i1, TR11354 c0_g1_i1, TR31322 c0_g2_i1
3	GO:0016740	transferase activity	Molecular Function	GO:003824	catalytic activity	0.16	2	TR31322 c0_g1_i1, TR31322 c0_g2_i1
4	GO:0005102	receptor binding	Molecular Function	GO:0005515	protein binding	0.36	1	TR42640 c0_g1_i1
4	GO:0001882	nucleoside binding	Molecular Function	GO:0097367, GO:0097159, GO:0036094, GO:1901363	carbohydrate derivative binding, organic cyclic compound binding, small molecule binding, heterocyclic compound binding	0.22	1	TR63138 c0_g1_i1
4	GO:0004857	enzyme inhibitor activity	Molecular Function	GO:0030234	enzyme regulator activity	1.2	2	TR33438 c0_g1_i2, TR33438 c0_g1_i1
4	GO:0032553	ribonucleotide binding	Molecular Function	GO:0097367, GO:000166	carbohydrate derivative binding, nucleotide binding	0.22	1	TR63138 c0_g1_i1
4	GO:0030170	pyridoxal phosphate binding	Molecular Function	GO:0043168, GO:0048037	anion binding, cofactor binding	3	3	TR31322 c0_g1_i1, TR11354 c0_g1_i1, TR31322 c0_g2_i1
4	GO:0019838	growth factor binding	Molecular Function	GO:0005515	protein binding	0.6	1	TR16077 c0_g1_i1

ตารางที่ 3-15 (ต่อ) gene ontology molecular function ในกลุ่มที่ 2/1

Level	GO ID	GO Name	GO Type	Parents (ACC)	Parents (Name)	Nodlescore	#Seqs	Sequence Names
4	GO:0016746	transferase activity, transferring acyl groups	Molecular Function	GO:0016740	transferase activity	0.26	2	TR31322 c0_g1_i1, TR31322 c0_g2_i1
4	GO:0043168	anion binding	Molecular Function	GO:0043167	ion binding	1.8	3	TR31322 c0_g1_i1, TR31322 c0_g2_i1
4	GO:0061134	peptidase regulator activity	Molecular Function	GO:0030234	enzyme regulator activity	1.2	2	TR33438 c0_g1_i2, TR33438 c0_g1_i1
4	GO:0003676	nucleic acid binding	Molecular Function	GO:0097159, GO:1901363	organic cyclic compound binding, heterocyclic compound binding	0.6	1	TR12714 c0_g1_i1
4	GO:1901265	nucleoside phosphate binding	Molecular Function	GO:0097159, GO:1901363	organic cyclic compound binding, heterocyclic compound binding	0.36	1	TR63138 c0_g1_i1
4	GO:0016830	carbon-carbon lyase activity	Molecular Function	GO:0016829	lyase activity	0.6	1	TR11354 c0_g1_i1
4	GO:0038024	cargo receptor activity	Molecular Function	GO:0004872	receptor activity	0.36	1	TR52975 c0_g1_i1
4	GO:0000166	nucleotide binding	Molecular Function	GO:0036094, GO:1901265	small molecule binding, nucleoside phosphate binding	0.13	1	TR63138 c0_g1_i1
5	GO:0017076	purine nucleotide binding	Molecular Function	GO:0000166	nucleotide binding	0.22	1	TR63138 c0_g1_i1
5	GO:0005179	hormone activity	Molecular Function	GO:0005102	receptor binding	0.6	1	TR42640 c0_g1_i1
5	GO:0030228	lipoprotein particle receptor activity	Molecular Function	GO:0038024	cargo receptor activity	0.6	1	TR52975 c0_g1_i1
5	GO:0032549	ribonucleoside binding	Molecular Function	GO:0001882	nucleoside binding	0.36	1	TR63138 c0_g1_i1

ตารางที่ 3-15 (ต่อ) gene ontology molecular function ในกลุ่มที่ 2/1

Level	GO ID	GO Name	GO Type	Parents (ACC)	Parents (Name)	Nodescore	#Seqs	Sequence Names
5	GO:0035639	purine ribonucleoside triphosphate binding	Molecular Function	GO:1901265	nucleoside phosphate binding	0.6	1	TR63138 c0_g1_i1
5	GO:0005520	insulin-like growth factor binding	Molecular Function	GO:0019838	growth factor binding	1	1	TR16077 c0_g1_i1
5	GO:0016831	carboxy-lyase activity	Molecular Function	GO:0016830	carbon-carbon lyase activity	1	1	TR11354 c0_g1_i1
5	GO:0030414	peptidase inhibitor activity	Molecular Function	GO:0061134, GO:0004857	peptidase regulator activity, enzyme inhibitor activity	2	2	TR33438 c0_g1_i2, TR33438 c0_g1_i1
5	GO:0001883	purine nucleoside binding	Molecular Function	GO:0001882	nucleoside binding	0.36	1	TR63138 c0_g1_i1
5	GO:0003677	DNA binding	Molecular Function	GO:0003676	nucleic acid binding	1	1	TR12714 c0_g1_i1
5	GO:0016747	transferase activity, transferring acyl groups other than amino-acyl groups	Molecular Function	GO:0016746	transferase activity, transferring acyl groups	0.43	2	TR31322 c0_g1_i1, TR31322 c0_g2_i1
5	GO:0032555	purine ribonucleotide binding	Molecular Function	GO:0017076, GO:0032553	purine nucleotide binding, ribonucleotide binding	0.36	1	TR63138 c0_g1_i1
6	GO:0032550	purine ribonucleoside binding	Molecular Function	GO:0032549, GO:0001883	ribonucleoside binding, purine nucleoside binding	0.6	1	TR63138 c0_g1_i1
6	GO:0030554	adenyl nucleotide binding	Molecular Function	GO:0017076	purine nucleotide binding	0.36	1	TR63138 c0_g1_i1
6	GO:0005184	neuropeptide hormone activity	Molecular Function	GO:0005179	hormone activity	1	1	TR42640 c0_g1_i1

ตารางที่ 3-15 (ต่อ) gene ontology molecular function ในกลุ่มที่ 2/1

Level	GO ID	GO Name	GO Type	Parents (ACC)	Parents (Name)	Nodescore	#Seqs	Sequence Names
6	GO:0005524	ATP binding	Molecular Function	GO:0032550, GO:0032559, GO:0035639	purine ribonucleoside binding, adenylyl ribonucleotide binding, purine ribonucleoside triphosphate binding	1	1	TR63138 c0_g1_i1
6	GO:0032559	adenyl ribonucleotide binding	Molecular Function	GO:0030554, GO:0032555	adenyl nucleotide binding, purine ribonucleotide binding	0.6	1	TR63138 c0_g1_i1
6	GO:0016748	succinyltransferase activity	Molecular Function	GO:0016747	transferase activity, transferring acyl groups other than amino-acyl groups	0.72	2	TR31322 c0_g1_i1, TR31322 c0_g2_i1
6	GO:0030229	very-low-density lipoprotein particle receptor activity	Molecular Function	GO:0030228	lipoprotein particle receptor activity	1	1	TR52975 c0_g1_i1
6	GO:0016410	N-acyltransferase activity	Molecular Function	GO:0016747	transferase activity, transferring acyl groups other than amino-acyl groups	0.72	2	TR31322 c0_g1_i1, TR31322 c0_g2_i1
7	GO:0016749	N-succinyltransferase activity	Molecular Function	GO:0016410, GO:0016748	N-acyltransferase activity, succinyltransferase activity	1.2	2	TR31322 c0_g1_i1, TR31322 c0_g2_i1
8	GO:0003870	5-aminolevulinate synthase activity	Molecular Function	GO:0016749	N-succinyltransferase activity	2	2	TR31322 c0_g1_i1, TR31322 c0_g2_i1

### ตารางที่ 3-16 gene ontology cellular component ในกลุ่มที่ 2/1

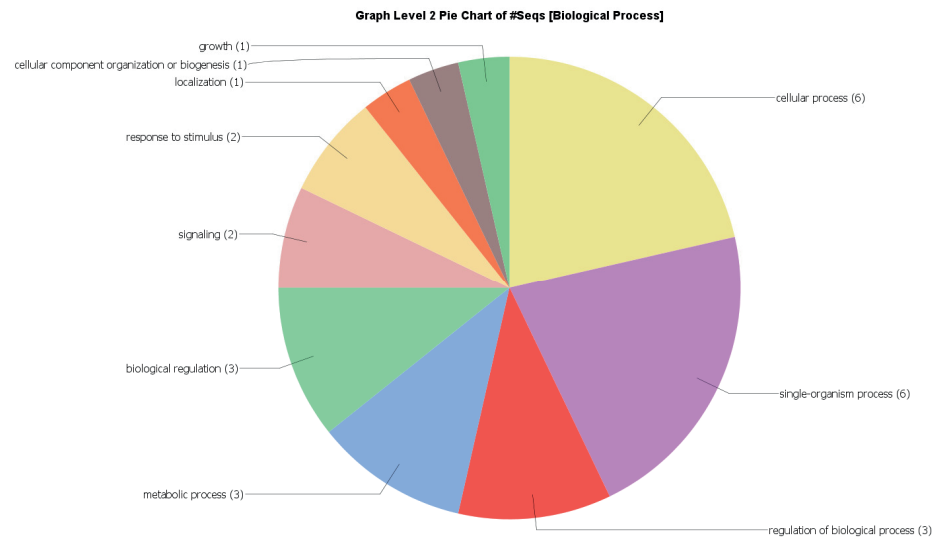
Level	GO ID	GO Name	GO Type	Parents (Name) (ACC)	Parents (Name)	Nodescore	#Seqs	Sequence Names
1	GO:0005575	cellular_component	Cellular Component			4.94	8	TR42640 c0_g1_i1, TR16077 c0_g1_i1, TR31322 c0_g1_i1, TR33438 c0_g1_i2, TR3438 c0_g1_i1, TR38097 c0_g1_i1, TR54470 c0_g1_i1, TR31322 c0_g2_i1
2	GO:0044422	organelle part	Cellular Component	GO:0005575, GO:0043226	cellular_component, organelle	0.43	2	TR31322 c0_g1_i1, TR31322 c0_g2_i1
2	GO:0044464	cell_part	Cellular Component	GO:0005575, GO:0005623	cellular_component, cell	0.43	2	TR31322 c0_g1_i1, TR31322 c0_g2_i1
2	GO:0005623	cell	Cellular Component	GO:0005575	cellular_component	0.26	2	TR31322 c0_g1_i1, TR31322 c0_g2_i1
2	GO:0043226	organelle	Cellular Component	GO:0005575	cellular_component	0.43	2	TR31322 c0_g1_i1, TR31322 c0_g2_i1
2	GO:0044421	extracellular region part	Cellular Component	GO:0005576, GO:0005575	extracellular region, cellular_component	1.8	2	TR16077 c0_g1_i1, TR38097 c0_g1_i1
2	GO:0005576	extracellular region	Cellular Component	GO:0005575	cellular_component	6.08	5	TR42640 c0_g1_i1, TR16077 c0_g1_i1, TR3438 c0_g1_i2, TR33438 c0_g1_i1, TR31322 c0_g1_i1
2	GO:0031974	membrane-enclosed lumen	Cellular Component	GO:0005575	cellular_component	0.43	2	TR31322 c0_g1_i1, TR31322 c0_g2_i1
2	GO:0016020	membrane	Cellular Component	GO:0005575	cellular_component	1	1	TR54470 c0_g1_i1
2	GO:0022991	macromolecular complex	Cellular Component	GO:0005575	cellular_component	0.22	1	TR16077 c0_g1_i1
3	GO:0043234	protein complex	Cellular Component	GO:0032991	macromolecular complex	0.36	1	TR16077 c0_g1_i1

ตารางที่ 3-16 (ต่อ) gene ontology cellular component ในกลุ่มที่ 2/1

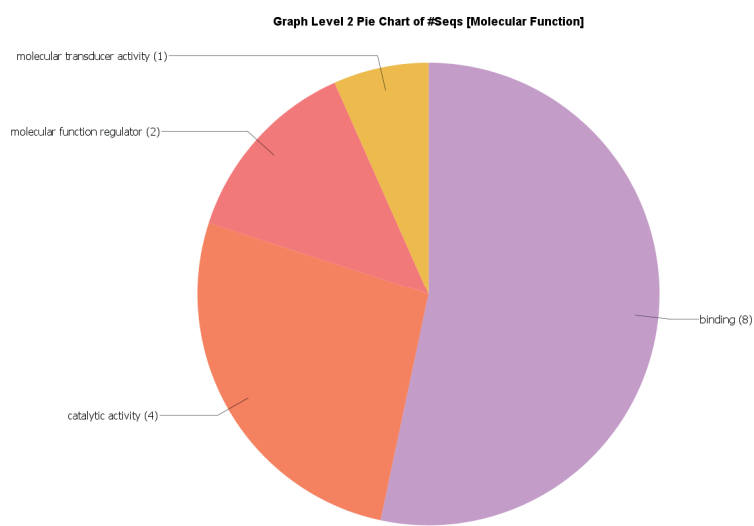
Level	GO ID	GO Name	GO Type	Parents (Name) (ACC)	Parents (Name)	NodeScore	#Seqs	Sequence Names
3	GO:0016942	insulin-like growth factor binding protein complex	Cellular Component	GO:0005615, GO:0044421, GO:0036454	extracellular space, extracellular region part, growth factor complex	1	1	TR16077 c0_g1_i1
3	GO:0043227	membrane-bounded organelle	Cellular Component	GO:0043226	organelle	0.26	2	TR31322 c0_g1_i1, TR31322 c0_g2_i1
3	GO:0005622	intracellular	Cellular Component	GO:0044464	cell part	0.43	2	TR31322 c0_g1_i1, TR31322 c0_g2_i1
3	GO:0005615	extracellular space	Cellular Component	GO:0044421	extracellular region part	2.6	2	TR16077 c0_g1_i1, TR38097 c0_g1_i1
3	GO:0043233	organelle lumen	Cellular Component	GO:0031974, GO:0044422, GO:0043226	membrane-enclosed lumen, organelle part, organelle	0.72	2	TR31322 c0_g1_i1, TR31322 c0_g2_i1
3	GO:0043229	intracellular organelle	Cellular Component	GO:0043226, GO:0044424	organelle, intracellular part	0.72	2	TR31322 c0_g1_i1, TR31322 c0_g2_i1
3	GO:0044446	intracellular organelle part	Cellular Component	GO:0044422, GO:0043229, GO:0044424	organelle part, intracellular organelle, intracellular part	0.72	2	TR31322 c0_g1_i1, TR31322 c0_g2_i1
3	GO:0044424	intracellular part	Cellular Component	GO:0044464, GO:0005622	cell part, intracellular	0.72	2	TR31322 c0_g1_i1, TR31322 c0_g2_i1
4	GO:0044444	cytoplasmic part	Cellular Component	GO:0005737, GO:0044424	cytoplasm, intracellular part	0.72	2	TR31322 c0_g1_i1, TR31322 c0_g2_i1
4	GO:0070013	intracellular organelle lumen	Cellular Component	GO:0043233, GO:0043229, GO:0044424	organelle lumen, intracellular organelle, intracellular part	1.2	2	TR31322 c0_g1_i1, TR31322 c0_g2_i1

ตารางที่ 3-16 (ต่อ) gene ontology cellular component ในกลุ่มที่ 2/1

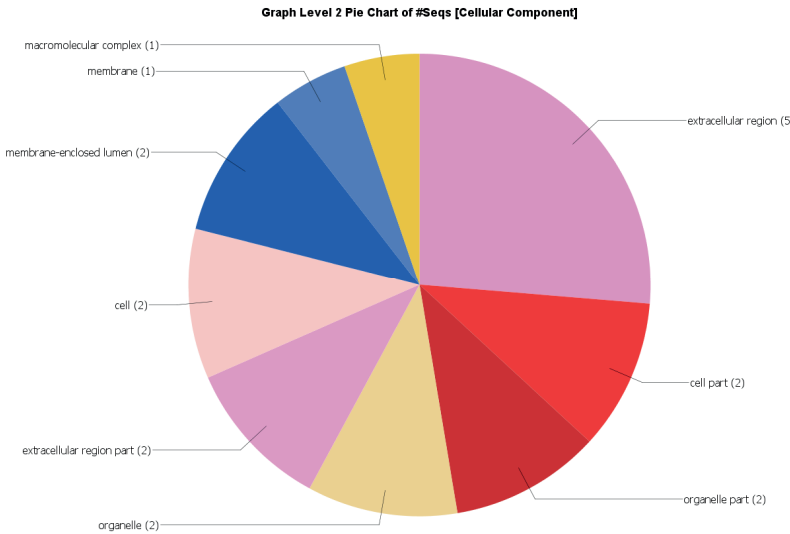
Level	GO ID	GO Name	GO Type	Parents (Name) (ACC)	Parents (Name)	Nodescore	#Seqs	Sequence Names
4	GO:0005737	cytoplasm	Cellular Component	GO:0044424	intracellular part	0.43	2	TR31322 c0_g1_i1, TR31322 c0_g2_i1
	GO:0043231	intracellular membrane-bounded organelle	Cellular Component	GO:0043229, GO:0043227	intracellular organelle, membrane-bounded organelle	0.43	2	TR31322 c0_g1_i1, TR31322 c0_g2_i1
4	GO:0044429	mitochondrial part	Cellular Component	GO:0044446, GO:005739, GO:0044444	intracellular organelle part, mitochondrion, cytoplasmic part	1.2	2	TR31322 c0_g1_i1, TR31322 c0_g2_i1
	GO:0036454	growth factor complex	Cellular Component	GO:0043234	protein complex	0.6	1	TR16077 c0_g1_i1
5	GO:0005759	mitochondrial matrix	Cellular Component	GO:0044429, GO:0070013	mitochondrial part, intracellular organelle lumen	2	2	TR31322 c0_g1_i1, TR31322 c0_g2_i1
	GO:0005739	mitochondrion	Cellular Component	GO:0044444, GO:0043231	cytoplasmic part, intracellular membrane-bounded organelle	0.72	2	TR31322 c0_g1_i1, TR31322 c0_g2_i1



ภาพที่ 3-12 องค์ประกอบหน้าที่ของ transcripts ในส่วน biological process ในกลุ่มที่ 2/1



ภาพที่ 3-13 องค์ประกอบหน้าที่ของ transcripts ในส่วน molecular function ในกลุ่มที่ 2/1



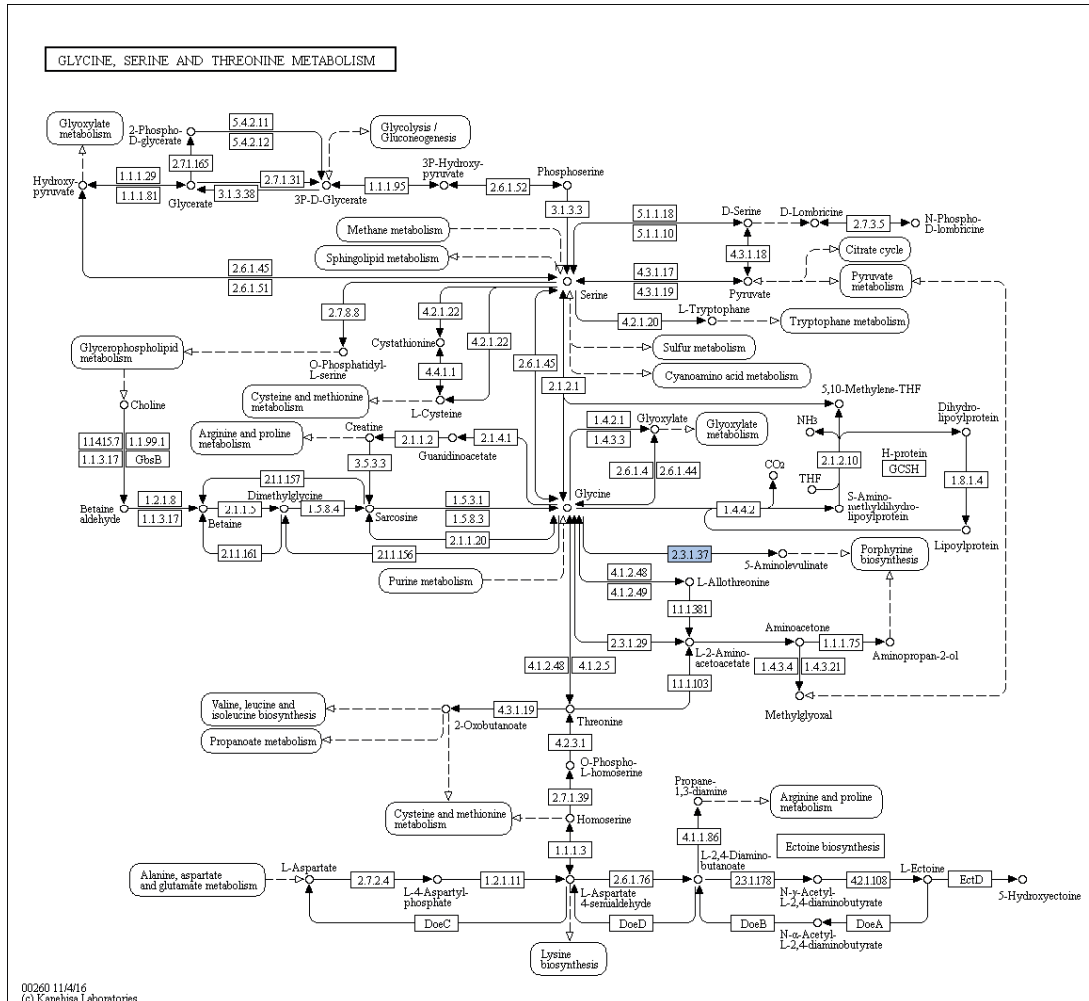
ภาพที่ 3-14 องค์ประกอบหน้าที่ของ transcripts ในส่วน cellular component ในกลุ่มที่ 2/1

### Pathway analysis

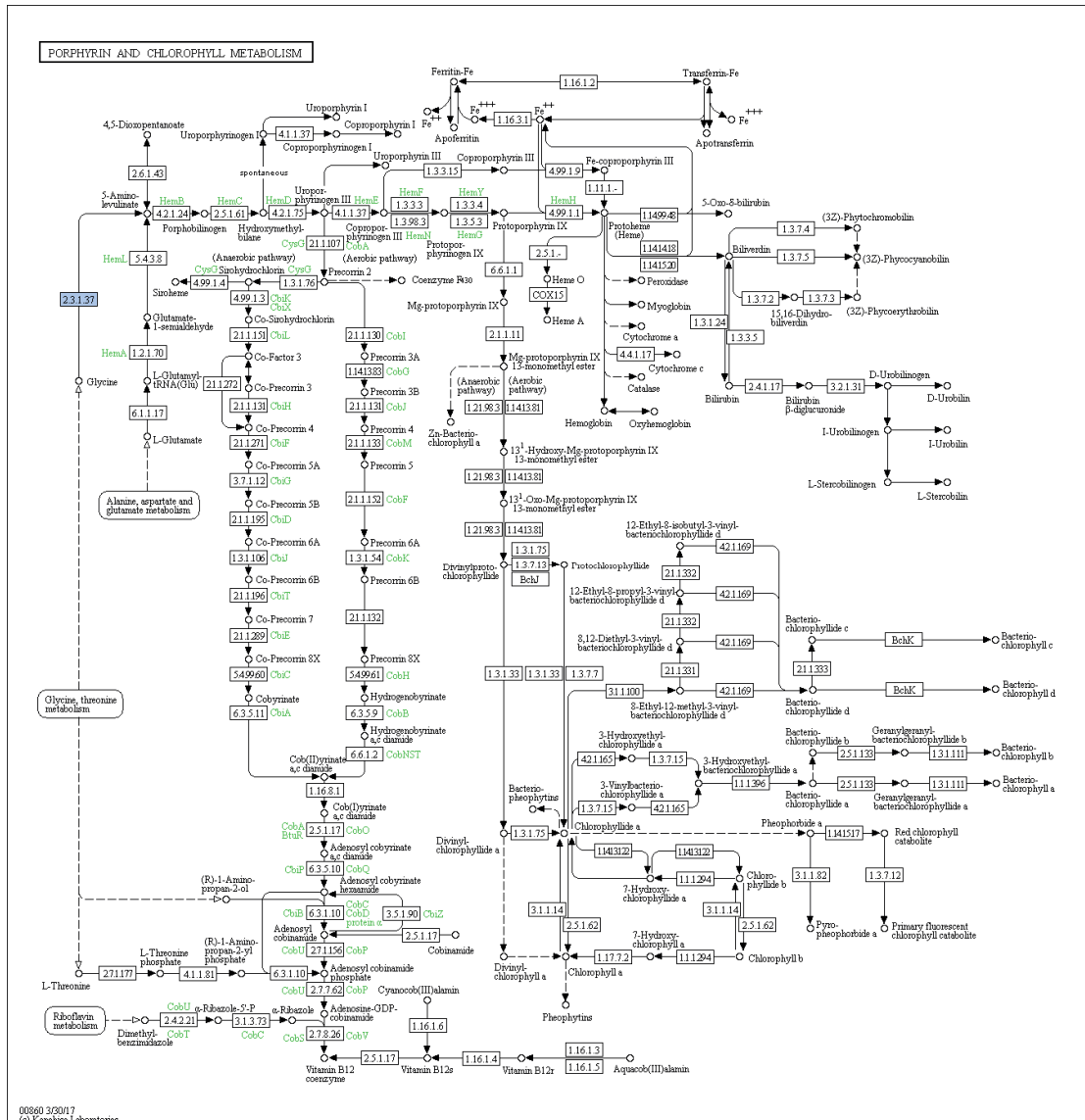
ในกลุ่มที่ 2/1 พบ enzyme pathway จำนวน 2 pathway จาก 2 transcripts ประกอบไปด้วย Glycine, serine and threonine metabolism และ Porphyrin and chlorophyll metabolism ดังตารางที่ 3-17

ตารางที่ 3-17 pathway ในกลุ่มที่ 2/1

Seq	Pathway	Pathway ID	#Enzs in Pathway	Enzyme
TR31322 c0_g1_i1	Glycine, serine and threonine metabolism, Porphyrin and chlorophyll metabolism	map00260, map00860	1, 1	ec:2.3.1.37 - synthase, ec:2.3.1.37 - synthase
TR31322 c0_g2_i1	Glycine, serine and threonine metabolism, Porphyrin and chlorophyll metabolism	map00260, map00860	1, 1	ec:2.3.1.37 - synthase, ec:2.3.1.37 - synthase



ภาพที่ 3-15 Glycine, serine and threonine metabolism pathway ในกลุ่มที่ 2/1



ภาพที่ 3-16 Porphyrin and chlorophyll metabolism pathway ในกลุ่มที่ 2/1

### 3.2.4 กลุ่มที่ 2/2 มีลักษณะการแสดงออกเพิ่มขึ้น

มีทั้งหมด 32 transcripts มีลักษณะการแสดงออกสูงขึ้นเมื่อได้รับเชื้อ *Vibrio parahemolyticus* เมื่อเปรียบเทียบกับสภาพปกติ (hc0\_a ในภาพที่ 3-1) สามารถระบุชื่อยืนจากฐานข้อมูล blastx ได้ทั้งหมด 16 transcripts และนำไปอธิบายถึงหน้าที่ของยีนได้ทั้งหมด 8 transcripts จาก 16 transcripts ที่สามารถระบุชื่อยืนได้ ดังตารางที่ 3-18 โดยการนำเอาข้อมูลจากฐานข้อมูลออนไลน์ GO โดยในแต่ละ transcript จะเป็นส่วนของ biological process, molecular function และ cellular component ดังตารางที่ 3-19 โดยมีการจัดลำดับขึ้นตามรูปแบบของ gene ontology ดังตารางที่ 3-20, 3-21 และ 3-22 สามารถสรุปองค์ประกอบหน้าที่ของ transcripts ตามระดับที่ 2 (level 2) ของการจัดลำดับตามรูปแบบของ gene ontology ได้ดังนี้

biological process มีทั้งหมด 7 ส่วนประกอบ โดยส่วนใหญ่อยู่ในส่วนของ cellular process จำนวน 6 transcripts, metabolic process จำนวน 5 transcripts, biological regulation จำนวน 4 transcripts และส่วนอื่นๆอีก 4 ส่วนประกอบ ซึ่งมีสัดส่วนตามภาพที่ 3-17

molecular function มีทั้งหมด 4 ส่วนประกอบ โดยส่วนใหญ่เป็น binding จำนวน 5 transcripts, catalytic activity จำนวน 3 transcripts และส่วนประกอบอื่นๆอีก 2 ส่วนประกอบ ซึ่งมีสัดส่วนตามภาพที่ 3-18

cellular component มีทั้งหมด 9 ส่วนประกอบ โดยส่วนใหญ่เป็นส่วนของ cell part จำนวน 4 transcripts, cell จำนวน 4 transcripts, organelle จำนวน 3 transcripts และส่วนอื่นๆอีก 6 ส่วนประกอบ ซึ่งมีสัดส่วนตามภาพที่ 3-19

ตารางที่ 3-18 องค์ประกอบของ transcripts ในกลุ่มที่ 2/2

SeqName	description	Length	#Hits	e-Value	sim	#GO	GO IDs	GO Names	Enzyme codes	Enzyme names	InterPro IDs	InterPro GO Names	InterPro GO	
TR46507 c0_g7_i1	--NA--	540									no IBS match	no IBS match		
TR9150 c2_g2_i1	--NA--	350									no IBS match	no IBS match		
TR56365 c0_g1_i1	--NA--	540									no IBS match	no IBS match		
TR42556 c0_g1_i1	--NA--	540									no IBS match	no IBS match		
TR215 c2_g1_i1	CCA tRNA nucleotidyltransferase mitochondrial	540	9	1.09E-08	59.33	4	F:GO:0016779; F:GO:0003723; P:GO:0006396; F:GO:0016740	F:nucleotidyltransferas e activity; F:RNA binding; P:RNA processing; F:transferase activity			no IBS match	no IBS match		
TR3826 c2_g2_i1	MADF domain transcription factor	540	20	2.45E-07	53.8	6	F:GO:000166; F:GO:0016887; F:GO:0003677; F:GO:0005524; C:GO:0016020; C:GO:0016021	F:nucleotide binding; F:ATPase activity; F:DNA binding; F:ATP binding; C:nembrane; C:integral component of membrane	IPR06578 (PFAM); PTHR12243 (PANTHER); IPR06578 (PROSITE_PROFILES)	no GO terms	no GO terms	no IBS match	C:extracellular space	
TR22540 c1_g4_i1	--NA--	540									no IBS match	no IBS match		
TR32997 c0_g1_i1	serine ase inhibitor	540	20	2.61E-49	58.1	1	C:GO:0005615	C:extracellular space			C:GO:0005615	G3DSA:1.10.287.580 (GENE3D); IPR00215 (PANTHER); PTHR11461:SF223 (PANTHER); IPR023796 (SUPERFAMILY)		
TR1170 c0_g1_i1	--NA--										no IBS match	no IBS match		

### ตารางที่ 3-18 (ต่อ) องค์ประกอบของ transcripts ในกลุ่มที่ 2/2

SeqName	description	Length	#Hits	e-Value	sim	#GO	GO IDs	GO Names	Enzyme codes	Enzyme names	InterPro IDs	InterPro GO Names	InterPro GO	
TR29983 c0_g1_i1	--NA--	540									no IIPS match	no IIPS match		
TR42216 c0_g1_i1	--NA--	540									no IIPS match	no IIPS match		
TR17513 c0_g1_i1	--NA--	540									no IIPS match	no IIPS match		
TR56162 c0_g1_i1	--NA--	540									mobidb-lite	no GO terms		
TR19827 c0_g1_i1	PREDICTED: uncharacterized protein	540	12	4.68E-19	51.17						(MOBIDB_LITE) no IIPS match	no IIPS match		
LOC107334107														
TR3310 c0_g1_i1	succinate dehydrogenase assembly factor mitochondrial like	540	20	5.04E-29	72.05						IPR012875 (PFAM); mobidb-lite (MOBIDB_LITE); PTHR28524 (PANTHER); PTHR28524_SF4 (PANTHER)	no GO terms	no GO terms	
LOC106881793														
TR3737 c0_g1_i1	PREDICTED: uncharacterized protein	417	20	5.48E-51	67.7	3	F:GO:0003677; P:GO:0006355; P:GO:0032502	F:DNA binding; P:regulation of transcription, DNA- templated; P:developmental process			PTHR23022_SF92 (PANTHER); PTHR23022 (PANTHER)	no GO terms	no GO terms	

ตารางที่ 3-18 (ต่อ) องค์ประกอบของ transcripts ในกลุ่มที่ 2/2

SeqName	description	Length h	#Hits	e-Value	sim mean	#GO	GO IDs	GO Names	Enzyme codes	Enzyme names	InterPro IDs	InterPro GO Names	InterPro GO IDs	InterPro GO Names
TR3737 c0_g1_12	hypothetical protein Y032_0655g1201	540	20	1.41E-28	59.7	2	F:GO:0003677; P:GO:0006355	F:DNA binding; P:regulation of transcription, DNA- templated			IPR011991 (G3DSA:1.10.10.GENE3 D); IPR01523 (PFAM); PTHR23022 (PANTHER); PTHR23022_SF92 (PANTHER); IPR009057 (SUPERFAMILY)	F:GO:0003677; P:GO:0006355	F:DNA binding; P:regulation of transcription, DNA-templated	
TR11263 c0_g2_i1	CCR4-NOT transcription complex subunit 7 isoform X1	540	20	4.74E-80	83.6	4	F:GO:0003676; F:GO:000435; P:GO:0051252; P:GO:000289	F:nucleic acid binding; F:poly(A)-specific ribonuclease activity; P:regulation of RNA metabolic process; P:nuclear-transcribed mRNA poly(A) tail shortening	EC3.1; EC3.1.13; EC3.1.15; EC3.1.13.4	Acting on ester bonds; Acting on ester bonds; Acting on ester bonds;	IPR012337 (G3DSA:3.30.420.GENE 3D); IPR006941 (PFAM); PTHR10797_SF18 (PANTHER); PTHR10797 (PANTHER); IPR012337 (SUPERFAMILY)	F:GO:0003676; F:GO:000435; P:GO:000289	F:nucleic acid binding; F:poly(A)- specific ribonuclease activity; P:nuclear- transcribed mRNA poly(A) tail shortening	
TR9235 c0_g1_11	—NA—	540								mobidb-lite (MOBIDB_LITE)	no GO terms	no GO terms	no GO terms	no GO terms

### ตารางที่ 3-18 (ต่อ) องค์ประกอบของ transcripts ในกลุ่มที่ 2/2

SeqName	description	Length	#Hits	e-Value	sim	#GO	GO IDs	GO Names	Enzyme codes	Enzyme names	InterPro IDs	InterPro GO Names	InterPro GO IDs	InterPro GO Names
TR51223 c0_g1_i1	39S ribosomal mitochondrial-like	540	20	1.92E-23	65.85	4	F:GO:0003735; P:GO:0042254; C:GO:0005840; P:GO:0006412	F:structural constituent of ribosome; P:ribosome biogenesis; C:ribosome; P:translation E3D;	G3DSA:1.205.710 (GENE3D); IPR008932 (PFAM); IPR014719 (G3DSA:3.30.1390.GEN	F:GO:0003735; C:GO:0005840; C:GO:0005622; P:GO:0006412	F:structural constituent of ribosome; C:ribosome; C:intracellular; P:translation	F:GO:0003735; C:GO:0005840; C:GO:0005622; P:GO:0006412		
TR25748 c0_g2_i1	-NA--	540	416											
TR44887 c0_g2_i1	-NA--													
TR35743 c1_g2_i1	putative tick transposon, partial kinase -interacting substrate of 220 kDa isoform X4	540	1	4.14E-04	53									
TR61525 c0_g1_i1		540	20	1.47E-07	74.85	5	F:GO:0031625; C:GO:0016020; C:GO:0016021; C:GO:0005783; P:GO:0030433	F:ubiquitin protein ligase binding; C:membrane; C:integral component of membrane; C:endoplasmic reticulum; P:ER-associated ubiquitin-dependent protein catabolic process						

ตารางที่ 3-18 (ต่อ) องค์ประกอบของ transcripts ในกลุ่มที่ 2/2

SeqName	description	Length h	#Hits	e-Value	sim mean	#GO	GO IDs	GO Names	Enzyme codes	Enzyme names	InterPro IDs	InterPro GO Names	InterPro GO IDs	InterPro GO Names
TR14051 c0_g1_i1	5'-3' exoribonuclease 2 homolog	540	20	1.24E-99	86.75	6	F:GO:003676; C:GO:0005634; F:GO:0004534; P:GO:0090503; F:GO:0008270; P:GO:0051252	F:nucleic acid binding; C:nucleus; F:5'-3' exoribonuclease activity; P:RNA phosphodiester bond hydrolysis, exonucleolytic; F:zinc ion binding; P:regulation of RNA metabolic process	EC:3.1; EC3.1.13; EC3.1.15	Acting on ester bonds; Acting on ester bonds; Acting on ester bonds	PTHR12341:SF41 (PANTHER), IPR027073 (PANTHER)	no GO terms	no GO terms	
TR16718 c0_g1_i1	electron transfer flavo-ubiquinone mitochondrial	540	20	6.17E-54	78.3	9	P:GO:0006979; C:GO:0031305; P:GO:0033339; P:GO:0006118; F:GO:0009055; P:GO:0022904; F:GO:0004174; F:GO:0048039; F:GO:0051539	P:response to oxidative stress; C:integral component of mitochondrial inner membrane; P:fatty acid beta-oxidation using acyl-CoA dehydrogenase; P:obsolete electron transport; F:electron carrier activity; P:respiratory electron transport chain; F:electron-transferring- flavoprotein dehydrogenase activity; F:ubiquinone binding; F:4 iron, 4 sulfur cluster binding	EC:1.5.5.1	Electron- transferring- flavoprotein e	no IPS match	no IPS match	no IPS match	

### ตารางที่ 3-18 (ต่อ) องค์ประกอบของ transcripts ในกลุ่มที่ 2/2

SeqName	description	Length	#Hits	e-Value	sim	#GO	GO IDs	GO Names	Enzyme codes	Enzyme names	InterPro IDs	InterPro GO Names	InterPro GO IDs	InterPro GO Names
TR18983 c0_g2_i1	transforming growth factor-beta receptor-associated 1-like	540	20	2.02E-24	61.4	5	F:GO:0005515; P:GO:0050794; P:GO:0044763; P:GO:0006810; C:GO:0005622	F:protein binding; P:regulation of cellular process; P:single-organism cellular process; P:transport; C:intracellular			no IIPS match	no IIPS match	no IIPS match	no IIPS match
TR49314 c8_g1_i1	--NA--	540									no IIPS match	no IIPS match	no IIPS match	no IIPS match
TR20053 c1_g2_i1	--NA--	540									no GO terms	no GO terms	no GO terms	no GO terms
TR11674 c0_g2_i1	PREDICTED: uncharacterized protein KIAA2013-like	540	20	3.52E-55	80.7	1	C:GO:0016021	C:integral component of membrane			IPR018795 (PFAM); PTHR31386 (PANTHER)	no GO terms	no GO terms	no GO terms
TR5321 c0_g2_i1	cat eye syndrome critical region 5-like	540	20	6.82E-66	74.1						IPR006357 (PFAM); IPR023214 (G3DSA3.40.50.GENE3D); PTHR14269;SF29 (PANTHER); PTHR14269 (PANTHER); IPR023214 (SUPERFAMILY)	no GO terms	no GO terms	no GO terms
TR40242 c0_g3_i1	--NA--										no IIPS match	no IIPS match	no IIPS match	no IIPS match

ตารางที่ 3-19 หน้าที่ของยีนในกลุ่มที่ 2/2

SeqName	description	biological process (level 2)	biological process	molecular function (level 2)	molecular function	cellular component (level 2)	cellular component
TR11263 c0_g2_i1	CCR4-NOT transcription complex subunit 7 isoform X1	biological regulation, metabolic process, cellular process, regulation of biological process	regulation of RNA metabolic process, regular of cellular process, nuclear-transcribed mRNA poly(A) tail shortening	catalytic activity, binding translation, ribosome biogenesis	poly(A)-specific ribonuclease activity, nucleic acid binding structural molecule	intracellular, ribosome	intracellular, ribosome
TR51223 c0_g1_i1	39S ribosomal mitochondrial-like	metabolic process, cellular process, cellular component	ribosome biogenesis	activity	structural constituent of ribosome	cell part, cell, macromolecular complex, organelle	cell part, cell
TR18983 c0_g2_i1	transforming growth factor-beta receptor-associated 1-like	biological regulation, localization, cellular process, single-organism process, regulation of biological process	regular of cellular process, transport, single-organism cellular process	binding	protein binding	cell part, cell	intracellular
TR3737 c0_g1_i2	hypothetical protein Y032_0655g1201	biological regulation, metabolic process, cellular process, regulation of biological process	regulation of RNA metabolic process, regulation of transcription, DNA-template, regular of cellular process	binding	DNA binding, nucleic acid binding		

ตารางที่ 3-19 (ต่อ) หน้าที่ของบีบีในกรุ๊ปที่ 2/2

SeqName	description	biological process (level 2)	biological process	molecular function (level 2)	molecular function	cellular component (level 2)	cellular component
TR14051 c0_g1_i1_5 -3	exoribonuclease 2 homolog	biological regulation, metabolic process, cellular process, regulation of biological process	regulation of RNA	catalytic activity, binding	5'-3' exonribonuclease activity, zinc ion binding, nucleic acid binding	cell part, cell, organelle	nucleus, intracellular
TR16718 c0_g1_i1	electron transfer flavo -ubiquinone mitochondrial	metabolic process, cellular process, single-organism process, response to stimulus	respiratory electron transport chain, fatty acid beta-oxidation using acyl-CoA dehydrogenase), response to oxidative stress	catalytic activity, electron carrier activity, electron binding	electron-transferring-flavoprotein dehydrogenase activity, electron carrier activity, ubiquinone binding, 4 iron, 4 sulfur cluster binding	membrane, organelle part, cell part, cell organelle, membrane part	integral component of mitochondrial inner membrane, integral component of membrane, intracellular
TR11674 c0_g2_i1	PREDICTED: uncharacterized protein KIAA2013-like					membrane, membrane part	integral component of membrane
TR32997 c0_g1_i1	serine ase inhibitor					extracellular region part, extracellular region space	extracellular space

### ตารางที่ 3-20 gene ontology biological process ในกลุ่มที่ 2/2

Level	GO ID	GO Name	GO Type	Parents (ACC)	Parents (Name)	Nodescore	#Seqs	Sequence Names
1	GO:0008150	biological_process	Biological Process			3.49	6	TR11263 c0_g2_11, TR51223 c0_g1_11, TR18983 c0_g2_11, TR3737 c0_g1_i2, TR14051 c0_g1_11, TR11263 c0_g2_11, TR16718 c0_g1_11, TR11263 c0_g2_11, TR18983 c0_g2_11, TR3737 c0_g1_i2, TR14051 c0_g1_11, TR3737 c0_g1_i2, TR51223 c0_g1_11, TR11263 c0_g2_11, TR18983 c0_g2_11, TR3737 c0_g1_i2, TR14051 c0_g1_11, TR3737 c0_g1_i2, TR14051 c0_g1_11, TR16718 c0_g1_11
2	GO:00065007	biological regulation	Biological Process	GO:0008150	biological_process	1.91	4	TR11263 c0_g1_11, TR3737 c0_g1_i2, TR14051 c0_g1_11, TR11263 c0_g2_11, TR18983 c0_g1_11, TR3737 c0_g1_i2, TR14051 c0_g1_11, TR11263 c0_g2_11, TR51223 c0_g1_11, TR11263 c0_g2_11, TR18983 c0_g2_11, TR3737 c0_g1_i2, TR14051 c0_g1_11, TR3737 c0_g1_i2, TR14051 c0_g1_11, TR16718 c0_g1_11
2	GO:0050789	regulation of biological process	Biological Process	GO:0008150	biological regulation, biological_process	3.18	4	TR11263 c0_g2_11, TR18983 c0_g2_11, TR3737 c0_g1_i2, TR14051 c0_g1_11, TR11263 c0_g2_11, TR51223 c0_g1_11, TR11263 c0_g2_11, TR18983 c0_g2_11, TR3737 c0_g1_i2, TR14051 c0_g1_11, TR3737 c0_g1_i2, TR14051 c0_g1_11, TR16718 c0_g1_11
2	GO:0008152	metabolic process	Biological Process	GO:0008150	biological_process	1.19	5	TR11263 c0_g2_11, TR51223 c0_g1_11, TR11263 c0_g2_11, TR18983 c0_g1_11, TR3737 c0_g1_i2, TR14051 c0_g1_11, TR3737 c0_g1_i2, TR14051 c0_g1_11, TR16718 c0_g1_11
2	GO:0009987	cellular process	Biological Process	GO:0008150	biological_process	4.56	6	TR11263 c0_g2_11, TR51223 c0_g1_11, TR18983 c0_g2_11, TR3737 c0_g1_i2, TR14051 c0_g1_11, TR3737 c0_g1_i2, TR14051 c0_g1_11, TR16718 c0_g1_11
2	GO:00171840	cellular component organization or biogenesis	Biological Process	GO:0008150	biological_process	0.22	1	TR51223 c0_g1_11
2	GO:00050896	response to stimulus	Biological Process	GO:0008150	biological_process	0.36	1	TR16718 c0_g1_11
2	GO:00051179	localization	Biological Process	GO:0008150	biological_process	0.36	1	TR18983 c0_g2_11
2	GO:0044699	single-organism process	Biological Process	GO:0008150	biological_process	1.46	2	TR18983 c0_g2_11, TR16718 c0_g1_11
3	GO:0006950	response to stress	Biological Process	GO:0050896	response to stimulus	0.6	1	TR16718 c0_g1_11
3	GO:0044710	single-organism metabolic process	Biological Process	GO:0008152, GO:0044699	metabolic process, single-organism process	0.29	1	TR16718 c0_g1_11

### ตารางที่ 3-20 (ต่อ) gene ontology biological process ในตั้งแต่ที่ 2/2

Level	GO ID	GO Name	GO Type	Parents (ACC)	Parents (Name)	Nodescore	#Seqs	Sequence Names
3	GO:0006807	nitrogen compound metabolic process	Biological Process	GO:0008152	metabolic process	0.9	4	TR11263 c0_g2_i1, TR51223 c0_g1_i1, TR3737 c0_g1_i2, TR14051 c0_g1_i1
3	GO:0071704	organic substance metabolic process	Biological Process	GO:0008152	metabolic process	1.15	5	TR11263 c0_g2_i1, TR51223 c0_g1_i1, TR3737 c0_g1_i2, TR14051 c0_g1_i1, TR16718 c0_g1_i1
3	GO:0044763	single-organism cellular process	Biological Process	GO:0009987, GO:0044699	cellular process, single-organism process	2.44	2	TR18983 c0_g2_i1, TR16718 c0_g1_i1
3	GO:0051234	establishment of localization	Biological Process	GO:0051179	localization	0.6	1	TR18983 c0_g2_i1
3	GO:0019222	regulation of metabolic process	Biological Process	GO:0050789, GO:0008152	regulation of biological process, metabolic process	1.3	3	TR11263 c0_g2_i1, TR3737 c0_g1_i2, TR14051 c0_g1_i1
3	GO:0050794	regulation of cellular process	Biological Process	GO:0050789, GO:0009987	regulation of biological process, cellular process	4.78	4	TR11263 c0_g2_i1, TR18983 c0_g2_i1, TR3737 c0_g1_i2, TR14051 c0_g1_i1
3	GO:0009056	catabolic process	Biological Process	GO:0008152	metabolic process	0.12	2	TR11263 c0_g2_i1, TR16718 c0_g1_i1
3	GO:0009058	biosynthetic process	Biological Process	GO:0008152	metabolic process	0.35	2	TR51223 c0_g1_i1, TR3737 c0_g1_i2
3	GO:0044237	cellular metabolic process	Biological Process	GO:0008152, GO:0009987	metabolic process, cellular process	1.46	5	TR11263 c0_g2_i1, TR51223 c0_g1_i1, TR3737 c0_g1_i2, TR14051 c0_g1_i1, TR16718 c0_g1_i1
3	GO:0044085	cellular component biogenesis	Biological Process	GO:0071840	cellular component organization or biogenesis	0.36	1	TR51223 c0_g1_i1

ตารางที่ 3-20 (ต่อ) gene ontology biological process ในกลุ่มที่ 2/2

Level	GO ID	GO Name	GO Type	Parents (ACC)	Parents (Name)	Nodescore	#Seqs	Sequence Names
3	GO:00044238	primary metabolic process	Biological Process	GO:0008152	metabolic process	1.08	5	TR11263 c0_g2_11, TR51223 c0_g1_i1, TR3737 c0_g1_i2, TR14051 c0_g1_i1, TR16718 c0_g1_i1
4	GO:1901576	organic substance biosynthetic process	Biological Process	GO:0071704, GO:0009058	organic substance metabolic process, biosynthetic process	0.35	2	TR51223 c0_g1_i1, TR3737 c0_g1_i2
4	GO:0006979	response to oxidative stress	Biological Process	GO:0006950	response to stress	1	1	TR16718 c0_g1_i1
4	GO:00080090	regulation of primary metabolic process	Biological Process	GO:0044238, GO:0019222	primary metabolic process, regulation of metabolic process	1.16	3	TR11263 c0_g2_11, TR3737 c0_g1_i2, TR14051 c0_g1_i1
4	GO:00044255	cellular lipid metabolic process	Biological Process	GO:0006629, GO:0044763, GO:0044237	lipid metabolic process, single-organism cellular process, cellular metabolic process	0.13	1	TR16718 c0_g1_i1
4	GO:00046483	heterocycle metabolic process	Biological Process	GO:0044237	cellular metabolic process	0.82	3	TR11263 c0_g2_11, TR3737 c0_g1_i2, TR14051 c0_g1_i1, TR16718 c0_g1_i1
4	GO:00044712	single-organism catabolic process	Biological Process	GO:0009056, GO:0044710	catabolic process, single-organism metabolic process	0.08	1	TR16718 c0_g1_i1
4	GO:00043170	macromolecule metabolic process	Biological Process	GO:0071704	organic substance metabolic process	1.83	4	TR11263 c0_g2_11, TR51223 c0_g1_i1, TR3737 c0_g1_i2, TR14051 c0_g1_i1
4	GO:0006629	lipid metabolic process	Biological Process	GO:0071704, GO:0044238, GO:0044710	organic substance metabolic process, primary metabolic process, single-organism metabolic process	0.08	1	TR16718 c0_g1_i1

ตารางที่ 3-20 (ต่อ) gene ontology biological process ในกลุ่มที่ 2/2

Level	GO ID	GO Name	GO Type	Parents (ACC)	Parents (Name)	Nodescore	#Seqs	Sequence Names
4	GO:0009889	regulation of biosynthetic process	Biological Process	GO:0009058, GO:0019222	biosynthetic process, regulation of metabolic process	0.22	1	TR3737 c0_g1_i2
4	GO:0015980	energy derivation by oxidation of organic compounds	Biological Process	GO:0044763, GO:0006091, GO:0055114	single-organism cellular process, generation of precursor metabolites and energy, oxidation-reduction process	0.36	1	TR16718 c0_g1_i1
4	GO:0006082	organic acid metabolic process	Biological Process	GO:0044763, GO:0071704, GO:0044281, GO:0044237	single-organism cellular process, organic substance metabolic process, small molecule metabolic process, cellular metabolic process	0.05	1	TR16718 c0_g1_i1
4	GO:0022900	electron transport chain	Biological Process	GO:0044763, GO:0006091, GO:0055114	single-organism cellular process, generation of precursor metabolites and energy, oxidation-reduction process	0.6	1	TR16718 c0_g1_i1
4	GO:0034641	cellular nitrogen compound metabolic process	Biological Process	GO:0006807, GO:0044237	nitrogen compound metabolic process, cellular metabolic process	0.95	4	TR11263 c0_g2_i1, TR51223 c0_g1_i1, TR3737 c0_g1_i2, TR14051 c0_g1_i1
4	GO:0044260	cellular macromolecule metabolic process	Biological Process	GO:0043170, GO:0044237	macromolecule metabolic process, cellular metabolic process	1.95	4	TR11263 c0_g2_i1, TR51223 c0_g1_i1, TR3737 c0_g1_i2, TR14051 c0_g1_i1
4	GO:0044248	cellular catabolic process	Biological Process	GO:0009056, GO:0044237	catabolic process, cellular metabolic process	0.21	2	TR11263 c0_g2_i1, TR16718 c0_g1_i1

ตารางที่ 3-20 (ต่อ) gene ontology biological process ในกลุ่มที่ 2/2

Level	GO ID	GO Name	GO Type	Parents (ACC)	Parents (Name)	Nodescore	#Seqs	Sequence Names
4	GO:0006091	generation of precursor metabolites and energy	Biological Process	GO:0044237	cellular metabolic process	0.36	1	TR16718 c0_g1_i1
4	GO:1901564	organonitrogen compound metabolic process	Biological Process	GO:0071704, GO:0006807	organic substance metabolic process, nitrogen compound metabolic process	0.22	1	TR51223 c0_g1_i1
4	GO:0051171	regulation of nitrogen compound metabolic process	Biological Process	GO:0006807, GO:0019222	nitrogen compound metabolic process, regulation of metabolic process	1.16	3	TR11263 c0_g2_i1, TR3737 c0_g1_i2, TR14051 c0_g1_i1
4	GO:0055114	oxidation-reduction process	Biological Process	GO:0044710	single-organism metabolic process	0.49	1	TR16718 c0_g1_i1
4	GO:0044249	cellular biosynthetic process	Biological Process	GO:0009058, GO:0044237	biosynthetic process, cellular metabolic process	0.58	2	TR51223 c0_g1_i1, TR3737 c0_g1_i2
4	GO:0006810	transport	Biological Process	GO:0051234	establishment of localization	1	1	TR18983 c0_g2_i1
4	GO:0006725	cellular aromatic compound metabolic process	Biological Process	GO:0044237	cellular metabolic process	0.82	3	TR11263 c0_g2_i1, TR3737 c0_g1_i2, TR14051 c0_g1_i1
4	GO:0022613	ribonucleoprotein complex biogenesis	Biological Process	GO:0044085	cellular component biogenesis	0.6	1	TR51223 c0_g1_i1
4	GO:1901575	organic substance catabolic process	Biological Process	GO:0071704, GO:0009056	organic substance metabolic process, catabolic process	0.12	2	TR11263 c0_g2_i1, TR16718 c0_g1_i1

ตารางที่ 3-20 (ต่อ) gene ontology biological process ในกลุ่มที่ 2/2

Level	GO ID	GO Name	GO Type	Parents (ACC)	Parents (Name)	Nodescore	#Seqs	Sequence Names
4	GO:0019538	protein metabolic process	Biological Process	GO:0044238, GO:0043170	primary metabolic process, macromolecule metabolic process	0.36	1	TR51223 c0_g1_i1
4	GO:0060255	regulation of macromolecule metabolic process	Biological Process	GO:0019222, GO:0043170	regulation of metabolic process, macromolecule metabolic process	2.16	3	TR11263 c0_g2_i1, TR3737 c0_g1_i2, TR14051 c0_g1_i1
4	GO:0044281	small molecule metabolic process	Biological Process	GO:0044710	single-organism metabolic process	0.03	1	TR16718 c0_g1_i1
4	GO:0031323	regulation of cellular metabolic process	Biological Process	GO:0019222, GO:0050794, GO:0044237	regulation of metabolic process, regulation of cellular process, cellular metabolic process	1.3	3	TR11263 c0_g2_i1, TR3737 c0_g1_i2, TR14051 c0_g1_i1
4	GO:1901360	organic cyclic compound metabolic process	Biological Process	GO:0071704	organic substance metabolic process	0.82	3	TR11263 c0_g2_i1, TR3737 c0_g1_i2, TR14051 c0_g1_i1
4	GO:0006139	nucleobase-containing compound metabolic process	Biological Process	GO:0044238, GO:0046483, GO:0006725, GO:0034641, GO:1901360	primary metabolic process, heterocycle metabolic process, cellular aromatic compound metabolic process, cellular nitrogen compound metabolic process, organic cyclic compound metabolic process	1.37	3	TR11263 c0_g2_i1, TR3737 c0_g1_i2, TR14051 c0_g1_i1
5	GO:0006518	peptide metabolic process	Biological Process	GO:1901564, GO:0043603	organonitrogen compound metabolic process, cellular amide metabolic process	0.36	1	TR51223 c0_g1_i1

ตารางที่ 3-20 (ต่อ) gene ontology biological process ในกลุ่มที่ 2/2

Level	GO ID	GO Name	GO Type	Parents (ACC)	Parents (Name)	Nodescore	#Seqs	Sequence Names
5	GO:0044270	cellular nitrogen compound catabolic process	Biological Process	GO:0044248, GO:0034641	cellular catabolic process, cellular nitrogen compound metabolic process	0.08	1	TR11263 c0_g2_11
5	GO:0046700	heterocycle catabolic process	Biological Process	GO:0044248, GO:0046483	cellular catabolic process, heterocycle metabolic process	0.08	1	TR11263 c0_g2_11
5	GO:0009059	macromolecule biosynthetic process	Biological Process	GO:0043170, GO:1901576	macromolecule metabolic process, organic substance biosynthetic process	0.58	2	TR51223 c0_g1_11, TR3737 c0_g1_i2
5	GO:0010467	gene expression	Biological Process	GO:0043170	macromolecule metabolic process	0.96	2	TR51223 c0_g1_11, TR3737 c0_g1_i2
5	GO:0051252	regulation of RNA metabolic process	Biological Process	GO:0016070, GO:0060255, GO:0019219	RNA metabolic process, regulation of macromolecule metabolic process, regulation of nucleobase-containing compound metabolic process	3.22	3	TR11263 c0_g2_11, TR3737 c0_g1_i2, TR14051 c0_g1_11
5	GO:0034655	nucleobase-containing compound catabolic process	Biological Process	GO:0019439, GO:0044270, GO:0046700, GO:0006139, GO:1901361	aromatic compound catabolic process, cellular nitrogen compound catabolic process, heterocycle catabolic process, nucleobase-containing compound metabolic process, organic cyclic compound catabolic process	0.13	1	TR11263 c0_g2_11

ตารางที่ 3-20 (ต่อ) gene ontology biological process ในกลุ่มที่ 2/2

Level	GO ID	GO Name	GO Type	Parents (ACC)	Parents (Name)	Nodescore	#Seqs	Sequence Names
5	GO:0006631	fatty acid metabolic process	Biological Process	GO:0032787, GO:0044255	monocarboxylic acid metabolic process, cellular lipid metabolic process	0.22	1	TR16718 c0_g1_i1
5	GO:0016054	organic acid catabolic process	Biological Process	GO:0044248, GO:0044282, GO:1901575, GO:0006082	cellular catabolic process, small molecule catabolic process, organic substance catabolic process, organic acid metabolic process	0.08	1	TR16718 c0_g1_i1
5	GO:0031326	regulation of cellular biosynthetic process	Biological Process	GO:0009889, GO:0044249, GO:0031323	regulation of biosynthetic process, cellular biosynthetic process, regulation of cellular metabolic process	0.36	1	TR3737 c0_g1_i2
5	GO:0090304	nucleic acid metabolic process	Biological Process	GO:0043170, GO:0006139	macromolecule metabolic process, nucleobase-containing compound metabolic process	1.45	3	TR11263 c0_g2_i1, TR3737 c0_g1_i2, TR14051 c0_g1_i1
5	GO:0022904	respiratory electron transport chain	Biological Process	GO:0022900, GO:0045333	electron transport chain, cellular respiration	1	1	TR16718 c0_g1_i1
5	GO:0034440	lipid oxidation	Biological Process	GO:0055114, GO:0030258	oxidation-reduction process, lipid modification	0.22	1	TR16718 c0_g1_i1
5	GO:0009057	macromolecule catabolic process	Biological Process	GO:1901575, GO:0043170	organic substance catabolic process, macromolecule metabolic process	0.08	1	TR11263 c0_g2_i1

ตารางที่ 3-20 (ต่อ) gene ontology biological process ในกลุ่มที่ 2/2

Level	GO ID	GO Name	GO Type	Parents (ACC)	Parents (Name)	Nodescore	#Seqs	Sequence Names
5	GO:0034654	nucleobase-containing compound biosynthetic process	Biological Process	GO:0044271, GO:1901362, GO:0019438, GO:0006139, GO:0018130	cellular nitrogen compound biosynthetic process, organic cyclic compound biosynthetic process, aromatic compound biosynthetic process, nucleobase-containing compound metabolic process, compound metabolic process, heterocycle biosynthetic process	0.13	1	TR3737 c0_g1_i2
5	GO:0045333	cellular respiration	Biological Process	GO:0015980	energy derivation by oxidation of organic compounds	0.6	1	TR16718 c0_g1_i1
5	GO:0010468	regulation of gene expression	Biological Process	GO:0060255, GO:0010467	regulation of macromolecule metabolic process, gene expression	0.6	1	TR3737 c0_g1_i2
5	GO:0044271	cellular nitrogen compound biosynthetic process	Biological Process	GO:0044249, GO:0034641	cellular biosynthetic process, cellular nitrogen compound metabolic process	0.29	2	TR51223 c0_g1_i1, TR3737 c0_g1_i2
5	GO:0019439	aromatic compound catabolic process	Biological Process	GO:0044248, GO:0006725	cellular catabolic process, cellular aromatic compound metabolic process	0.08	1	TR11263 c0_g2_i1
5	GO:0044242	cellular lipid catabolic process	Biological Process	GO:0044248, GO:0044255, GO:0016042	cellular catabolic process, cellular lipid metabolic process, lipid catabolic process	0.22	1	TR16718 c0_g1_i1

ตารางที่ 3-20 (ต่อ) gene ontology biological process ในกลุ่มที่ 2/2

Level	GO ID	GO Name	GO Type	Parents (ACC)	Parents (Name)	Nodescore	#Seqs	Sequence Names
5	GO:0016042	lipid catabolic process	Biological Process	GO:0006629, GO:0044712, GO:1901575	lipid metabolic process, single-organism catabolic process, organic substance catabolic process	0.13	1	TR16718 c0_g1_i1
5	GO:0019438	aromatic compound biosynthetic process	Biological Process	GO:0044249, GO:0006725	cellular biosynthetic process, cellular aromatic compound metabolic process	0.08	1	TR3737 c0_g1_i2
5	GO:0043603	cellular amide metabolic process	Biological Process	GO:0034641	cellular nitrogen compound metabolic process	0.22	1	TR51223 c0_g1_i1
5	GO:1901362	organic cyclic compound biosynthetic process	Biological Process	GO:1901576, GO:1901360	organic substance biosynthetic process, organic cyclic compound metabolic process	0.08	1	TR3737 c0_g1_i2
5	GO:0030258	lipid modification	Biological Process	GO:0044255	cellular lipid metabolic process	0.13	1	TR16718 c0_g1_i1
5	GO:0016070	RNA metabolic process	Biological Process	GO:0090304, GO:0044260	nucleic acid metabolic process, cellular macromolecule metabolic process	2.42	3	TR11263 c0_g2_i1, TR3737 c0_g1_i2, TR14051 c0_g1_i1
5	GO:0010556	regulation of macromolecule biosynthetic process	Biological Process	GO:0009889, GO:0060255, GO:0009059	regulation of biosynthetic process, regulation of macromolecule metabolic process, macromolecule biosynthetic process	0.36	1	TR3737 c0_g1_i2
5	GO:00044267	cellular protein metabolic process	Biological Process	GO:0019538, GO:0044260	protein metabolic process, cellular macromolecule metabolic process	0.6	1	TR51223 c0_g1_i1

ตารางที่ 3-20 (ต่อ) gene ontology biological process ในตั้งที่ 2/2

Level	GO ID	GO Name	GO Type	Parents (ACC)	Parents (Name)	Nodescore	#Seqs	Sequence Names
5	GO:0044282	small molecule catabolic process	Biological Process	GO:0044712, GO:0044281	single-organism catabolic process, small molecule metabolic process	0.05	1	TR16718 c0_g1_i1
5	GO:1901566	organonitrogen compound biosynthetic process	Biological Process	GO:1901564, GO:1901576	organonitrogen compound metabolic process, organic substance biosynthetic process	0.36	1	TR51223 c0_g1_i1
5	GO:0042254	ribosome biogenesis	Biological Process	GO:0022613	ribonucleoprotein complex biogenesis	1	1	TR51223 c0_g1_i1
5	GO:0044265	cellular macromolecule catabolic process	Biological Process	GO:0044248, GO:0009057, GO:0044260	cellular catabolic process, macromolecule catabolic process, cellular macromolecule metabolic process	0.13	1	TR11263 c0_g2_i1
5	GO:0019219	regulation of nucleobase-containing compound metabolic process	Biological Process	GO:0080090, GO:0031323, GO:0051171, GO:006139	regulation of primary metabolic process, regulation of cellular metabolic process, regulation of nitrogen compound metabolic process, nucleobase-containing compound metabolic process	1.93	3	TR11263 c0_g2_i1, TR3737 c0_g1_i2, TR14051 c0_g1_i1
5	GO:1901361	organic cyclic compound catabolic process	Biological Process	GO:1901575, GO:1901360	organic substance catabolic process, organic cyclic compound metabolic process	0.08	1	TR11263 c0_g2_i1
5	GO:0018130	heterocycle biosynthetic process	Biological Process	GO:0044249, GO:0046483	cellular biosynthetic process, heterocycle metabolic process	0.08	1	TR3737 c0_g1_i2

### ตารางที่ 3-20 (ต่อ) gene ontology biological process ในตั้งมุท 2/2

Level	GO ID	GO Name	GO Type	Parents (ACC)	Parents (Name)	Nodescore	#Seqs	Sequence Names
5	GO:0013436	oxocacid metabolic process	Biological Process	GO:0006082	organic acid metabolic process	0.05	1	TR16718 c0_g1_i1
5	GO:0034645	cellular macromolecule biosynthetic process	Biological Process	GO:0044249, GO:0009059, GO:0044260	cellular biosynthetic process, macromolecule biosynthetic process, cellular macromolecule metabolic process	0.96	2	TR51223 c0_g1_i1, TR3737 c0_g1_i2
6	GO:0090305	nucleic acid phosphodiester bond hydrolysis	Biological Process	GO:0090304	nucleic acid metabolic process	0.36	1	TR14051 c0_g1_i1
6	GO:2000112	regulation of cellular macromolecule biosynthetic process	Biological Process	GO:0031326, GO:0010556, GO:0034645	regulation of cellular biosynthetic process, regulation of macromolecule biosynthetic process, cellular macromolecule biosynthetic process	0.6	1	TR3737 c0_g1_i2
6	GO:0006351	transcription, DNA-templated	Biological Process	GO:00977659, GO:0010467, GO:0034645	nucleic acid templated transcription, gene expression, cellular macromolecule biosynthetic process	0.6	1	TR3737 c0_g1_i2
6	GO:0090501	RNA phosphodiester bond hydrolysis	Biological Process	GO:0016070, GO:0090305	RNA metabolic process, nucleic acid phosphodiester bond hydrolysis	0.6	1	TR14051 c0_g1_i1

ตารางที่ 3-20 (ต่อ) gene ontology biological process ในกลุ่มที่ 2/2

Level	GO ID	GO Name	GO Type	Parents (ACC)	Parents (Name)	Nodescore	#Seqs	Sequence Names
6	GO:0006355	regulation of transcription, DNA-templated	Biological Process	GO:1903506, GO:2000112, GO:0010468, GO:0006351	regulation of nucleic acid-templated transcription, regulation of cellular macromolecule biosynthetic process, regulation of gene expression, transcription, DNA-templated	1	1	TR3737 c0_g1_i2
6	GO:0043043	peptide biosynthetic process	Biological Process	GO:1901566, GO:0006518, GO:0043604	organonitrogen compound biosynthetic process, peptide metabolic process, amide biosynthetic process	0.6	1	TR51223 c0_g1_i1
6	GO:0006401	RNA catabolic process	Biological Process	GO:0016070, GO:0034655, GO:0044265	RNA metabolic process, nucleobase-containing compound catabolic process, cellular macromolecule catabolic process	0.22	1	TR11263 c0_g2_i1
6	GO:0043604	amide biosynthetic process	Biological Process	GO:0044271, GO:0043603	cellular nitrogen compound biosynthetic process, cellular amide metabolic process	0.36	1	TR51223 c0_g1_i1
6	GO:0016071	mRNA metabolic process	Biological Process	GO:0016070	RNA metabolic process	0.22	1	TR11263 c0_g2_i1
6	GO:0032774	RNA biosynthetic process	Biological Process	GO:0016070, GO:0034654, GO:0009059	RNA metabolic process, nucleobase-containing compound biosynthetic process, macromolecule biosynthetic process	0.22	1	TR3737 c0_g1_i2

ตารางที่ 3-20 (ต่อ) gene ontology biological process ในกลุ่มที่ 2/2

Level	GO ID	GO Name	GO Type	Parents (ACC)	Parents (Name)	Nodescore	#Seqs	Sequence Names
6	GO:0046395	carboxylic acid catabolic process	Biological Process	GO:0019752, GO:0016054	carboxylic acid metabolic process, organic acid catabolic process	0.13	1	TR16718 c0_g1_i1
6	GO:0019395	fatty acid oxidation	Biological Process	GO:0006631, GO:0034440	fatty acid metabolic process, lipid oxidation	0.36	1	TR16718 c0_g1_i1
6	GO:2001141	regulation of RNA biosynthetic process	Biological Process	GO:0031326, GO:0032774, GO:0010556, GO:0051252	regulation of cellular biosynthetic process, RNA biosynthetic process, regulation of macromolecule biosynthetic process, regulation of RNA metabolic process	0.36	1	TR3737 c0_g1_i2
6	GO:0019752	carboxylic acid metabolic process	Biological Process	GO:0043436	oxoacid metabolic process	0.08	1	TR16718 c0_g1_i1
6	GO:0009062	fatty acid catabolic process	Biological Process	GO:0006631, GO:0044242, GO:0072329	fatty acid metabolic process, cellular lipid catabolic process, monocarboxylic acid catabolic process	0.36	1	TR16718 c0_g1_i1
6	GO:0006412	translation	Biological Process	GO:0044267, GO:0043043, GO:0010467, GO:0034645	cellular protein metabolic process, peptide biosynthetic process, gene expression, cellular macromolecule biosynthetic process	1	1	TR51223 c0_g1_i1
7	GO:0032787	monocarboxylic acid metabolic process	Biological Process	GO:0019752	carboxylic acid metabolic process	0.13	1	TR16718 c0_g1_i1

ตารางที่ 3-20 (ต่อ) gene ontology biological process ในตั้งมูล 2/2

Level	GO ID	GO Name	GO Type	Parents (ACC)	Parents (Name)	Nodescore	#Seqs	Sequence Names
7	GO:0006402	mRNA catabolic process	Biological Process	GO:0016071, GO:0006401	mRNA metabolic process, RNA catabolic process	0.36	1	TR11263 c0_g2_11
7	GO:1903506	regulation of nucleic acid-templated transcription	Biological Process	GO:20011141, GO:0097659	regulation of RNA biosynthetic process, nucleic acid-templated transcription	0.6	1	TR3737 c0_g1_i2
7	GO:0006635	fatty acid beta-oxidation	Biological Process	GO:0009062, GO:0019395	fatty acid catabolic process, fatty acid oxidation	0.6	1	TR16718 c0_g1_11
7	GO:0097659	nucleic acid-templated transcription	Biological Process	GO:0032774	RNA biosynthetic process	0.36	1	TR3737 c0_g1_i2
7	GO:0090503	RNA phosphodiester bond hydrolysis; exonuclease	Biological Process	GO:0090501	RNA phosphodiester bond hydrolysis	1	1	TR14051 c0_g1_11
7	GO:0072329	monocarboxylic acid catabolic process	Biological Process	GO:0032787, GO:0046395	monocarboxylic acid metabolic process, carboxylic acid catabolic process	0.22	1	TR16718 c0_g1_11
8	GO:000956	nuclear-transcribed mRNA catabolic process	Biological Process	GO:0006402	mRNA catabolic process	0.6	1	TR11263 c0_g2_11
8	GO:0033539	fatty acid beta-oxidation using acyl-CoA dehydrogenase	Biological Process	GO:0006635	fatty acid beta-oxidation	1	1	TR16718 c0_g1_11

ตารางที่ 3-20 (ต่อ) gene ontology biological process ในกลุ่มที่ 2/2

Level	GO ID	GO Name	GO Type	Parents (ACC)	Parents (Name)	Nodescore	#Seqs	Sequence Names
9	GO:0000289	nuclear-transcribed mRNA poly(A) tail shortening	Biological Process	GO:0000956, GO:0000288	nuclear-transcribed mRNA catabolic process, nuclear-transcribed mRNA catabolic process, deadenylation-dependent decay	1	1	TR11263 c0_g2_11
9	GO:0000288	nuclear-transcribed mRNA catabolic process, deadenylation-dependent decay	Biological Process	GO:0000956	nuclear-transcribed mRNA catabolic process	0.6	1	TR11263 c0_g2_11

### ตารางที่ 3-21 gene ontology molecular function ในกลุ่มที่ 2/2

Level	GO ID	GO Name	GO Type	Parents (ACC)	Parents (Name)	Nodescore	#Seps	Sequence Names
1	GO:0003674	molecular_function	Molecular Function			2.53	6	TR11263 c0_g2_i1, TR51223 c0_g1_i1, TR18983 c0_g2_i1, TR3737 c0_g1_i2,
2	GO:0005488	binding	Molecular Function	GO:0003674	molecular_function	2.41	5	TR14051 c0_g1_i1, TR16718 c0_g1_i1, TR11263 c0_g2_i1, TR18983 c0_g1_i1, TR3737 c0_g1_i2, TR14051 c0_g1_i1
2	GO:0009055	electron carrier activity	Molecular Function	GO:0003674	molecular_function	1	1	TR16718 c0_g1_i1
2	GO:0003624	catalytic activity	Molecular Function	GO:0003674	molecular_function	0.2	3	TR11263 c0_g2_i1, TR14051 c0_g1_i1, TR16718 c0_g1_i1
2	GO:0005198	structural molecule activity	Molecular Function	GO:0003674	molecular_function	0.6	1	TR51223 c0_g1_i1
3	GO:0016787	hydrolase activity	Molecular Function	GO:0003824	catalytic activity	0.12	2	TR11263 c0_g2_i1, TR14051 c0_g1_i1
3	GO:0097159	organic cyclic compound binding	Molecular Function	GO:0005488	binding	2.16	3	TR11263 c0_g2_i1, TR3737 c0_g1_i2, TR14051 c0_g1_i1
3	GO:0043167	ion binding	Molecular Function	GO:0005488	binding	0.13	1	TR14051 c0_g1_i1
3	GO:0003735	structural constituent of ribosome	Molecular Function	GO:0005198	structural molecule activity	1	1	TR51223 c0_g1_i1
3	GO:0016491	oxidoreductase activity	Molecular Function	GO:0003824	catalytic activity	0.22	1	TR16718 c0_g1_i1
3	GO:0051540	metal cluster binding	Molecular Function	GO:0005488	binding	0.36	1	TR16718 c0_g1_i1
3	GO:1901363	heterocyclic compound binding	Molecular Function	GO:0005488	binding	2.16	3	TR11263 c0_g2_i1, TR3737 c0_g1_i2, TR14051 c0_g1_i1
3	GO:0005515	protein binding	Molecular Function	GO:0005488	binding	1	1	TR18983 c0_g2_i1
3	GO:00048037	cofactor binding	Molecular Function	GO:0005488	binding	0.36	1	TR16718 c0_g1_i1

ตารางที่ 3-21 (ต่อ) gene ontology molecular function ในกลุ่มที่ 2/2

Level	GO ID	GO Name	GO Type	Parents (ACC)	Parents (Name)	Nodesc ore	#Seqs	Sequence Names
4	GO:0048038	quinone binding	Molecular Function	GO:0048037	cofactor binding	0.6	1	TR16718 c0_g1_i1
4	GO:0016645	oxidoreductase activity, acting on the CH-NH group of donors	Molecular Function	GO:0016491	oxidoreductase activity	0.36	1	TR16718 c0_g1_i1
4	GO:0003676	nucleic acid binding	Molecular Function	GO:1901363, GO:0097159	heterocyclic compound binding, organic cyclic compound binding	3.6	3	TR11263 c0_g2_i1, TR3737 c0_g1_i2, TR14051 c0_g1_i1
4	GO:0043169	cation binding	Molecular Function	GO:0043167	ion binding	0.22	1	TR14051 c0_g1_i1
4	GO:0016788	hydrolase activity, acting on ester bonds	Molecular Function	GO:0016787	hydrolase activity	0.21	2	TR11263 c0_g2_i1, TR14051 c0_g1_i1
4	GO:0051536	iron-sulfur cluster binding	Molecular Function	GO:0051540	metal cluster binding	0.6	1	TR16718 c0_g1_i1
5	GO:0004518	nuclease activity	Molecular Function	GO:0016788	hydrolase activity, acting on ester bonds	0.35	2	TR11263 c0_g2_i1, TR14051 c0_g1_i1
5	GO:0046872	metal ion binding	Molecular Function	GO:0043169	cation binding	0.36	1	TR14051 c0_g1_i1
5	GO:0051539	4 iron, 4 sulfur cluster binding	Molecular Function	GO:0051536	iron-sulfur cluster binding	1	1	TR16718 c0_g1_i1
5	GO:0016649	oxidoreductase activity, acting on the CH-NH group of donors, quinone or similar compound as acceptor	Molecular Function	GO:0016645	oxidoreductase activity, acting on the CH-NH group of donors	0.6	1	TR16718 c0_g1_i1
5	GO:0048039	ubiquinone binding	Molecular Function	GO:0048038	quinone binding	1	1	TR16718 c0_g1_i1
5	GO:0003677	DNA binding	Molecular Function	GO:0003676	nucleic acid binding	1	1	TR3737 c0_g1_i2
6	GO:0046914	transition metal ion binding	Molecular Function	GO:0046872	metal ion binding	0.6	1	TR14051 c0_g1_i1
6	GO:0004527	exonuclease activity	Molecular Function	GO:0004518	nuclease activity	0.58	2	TR11263 c0_g2_i1, TR14051 c0_g1_i1

ตารางที่ 3-21 (ต่อ) gene ontology molecular function ในกลุ่มที่ 2/2

Level	GO ID	GO Name	GO Type	Parents (ACC)	Parents (Name)	Nodesc ore	#Seqs	Sequence Names
6	GO:0004540	ribonuclease activity	Molecular Function	GO:0004518	nuclease activity	0.35	2	TR11263 c0_g2_i1, TR14051 c0_g1_i1
6	GO:0004174	electron-transferring-flavoprotein dehydrogenase activity	Molecular Function	GO:0016649	oxidoreductase activity, acting on the CH-NH group of donors, quinone or similar compound as acceptor	1	1	TR16718 c0_g1_i1
7	GO:0008270	zinc ion binding	Molecular Function	GO:0046914	transition metal ion binding	1	1	TR14051 c0_g1_i1
7	GO:0008408	3'-5' exonuclease activity	Molecular Function	GO:0004527	exonuclease activity	0.36	1	TR11263 c0_g2_i1
7	GO:0008409	5'-3' exonuclease activity	Molecular Function	GO:0004527	exonuclease activity	0.6	1	TR14051 c0_g1_i1
7	GO:0004532	exoribonuclease activity	Molecular Function	GO:0004527, GO:0004540	exonuclease activity, ribonuclease activity	0.58	2	TR11263 c0_g2_i1, TR14051 c0_g1_i1
7	GO:0016796	exonuclease activity, active with either ribo- or deoxyribonucleic acids and producing 5'-phosphomonoesters	Molecular Function	GO:0004527	exonuclease activity	0.58	2	TR11263 c0_g2_i1, TR14051 c0_g1_i1
8	GO:0004534	5'-3' exoribonuclease activity	Molecular Function	GO:0016896, GO:0008409	exoribonuclease activity, producing 5'-phosphomonoesters, 5'-3'	1	1	TR14051 c0_g1_i1
8	GO:0000175	3'-5'-exoribonuclease activity	Molecular Function	GO:0016896, GO:0008408	exoribonuclease activity, producing 5'-phosphomonoesters, 3'-5'	0.6	1	TR11263 c0_g2_i1

ตารางที่ 3-21 (ต่อ) gene ontology molecular function ในกลุ่มที่ 2/2

Level	GO ID	GO Name	GO Type	Parents (ACC)	Parents (Name)	NodeScore	#Seqs	Sequence Names
8	GO:0016896	exoribonuclease activity, producing 5'- phosphomonoesters	Molecular Function	GO:0004532, GO:0016796	exoribonuclease activity; exonuclease activity, active with either ribo- or deoxyribonucleic acids and producing 5'- phosphomonoesters	0.96	2	TR11263 c0_g2_i1, TR14051 c0_g1_i1
9	GO:0004535	poly(A)-specific ribonuclease activity	Molecular Function	GO:0000175	3'-5'-exoribonuclease activity	1	1	TR11263 c0_g2_i1

ตารางที่ 3-22 gene ontology cellular component ในกลุ่มที่ 2/2

Level	GO ID	GO Name	GO Type	Parents (ACC)	Parents (Name)	Nodescore	#Seqs	Sequence Names
1	GO:0005575	cellular_component	Cellular Component	GO:0005575, GO:0016020	cellular_component, membrane	2.57	6	TR11674 c0_g2_i1, TR51223 c0_g1_i1, TR18983 c0_g2_i1, TR32997 c0_g1_i1,
2	GO:0044425	membrane part	Cellular Component	GO:0005623, GO:0005575	cell, cellular_component	0.85	2	TR14051 c0_g1_i1, TR16718 c0_g1_i1 TR11674 c0_g2_i1, TR16718 c0_g1_i1
2	GO:0044464	cell part	Cellular Component	GO:0005623, GO:0005575	cellular_component	2.88	4	TR51223 c0_g1_i1, TR18983 c0_g2_i1, TR14051 c0_g1_i1, TR16718 c0_g1_i1
2	GO:0043226	organelle	Cellular Component	GO:0005575	cellular_component	0.51	3	TR51223 c0_g1_i1, TR14051 c0_g1_i1, TR16718 c0_g1_i1
2	GO:0005576	extracellular region	Cellular Component	GO:0005575	cellular_component	0.36	1	TR32997 c0_g1_i1
2	GO:0044422	organelle part	Cellular Component	GO:0043226, GO:0005575	organelle, cellular_component	0.13	1	TR16718 c0_g1_i1
2	GO:0044421	extracellular region part	Cellular Component	GO:0005576, GO:0005575	extracellular region, cellular_component	0.6	1	TR32997 c0_g1_i1
2	GO:0005623	cell	Cellular Component	GO:0005575	cellular_component	1.73	4	TR51223 c0_g1_i1, TR18983 c0_g2_i1, TR14051 c0_g1_i1, TR16718 c0_g1_i1
2	GO:0016020	membrane	Cellular Component	GO:0005575	cellular_component	0.56	2	TR11674 c0_g2_i1, TR16718 c0_g1_i1
2	GO:0032991	macromolecular complex	Cellular Component	GO:0005575	cellular_component	0.22	1	TR51223 c0_g1_i1
3	GO:0044466	intracellular organelle part	Cellular Component	GO:0044422, GO:0043229, GO:0044424	organelle part, intracellular organelle, intracellular part	0.13	1	TR16718 c0_g1_i1

ตารางที่ 4-22 (ต่อ) gene ontology cellular component ในกลุ่มที่ 2/2

Level	GO ID	GO Name	GO Type	Parents (ACC)	Parents (Name)	Nodescore	#Seqs	Sequence Names
3	GO:1990904	ribonucleoprotein complex	Cellular Component	GO:0032991	macromolecular complex	0.36	1	TR51223 c0_g1_i1
3	GO:0031300	intrinsic component of organelle membrane	Cellular Component	GO:0031224, GO:0044422, GO:0031090	intrinsic component of membrane, organelle part, organelle membrane	0.22	1	TR16718 c0_g1_i1
3	GO:0031975	envelope	Cellular Component	GO:0044464	cell part	0.13	1	TR16718 c0_g1_i1
3	GO:0044424	intracellular part	Cellular Component	GO:0044464, GO:0005622	cell part, intracellular	0.79	3	TR51223 c0_g1_i1, TR14051 c0_g1_i1, TR16718 c0_g1_i1
3	GO:0043227	membrane-bound organelle	Cellular Component	GO:0043226	organelle	0.49	2	TR14051 c0_g1_i1, TR16718 c0_g1_i1
3	GO:0043228	non-membrane-bound organelle	Cellular Component	GO:0043226	organelle	0.36	1	TR51223 c0_g1_i1
3	GO:0043229	intracellular organelle	Cellular Component	GO:0043226, GO:0044424	organelle, intracellular part	0.8	3	TR51223 c0_g1_i1, TR14051 c0_g1_i1, TR16718 c0_g1_i1
3	GO:0044455	mitochondrial membrane part	Cellular Component	GO:0031966, GO:0044425, GO:0044429	mitochondrial membrane, membrane part, mitochondrial part	0.22	1	TR16718 c0_g1_i1
3	GO:0005622	intracellular	Cellular Component	GO:0044464	cell part	4.48	4	TR51223 c0_g1_i1, TR18983 c0_g2_i1, TR14051 c0_g1_i1, TR16718 c0_g1_i1
3	GO:0005615	extracellular space	Cellular Component	GO:0044421	extracellular region part	1	1	TR32997 c0_g1_i1
3	GO:0031224	intrinsic component of membrane	Cellular Component	GO:0044425	membrane part	1.33	2	TR11674 c0_g2_i1, TR16718 c0_g1_i1

ตารางที่ 3-22 (ต่อ) gene ontology cellular component ในกลุ่มที่ 2/2

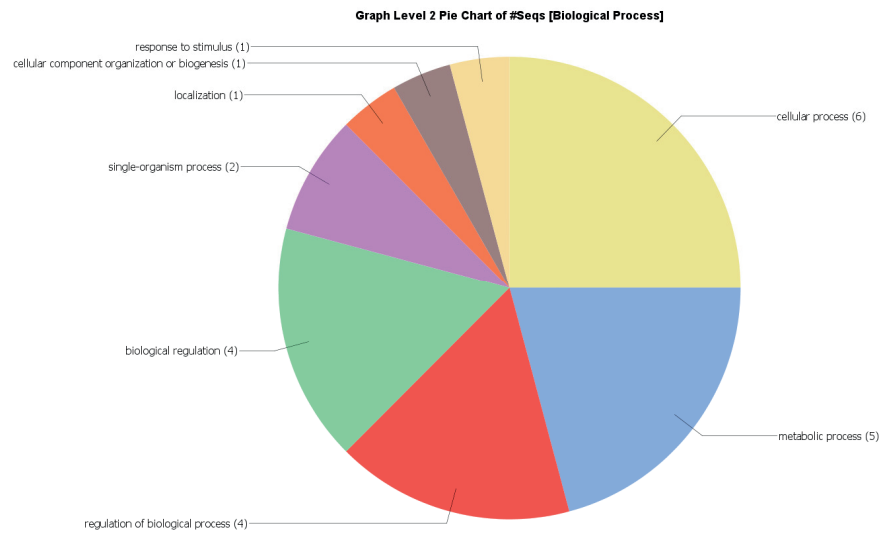
Level	GO ID	GO Name	GO Type	Parents (ACC)	Parents (Name)	Nodescore	#Seqs	Sequence Names
3	GO:0031090	organelle membrane	Cellular Component	GO:0043227, GO:0016020, GO:0044422	membrane-bounded organelle, membrane, organelle part	0.22	1	TR16718 c0_g1_i1
4	GO:0031301	integral component of organelle membrane	Cellular Component	GO:0016021, GO:0031300, GO:0031090	integral component of membrane, intrinsic component of organelle membrane, organelle membrane	0.36	1	TR16718 c0_g1_i1
4	GO:0044429	mitochondrial part	Cellular Component	GO:0005739, GO:0044446, GO:0044444	mitochondrion, intracellular organelle part, cytoplasmic part	0.22	1	TR16718 c0_g1_i1
4	GO:0019866	organelle inner membrane	Cellular Component	GO:0031967, GO:0031090, GO:0044424	organelle envelope, organelle membrane, intracellular part	0.36	1	TR16718 c0_g1_i1
4	GO:0030529	intracellular ribonucleoprotein complex	Cellular Component	GO:1990904, GO:0044424	ribonucleoprotein complex, intracellular part	0.6	1	TR51223 c0_g1_i1
4	GO:0016021	integral component of membrane	Cellular Component	GO:0031224	intrinsic component of membrane	2.22	2	TR11674 c0_g2_i1, TR16718 c0_g1_i1
4	GO:0043232	intracellular non-membrane-bounded organelle	Cellular Component	GO:0043228, GO:004229	non-membrane-bounded organelle, intracellular organelle	0.6	1	TR51223 c0_g1_i1
4	GO:0044444	cytoplasmic part	Cellular Component	GO:0005737, GO:0044424	cytoplasm, intracellular part	0.73	2	TR51223 c0_g1_i1, TR16718 c0_g1_i1

ตารางที่ 3-22 (ต่อ) gene ontology cellular component ในกลุ่มที่ 2/2

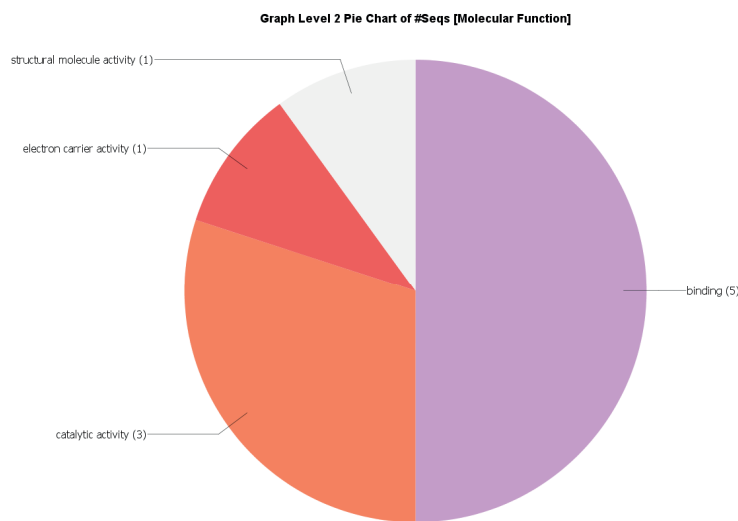
Level	GO ID	GO Name	GO Type	Parents (ACC)	Parents (Name)	Nodescore	#Seqs	Sequence Names
4	GO:0031967	organelle envelope	Cellular Component	GO:0042227, GO:004446,	membrane-bounded organelle, intracellular	0.22	1	TR16718 c0_g1_i1
4	GO:0031966	mitochondrial membrane	Cellular Component	GO:0005740, GO:0044429, GO:0031090	mitochondrial envelope, mitochondrial part, organelle membrane	0.36	1	TR16718 c0_g1_i1
4	GO:0098573	intrinsic component of mitochondrial membrane	Cellular Component	GO:0031966, GO:0031300, GO:004455	mitochondrial membrane, intrinsic component of organelle membrane, mitochondrial membrane	0.36	1	TR16718 c0_g1_i1
4	GO:0005737	cytoplasm	Cellular Component	GO:0044424	intracellular part	0.44	2	TR51223 c0_g1_i1, TR16718 c0_g1_i1
4	GO:0043231	intracellular membrane-bounded organelle	Cellular Component	GO:0042227, GO:0043229	membrane-bounded organelle, intracellular	0.68	2	TR14051 c0_g1_i1, TR16718 c0_g1_i1
5	GO:0005739	mitochondrion	Cellular Component	GO:0042231, GO:0044444	intracellular membrane-bounded organelle, cytoplasmic part	0.13	1	TR16718 c0_g1_i1
5	GO:0031304	intrinsic component of mitochondrial inner membrane	Cellular Component	GO:0098573, GO:0005743	intrinsic component of mitochondrial membrane, mitochondrial inner	0.6	1	TR16718 c0_g1_i1
5	GO:0005840	ribosome	Cellular Component	GO:0030529, GO:0043232, GO:0044444	intracellular ribonucleoprotein complex, intracellular non-membrane-bounded organelle, cytoplasmic part	1	1	TR51223 c0_g1_i1

ตารางที่ 3-22 (ต่อ) gene ontology cellular component ในกลุ่มที่ 2/2

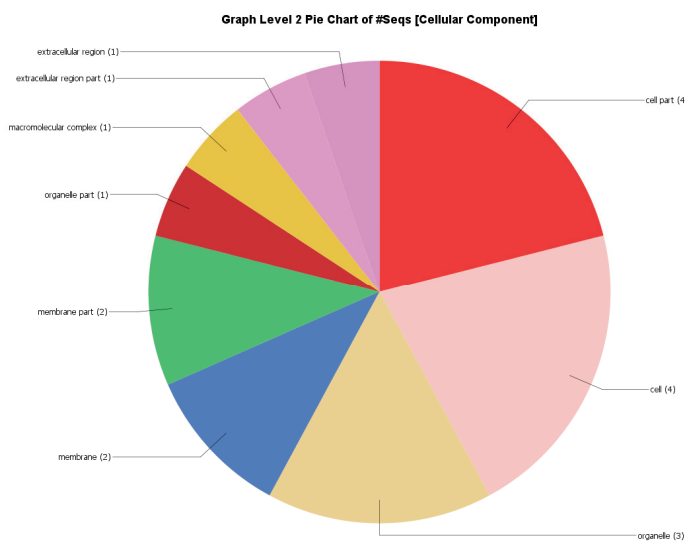
Level	GO ID	GO Name	GO Type	Parents (ACC)	Parents (Name)	Nodescore	#Seqs	Sequence Names
5	GO:0005743	mitochondrial inner membrane	Cellular Component	GO:0031966, GO:0019866	mitochondrial membrane, organelle inner membrane	0.6	1	TR16718 c0_g1_i1
5	GO:00032592	integral component of mitochondrial membrane	Cellular Component	GO:0031966, GO:0031301, GO:0098573	mitochondrial membrane, integral component of organelle membrane, intrinsic component of mitochondrial membrane	0.6	1	TR16718 c0_g1_i1
5	GO:0005634	nucleus	Cellular Component	GO:004231	intracellular membrane- bounded organelle	1	1	TR14051 c0_g1_i1
5	GO:0005740	mitochondrial envelope	Cellular Component	GO:0044429, GO:0031967	mitochondrial part, organelle envelope	0.22	1	TR16718 c0_g1_i1
6	GO:0031305	integral component of mitochondrial inner membrane	Cellular Component	GO:0032592, GO:0031304, GO:0005743	integral component of mitochondrial membrane, intrinsic component of mitochondrial inner membrane, mitochondrial inner membrane	1	1	TR16718 c0_g1_i1



ภาพที่ 3-17 องค์ประกอบหน้าที่ของ transcripts ในส่วน biological process ในกลุ่มที่ 2/2



ภาพที่ 3-18 องค์ประกอบหน้าที่ของ transcripts ในส่วน molecular function ในกลุ่มที่ 2/2



ภาพที่ 3-19 องค์ประกอบหน้าที่ของ transcripts ในส่วน cellular component ในกลุ่มที่ 2/2

### 3.3 การศึกษาลำดับนิวคลีโอไทด์เพื่อยืนยันในรังไข่กั้งตักแต่นหางจุด

#### 3.3.1 ยืนไว้เทลโลเจนิน

จากการหาลำดับนิวคลีโอไทด์เพื่อยืนยันของยืนไว้เทลโลเจนิน และเปรียบเทียบลำดับนิวคลีโอไทด์ของชั้นดีเอ็นเอจากรังไข่กั้งตักแต่นหางจุดที่ได้จากเทคนิคเอ็นจีเอสกับข้อมูลในห้องสมุดยืนด้วยวิธี blastX พบว่ามีความคล้ายกับยืน vitellogenin ในรังตักแต่นหาง *Oratosquilla oratoria*, ในปูม้า *Portunus trituberculatus*, ในปูขาว *Scylla paramamosain*, ในปูสีน้ำเงิน *Callinectes sapidus*, ในกุ้งแซบวัย *Fenneropenaeus chinensis*, ในกุ้งครุภู่ *Marsupenaeus japonicas*, ในกุ้ง *Palaemon carinicauda*, ในกุ้งก้ามกราม *Macrobrachium rosenbergii*, ในกุ้งแดง *Pandalus hypsinotus*, ในกุ้ง *Pandalopsis japonica* ดังตารางที่ 3-23

ตารางที่ 3-23 การเปรียบเทียบลำดับนิวคลีโอไทด์ที่ได้กับข้อมูลในห้องสมุดยืนด้วยวิธี blastX

Description	Max score	Total score	Query cover	E -value	Identity
vitellogenin [ <i>Oratosquilla oratoria</i> ]	1999	1999	97%	0.0	45%
vitellogenin [ <i>Portunus trituberculatus</i> ]	674	674	96%	0.0	25%
vitellogenin [ <i>Scylla paramamosain</i> ]	673	673	96%	0.0	25%
vitellogenin [ <i>Callinectes sapidus</i> ]	659	659	96%	0.0	25%
vitellogenin [ <i>Fenneropenaeus chinensis</i> ]	753	753	77%	0.0	27%
vitellogenin [ <i>Marsupenaeus japonicus</i> ]	667	832	73%	0.0	36%
vitellogenin [ <i>Palaemon carinicauda</i> ]	659	659	76%	0.0	27%
vitellogenin [ <i>Macrobrachium rosenbergii</i> ]	660	660	74%	0.0	28%
vitellogenin [ <i>Pandalus hypsinotus</i> ]	751	808	87%	0.0	29%
vitellogenin [ <i>Pandalopsis japonica</i> ]	722	722	78%	0.0	28%

จากการหาลำดับนิวคลีโอไทด์ทั้งหมดของยืนไว้เทลโลเจนินในรังไข่ของกั้งตักแต่นหางจุด พบร่วมลำดับนิวคลีโอไทด์ 7,667 คู่เบส และมีลำดับกรดอะมิโน 2,555 กรดอะมิโน โดยยืน Vitellogenin มี ตำแหน่งอยู่ในโดเมน LPD\_N มีค่า E-value เท่ากับ 1.07e-9, DUF1943 มีค่า E-value เท่ากับ 2.25e-51 และ VWD มีค่า Evalue เท่ากับ 0.00141 ดังตารางที่ 3-24 เมื่อนำมาเรียงลำดับด้วยโปรแกรม six frame translation ได้ผลดังภาพที่ 3-20

ตารางที่ 3-24 โดเมนที่พบบนยืนไว้เทลโลเจนินที่ได้จากเทคนิค Next generation sequencing technology ด้วยเครื่อง Illumina

Name	Start	End	E-value
Signal peptide	1	20	N/A
LPD_N	39	589	1.07e-9
DUF1943	621	935	2.25e-51
VWD	2310	2465	0.00141

```

-24: -----tggtgtgtctccagacagacatc :0
 1: ATGGCGCGAACACTCCTCCTCTCGCAGACCTTGCCTGCCTGACTGCCATGCA :60
 M A R T L L L V T T F C L A L T A H A
 61: GATCTCCGCGGTGTTCTGTCAGTGCCCGTAGCGGGAAATACAAACTCGGT[TACGTC] :120
 D L P R C S V E C P V V G N H K L G Y V
121: CCAGGACAGAGGTACCTCTACAAACAGAGTGGCGAATCTCCCTTGGTATGGCAGTGTG :180
 P G Q R Y L Y K Q S G E S S L W Y G S V
181: CAGGGAAAGCAAACGGACATGAAATGGAGCTCATAGTGAACGTGCGGTACACCC :240
 Q G S Q T D M K W S S I V E L S V L T P
241: TGCGACGTGGCCATCACCATCAAGGAGTCCAATGAACGGAAAGGACTCAAGCGCAGTG :300
 C D V A I T I K E F Q M N G K D S S A V
301: CCAGAGTTGGCGAGGTGTCGAGCGTCCCCATTATGGCATTAGCGATGGGAAGGTG :360
 P E L A E V S E R P L I M A I S D G K V
361: CAGCACGTGTGTCGATCCTGAGGACAACACGTGGCGTCAACGCAAAGATGAGTGTG :420
 Q H V C V D P E D N T W A V N A K M S V
421: GCCTCTTACCTCCAGAACACTCTCCATCCTCTCGAAATCAACAAGGAAACCATCATC :480
 A S Y L Q N T L P S F S E I N K E T I I
481: ACTGAGAGAGACATCCAAGGCAAGTGCACCAACTACACCCGTGACCTCCACTTCTCAA :540
 T E R D I Q G K C T T N Y T L T S T S Q
541: AGTGTATGTACACGTAGTTAACAGAGAACAAAGAGATGCGAGGACCGTTACTACCAAG :600
 S D V H V V K Q K D N K R C E D R Y Y Q
601: CCGTCTGAGACAAGCAACAACCTGCCGTGGCTCAACATGCCTCTCTGAAGTGTCC :660
 P S E T S N N L P W L N M P L P L E V S
661: AATTCAACTTGCACCAAACCATCAAGAACATGGCATCTACACTTCCGTATGTGTACCGAC :720
 N S T C H Q T I K N G I Y T S V M C T D
721: GTCAACGTCTCAAGCCCATGTACGGGGTCTACAAAATGTCAGCACAAACAGAAGTCC :780
 V N V L K P M Y G V Y Q N V T T K Q K S
781: ACCCTCAATTCCAATCCAAGGTCAGGTGATCCAGGCCCTCAAATCTCTTCAAAT :840
 T L Q F Q S K V Q V D P A L L K F S S N
841: CATCTGGTCAAGAAACAACCTCAAGTTCGACTATACCAACACCCAAGAACAGCAGCTT :900
 H L V K K Q L K F D Y T T P K K T S D V
901: CTACCCAAACTGGAGAAGCTCTCAAACAAATTCCCACAATGTCAGGAATCTGTCGAA :960
 L P K L E K L L K Q I S H N V Q E S V E
961: CCTGAAGCAGCCTCCCTTGCCATCAGGTGATGATTCTGCTCCGACAGCAGACTCC :1020
 P E A A S L V H Q V M I L L R H A P D S
1021: CAATTACAGTTATTCTCCAGAACATTCGCAAGGGCTCGTGCACGGCCACAACACGCAAAC :1080
 Q L Q V I L Q N I R S G A Y G H N T Q N
1081: CTCGAACACATCTACCTTGACGCTCTCACCTCCCTCGTGAGCCTGGAGTCGTCCTCGTC :1140
 L E H I Y L D A L T F L R E P G V V P V
1141: ATGGTGCAAGGAAATCTCGAAGGAAAGGCCTCGTGCAGAACACTGCCCTCTACGCCATG :1200
 M V Q E I S Q G K A S V A R T A L Y A M
1201: GCCATGCAACCTCTTGCCCGTCCCAATATCTGCCATCGAGTCGCTGGTCCCTCTTCC :1260
 A M H L L P R P N I F A I E S L V P L F
1261: CAGATGTCTAACCCCCCCTAACACGGTTCTTGGCTGCTGCTCCATGCTCAATACCTAC :1320
 Q M S Q P P K T V L L A A A S M L N T Y
1321: CTGCGCCAACACCCCTCACCATCAAGAAGAAAACCACGTGCAACAGATCATCGCCTGTC :1380
 L R Q H P H Q E E N H V Q Q I I S L V
1381: ACCACCAAAACTCCAAGGCCCTGCCAATGCTGCCACACCCGAGGAACGAGACCATGCCAAG :1440
 T T K L Q G L R N A A T P E E R D H A K
1441: CTCCTCTCAAGCTACTTCAATGTTGGCTACCTTCCAAAGAACACTGTTCCGTGTC :1500
 L L L K L L S N V G Y L P K K T V S V V
1501: CAGTCTTAATTATGGACAAGAGTGTGGACACCTCCATTCCGTGTCGGCAACCCAGACC :1560
 Q S L I M D K S V D T S I R V V A T Q T
1561: TCCAGACATATTCCCTGCAAGTTGGATCACCGAAACCTGTTGCACCCCTACAATGAT :1620
 S R H I P C K L L D H R N L L H P Y N D
1621: ACAGAGGAAAGCACGGAGATTGGATGCCCTCGTACCTAACGTGCCATTGCTGTGTCACC :1680
 T E E S T E I R I A S Y L S A I R C V T

```

ภาพที่ 3-20 ลำดับนิวคลีโอไทด์และกรดอะมิโนของยีนໄวเทลโลเจนินในรังไข่ของกั้งตึกแทนทางจุดเมื่อผ่านการ blastX โดยตัวอักษรพิมพ์เล็กคือลำดับนิวคลีโอไทด์ก่อนถึง start codon และหลัง stop codon โดยสัญลักษณ์เหลืองคือ Signal peptide, สีฟ้าคือโดเมน LPD\_N, สีเขียวคือโดเมน DUF1943, สีแดงคือ VWD, สีชมพูคือ Transcription termination signal และสีเทาคือPolyadenylation

1681:	<b>AACATGACGGAATTAAACCAAATAGTCCAGCGTGTAATTAACGAAACCAACATCCAGGTG</b>	:1740
N M T E L N Q I V Q R V I N E T N I Q V		
1741:	<b>CGCAGTCTGGTCATCACTCATCTGACC</b> AACCTCAGGAGACCAGTCGCCCAAGGAC	:1800
R S L V I T H L T N L Q E T S S P H K D		
1801:	CATCTCGTTATCTCTATCTACCACCGTTCTCCAACTGACTATGCTGGGACATCAGA	:1860
H L R Y L L S T T V L P T D Y A A D I R		
1861:	<b>AAAGTTCTCCAGAAACACAGAGCTCTTACTCTCCGCACTT</b> AGGCTGGGAGCCGA	:1920
K F S R N T E L S Y F L R T L G L G A E		
1921:	<b>ATCGAGTCGAACCTCGTCACTCACGTGAGGCGGCTCTCGCTCTCAACATGAAC</b>	:1980
I E S N L V Y S R E A V L P R S L N M N		
1981:	<b>GTGACACTCGACCTCTCGGAAATATGCTCAACGTGGCGGAAGTAGGTGCAAGACTGGAA</b>	:2040
V T L D L L G N M L N V A E V G A R L E		
2041:	<b>GGCTTCATTCACTTGTGGAGGGAGTATTGTCGCCGAAGGCTACTTGACGTCCACCCCT</b>	:2100
G F N S L V E G V F G P E G Y L T S T P		
2101:	<b>TGGGATCAGGTGTTGAGAGACATCAACCCCTTGGTGAAGAGGGACGATCCAACGTAGTA</b>	:2160
W D Q V L R D I N P F G E E G R S N V V		
2161:	<b>GAGATTGTCAACCAAATACTGAGTAGGACAACAGCGGGCTCTCGTCGAAATTAAAG</b>	:2220
E I V N Q I L S R T N S G S S S S E I K		
2221:	<b>AGTTTCCTCGAGAACAAAGTGCCTCTCGTCAGCACGAGAAAAGTCACCCGAGATTGAC</b>	:2280
S F L E N K V R S R Q H E K T S P E I D		
2281:	<b>CTGTACCTCGCCTTTGGTCAAGAGGTCTTTGCTTCTCACCTCTGATGTCCTC</b>	:2340
L Y L R L F G Q E V S F A S L T S D V L		
2341:	<b>CGACTCCTCCAGAAAAGCTCCACCACCTCTTCCATGACCTCATCACTTTCATC</b>	:2400
R L L Q Q K L S T T S L P S D L I T F I		
2401:	<b>GAGAAGGAGGTCTCTCCTACCTGGCCGACACCCAACTAAACATGGTCAGGGCTCTCCC</b>	:2460
E K E V L S Y L A D T Q L N M V R A L P		
2461:	<b>ATCAACTTGAATAACTATCCCCACCATGCAAGGTATTCCCTCTGACCTCTCCCTGAGC</b>	:2520
I N L E Y T I P T M Q G I P L D L S L S		
2521:	<b>GGTGCAGCTCTCGGCCTCAACTCAACTTCCACAGTCGACCTCTCCGCCGACAACCCC</b>	:2580
G A A V L G L N S T S T V D L S A D N P		
2581:	<b>AGGGGCGCGTCAAAGCTGTACCAAGCTTATCTTCACAGTCGACCTCTCCGCCGACAACCCC</b>	:2640
R G A V K A V P S L S L Q L E G F V G F		
2641:	<b>AAGTCATAATCAGACACGGCATCAAGATGGAGAACAGACTACACACCTCAACGGAGGA</b>	:2700
K S I I R H G I K M E N K L H T S N G G		
2701:	<b>CGTGTGAAAGTCGATGTCCAGAAAGGAAAATTGTCAAGATCCAGTGGACCCATTACCA</b>	:2760
R V E V D V Q K G K L V K I Q W T P L P		
2761:	<b>CATAAGTCAAACCTGCTTACTTCACAGCCAGACGAACTTGGTCAGGAATGGAGTCCA</b>	:2820
H K S N L L Y F N S Q T N L V K E W S P		
2821:	<b>GTGCTGCACAAACAACCACAAACAAATCATTCTCCTCAGCCTCAGGGAGACGTCTCTCCC</b>	:2880
V L H K Q P Q Q I I L P Q P Q G D V S P		
2881:	<b>TTCAAGGTGGACAAGTGCCTTGACCGCCTACAGCAGGATCTGGTTATCGAATCTGCTT</b>	:2940
F K V D K C L D R L Q Q D L G Y R I C F		
2941:	<b>AATGCCAACCTCCCCGATCTCATTGCAGTACTTCCGTACCCCTCGGTCAACCCATCCAG</b>	:3000
N A N F P D L I R S T S V P F G Q P I Q		
3001:	<b>GTCAACATCACTGCAGAAAAGACTGGAACACTCGACAAAGCTTTAGCTAACGGTATTG</b>	:3600
V N I T A E K T G T L D K A F S L T V L		
3611:	<b>ACTACTGGACAAAATGACCAAGGATATCTCCCTTGCTTGGAGACTCTGGTCAGGCC</b>	:3120
T T G Q N D H K D I S L V L E T P G Q A		
3121:	<b>GTAGCCAAGGCTAACTATAGAAACAAAGAAGACTCAAACATAATCTCCGTGTCATCAGC</b>	:3180
V A K A N Y R N K E D S N I I S V S I S		
3181:	<b>TCCTCTGCTTGAAGTATTCTGTCAGAGGCCACTTATCGTCAGTGCACAGATCGAGCTC</b>	:3240
S S V L K Y S V E S R L I V S D K I E L		
3241:	<b>ATTGTCATAGTAGGCCCTACTTCGACTCAAACCCACTACTCCTGCCTTACAACCTCTT</b>	:3330
I V H S S P T F D S K P T T P A L Q L L		
3301:	<b>TGGATTCTCGCAATTCCAAGGAATACATCCTGAAAGCTAGAACGGAAAACGATTGAGG</b>	:3360
W I S R N S K E Y I L K A R T E N D L R		

ภาพที่ 3-20 (ต่อ) ลำดับนิวคลีโอไทด์และกรดอะมิโนของยีนไวเทลโลเจนินในรังไข่ของกั้งตึกแทนทางจุดเมื่อผ่านการ blastX โดยตัวอักษรพิมพ์เล็กคือลำดับนิวคลีโอไทด์ก่อนถึง start codon และหลัง stop codon โดยสัญลักษณ์สีเหลืองคือ Signal peptide, สีฟ้าคือโดเมน LPD\_N, สีเขียวคือโดเมน DUF1943, สีแดงคือ VWD, สีชมพูคือ Transcription termination signal และสีเทาคือ Polyadenylation

3361: AAAATCATTCACTGGACGCTGATGTTGCCATCAAAATGAGTTATGAACCCCTACAGCTT :3420  
 K I I Q L D A D V A I K M S Y E P Y S F  
 3421: ATCCCAAGTGCTGCATGGTACACAAATGGATGGTATATGGCAAGGTGCTCACTGGAA :3480  
 I P S A V M V H K W M V Y G K V S H W E  
 3481: CTGCGTCAACAAGTGGAAACTCATCAGATATAACAGATTCCAGTTAACGTAAGCAAG :3540  
 L R Q Q V E T S S D I T D F Q F K L S K  
 3541: AAAGGAATAACCCCAAATTGACATTTCAGTCAGAAGACACCAATTCACTACGATTGAC :3600  
 K G I P Q I D I S V K K T P I H F T I D  
 3601: GGTTATACTGCAGTCACCCTTGGAACACAGGTATCAAGTCCATAGTGCACACTACATT :3660  
 G Y T A V T L W N T G I K S I V A L H L  
 3661: AATGACAAGGGAGTAAACGCCACCTGGGACGTCTCAATACAAGGTCACCGAGAAAGTT :3720  
 N D K G V N A T W D V L N T R S T E K V  
 3721: TTATATGCATCGGCTCTGGTCACTCGTCAAGAGCAGGGCAAAGTCTCTACGACTACCAC :3780  
 L Y A S A L V T R Q E Q G K V S Y D Y H  
 3801: ATTCAAATAACACATACCCAGCGACTGGATAAGGTCGACATCGAGGGTCGATCGAAAAG :3840  
 I Q I H I P S A L D K V D I E G R I E K  
 3841: GAGGACAGTCCAAGTATCACGTCAGGAAAAACCAAGTACCAAGAACCAAATCATATAC :3900  
 E D S S K Y H V E G K T K Y Q N Q I I Y  
 3901: ACAATCGGGTGTCTATCACACTAGATGTAACCGGAAGAGTGTATGTAATCTTGAGATC :3960  
 T I G G P I T L D V T G K S D V N L E I  
 3961: ACCGGGTCCAGCCATCGCTCATACAAATTCACTGGTCAACTCGAGAACATTGAGAAGAAA :4020  
 T G S S H R S Y K F I G Q L E N S E K K  
 4021: TTGATCTCGTTGTCGTGCAAACCCCTGACAACCCATTTCAGGCTGAGATCGAGAGC :4080  
 L I S V V V Q N P D N P I F K A E I E S  
 4081: GTTCCAAAAGAGTGTGGTGTAACTCATTCTAACGGCACTTGAAATCCCTCACTCATA :4140  
 V P K S D G G N L I L T A L E I P S L I  
 4141: AAGACTAAGATCAGTCCATCAGTCCAGGGATATCATCGACGTCTACATTTACAATAAC :4200  
 K T K I S F H Q S R D I I D V Y I Y N N  
 4201: CTCTCCCTGAGGGACAGTACGAAACAAACATCAAAGGATCCTACAGTCACAGCTTGTC :4260  
 L F P E G Q Y E Q T I K G S Y S H S F V  
 4261: GAGAATAAGGTCACTGCAATTCTCTGGAAAACCAGGAGTGGTGACCCACTGGAGATC :4320  
 E N K V T S N F L W K T R S G D P L E I  
 4321: AACATTGGAGACGAAATACGTTTAGAGAAAGGTGCTCCTTCACCCCTGCGCGGTGACTG :4380  
 N L E T K Y V L E K G A P F T L R G D L  
 4381: GTTTGAATGGCAGATCCCAGGGTACAACACAAAAATTGACATCTCCATCCTTCATG :4400  
 V L N G R S H G Y N T K I D I S I L P M  
 4401: TTTGAGGGTCAAATAAAATCAACTTGTGGACTACAGGCCACCGCAAGGGCTTGAA :4500  
 F E G Q N K I N F V W T T A T G K G F E  
 4501: ATTGTCGCTAACTTGGACAAGAAAATCCTCTCAGAAACACTCCCTGACTGGCTCACTT :4560  
 I V A N L D K K I L P Q K H S L T G S L  
 4561: CACCTGAAGACCGTCACTGACAATGACTACACTCTGACAGGAAAATACGAGCTGGAACGC :4620  
 H L K T V H D N D Y T L T G K Y E L E R  
 4621: CTACTAGGACCAAGGAAATATCAACTACAGGCCAACATTGATCTGATATGCCCTCAAAC :4680  
 L L G P R E Y Q L Q A N I D L I C P Q T  
 4681: CAGGCCACAATCAGTGTCACTGACAAGAAGACGGGACGTGAGAGAACGTACAGATTACA :4740  
 Q A T I S V T D K K T G R E R N V Q I T  
 4741: ATGGACATTCCCAAGAGCGAGGTAAAGCTTACGTCTGGCGTGTAAAGACAAGCGAC :4800  
 M D I P K S E V K A Y V L G V V T T S D  
 4801: TTTAAAACAAAGATCGACGTCAAACATGCATCGAGCAGATCTGATCGAGTCCCAT :4860  
 F K T K I D V K H A S E Q Q I L I E S H  
 4861: GGTCAAGATAGCGTCCATGGACTGGAACGTCAAGTCTGGAGAGTTGAATGTTGACCTT :4920  
 G Q I A S H G L E L I K S G E L N V D L  
 4921: AAACTACCTTCCAAATGAGCAAGCTACTTCAGGTCAAGTCTCGAAAGAATGAAGACGGA :4980  
 K L P F Q M S K L L Q V K S R K N E D G

ภาพที่ 3-20 (ต่อ) ลำดับนิวคลีโอไทด์และกรดอะมิโนของยีนไวเทลโลเจนินในร่างไข่ของกังหันแต่นหางจุดเมื่อผ่านการ blastX โดยตัวอักษรพิมพ์เล็กคือลำดับนิวคลีโอไทด์ก่อนถึง start codon และหลัง stop codon โดยสัญลักษณ์สีเหลืองคือ Signal peptide, สีฟ้าคือโดเมน LPD\_N, สีเขียวคือโดเมน DUF1943, สีแดงคือ VWD, สีชมพูคือ Transcription termination signal และสีเทาคือ Polyadenylation

4981: TCCATGCATGCTCATATCTACATGGAACCCAAACGTTGGAAGATCAACGTCGCAAGTCA :5040  
 S M H A H I Y M E P K R W K I N V R K S  
 5041: ACCACACATGTAGTTGACGTGGAGGTCGAAACACCTTCCCGTACTTGGAGGCTAAGGTT :5100  
 T T H V V D V E V E T P S R T L E A K V  
 5101: ACCTTGGACTCCTCAAACCCGTCCTCCAACCTCTGGCCCAAACAAGGGAAAAAGTCAAGAT :5160  
 T L D S S N P S L Q L W P N K G K S Q D  
 5161: AACATCGAAATTCCGCTAAAGTCAGCCAAACCAAACCGGAAGAACATCAGGTGCTTACA :5220  
 N I E I S A K V S Q T K R K N N Q V L T  
 5221: ATTGACGGCAAGTCAAAGTCTCACAACTGAACAAGGAATACTGGTGTCCGCCGAATAC :5280  
 I D G K F K V S Q L N K E I L V S A E Y  
 5281: ACCAACTCTACATCAGAACTATCTGGTTACCTCGAGTTGAAAACCCCACAGAGCTCACAG :5340  
 T N S T S E L S G Y L E L K T P Q S S Q  
 5341: GGTCTTATCCTCTACTCTCGCAGGAAAGAAAGATCATGAAATTATGCAAATGTCTCC :5400  
 G L I L L T L R G K K D H G I H A N V S  
 5401: TTATCATTGAAGGGATCAGCAACTACTCAGCCAATCCGTGCTCAAATAGTTGGACAAAT :5460  
 L S L K G S A T T Q P I R A Q I V W T N  
 5461: TCAACCAAGGCCATCGTCCTCACTCCCAGACAAAGGAAGTGGCTGCTTGAAATACCAA :5520  
 S T K A I V L H S Q T K E V A A L K Y Q  
 5521: CAAATTGTCCTGAGGAAGGCCTACTGTGGGCCAGGTTGAAGACATCCACCATCGACACA :5580  
 Q I V P E E A S L W A R L K T S T I D T  
 5581: GAAGTCTCCACCATTCTACAGGCCGAGAACATCATACTGCCATGGACTAACATACAC :5640  
 E V S T I L R A E K T S Y C H G L N I H  
 5641: TAGTACAACGGTAACCTTCAGAACAGACATAACCAGAGAACATGTACGTACGC :5700  
 A N Y K L H S H K Y Q T I A R L C N P A  
 5701: CTAGGGATGAAGAGTCCTTATGAAATTGAAATTGGATCTCATGTCGAAAGGCCGGCAAG :5760  
 Y V Q L V T F K K S H D N N N Q R M Y V S  
 5761: AACCTCTCAAAGATATGCTGATGTTCTAGCATCAAGGCTGACGTGATGACACCCAGA :5820  
 L G M K S P Y E I E L D L H V E K P G K  
 5821: ATCGTCGACCTGTTGTACATTATGACACTGAGGCCATTAAACAGATCAAGCCTCAACTA :5880  
 N L L Q R Y A D V L S I K A D V M T P R  
 5881: GACATACTCACAACTCAACTTACGAATCGTGGCACTCCATTGTCAGGAGCTACGAGAA :5940  
 I V D L L V H Y D T E A I K Q I K P Q L  
 5941: CATGAGATCTACCAGAGCTAAAGTTGCTGGAGTTGACATTATTACCAAAGCATCAGC :6000  
 D I L T T Q L Y E S W H S I V Q E L R E  
 6001: AAGGAAATGTACGACATCTCGAAGATCTTACAAGGATAATCTGATTCCAATCCAGAT :6060  
 H E I Y Q S L K L L G V D I I Y Q S I S  
 6061: GACATCACGTTTGTAACTGAGATCTACACATACTATGTGGACATAATAGTAGATATT :6120  
 K E M Y D I S E D L H K D N L I P N P D  
 6121: TTCGGAAATTACCAACTCGATTCGCGCAAATTCTGAAAGAATTGAAAGAGAGTTCTGCTT :6180  
 D I Y V F V T E I Y T Y Y V D I I V D I  
 6181: CAACTAAGGAAACTATAACAGCAGGCCACATGAGGTGCTGAAATACTC :6240  
 F G N Y Q L D F A Q I L K E L K R V L L  
 6241: TCACATATCCTGCCTTGGAAAGAGGTGAAGGAATTCATAGCACACTTCAAAGAACAT :6300  
 Q L R E L Y K Q D R L T P H E V L E I L  
 6301: CCCGAGGTGTATCAGAATATCACCTATGTCGGAAACCTTGAAAGGTTACTGGACAG :6360  
 S H I L P L E E V K E F I A H F K E E H  
 6361: TTGTTGCCCTGGAAAAAGACGTCGGGAGAACCCAGGAACCTACTCAGAAGAACCCAG :6400  
 P E V Y Q N I T Y V W E T L K K V L G Q  
 6421: CTGTACGAAAGCATCTCAACACTTGAACACGATAACCACCACTTATCCAGAACGC :6480  
 L L P W K K T S G E P G T Y S E E Y Q Q  
 6481: ATACTGAAACACATTGAGAACACTTACCCCTGAGATGTATACAGCACTTCACATGCGT :6540  
 L Y E S I F N T L N T I T T P L Y P E G  
 6541: TTGAAGATTCTTGATAGCATCAAGCAAGATGCTCATCACCTCATCAAGACCTCACCTC :6600  
 I L K H I E N S Y P E M Y T A L P H V V  
 6601: CGCCAAGTATCGATTGGCTACTCATGGCTACAAATTGACGATGTCCCTCAGACGGAT :6660  
 L K I L D S I K Q D A H H L I K T S P L

ภาพที่ 3-20 (ต่อ) ลำดับนิวคลีโอไทด์และกรดอะมิโนของยีนໄว่เซลโลเจนินในรังไข่ของกั้งตึกแต่นหางจุดเมื่อผ่านการ blastX โดยตัวอักษรพิมพ์เล็กคือลำดับนิวคลีโอไทด์ก่อนถึง start codon และหลัง stop codon โดยสัญลักษณ์สีเหลืองคือ Signal peptide, สีฟ้าคือโดเมน LPD\_N, สีเขียวคือโดเมน DUF1943, สีแดงคือ VWD, สีชมพูคือ Transcription termination signal และสีเทาคือ Polyadenylation

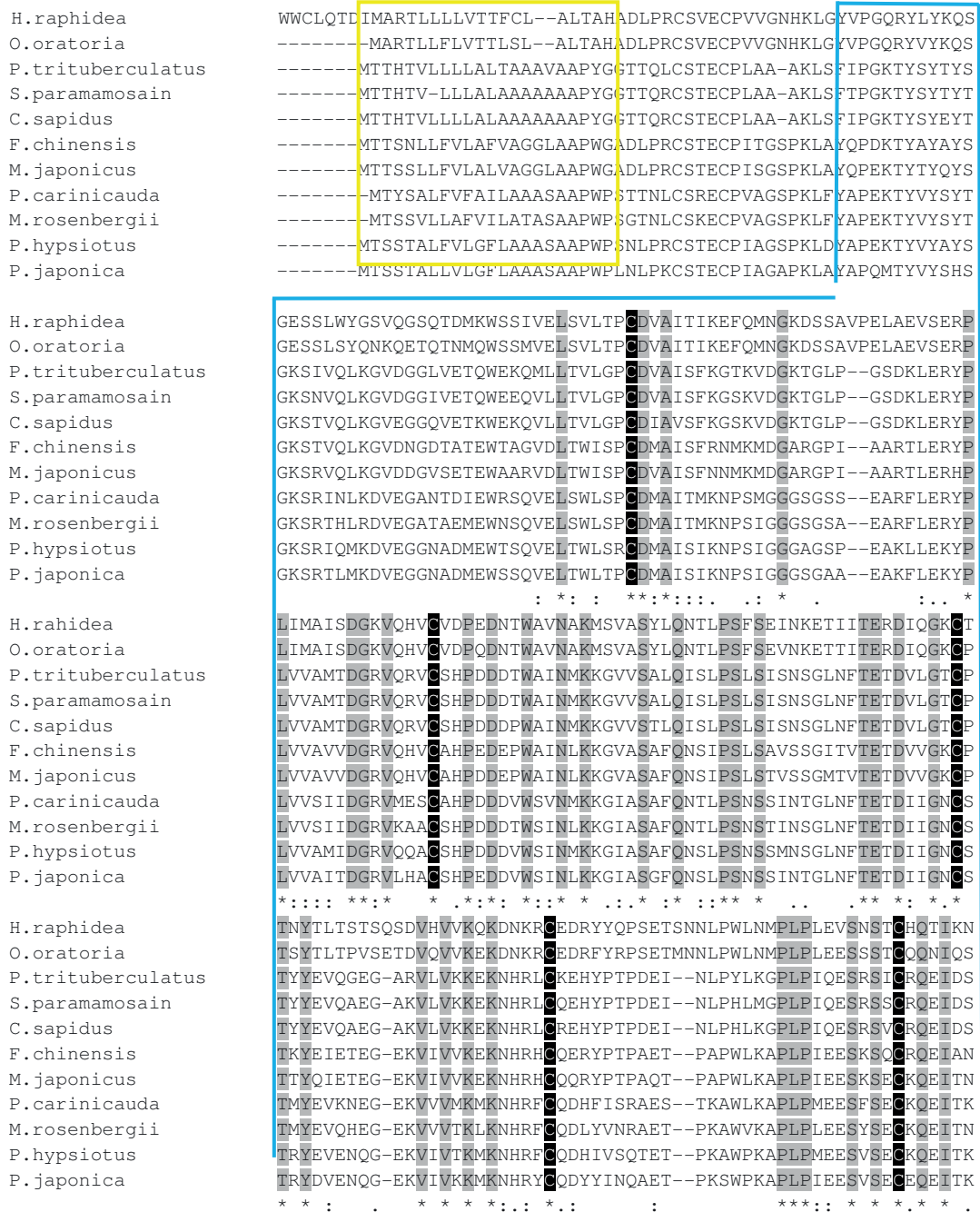
```

6661: GCCCTGATTGACTCCCTTACCAAGCTTCTCCTCAAAACTCCACCGATGATCTATGACTCG :6720
      R Q V I D W L L H G Y K F D D V P Q T D
6721: ACGACCGAACAGACAACATACTTGCTTGTCTTCTCATCTATCCTGAGTATTCTCTGACT :6780
      A L I D S L Y Q L L L K T P P M I Y D S
6781: GCAGTCCCTACGGAACACAGCTTCACTGGACTTGTATCTAATCAGGAGGATTATCGGC :6840
      T T E R Q L Y L L V P F I Y P E Y S L T
6841: ATACTCCAGAGGATCCTCCCCGTAGAGTACAAGCCCCTCGATAGGGTATCTTCTGTT :6900
      A V P Y G T Q L S T G L D L I R R I I G
6901: GCTGTTTACCATGGAGACGGTACCTGACCACCTTGTATGGGACATCCATCAAGCTGCC :6960
      I L Q R I L P V E Y K P L D R V I S S V
6961: GAGTCCTCATTGCCAATATATCCTGACAACACTGATGGCTACGACTACGTGGCTGTCACAAAC :7020
      A V Y H G D G Y L T T F D G T S I K L P
7021: TTGCCAGGAAATAAGAACGAGTTGAACTCACTGTCGAGAATGGACGACACGAGATAGCC :7080
      E S H C Q Y I L T D G Y D Y V A V T N
7081: ATTGACAAGGACTACCAAGATTACATCAACGGCACCAGAGAACAGAACAGAGAAATTCA :7140
      L P G N K N E F E L T V E N G R H E I A
7141: AGCTCCTCGCATCAACTTATTGTTACCAAGAGACCCATGGAAGTAGTTGTCGTTAGCCA :7200
      I D K D Y Q I Y I N G T K R T E E E I H
7201: ACTCTTCAACTGGTCGTGTACAAAAATGCCACCAACCTTCCGTTTGATGCCAGCACCGAA :7260
      S S S H Q L I V Y Q R P M E V V V V S P
7261: CTTCAAGGTCGACTCAAGGTGTATGGCCGCCCTCAATGACTTCAAGGAGATGACATA :7320
      T L Q L V V Y K N A P T F R L Y A S T E
7321: ATGATGCCAACGGCGAATCACACACAATCCCGCTTCCCTGAAAAGCTGGCAAGTC :7380
      L Q G R L Q G V M A A F N D F Q G D D I
7381: AAACCATCGTGCTGAAACCATTCCGATGCTGCCGCGATCGAATGTTGACCAGCTTCT :7440
      M M P N G R I T H N P T A F L K S W Q V
7441: TGCCAATCGAACTTGactacttttagattttaaatggcatgtaaaaaaat*taactttgtct :XLV
      K P S C *
XLVI: taaggaactctagcaaagtccaaaaatattgatgaaaaatgcaatcaaatatagcaa :CVI
CVII: atatgaataatcaaaaaaaaaaaa :CXXXI

```

ภาพที่ 3-20 (ต่อ) ลำดับนิวคลีโอไทด์และกรดอะมิโนของยีนไวเทลโลเจนินในรังไข่ของกั้งตึกแต่นหางจุดเมื่อผ่านการ blastX โดยตัวอักษรพิมพ์เล็กคือลำดับนิวคลีโอไทด์ก่อนถึง start codon และหลัง stop codon โดยสัญลักษณ์สีเหลืองคือ Signal peptide, สีฟ้าคือโดเมน LPD\_N, สีเขียวคือโดเมน DUF1943, สีแดงคือ VWD, สีม่วงคือ Transcription termination signal และสีเทาคือ Polyadenylation

เมื่อนำผลที่ได้จากการวิเคราะห์การเปรียบเทียบลำดับนิวคลีโอไทด์ และลำดับกรดอะมิโนจากภาพที่ 3-20 ไปศึกษาความเหมือนกันของยีนกับสิ่งมีชีวิตอื่นด้วยโปรแกรม Clustalx ได้ผลดังภาพที่ 3-21



ภาพที่ 3-21 การแสดงความคล้ายคลึงของยีนไวโตรโลเจนินในกั้งตักแต่นหางจุดกับสิ่งมีชีวิตในฐานข้อมูลของ Genbank ด้วยวิธี Nucleotide blast โดยการค้นหามะนิค cysteine ที่พบในตำแหน่งเดียวกันของทุกซอร์ซในกลุ่มสิ่งมีชีวิตที่มียีน vitellogenin ใช้สัญลักษณ์สีดำ ส่วนตำแหน่งที่เหมือนกันในยีนทุกตัวใช้สัญลักษณ์สีเทา กรอบสีเหลืองคือ Signal peptide, สีฟ้าคือ LPD\_N, สีเขียวคือ DUF1943, สีแดงคือ VWD

<i>H. raphidea</i>	GIYTSVMCTDVNVLKP <del>M</del> GYVYQNVTTKQKSTLQFQS <del>K</del> VQVDPALLK-FSSNHLVKKQ <del>L</del> KF
<i>O.oratoria</i>	GLYTSIECTDTNILKPMYGVYKH <del>I</del> KAVQKATLQFES <del>S</del> QVEVDPALLT-FSSDHLVKKE <del>L</del> KF
<i>P.trituberculatus</i>	GIISSVV <del>C</del> EDKKVIRPSYGIYKYVEAKQESTLKLTS <del>S</del> DVSAPDTISRIGQDELVPRS <del>L</del> RY
<i>S.paramamosain</i>	GIISSVV <del>C</del> EDKKVIRPSYGIYKYVEAKQESTLRLTS <del>S</del> SEASAPDTISRIGQDELVPRS <del>L</del> RY
<i>C.sapidus</i>	GIISSVV <del>C</del> EDKKVIKPSYGIYKYVEAKQESTMKLTS <del>S</del> DVSAPDTISRIGQSELEPR <del>S</del> RY
<i>F.chinensis</i>	GIYTAIT <del>C</del> DKNIVRPAI <del>G</del> YKYVEASQD <del>S</del> T <del>L</del> RF <del>I</del> SESADTS <del>A</del> ISG-IPSGELHIES <del>L</del> LY
<i>M.japonicus</i>	GIYTSIM <del>C</del> DKNIVRPAI <del>G</del> YQYVEAHQESTLHF <del>I</del> SET <del>T</del> DSA <del>I</del> SA-IPRGEMHIES <del>L</del> LY
<i>P.carinicauda</i>	GYVTSIT <del>C</del> DKNII <del>I</del> RPAYGSYKYIEAVQESTLRF <del>E</del> SETDNVPPAVS-QLPSRFIRKT <del>L</del> RY
<i>M.rosenbergii</i>	GIYTSIT <del>C</del> DKNII <del>I</del> KPAYGSYKYVEAHQESVLRFQSKTDQIPPSVS-QLPSRFIRKT <del>L</del> RY
<i>P.hypsotus</i>	GIYTTVSCKDKNII <del>R</del> PAYGSYKYIEAIQES <del>E</del> SLRFQSQTDQAPP <del>S</del> IA-RLQGRLVHK <del>S</del> RY
<i>P.japonica</i>	GIYTTIT <del>C</del> DTTII <del>R</del> PAYGSYKYIEAHQESVLRFQSETDQAPP <del>S</del> V <del>A</del> -NLRGPLVWKS <del>L</del> RY
 *: :: * * :: * * : : * . : : * . : : * . : : * . : : * . : : * . : : * . : : * . :	
<i>H. raphidea</i>	DYTPPKTSDVLPK <del>I</del> EKLLQKQISHNVQESVEPEAASLVHQVMILLRHA <del>P</del> DSQLQVILQNI
<i>O.oratoria</i>	DFTTPKKRDTVV <del>P</del> RLDAITKDICA <del>K</del> VENTVESETAALVYHGM <del>T</del> LLRHA <del>P</del> DSHVKA <del>I</del> LDNI
<i>P.trituberculatus</i>	DYEPAKKDPTLV <del>P</del> LEQTLRLY <del>C</del> ET <del>I</del> RDGVEADTAAQ <del>L</del> EKAVNLMRR <del>I</del> PEQSFNDIYT <del>K</del> V
<i>S.paramamosain</i>	DYETAKKDP <del>S</del> LV <del>P</del> LEQTLRLY <del>C</del> ET <del>I</del> TDGVEAHAAAQLSKAVHLMRL <del>I</del> PEQGFNEIYT <del>K</del> M
<i>C.sapidus</i>	DYETAKKDP <del>T</del> LV <del>P</del> QLEQTLRLY <del>C</del> ET <del>I</del> RDGVEADTAAQLNKAVHLMRL <del>I</del> PEQGFNDIYT <del>K</del> V
<i>F.chinensis</i>	NHETM-KDPQ <del>L</del> APEL <del>I</del> DELM <del>K</del> EICDKTKDT <del>V</del> EAEGALVAKALHVLRR <del>V</del> ETVV <del>V</del> ETAQKV
<i>M.japonicus</i>	NHETM-KDPQ <del>L</del> APEL <del>I</del> DQLM <del>K</del> EICE <del>K</del> TKDT <del>V</del> EAETAALVAKALHLLRR <del>V</del> ETVV <del>V</del> IAQKV
<i>P.carinicauda</i>	DQHTMKKDP <del>S</del> MV <del>V</del> KLDAMLKEVCQKMKHG <del>V</del> QEDTASYFANALQY <del>M</del> RR <del>V</del> EEAIPQTLEKI
<i>M.rosenbergii</i>	DQHTLKKDP <del>S</del> MV <del>V</del> KLD <del>E</del> VLKQVC <del>E</del> KVKG <del>V</del> HEHAASHFAKALHFLRR <del>V</del> EEAIPQTLEKI
<i>P.hypsotus</i>	DQETLKKDP <del>S</del> MLAKEEELKQVC <del>E</del> KTQ <del>A</del> VEETAASHVAKALHYLRR <del>V</del> EEEMVQQT <del>L</del> Q <del>K</del> I
<i>P.japonica</i>	DQETLKKDSSMSV <del>K</del> LDEV <del>L</del> KQVC <del>E</del> KT <del>K</del> ESV <del>V</del> EDTASYVAKALHFLRR <del>V</del> EEEI <del>P</del> RT <del>L</del> Q <del>K</del> I
 : * : . * : : . : . * : : . : : * : . : : * : . : : * : . : : * : . : : * : . : :	
<i>H. raphidea</i>	RSGAYGHNTQNLEHIYLDALTFLREP <del>G</del> VVPVMVQEISQGKASVARTALYAMAMHLLPRPN
<i>O.oratoria</i>	RAGAYCPNWHKLEQMYLDAIAFL <del>S</del> ESGAVP <del>V</del> MV <del>V</del> EISQGRASSGRTALYAAALHMM <del>P</del> RPN
<i>P.trituberculatus</i>	RNKQICPQHTKLESLFMDAIAFV <del>H</del> EPES <del>V</del> P <del>V</del> M <del>V</del> KELVEGRT <del>T</del> GT <del>A</del> LYSTAFYL <del>V</del> PRPD
<i>S.paramamosain</i>	RNKQICPQHSRLES <del>S</del> LYMDAIAFV <del>H</del> EPES <del>V</del> P <del>V</del> M <del>V</del> K <del>E</del> VEGRAT <del>G</del> T <del>A</del> LYSTAFYL <del>V</del> PRPD
<i>C.sapidus</i>	RSKQICPQHSRLES <del>S</del> MFMDAIAFV <del>H</del> EPES <del>V</del> P <del>V</del> M <del>V</del> KELVEGRAT <del>G</del> T <del>A</del> LYSAAFYL <del>V</del> PRPD
<i>F.chinensis</i>	RQGHYCSDSARLES <del>I</del> FLDAVAFLHESGAVKVMV <del>H</del> EINGRAT <del>G</del> RLALYTAALYLT <del>P</del> RPN
<i>M.japonicus</i>	RQGHYCSDSAKLES <del>I</del> FLDAVAFLHESGAVKVMV <del>H</del> EILHGRAT <del>G</del> RLALYTAALYLT <del>P</del> RP <del>T</del>
<i>P.carinicauda</i>	RGGQICEQRQKLES <del>M</del> FLDGLAFV <del>V</del> ESGAVKVMV <del>H</del> QELVSGKAT <del>G</del> RAALYAA <del>S</del> MYFMP <del>P</del> RC
<i>M.rosenbergii</i>	RGGQICEQRQKME <del>S</del> FLDGLAFV <del>V</del> ESGAVKVMV <del>H</del> ELISGKAT <del>G</del> RAALYAA <del>S</del> MYFMP <del>P</del> RC
<i>P.hypsotus</i>	RGGQICSDHQKLEGLFLDAVAF <del>I</del> HEAGAVKVMV <del>H</del> QELVSGRAT <del>G</del> RAALYTAALYFT <del>P</del> RPC
<i>P.japonica</i>	RGGQICGDHQKLET <del>L</del> FLDAVAF <del>I</del> YEPGAVKVMV <del>H</del> QELSGKAT <del>G</del> RAALYTAALYFT <del>P</del> RPC
 * : . * : : * : : * : * * : * : : * : : * : : * : : * : : * : : * : : * : : * : : ***	
<i>H. raphidea</i>	IFAI <del>E</del> SLVPLFQMSQ <del>P</del> PKTV <del>L</del> AAASMLNTYLRQH <del>H</del> QEENHVQQIISLVT <del>T</del> KLQGLRN
<i>O.oratoria</i>	AFAIKSLAPL <del>V</del> TM <del>D</del> HPP <del>P</del> KT <del>V</del> LLAAASMV <del>S</del> TYI <del>R</del> QH <del>P</del> RYRE <del>E</del> GLV <del>D</del> E <del>I</del> MLATS <del>K</del> LAET <del>C</del> CH
<i>P.trituberculatus</i>	VKA <del>I</del> QALEPLFKSSADLSSAKLAAASMV <del>N</del> TYCR <del>H</del> KP <del>C</del> YN <del>E</del> TP <del>V</del> R <del>N</del> LAQALKQKIEED <del>L</del> S
<i>S.paramamosain</i>	VTAIRALEPLFKSNADLSSAKLAAASMV <del>N</del> TYCR <del>H</del> KP <del>C</del> HC <del>E</del> SH <del>V</del> R <del>N</del> LQALKQKIEED <del>L</del> A
<i>C.sapidus</i>	VTAIRALEPLFKSSAKLSSAKLAAASMV <del>N</del> TYCR <del>H</del> KP <del>C</del> HYDESP <del>V</del> R <del>N</del> LALALKQKIEED <del>L</del> S
<i>F.chinensis</i>	IEAVKAL <del>T</del> PLFES <del>P</del> RP <del>M</del> PSL <del>L</del> AAASMV <del>N</del> YC <del>R</del> H <del>T</del> PACE <del>E</del> K <del>V</del> AGIAEILANRVQ <del>S</del> HC <del>S</del>
<i>M.japonicus</i>	IEALKALAPL <del>F</del> ES <del>P</del> LP <del>M</del> PSL <del>L</del> ATASMV <del>N</del> YC <del>R</del> H <del>T</del> CH <del>Q</del> EA <del>P</del> VERIAEILA <del>A</del> KVEG <del>H</del> <del>C</del>
<i>P.carinicauda</i>	IHSIEALKPL <del>F</del> QYQR <del>F</del> PR <del>T</del> TLAGASMV <del>N</del> HTC <del>R</del> QNP <del>K</del> C <del>Q</del> E <del>K</del> PR <del>V</del> Q <del>L</del> AET <del>L</del> SSKV <del>G</del> Q <del>M</del> C <del>T</del>
<i>M.rosenbergii</i>	IHSVEALKPL <del>F</del> EN <del>F</del> QRF <del>P</del> RT <del>T</del> LA <del>G</del> ATMV <del>N</del> HTC <del>R</del> QNP <del>K</del> C <del>Q</del> E <del>K</del> PR <del>V</del> Q <del>L</del> AET <del>L</del> SSKV <del>G</del> Q <del>M</del> C <del>T</del>
<i>P.hypsotus</i>	IHSVEALKPL <del>F</del> ENCQR <del>F</del> PR <del>T</del> AVAAASMV <del>N</del> TYCR <del>Q</del> NP <del>K</del> C <del>Q</del> E <del>K</del> ETP <del>V</del> R <del>Q</del> LAQ <del>T</del> LSNKVG <del>Q</del> Q <del>C</del> <del>S</del>
<i>P.japonica</i>	::::* ***. : * * : * : * : * : : * : : * : : * : : * : : * : : * : : * : : * : : * : :

ภาพที่ 3-21 (ต่อ) การแสดงความคล้ายคลึงของยีนไวน็อกเจนินในกั้งตี้กับสิ่งมีชีวิตในฐานข้อมูลของ Genbank ด้วยวิธี Nucleotide blast โดยกรดอะมิโน cysteine ที่พบในตำแหน่งเดียวกันของทุกอร์โมนในกลุ่มสิ่งมีชีวิตที่มียีน vitellogenin ใช้สัญลักษณ์สีดำ ส่วนตำแหน่งที่เหมือนกันในยีนทุกตัวใช้สัญลักษณ์สีเทา กรอบสีเหลืองคือ Signal peptide, สีฟ้าคือ LPD\_N, สีเขียวคือ DUF1943, สีแดงคือ VWD

ภาพที่ 3-21 (ต่อ) การแสดงความคล้ายคลึงของยีนไวนิโลเจนินในกั้งตักแต่นหางจุดกับสิ่งมีชีวิตในฐานข้อมูลของ Genbank ด้วยวิธี Nucleotide blast โดยกรดอะมิโน cysteine ที่พับในตำแหน่งเดียวกันของทุกออร์โนนในกลุ่มสิ่งมีชีวิตที่มียืน vitellogenin ใช้สัญลักษณ์สีดำ ส่วนตำแหน่งที่เหมือนกันในยืนทุกตัวใช้สัญลักษณ์สีเทา กรอบสีเหลืองคือ Signal peptide, สีฟ้าคือ LPD\_N, สีเขียวคือ DUF1943, สีแดงคือ VWD

ภาพที่ 3-21 (ต่อ) การแสดงความคล้ายคลึงของยีนไวเทลโลเจนินในกั้งตักแต่นหางจุดกับสิ่งมีชีวิตในฐานข้อมูลของ Genbank ด้วยวิธี Nucleotide blast โดยกรดอะมิโน cysteine ที่พบรูปในตำแหน่งเดียวกันของทุกยีนในกลุ่มสิ่งมีชีวิตที่มีเย็น vitellogenin ใช้สัญลักษณ์สีดำ ส่วนตำแหน่งที่เหมือนกันในยีนทุกตัวใช้สัญลักษณ์สีเทา กรอบสีเหลืองคือ Signal peptide, สีฟ้าคือ LPD\_N, สีเขียวคือ DUF1943, สีแดงคือ VWD

<i>H.raphidea</i>	WSPVLHKQPQQIILPQPQGDVSPFKVDKCLDLRQLQDGYRICFNANFPDLIRSTSVPFGQ
<i>O.oratoria</i>	KIQVLNENPEHKIIPEGINDVRLVEKNECTDDFNPLGLRFYILNLNPDPHLHSSMPFGK
<i>P.trituberculatus</i>	----TRNQPEIKILPPSMQDIR-IRHNSCTTALESVFGIKMCYDVNVPDIFRANALPLGS
<i>S.paramamosain</i>	----TKNQPDTKILPPSMQDVR-VHHNSCTTALESVFGIKMCYDVNVPDIFRANALPLGS
<i>C.sapidus</i>	----MRNQPEIKVLPPSMQDIR-FHRNACFTTLESLLGIKMCYDINVPDIFRANALPLGS
<i>F.chinensis</i>	----V-GKKMTKISPPSMRDVR-IQRNSCIGALEPVFGLKVCYDMNIPDVFRANALPLGE
<i>M.japonicus</i>	----V-GKKLTKITPPPTVRDVR-VTHAACLNAVEPVGLGIKVSYNINMPDVFRANGLPLGE
<i>P.carinicauda</i>	----VMGQEETKINPSSVRSTR-FQSRSCKVMKLEPMLGLKLCKYDVNVMPNIFRSEGLPLGP
<i>M.rosenbergii</i>	----VKGQQETKVPHPSSVQSTR-FQTQSCVTKMEPVGLKLCKYDVNVMPNIFRSEGLPLGP
<i>P.hypsotus</i>	----LKGQQETKINPSSVRSTR-VQKQSCMRALEPMLGLKLCKYDINMPNVFRSEGLPLGP
<i>P.japonica</i>	----VEGQPETKINPSSVRSTR-FQTRSCMMALEPMLGLKLCFDINIPNVLRSEGLPLGP
	: : * . . * . : * . : * . : * . : * . : * . : * . : * . : * . : * .
<i>H.raphidea</i>	PIQVNITAETGTLDKAFLSTVLTGQNDHKDISLVLTPCQAVA-----KANYRNKED\$
<i>O.oratoria</i>	PLEFSLTAEKAEASMEGYAITATLTNEVENKAIDFVVDTPGSTIPRECKAKISYTKQDNS
<i>P.trituberculatus</i>	PALVILSLNKTESTITGYKIAVNAHDTQDKYAAKVSAGSSSPKESNVEVNLLKKHGES
<i>S.paramamosain</i>	PALVTLVSNKTESTITGYKIAVNAHTATQDKYAAKVSAGSSSPKESNVEVNLLKKDSES
<i>C.sapidus</i>	PALVILSLNKTESTITGYKIAVNAQTDQDKYAAKVSAGSSSPKESNVEVNLLKKDSES
<i>F.chinensis</i>	PAIAKLYVEKADPSMRGVLVTAIAKRNKGNKVIKMNVAAAGASTPRRAEMTLSYTKEEGS
<i>M.japonicus</i>	PAIAKLYIEKADPSMRGVLMTAAKRNKGNKFIKLNVEAGATTPRRAEMTLSYTKEEGS
<i>P.carinicauda</i>	PANIQVFLAKADSGMRGIRVMGREENTGGKRVKIELETPGSSSPRKCNALISSTNEGEA
<i>M.rosenbergii</i>	PAIVKVVLEKADSGMRGLRVKGREEHAGGKVKVLEAPGSSSPKKATAIITSANECEE
<i>P.hypsotus</i>	PASAKVFIIEKSEPMKGYRMRMANVEAGKKEIKVEVEALGSSTPRKANGIISYSRNQDM
<i>P.japonica</i>	PATAKVILEKSADPSMRGVRMKGNFENTEGKKEIKVETEAQGSSTPRKANIMVSYSTQGDM
	* : : * : : : : : : : : * : .
<i>H.raphidea</i>	NIIISVISSSVLKYSVESRLIVS-----
<i>O.oratoria</i>	HIALVSITSALLEYSAQTFVNDENKALEMFWKYKLINMADEYAHAFKTDLQIKRTDNH
<i>P.trituberculatus</i>	YLAEVKLMSSLTHGKIKIGLVRNPELKFETEVSFTLTTG--MEFLQGFIVETKITPIQNG
<i>S.paramamosain</i>	YLAEVKLLSSVTHGKARINFNRPEQMSFQADFSFSNNG--MEFLQVLKVEIKETSTTNG
<i>C.sapidus</i>	YIAEVKLVSPVTHGAKISLINRPEQKTFTEVSFTNNG--MEFVKVIRVEIKKTHTSNG
<i>F.chinensis</i>	HIVSAKLDSSSIAAGMWTTLTNEQGHKAIETYVNPNYQQ--IAISRGIKLDAIAREASMG
<i>M.japonicus</i>	HIVSAKLDSSSIAAGVWATLTNEEHKAMETYVKFDYQQ--IAISRGIKLDMIVKEESAG
<i>P.carinicauda</i>	KKISATFESER-----LGGIKIQMTRKWTQSE
<i>M.rosenbergii</i>	KKISATLESER-----LGGISIHMIRKWTQSE
<i>P.hypsotus</i>	TKIMCTLESQT-----SGGIKVEIKKKWTQSE
<i>P.japonica</i>	AKLTCLLESQT-----TGGIKVEIDNKWTQSE
	: .
<i>H.raphidea</i>	DKIELIVHSSPTFDISKPTTPALQLWISRNSKE--YILKARTENDLRKIQLDADVAIK
<i>O.oratoria</i>	KKLGLILYYSPSWTFQPEQSQIFEASWLTATQDKLTNIDVTVRTNNILRDFIQIDIEAGID
<i>P.trituberculatus</i>	IRYDMDIYCSPSGSISEQSKIFTGMLKLEHMLPNMLMEIKGETKNILSQYFPFSFADAVF
<i>S.paramamosain</i>	MKYEMDVYWSPSNSISQESKMFQGQLTLDHMMPMSVMHISAETKNSLMQYIPFSLEAVVN
<i>C.sapidus</i>	MKYEMDVYWSPTTSQESKIFTGLLKLDYMPNMMEISAETKNNLMQYIPFSINTVVM
<i>F.chinensis</i>	EEFQNVFSSGTRSFPSHIVEAIFIKKTSGPEFNVDVICKTKNALAELFDLNIEVGAD
<i>M.japonicus</i>	KEFEVNVFSGRSRRFTPESHIVEAKFIKKTNPEVNVDVICRTRNALAQYFDLNIEVGAD
<i>P.carinicauda</i>	KOLEMIAYFSESRSQYNPSTKGIEAKFLMIGEGEREEAKLDMALQTLAAVRERVQLNFEASAD
<i>M.rosenbergii</i>	KQVQMIAYFSESRSQYNPSTKGIEAKFLWNGEGEEVVKVDVALQTLAAVREWAQFNFEVSGD
<i>P.hypsotus</i>	KRIELDTFASRSRSQYSPDSKCIEFKMMTDDGQEIJKVDTVLRTMDLQRYIDINFEVSGD
<i>P.japonica</i>	KQLKLDAYASRSRSQYTPDTCFAFEAKLIMADNGQEVKVDVTFRLATIKRTIDINFEASGD
	. : . : . : . : . : . : . : . : . : . : . : . : . : . : . : . : . : . : .
	* : : . : . : . : . : . : . : . : . : . : . : . : . : . : . : . : . : .

ภาพที่ 3-21 (ต่อ) การแสดงความคล้ายคลึงของยีนไวน์โลเจนินในกั้งตี้กั้นทางจุดกับสิ่งมีชีวิตในฐานข้อมูลของ Genbank ด้วยวิธี Nucleotide blast โดยกรดอะมิโน cysteine ที่พบในตำแหน่งเดียวกันของทุกอร์โนนในกลุ่มสิ่งมีชีวิตที่มียีน vitellogenin ใช้สัญลักษณ์สีดำ ส่วนตำแหน่งที่เหมือนกันในยีนทุกดัวใช้สัญลักษณ์สีเทา กรอบสีเหลืองคือ Signal peptide, สีฟ้าคือ LPD\_N, สีเขียวคือ DUF1943, สีแดงคือ VWD

<i>H. raphidea</i>	M-----SYEPYSFIPSAMVHKWMVGKVSHEWLRRQQVETSSDITD--FQFK-
<i>O.oratoria</i>	V-----RFSYLLHMPSIDNIRKWEVDIEVLAWKLHEHIRTIEESEDQAQWSTKC
<i>P.trituberculatus</i>	F-----KY--YNDVPIPLWLQHFELTAGINGWMMSFFRNSGESSQQSS----L
<i>S.paramamosain</i>	F-----KY--YNGVPLPVPRMRQLELKAGIDGWMFIIFFRDSESSQRSNYFFGS
<i>C.sapidus</i>	C-----KY--YNGVPIPVQLRHLELMVGIDGWMMSKIFVRSSGELSQGSNYSSGL
<i>F.chinensis</i>	FMKFSPKDLYPARYIPKTRIVLPVNLRKMEINVATAAWKLISIYIRAGSQSGESREFISAL
<i>M.japonicus</i>	FMEFSPEGVYPARYIPKVSILLPVALRKMEVHANTVAWKLASYIREGSQSGESRELISAF
<i>P.carinicauda</i>	M-----CYIEGSMIPYPRRLRKFETNLAFRQWHLVSVFVRKESES---QYSEL
<i>M.rosenbergii</i>	L-----RYHEWCRIPLPQRLRKFETNIALRNFHIVSFVRKEGES---QYRSAL
<i>P.hypsotus</i>	L-----KYSEMTGIPLPRRLRKFEMALASERWHVVSFVRQAGGS---QYNSAF
<i>P.japonica</i>	L-----AYSQWTRIPMPKRLRKFECTIASGRWHLISFIRKASDS---QYSSAF
	: : : : : . . .
<i>H. raphidea</i>	-----LSKKGIPQIDISVKKTPHIIFTIDGYTAVTLWNTGIKSIVALHLDKGVNATWDV
<i>O.oratoria</i>	SLMKGERTYIGIETITKKS GTFPINFNI DMDDTTVILGEVELRSLNKVQHDGTEMKVTDL
<i>P.trituberculatus</i>	PTVPRREMMIDIKA DDLRQLQGTPAVNFIEQLTVDAKIGQTEYKMQRRIAQERRRAISQL
<i>S.paramamosain</i>	PAAHEKEMLI DQV DDLRQLQGTHGVDFIEQLFVN A KIGQTEYEMQQRICQETRRAISQL
<i>C.sapidus</i>	QLHNTEMFIELQADLRLQWTS AVNF MEQ LSVDAKIGQTYKMEQ KIMWQETRKA ISMQV
<i>F.chinensis</i>	TLAKGRKDFISQVQATHTIEGRFPQNIIIKNVATAEVGRSSYKAMYDLFYHSEKGASVEV
<i>M.japonicus</i>	KLSKGRNDIYYQATHKIEGTL P QN VIENEATVEVGRSSYRAMDIFYHPEKIGASVEV
<i>P.carinicauda</i>	KFGQKGNEK VEMTATHVMEGSSFMDMALKTNLEAKIGSARYKKNLVLYNQESKKGVVQLQV
<i>M.rosenbergii</i>	KLGQRGNEKVAIMGNHVMEGGSYRDMTLKS NIEAKIGNARYKNNFILYNQESKIGAEWQV
<i>P.hypsotus</i>	KFGQKGSEM VSVEATHTIEGSSYRDLTQSDMKGKIGSTQYKTQFAIYCNDAKMGTQM QV
<i>P.japonica</i>	KLGPMDAEWAVVEATHMIEGSSYRDMTLKGKIAHV PYETNIVIYNNDAKRGATL R V
	: : : : : . . .
<i>H. raphidea</i>	LNTRSTEKVLYASALVTRQEQQGVSYDYHIQIHIP SALDKV DIEGRIEKEDSSKYHVEGK
<i>O.oratoria</i>	ENRKTT EQI IH LAS FMKNEAEKLS YETKLQFHIPKLTERLDIVGHIDHVEESKYDVVT
<i>P.trituberculatus</i>	TRPTDNVKLLEIAAE--KDS---QEIMFLFWVQMP EYMAP I KVAA SFVQ QG-QD YDAEAI
<i>S.paramamosain</i>	TRKSDNVKLL EIGAE--KDS---HKIKFIFWVQVPGYMAP I KM AAGA VQ QG-QD YNAEAI
<i>C.sapidus</i>	TRATDNLKLLEIDAK--KDL---HEMF IFWVQLPEI G TIKV S ASIEQ QG-QD YNAEAI
<i>F.chinensis</i>	LQAGNEKVAHLEAIYELSG--EKYCTK FSAEIPG YIQPVK FEA GIEQ EA ESR YTLES A
<i>M.japonicus</i>	FRTAGNEKVAEMEAIYENTG--EKYYTKFLV EAPG YIRPV RIEAT AEE TGG RYALESA
<i>P.carinicauda</i>	VSQGESAKVIEVEMMLMRSG--ETHHLKL LLDI PARMKKMM LEAS AAGQGSSQYQVKAV
<i>M.rosenbergii</i>	ASQ-EGGKVIELEMILIRSG--ET SQVKFLLDIPERM MKKV MIEAS AAGQGSSQYQVRAM
<i>P.hypsotus</i>	TREGDSA KMMEVEMLLTPSG--ENYRLNFLLDIPAYIKAMKV DASATHQGSSQYQIGVG
<i>P.japonica</i>	TREGG-MKLT DLEMIFARSG--ET YKMNFLV DIPACIKPMK FEA SA AHQGNSQYQIEAG
	: : * : . . .
<i>H. raphidea</i>	TKYQNQI IYTIGGPITLDVTGKS---DVNLEITGSSHRSYKFFIGQLENSEKKLI-SVVVQ
<i>O.oratoria</i>	FMHNDQV VYEVKGPV TLILNNKKWLQEMELEITGFSEGPHKLTTV MENS NKVKMMVV DLR
<i>P.trituberculatus</i>	IMHGQQT L VQLHGPV TYINSP T LTKVGANIKINNF---YQFVSSFEYEEGKQIVLLEIK
<i>S.paramamosain</i>	IMRGQQI VVQVLHGPV TYMN SP T LAKF GANIKINNL---YQFVSSFEYEESKQT VLL EIK
<i>C.sapidus</i>	IMHRQQT L VQLQGPV TYVN SP T LTKVGANIKINNF---YQFVSSFEYEEGKQSA LMEIK
<i>F.chinensis</i>	ITYGQRTV LEVSGPIMARFSSKIAK LQANIKL RAMAS QPYI I GANVAFGSKRQMIAMEIK
<i>M.japonicus</i>	IKYGERTV FEV TGPV MARFT SKTA K LQANIKL SAMASEP YI I GANVAFGSKRQMIAMEIK
<i>P.carinicauda</i>	AKHGESPI LQVEGP LTAMISSRN T QFKT EMRV VLLRFQPYTV STS L VLM H GKQAF T FELK
<i>M.rosenbergii</i>	AKHGESPI FHVEGP VTAM LSPK NTHL KAE LRAV LLRSQ PHTV T ASL VMM HGKQAF V VELK
<i>P.hypsotus</i>	VKHGESVILHVEGP VTAKLSSRLTQLRISCMNGKP STV STS VV LAPG KQSV AFELV
<i>P.japonica</i>	AHHGQSVIFQVEGP VTARISSRMTELQTKL KVVC MRSQPFTV STS VV SAQGKMA VAFELV
	: : * * *

ภาพที่ 3-21 (ต่อ) การแสดงความคล้ายคลึงของยีนไวเทลโลเจนินในกั้งตักแต่นหางจุดกับสิ่งมีชีวิตในฐานข้อมูลของ Genbank ด้วยวิธี Nucleotide blast โดยกรดอะมิโน cysteine ที่พับในตำแหน่งเดียวกันของทุกยีนไวเม็นในกลุ่มสิ่งมีชีวิตที่มียีน vitellogenin ใช้สัญลักษณ์สีดำ ส่วนตำแหน่งที่เหมือนกันในยีนทุกด้วยใช้สัญลักษณ์สีเทา กรอบสีเหลืองคือ Signal peptide, สีฟ้าคือ LPD\_N, สีเขียวคือ DUF1943, สีแดงคือ VWD

<i>H.raphidea</i>	NPDNPPIFKAEIESVPKSDGGNLILTALIEIPSLIKT-KISFHQSRSIDIIDVYIYNNLFPPEGQ
<i>O.oratoria</i>	DPTGILLNSMVDRTLISEEESDIKTSFAFFLTD-KADFHSKDTIHINFNSVMFPEQES
<i>P.trituberculatus</i>	KEEVLLALKCNLKPSPQGSSLEAELNVPILFDG-TTEISITENIIHITTNTLLPNSP
<i>S.paramamosain</i>	KGEEMLLSLEGNVKTPSSQGFFIQAKLHIPILFDG-NTEISITENVIHISTNTLLPHSP
<i>C.sapidus</i>	KGEEMLLSVKSDLKTPSPQGSSIQAKLNIPILLDG-ETEVSITENVIHITTNTLLPQSP
<i>F.chinensis</i>	DRSEPLIGLEWKMVRESSEKTTVGIVFVLPALIEN-KIDAEITDGLIHSVFSNNLVLPKTS
<i>M.japonicus</i>	EREEPVFGVEWKMVQESAEKTTLSIAFVLPALIEN-KVDAVITEDLVHVSFNNLVLPKTS
<i>P.carinicauda</i>	NREERLIATEWNMATQDGKETNVQFMIVPSMVEK-TMNIVVSEKVLHLSFNQLIMPKSS
<i>M.rosenbergii</i>	DREERLINVQWNMATTRDGQETNLDFKILIPSMIEK-TVNVIVSEKILHHTFNQLIGPKSS
<i>P.hypsotus</i>	NHPDRLMAVEWNMVTQNEQETRMDFKLILPSMIEK-SINVIISEKVLHWSVNMLVMPKSP
<i>P.japonica</i>	NQSERMIAVEWNMASQDEQQTKMNIKLNIPSMIENNRIADAISRKHIQLSFNNVVSPKSS
 ..... : . . . : . . . : . . . : . . . : *.	
<i>H.raphidea</i>	YEQTICKGSYSHSFVENKVTNSFLNKTRSGDPLEINLETKYVLEKGAP--FTLRGDLVLNG
<i>O.oratoria</i>	YRQRIKGFIDQDFRGKVIKSDLLWDAENDESKKISIETNYDFPEGGP--LTMHGGVVWRG
<i>P.trituberculatus</i>	SPRRRIKAFLDINWTQKGQMMMVLNADKEASQKIALDVIVPESGRPAEATLHTKLMLLD
<i>S.paramamosain</i>	SPRRRIKAFLDVNWWSQKGQMMMVLNADKDSSQKIALDVIVPESGRPAEATLHIKLMLLN
<i>C.sapidus</i>	FPERRRIKAFLDVNWTSQKGQMMMVLNADKDASQKIALDVTIVPESGRPAEATLHTKLMLLN
<i>F.chinensis</i>	SRRRVKGFAIDIAGKKANVEFSWADNAPEKKLVLDasLISSTANPGHAEIHGNIVIAG
<i>M.japonicus</i>	YRRRVKGFADVNIGEKRANVEFSWADKSPEKKLVLVDASLSSPSNPGHAEIHGNIVIAG
<i>P.carinicauda</i>	SPLRRKGFFDIDFESKRANAELOWDADRNPNNKKIKAEVRLVNPLATLRDCVIQGNWIYLE
<i>M.rosenbergii</i>	SPLRRKGFLDVDFEGKRANAEFAWDADRNPNNKKVKAEVAVGSSTLQNTVIHGGWTYLD
<i>P.hypsotus</i>	SPLRMKGFDVDFESNKVKAQVFADADRNPNNKKVKAEVAVGSSTLQNTVIHGGWTYLD
<i>P.japonica</i>	SPRRVKGFTDVDFENKKVKADLFWDADKEPNMKLTMEGTIVSSSSTPQQTIVHGAWTYIG
 * . . . : . * . : . : . . . : . . . : . . .	
<i>H.raphidea</i>	RSHGYNTKIDI-SILPMFEGQNKNIFVWTTATGKGFEIVANLDKKILPQKH-SLTGSLHL
<i>O.oratoria</i>	EPHQYNLKVLQASPLRIFEGHNEVDLVWTTPAQQTLNRALLDKHTHSNDSSMGTIHF
<i>P.trituberculatus</i>	QAYHSNMKVVVVPFLLQRYGERNSIHMEVQTPEQKKWMLLEVGVQKQ--GSN--TANVDTLF
<i>S.paramamosain</i>	KACHSIMKVVVVPFLLQOYGERNSIHMEVEAAEQKKWMLEIGVQKQ--ESN--TANVDTFT
<i>C.sapidus</i>	KAYNSNMKVVVVPFLLHQYGERNSIHMEVETPEQKKWMLLEVAVQKQ--ESS--TANVEVT
<i>F.chinensis</i>	EPYHAKLVLTAANLVEHMEGENGFKLILTTPTQKTVVLGASCVDVQLAGATT-KVISTVEY
<i>M.japonicus</i>	EPYHMKLILATNLLEYMEGENGFKLILTPSQKTVIQLGASCVDVQLETTT-KVVSVIEY
<i>P.carinicauda</i>	KQHQFKAEKLSDPRTWFIGRNSLMLEVTPSQMVKMNAMEKESGP-KVETEGTL
<i>M.rosenbergii</i>	RQHQFKAEKLHDIRTWFVGRNSLMLEVTPSQMVKMNAMEKESGP-KVGADVT
<i>P.hypsotus</i>	NTCQFKAELRILADPRTWFNGRNSMKLDFTTSSHRTYKMETVITIEQESSAP-KVEAMITF
<i>P.japonica</i>	STYRYKTEIMRSDPETWLFGKKDIELSTPSQKTHWLETTLNVEKESSGA-RVKAEIKY
 : . . . : . . . : . . . : . . .	
<i>H.raphidea</i>	KTVHDNDYTLTGKEYLERLLGPBREYQLQANIDLICEPQTQATISV---TDKKTGRERNVQI
<i>O.oratoria</i>	CTAHNDIYEWKGEYNNLEYLHEPMNYKLDAGLTLKSPPEIEEIVSAIHAYHKTENEREVLF
<i>P.trituberculatus</i>	KSVHDNNYHLTSSVQWQLLDGPLCFEVQTRITFIAPQNQSQFVLHVKKHMSPEQHIIYL
<i>S.paramamosain</i>	KSVNNNNYHLSDLRWQRQLDGPLICFEVQTRITFISPLNKRQSQFLHAKHNHSPQRRIHL
<i>C.sapidus</i>	KSINNNNNYQLTSELQWRRLDTPGFEAQTRTFISPLNKRQSQFILHAKNHISTQQRIIYL
<i>F.chinensis</i>	KNMMDRKYKYASVIALEKLGGPLNYAVEAKVTYKQPGTAEIKLETAAKHHWTPEEHVVAL
<i>M.japonicus</i>	KNMENKEYKYTSVIALEKLGGPYDYVVAKVVIYKQPETQEIMLETEVKHQWTPEEHVAF
<i>P.carinicauda</i>	RTPANKEYKWNSQTSLEWREGLRNCKMMTKVVDLNAPEGRQSTMNLEAMHHWTPTQREADL
<i>M.rosenbergii</i>	RTPENRERYKWDSESALEWREGLQNLRLTTKADLVEPGRQSTMNLEAMHHWTPTQREADL
<i>P.hypsotus</i>	KTPENRERYRLNSESSESVWLGPPYNMKVTTADMTCPREGRQTKVVIIEAKHHRTSSQREADV
<i>P.japonica</i>	KNPESKQYTASSSMSMEGLGMPYNFKFSQNDMISPEGRRASLSLETKHEKTPHQREVVF
 * . . . * . . . : . . . : . . .	

ภาพที่ 3-21 (ต่อ) การแสดงความคล้ายคลึงของยีนไวท์โลเจนินในกั้งตึกแต่นหางจุดกับสิ่งมีชีวิตในฐานข้อมูลของ Genbank ด้วยวิธี Nucleotide blast โดยกรดอะมิโน cysteine ที่พบในตำแหน่งเดียวกันของทุกอร์โมนในกลุ่มสิ่งมีชีวิตที่มียีน vitellogenin ใช้สัญลักษณ์สีดำ ส่วนตำแหน่งที่เหมือนกันในยีนทุกด้วยสัญลักษณ์สีเทา กรอบสีเหลืองคือ Signal peptide, สีฟ้าคือ LPD\_N, สีเขียวคือ DUF1943, สีแดงคือ VWD

ภาพที่ 3-21 (ต่อ) การแสดงความคล้ายคลึงของยีนໄวเทลโลเจนินในกั้งตึกแต่นหางจุดกับสิ่งมีชีวิตในฐานข้อมูลของ Genbank ด้วยวิธี Nucleotide blast โดยกรดอะมิโน cysteine ที่พบในตำแหน่งเดียวกันของทุกยีนรูปแบบในกลุ่มสิ่งมีชีวิตที่มีเย็น vitellogenin ใช้สัญลักษณ์สีดำ ส่วนตำแหน่งที่เหมือนกันในยีนทุกตัวใช้สัญลักษณ์สีเทา กรอบสีเหลืองคือ Signal peptide, สีฟ้าคือ LPD\_N, สีเขียวคือ DUF1943, สีแดงคือ VWD

<i>H.raphidea</i>	KGSATTQPIRAQIVWTNSTKAIVLHS-----QTK-EVAALKYQQIVPPEEASLWARLKTS-
<i>O.oratoria</i>	KALKFNPTIVLDTALTSSTKGIELHYTYDPAVPR-KSIALKYERVVPEEGILSAKLKTP-
<i>P.trituberculatus</i>	RVLQVKPRVMMEVSWAHTAAAFNFTFHETPSSPESLKVYAKYDRISKNYAAVTFHLAGEG
<i>S.paramamosain</i>	RVLQVKPRVMMEVSWAHTAAAFNFTFQETPSSPESLKVYAKYDRISRNHAATFHLAGEG
<i>C.sapidus</i>	RVLQVKPRVIMEVSWAHTAAAFNFTFQETPSSPESLKVYAKYDRISKNYAAVTFHLAGEG
<i>F.chinensis</i>	RMLKVNPKAIIATAAYAPETVALDVVFHKTPSAPIFAIAAKYDKTAAHNAATFTVEMEQ
<i>M.japonicus</i>	KILOVNPKAIVTVAAYAPETFALDVVFHKTPSAPIFAIAAKYDKTAAHNAATFTVEMEQ
<i>P.carinicauda</i>	KVLKVQPKVIVRAARGPGNYGFDIKFHKTLSPTSFLMSGRIDMRSGRNAASFVNKNEN
<i>M.rosenbergii</i>	KVLKDHPKVVRGAGQSNVGFDIKFHNHSPTTFRMSGRYDKRSGRNAASFVNKNEN
<i>P.hypsotus</i>	KALKVNPKVTAAAYGRTTGFDIQFHKTSPSPVSFLMSGKLDMSYGRVAATSFIVKTEG
<i>P.japonica</i>	KVLKVNPKVIVAASYAPHTVGFDILFEKNPSSRPSLVISGKYDRSSGRNAALAFTMKTEG
:	:
<i>H.raphidea</i>	TIDTEVSTILRAEKTSYCHGLNIHANYK-LHSHKYQTIAIRLCNPAYVQLTFKKSHDNNO
<i>O.oratoria</i>	SIDMEISTNLSEETNHCHGLNLDTHYV-LQSQEYEIKSHLCYPAHAEIVAFKKGDENN
<i>P.trituberculatus</i>	RPTMDVSGVIEPRYGHCDGFALLANARTSLLGDFAVNSTVCKPVFLEVVMKKQNSE--N
<i>S.paramamosain</i>	RPTMDVSGVIEPRYGLHCDGFALLANARTSLLGNFAVNSTVCRPMFLELVFKQDSE--N
<i>C.sapidus</i>	RPTMDVSGVIEPRYGHCDGFALLANRTSLLRNFAVNSTVCKPVFLEMVIKKENSE--K
<i>F.chinensis</i>	RPVFEITAVTEPEEAATCNGIRMKAVAYAATFGKYNVFSKMCRAFIIEVTAMRPGGA--K
<i>M.japonicus</i>	RPVFEITAVAEPPEEVTCNGIRIKAIANAPAFGKYNIFSKMCRAFIELTTMRHGGE--K
<i>P.carinicauda</i>	QKAVIDALALHPHQSSSCYGVRAEGKAMTSЛИГTYDIYSELCKPAFIEMTRKHGSD--K
<i>M.rosenbergii</i>	QKAIDISVALHPHQSSLSCYGVRAEAKSSLIGTYDIYSELCKPGFVSLTTKKGSD--R
<i>P.hypsotus</i>	RTVMDITGSVQPQTPECYGIRIGAKTHSSVIGTYDVSTKICKPAFIEVITKKHGSA--R
<i>P.japonica</i>	GPVVEISGSVKPEHHPECNGLKISAVARSSIIGSYDISSELCAAPAFMRMSMKHGSD--K
:	:
<i>H.raphidea</i>	RYMVSLSGMKSPYEIELDLHVEKPGKNNLQRYADVLSIKADVMTPRIVDLLVHYDTEAIKQ
<i>O.oratoria</i>	KYFLNAGLRSPGKIELDLKVEKPKWNQLDRFANVVGKIAELTSPITLDLEGHYHHEEEVE
<i>P.trituberculatus</i>	IYKAALGLQLPYKAQISLSESDRSQ-TWDKYISLV--DIHLATPRHIKIDYERYRENEMA
<i>S.paramamosain</i>	VYKAAIGIQLPYKAEISLSESDRFQ-TWDKYISLI--GIELATPHRIKIDYKQRQNEMAT
<i>C.sapidus</i>	IYKAALGLQLPYKARISLSESDFQ-TWDKYISLI--NIGLATPYRIKIDTEFRENEMAQ
<i>F.chinensis</i>	EYIVKLGLRYPDAEAGVYVASDRA-GESRGVAVA--AVKLASPTMLKVEMAYEPQEAEA
<i>M.japonicus</i>	EYTARLGLRYPDAAEAGVYVASGRA-EEIRGVAVA--AVKLASPTMLKVEMAYGPEEAQV
<i>P.carinicauda</i>	MHVTKIGMKGLKDVEVCISEANPET-MEKRPIGMA--RLMLTSPSMMKLETKYEGEKLHQ
<i>M.rosenbergii</i>	MYITKLGMQGMKNVEASILEANPRT-MEKRPLGMA--RMVLTSPTMKLETKYEGLDHLRS
<i>P.hypsotus</i>	MYVTKLGQGMKNVEISIYEADPET-EERQTLGMV--RVRLSSPSLMKVETVYKGDHILRS
<i>P.japonica</i>	TYMTRVGLQAIKNIELSVSEKERS-QEERHVSMM--RMKLVSPTIINWEMKYKSDEASS
:	:
<i>H.raphidea</i>	I----KPQLDILTQYESWHSIVQELREHEIYOSLKL--LVDIYQSQISKEMYDISE
<i>O.oratoria</i>	NMKEIMETIKTQVETFIQWWQSIYHQLLEDAASQSELPIVEADKVLLYFRDEFLHIYED
<i>P.trituberculatus</i>	LKDLVLDVYRITEREELWSWTDVYAEIERQASQAGVPFPPTPKIRQLMQEIKQEIVEIYRD
<i>S.paramamosain</i>	LKDSVLNDVYRITEREELWTDVYSEVNQRQAGQAGVPFSAPEISQLLQEVKRDIMEIYAD
<i>C.sapidus</i>	LRDLVVNDVYRTEAFFMWTDVYNEIKRQASQAGVPFFPAPEIRHLLQEIQEDILDYSD
<i>F.chinensis</i>	IINEMTEEFKIAASFSTSVVMEVVEFLKEEAAAKGIQFPSSQLVNLLGVAKEEIEEITYRD
<i>M.japonicus</i>	LMNEMTEEEYKEAVLFKSVVMVEVVFLEEEASAKGIHFPPSQLVTLGGVAKEEIEEITYRD
<i>P.carinicauda</i>	IKSELQDIWRNHISSAGNWMD---SMSTEVLKE-GSGSPSAQMSVLWQEIKNEASRYS
<i>M.rosenbergii</i>	IKSTVGDMLERLMSAGNWMD---SMSSEVLQE-GSGSPSGHMSVWQEIKNEASRYS
<i>P.hypsotus</i>	IKSAVYENWSSLTSSAGSWLD---DMCREVIREGGSSSPSAQMAKLWQEIKAEASRYS
<i>P.japonica</i>	LWEAFSEKWSMSSPAMSWM---NCQCEIFQQSGSNSPYTEMARLWQETKEEALRINT
:	:

ภาพที่ 3-21 (ต่อ) การแสดงความคล้ายคลึงของยีนไวท์โลเจนินในกั้งตีกแต่นหางจุดกับสิ่งมีชีวิตในฐานข้อมูลของ Genbank ด้วยวิธี Nucleotide blast โดยกรดอะมิโน cysteine ที่พบในตำแหน่งเดียวกันของทุกอร์โนนในกลุ่มสิ่งมีชีวิตที่มียีน vitellogenin ใช้สัญลักษณ์สีดำ ส่วนตำแหน่งที่เหมือนกันในยีนทุกดัวใช้สัญลักษณ์สีเทา กรอบสีเหลืองคือ Signal peptide, สีฟ้าคือ LPD\_N, สีเขียวคือ DUF1943, สีแดงคือ VWD

O.oratoria	LRKDEVIPDFYHVFQVLINELHTIITQSHEAYLYASEVITQIYTYAEFSKISKAYQESE
P.trituberculatus	LIYNDILYEWNALVEILHGPATATFIKK-----SIFQSLQSMQLQREREWAV-----
S.paramamosain	VIYNDILYEWDTLMQILHRPTATFIKE-----FIFQSLQTMMAHSQREREWAV-----
C.sapidus	LI-HDIWSVWDAMMEILYSSPVSFTIFITK-----SIFQSLESMAHMQREREWAV-----
F.chinensis	IVSEARIFDTEIILGDPSPVVSFISR-----VYIGVWSEIMRLQNHLCSV-----
M.japonicus	ILSDARIFDTEIIRDILASPVSFVPR-----VYFGVWSEIVLQLHQHLSV-----
P.carinicauda	LENDLVIPIRLDNIRKWTSHSDLVSNIAE-----GCSKLWSQYAHFQQTLLSS-----
M.rosenbergii	LENDLVIPIKYDRLREWARGGLLSNVAE-----GCSKVWSHSHYAHVQNSLSS-----
P.hypsotus	LEYDCVIPSFEKIKQLARSDIVRNVAS-----GYFNLWSHYVQIQHMRMAS-----
P.japonica	LVYDNMIPSYETERYWARSQTIRNLIS-----GYKQMWSNVDELKMELY-----
:	
H.raphidea	FAQILKELKRVLLQLRELYKQDRLTPHEVLEILSHILPLEEVKEFIAHFKEEHPEVYQNI
O.oratoria	IMETLVQTRTVLIQLKDLYEKNQLTPETMMQTLKGTSWEKIELAKLQEEHPQEYQAI
P.trituberculatus	---SIVE-----Q---LKQHFKPAINKISEAVKQV-----
S.paramamosain	---YMQ-----QIMELQHQFEPVINKITEAVREV-----
C.sapidus	---AMVE-----Q---LKEHWRPAINKISEAMKEI-----
F.chinensis	---SLIQ-----TIERFQEELGSISEIVMEVVMTA-----
M.japonicus	---NIIQ-----AIERFQGEFEGITEIIMEIVMEA-----
P.carinicauda	---SVSD-----MMRTLKEQFSGLTNVKKEVVVGT-----
M.rosenbergii	---SVSN-----MIRTIREEFPGLTRVVTTEVMGT-----
P.hypsotus	---SVSN-----AVRTMQSEFDDIAKIIIEAVMGS-----
P.japonica	---S-----IPRTMKSHFEGLTQVNNAVVGIT-----
:	
H.raphidea	TYVWETLKKVLGQLLPWKKTSGEPGTYSSEYQQLYESIFNTLNITTPLYPEGILKHIE
O.oratoria	VDVWNVNNGE-----YNPVEIMNHIKT-----
P.trituberculatus	-----DQWMQTGEEPEIVRRLIEEVERSAIY-----RLLQTEIIQPIKE-----
S.paramamosain	-----GQWMHTGEEPEMVRRLVEDLERSAIY-----HILQTHIEPIRE-----
C.sapidus	-----AQWMQTGEEPEMVRRLVEEVERSAIY-----HVLKTHIEPIKE-----
F.chinensis	-----ARMAETGEVPEVVFDALEEIKATRVF-----RIVKRE-VDAILE-----
M.japonicus	-----TRMAETGEVKVLLDVLEQIRASKVF-----RIVKRE-VYEILD-----
P.carinicauda	-----ARGMKTGEMPQEIQRWWSEFQESSVY-----RNVESE-FESLWR-----
M.rosenbergii	-----ARGLQTGEMPEVFRWWNEFLESSFC-----RAIESD-FDPLWN-----
P.hypsotus	-----ARSLQTGEMPEGIRSLWSQMRETAIY-----RTVQRE-LDSMLS-----
P.japonica	-----ARWMKTGEMPEEMGRLIEQVQRNSLW-----IDVCKF-FTDMKR-----
:	
H.raphidea	SYPEMYTALPHVVLKILDSTIKQDA---HHLIKTSPLRQVIDWLHGHYKFDDVPQTD--A
O.oratoria	LYPKEWETVIDLGHVIQDIKIDANKVYRRLMQRPLIRKVIEWFLHSFGLENIPQAE--E
P.trituberculatus	TYPQQYQVTDVDVAKVIYTLRHDLMTKHKVLASPTLSRVIRKIA-DLSQDNTLQRQLEW
S.paramamosain	IYPQQYQATMEVVAKVIDTLRHDLMMQHKVLASPTLHRIIHKIA-ALSQDDILQRQLEW
C.sapidus	TYPQQYQATMEVVAKVIATFRRDLIMMQQKVLASPTLHRLIRRIA-DLSQDNTLQRQLEW
F.chinensis	VYPEEYEAVKHIVDNVVAILERDVGIVRERLMEIPAVVKIIDYTMHFHSERAFAAAEK
M.japonicus	EYPEEYEAITHVGNGNMAMLERDEIVRVGLMCKMPAVQRIIDYIMNFHSKQVFAVEAER
P.carinicauda	NHQEEYQGLKQILSKIKSTLRRNVDQMRRNIMLYKKSTHIVNWIVNHNMFDHMMFKSIDM
M.rosenbergii	EYQEEYQGLQKQIWRKVKNLTKDVRNRQRRLMHYKKPRHLVNWIVSDMNIERMVFRGVDK
P.hypsotus	QYPEEYQGLQQMЛЕКВКСТЛАТДФАКQRHNLQMHSKPRHMINWINNHLNFDРММФQCМDR
P.japonica	MIMEENEAIIVEIFNKYKETLMKDIETIREDLQMNTQIQEYIDWIINHLFЕQMVTKSMEH

ภาพที่ 3-21 (ต่อ) การแสดงความคล้ายคลึงของยีนไวเทลโลเจนินในกั้งตักแต่นหางจุดกับสิ่งมีชีวิตในฐานข้อมูลของ Genbank ด้วยวิธี Nucleotide blast โดยกรดอะมิโน cysteine ที่พบในตำแหน่งเดียวกันของทุกชอร์โมนในกลุ่มสิ่งมีชีวิตที่มียีน vitellogenin ใช้สัญลักษณ์สีดำ ส่วนตำแหน่งที่เหมือนกันในยีนทุกตัวใช้สัญลักษณ์สีเทา กรอบสีเหลืองคือ Signal peptide, สีฟ้าคือ LPD\_N, สีเขียวคือ DUF1943, สีแดงคือ VWD

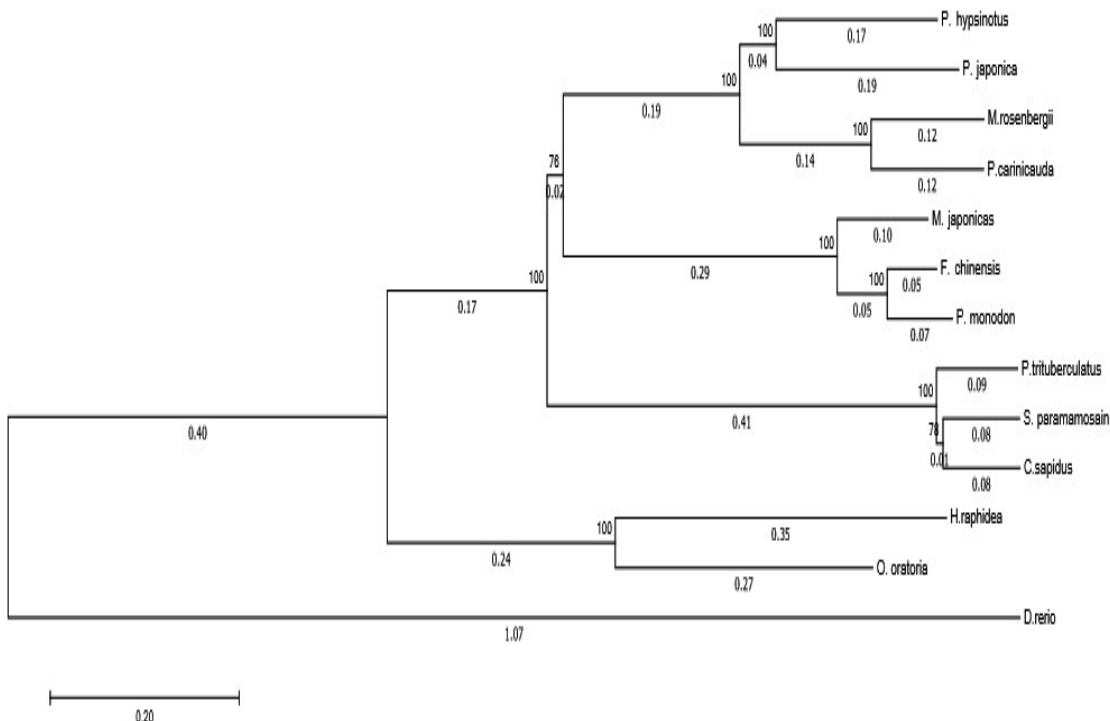
O.oratoria	VLRFLYQLLEETLQLNYSK-KEGRLHLVLPLNRPVYSLTTVPYGVS---PRLPVWKNLIG
P.trituberculatus	LESQLMQSVI----IAPEPGVNHVGIQIPLYRPIYSLSQVVNMTCMQSPLTLSKMLL
S.paramamosain	WESQVTQSVL----IAPEPGVYHVGIQIPLYRPIYSLQMVVNMTC--QSPPTLSKKILL
C.sapidus	WESQVMQSII----IAPEPGVYHVGIQIPLYRPIYSLSQVVNMTC--QSPLTITEKILL
F.chinensis	VVSLMLNELL----FVSMEREGNGVEVRIPLHRLPLSITQVAQEAV--PNPVTMLENLIF
M.japonicus	VVSLILSELL----YVSIEREGNGIEVQIPLHRLPLSITQVAQEAV--PIPITMLENLIF
P.carinicauda	WVKNVVQQAL----LLPVQMEGRHFQLQLPIRRPVHSLPQALSYVS--LNPPVVDRALW
M.rosenbergii	VIKNVVKAL----IPVQIDGSHFQLQLPIRRPVQSLPQALSYVS--LNPTPVVDRALW
P.hypsotus	LVKNVVKAL----FLSVQMEGNDVQVQLPIRRPVYSLPQAFSYAS--MSPVPAIDTALW
P.japonica	VLDKVVQMSL----LSSVQIRGNHIEIQIPIRQPVNLSLPOAWKFMS--LNPIPVPNELMR
	: . . . * * *
H.raphidea	ILQRILPV-----EYKPLDRV-----ISSVAVYHGDGYLTTFDGTSIKLPESH <b>CQ</b>
O.oratoria	LFQTLIPM-----CYKFFNAL-----TSSPAIYYGDGKMY <b>TFDGMMILKLPVTPCQ</b>
P.trituberculatus	SAAEAFNPISVRKILETYNRWVPRNLNSALPLSLNQSA <b>LVVGDTETILTFDGVLRLMPRSSCK</b>
S.paramamosain	SAEGFSPIPVSKILKTYDWDWVPRNLNSALPLTLNRS <b>A<b>LVVGDTETILTFDGVLRLMPRSSCK</b></b>
C.sapidus	SAAEAFNPPIPVSVKLETYNRWVPRNLNSALPVSFNQSA <b>LVVGDTETILTFDGVLRLMPRSSCK</b>
F.chinensis	AYVEYIPIPVSDAIWAFYNFVPRYITDVLPPYPRTA <b>TAVVGGEETILTFSGLVVRAPRSPCK</b>
M.japonicus	AYLEYIPIPVEHAIWAYYNFIPRYITDVLPPYPRTA <b>TAVVGGEETILTFDGGLVVRAPRSPCK</b>
P.carinicauda	WLEALMPTSDVNIVWTYYKFLPRHARYLLPPFNRT <b>AMVVDGTEETILTFDGAVLVRPHSPCK</b>
M.rosenbergii	WLEALMPTPIDNLWAHYKFLPRHARYLLPPYNHT <b>AMVVDGSEETILTFDGVVLRVPHSPCK</b>
P.hypsotus	SFEALMPTPVDNLIWAYYSFMPRHARYLVPYYNRT <b>AMVVDGTEETILTFDGAVLRAPRSSCK</b>
P.japonica	LYEAVTLRSTDYLVWGYYTLP <small>RHVT</small> DLPPFNRT <b>AMVVDGSEETILTFDGVVLRAPRSPCK</b>
	* : **.* : : * : * :
H.raphidea	YILTTDGYDYVAVTNLPGNKNEFELTVENGRHEIAIDKYQIYINGTKRTEEEIHSSHQ
O.oratoria	YILTTDGYDHVTVRVLPENKYEFGTVDNGRHKIIIDSEYKVFDDQEQTTEEKASIDSY-
P.trituberculatus	VLLASVPDVVSIYMSHPQPSQGPQEVLQAGSTKAIKPNLEVTDVNGQQVHGRQ-TVGD--
S.paramamosain	VLLASVPDVVSVYMSHPQPSGAPEVTLQAGSTKAIKPNMEVDVNGRQVHGRQ-TVGD--
C.sapidus	VLLASVDVVIYMSHPQPSQAPEITLKAGSTKAIKPNMEVDVNGQQVHGRQ-TVGD--
F.chinensis	VLLAAHG-SHRLMMMSHPQASAPAQUELKTPAATVMKPDFEVVVNGQPLAGSQQTIGN--
M.japonicus	VLLAAHG-SHRLMMMSHPQPSGPQLELNTSAASVVIKPDFEVLDGRPLTGSQQQTIGN--
P.carinicauda	VLPAQYK-THSLMMENQKSSSPSPHFIMKAAGATMEVKPDFTVTNGRPVSGPREVQGE--
M.rosenbergii	VLLAQYK-THSLVMQNQOPGHLPFIILKAAGATVEVKPEFVVTVNGNPVSGPREVQGE--
P.hypsotus	VLLAQHK-SDSLVMQNQOPAQLPFFLAKASGTVTVEVKPDFTVTMNGQPISGPEKVQGE--
P.japonica	VLLAAKYK-SHSLIMEHPQSSSSPQVTLKSTGTVVVKPDHKVTVNGREVSGQEMTEGQ--
	: . . . : . . . : . . .
H.raphidea	LIVYQRPMEVVVSPTLQLVYKNAPTFRLYASTELQGRLQGVMAAFNDFQGDDIMMPNG
O.oratoria	ATVSQHTDEVTARGRSLYLIVSCTSPTFRLYASVERLGRLEGMLGTLNNFQGDDIMMPNG
P.trituberculatus	LVIEVNPHRVTVSPMLGVQLMKEQRVVIVVNASTWVFNHTRGLLGLYDHERANDRMMMSNG
S.paramamosain	VVIEVNPHYVTLVSPMLGVQLMKERVVVMVNASTWVFNHTRGLLGLYDNERANDRMMMSNG
C.sapidus	VVIEVNPHYVTLVSPMLGVQLMKERVVVMVNASTWVFNHTRGILGLYDNERANDRMMMSNG
F.chinensis	VRIVNTAEHIEVGCPVMKVVVAKTGQVVAVEASGWVFGRVAGLLGPNNCEIADDRLMPSG
M.japonicus	IRIVNAAKHIEVGCPVLMKVVAVAKTGQVVAVEASGWVFGRVAGLLGPNTCEIADDRLMPG
P.carinicauda	VEIVKDQEKEIKVVRTPFITLRVYRMSHAASVEVSGWTFGKVAGLLGTYDCEMGNDWMTPQG
M.rosenbergii	VVIVKENEKIKVVRTPFITLRVYKDSRTASVEVSGWTFGRIAGLLGTYDCEKATDRMTPQG
P.hypsotus	VKIFKRAEKIEVMTPFMLTRVYKMSHTASVEVSGWTFGQLAGLLGTYDCEMGNDWMTPSG
P.japonica	VKVKWKTSAEIKVLSPEFMIVRVFPNNVISVEVSGWTFGFWVAGLLGTYDCEMTNDWATSG
	: : : : . : * * : : * : * : * :

ภาพที่ 3-21 (ต่อ) การแสดงความคล้ายคลึงของยีนไวนิโลเจนินในกั้งตี้กั้นทางจุดกับสิ่งมีชีวิตในฐานข้อมูลของ Genbank ด้วยวิธี Nucleotide blast โดยกรดอะมิโน cysteine ที่พบในตำแหน่งเดียวกันของทุกอร์โมนในกลุ่มสิ่งมีชีวิตที่มียีน vitellogenin ใช้สัญลักษณ์สีดำ ส่วนตำแหน่งที่เหมือนกันในยีนทุกตัวใช้สัญลักษณ์สีเทา กรอบสีเหลืองคือ Signal peptide, สีฟ้าคือ LPD\_N, สีเขียวคือ DUF1943, สีแดงคือ VWD

<i>H.raphidea</i>	RITHNPTAFLKS	WQVKPSCNHSDAAHRMWPASCQSNLTTLRFMACKKLTLSG-----TL
<i>O.oratoria</i>	ELAPDAPTFLKS	WQVDSC-----
<i>P.trituberculatus</i>	RNASSLHDLVNS	WQENPNCPTPSITPVDP-----MHVPVKESVLCDFLFFQMRPCMPVV
<i>S.paramamosain</i>	RNASSLHDLVNS	WQENPSCSTPSITPIDP-----THVPVKESVLCDFLFFQMKPCMPVV
<i>C.sapidus</i>	RNASSLHDLVNS	WQENPSCPTPSITPVDP-----THVPLKESVLCDFLFFQMKPCMPVV
<i>F.chinensis</i>	AAASNPRDLVAA	WQEDRQCSTPEAPR-----AETTVARLIQCEALLGIRSRCNPVV
<i>M.japonicus</i>	VQASSPRELVSA	WQEDQGCSTPEVPR-----SETTVARLIQCQTLLGIRSRCNPVV
<i>P.carinicauda</i>	TWAPNMQELVKS	WQENQOCQTPQVAPVSP-----MQVPVVHALHCQALFGVRSRCNPVV
<i>M.rosenbergii</i>	TRASNLQELVKS	WQENPQCETPPAPIANP-----MQVPVVHMLHCQTLFGVRSRCNPVV
<i>P.hypsotus</i>	SRASTLQELVRS	WQENQOCQTPSVPASP-----LQTPVVHMVKCNALFGVRSRCNPVV
<i>P.japonica</i>	SKASSLQELVRS	WQEDQOCQTPSISFMSA-----SQTPALRSLQCQALLGIRSRCTPVV
	:	: : * .
<i>H.raphidea</i>	AKFPKIIYKCNQI	III-----KKK-----
<i>O.oratoria</i>	-----	-----
<i>P.trituberculatus</i>	SPKPFMQSCRIYSRPFEVIRSYQTFCRTQGV--MFPLSVF	
<i>S.paramamosain</i>	SPKPFIQSCLIQSRSRFEVAHSYQSFCRMQGV--MFPLSIY	
<i>C.sapidus</i>	SPKPFIQNCRIHPRFEAARSYQSFCRMQGV--MFPLSAF	
<i>F.chinensis</i>	HPQPFIKMCHAHKACDAAQAYRTVRSLRGVGEVFPLGC-	
<i>M.japonicus</i>	QPQPFINMCHAARNACDAAQAYRTICALRGVEEMRPWAC-	
<i>P.carinicauda</i>	RPEPFRKMCFASRNACHVAKAYRAMCETKGVKETFPLGC-	
<i>M.rosenbergii</i>	RTEPFKKMCFASRNACHVARAYSAMCATKGVKEVFPLGC-	
<i>P.hypsotus</i>	RQEPFMKMCFASRNACHVARAYSAMCATKGVKEVFPLGC-	
<i>P.japonica</i>	RPEPFIKMHSSRSACDVARAYNAICSSKGVKDVFPPLTC-	

ภาพที่ 3-21 (ต่อ) การแสดงความคล้ายคลึงของยีนไวเทลโลเจนินในกั้งตื๊กแต่นหางจุดกับสิ่งมีชีวิตในฐานข้อมูลของ Genbank ด้วยวิธี Nucleotide blast โดยกรดอะมิโน cysteine ที่พับในตำแหน่งเดียวกันของทุกอยร์โมนในกลุ่มสิ่งมีชีวิตที่มียีน vitellogenin ใช้สัญลักษณ์สีดำ ส่วนตำแหน่งที่เหมือนกันในยีนทุกตัวใช้สัญลักษณ์สีเทา กรอบสีเหลืองคือ Signal peptide, สีฟ้าคือ LPD\_N, สีเขียวคือ DUF1943, สีแดงคือ VWD

เมื่อศึกษาความสัมพันธ์เชิงวิวัฒนาการโดยใช้ลำดับกรดอะมิโนของยีนไวท์โลเจนินในกั้งตักแต่นหางจุด ที่ทำหน้าที่ผลิตโปรตีนไวท์โลเจนินในเดคาพอดครัสเตเชียนหลายชนิด โดยใช้โปรแกรม MEGA6 พบว่ามีความสัมพันธ์กับกั้งตักแต่น *Oratosquilla oratoria* มากที่สุดที่ 100 % โดยมีระยะห่างของความสัมพันธ์เป็น 0.62 ทำให้ทราบว่ายีนที่ผลิตโปรตีนไวท์โลเจนินในกั้งตักแต่น มีความคล้ายคลึงกัน และมีวิวัฒนาการร่วมกันเมื่อเทียบกับสัตว์กลุ่มกั้งตักแต่น กุ้ง และปูชนิดอื่น ๆ ดังภาพที่ 3-22



ภาพที่ 3-22 การศึกษาความสัมพันธ์เชิงวิถุตนาการโดยใช้ลำดับนิวคลีโอไทด์ของยีนที่ทำหน้าที่ผลิตไวเทลโลเจนินในสัตว์กลุ่มกังหัน กุ้ง และปูที่มีการระบุในห้องสมุดยีน โดยใช้ *O.oratoria* (ALI16501.1), *P.trituberculatus* (AAX94762.1), *S.paramamosain* (ACO36035.1), *C.sapidus* (AFI59132.1), *F.chinensis* (ABC86571.1), *M. japonicus* (BAD98732.1), *P.carinicauda* (AFM82474.1), *M.rosenbergii* (BAB69831.1), *P.hypsinotus* (DAD11098.1), *P. japonica* (AHD26978.1), *P.monodon* (ABB89953.1) และ *D.rerio* (XP\_009294676.1)

### 3.3.2 ยืนตัวรับชอร์มอนเอสโตรเจน

จากการหาลำดับนิวคลีโอไทด์ทั้งหมดของยืนตัวรับชอร์มอนเอสโตรเจน (NGS: 6598) ในกั้งตีกแต่นหางจุดพบว่ามีลำดับนิวคลีโอไทด์ทั้งหมดทั้งหมด 2,715 คู่เบส และมีลำดับกรดอะมิโน 905 ตัว มีส่วนที่เป็น Open reading frame มีลำดับนิวคลีโอไทด์ 1,386 คู่เบส และมีลำดับกรดอะมิโน 462 ตัว โดยยืนตัวรับชอร์มอนเอสโตรเจน พบโดยmen ZnF\_C4 มีค่า E-value เท่ากับ 1.51e-39 และ HOLI มีค่า E-value เท่ากับ 1.2e-24 ดังตารางที่ 3-25 และเปรียบเทียบลำดับนิวคลีโอไทด์กับข้อมูลในห้องสมุดยืนด้วยวิธี BLASTX พบร่วมกับความคล้ายกับของยืนตัวรับชอร์มอนเอสโตรเจนในปูขาว *Scylla paramamosain* ปูม้า *Portunus trituberculatus* ปลา *Zootermopsis nevadensis* เหาตามลำตัว *Pediculus humanus corporis* จิงหรีด *Teleogryllus emma* แมงมุม *Stegodyphus mimosarum* ด้วงสนภูเขา *Dendroctonus ponderosae* โคพีพอด *Tigriopus japonicas* และแมลงวัน *Fopius arisanus* ตามลำดับ ดังตารางที่ 3-25

เมื่อนำลำดับนิวคลีโอไทด์ และลำดับกรดอะมิโนมาเรียงลำดับด้วยโปรแกรม six frame translation ได้ผลดังภาพที่ 3-23

ตารางที่ 3-25 โดยmen ที่พบบนยืนตัวรับชอร์มอนเอสโตรเจนในกั้งตีกแต่นหางจุดที่ได้จากการวิเคราะห์การเปรียบเทียบลำดับนิวคลีโอไทด์และลำดับกรดอะมิโนในห้องสมุดยืนด้วยวิธี Next generation sequencing technology ด้วยหลักการของหลักการของเครื่อง Illumina

Name	Start	End	E-value
low complexity	13	22	N/A
low complexity	43	63	N/A
low complexity	89	99	N/A
ZnF_C4	128	199	1.51e-39
HOLI	271	430	1.2e-24

เมื่อนำผลที่ได้จากการวิเคราะห์การเปรียบเทียบลำดับนิวคลีโอไทด์และลำดับกรดอะมิโนจากภาพที่ 3-23 ไปศึกษาความเหมือนกันของยืนกับสิ่งมีชีวิตอื่นด้วยโปรแกรม CLUSTAL W (1.2.1) ได้ผลดังภาพที่ 3-24

ตารางที่ 3-26 การประยุกต์ใช้แบบจำลองพินิคส์ในการค้นหาตัวรับสารเคมีด้วยวิธี BLASTX ของปีนี้ตัวรับสารเคมีเหล่านี้ในพืชภูมิประเทศทางจังหวัด

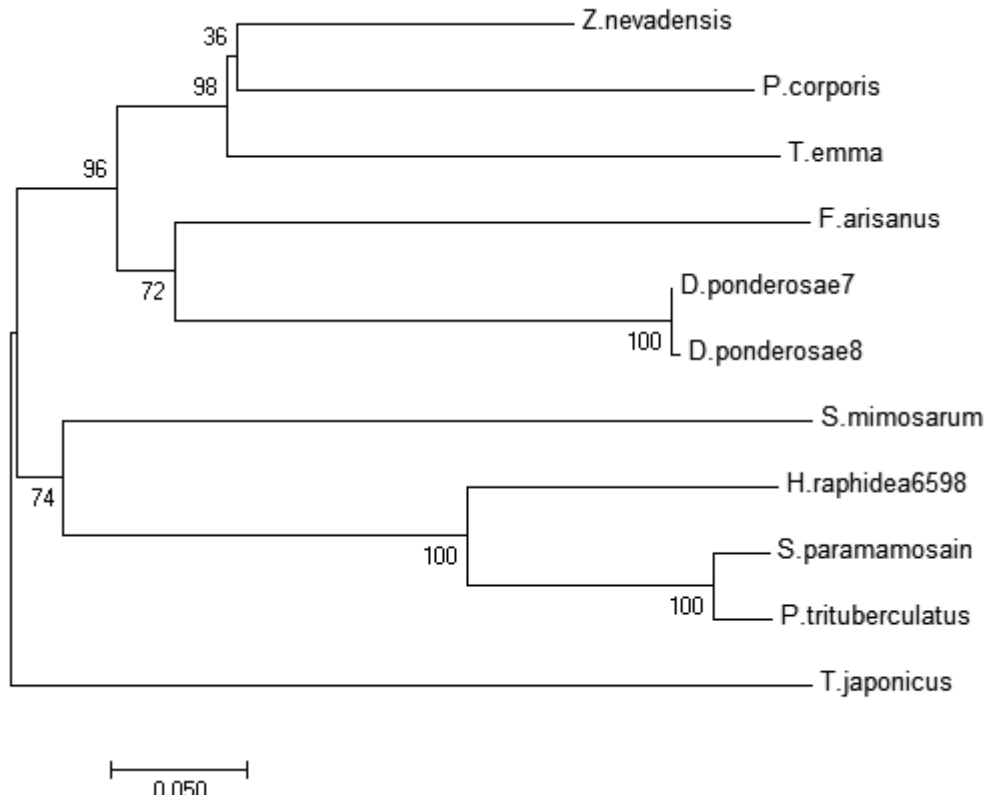
Description	Max score	Total score	Query cover	E value	Identity %	Accession
Estrogen-related receptor [Scylla paramamosain]	638	638	50%	0.0	76%	ADB43256.1
Estrogen-related receptor protein [Portunus trituberculatus]	614	614	43%	0.0	81%	AI576179.1
Estrogen-related receptor gamma [Zootermopsis nevadensis]	470	470	40%	3e-153	64%	KDR06670.1
Retinoid X receptor, putative [Pediculus humanus corporis]	443	443	40%	2e-142	60%	XP_002431237.
Estrogen receptor-like protein [Teleogyllus emma]	441	441	37%	3e-142	65%	ACW84414.1
Estrogen-related receptor gamma [Stegodyphus mimosarum]	440	440	39%	7e-141	62%	KFM71034.1
Hypothetical protein YQE_02252 [Dendroctonus ponderosae]	433	433	40%	8e-139	61%	ENN81341.1
Hypothetical protein D910_05107 [Dendroctonus ponderosae]	432	432	40%	2e-138	61%	ERL87717.1
estrogen related receptor [Tigriopus japonicus]	429	429	39%	4e-136	60%	AID52852.1
PREDICTED: steroid hormone receptor ERR2 isoform X2 [Fopius arisanus]	426	426	39%	5e-136	61%	XP_011312293.
					1	

ภาพที่ 3-23 ลำดับนิวคลีโอไทด์และกรดอะมิโนของยีนตัวรับฮอร์โมนเอสโตรเจน (NGS: 6598) ในกั้งตี๊กแตนทางจุดเมื่อผ่านการ BLASTX โดยตัวอักษรพิมพ์เล็กคือลำดับนิวคลีโอไทด์ก่อนถึง start codon และหลัง stop codon โดยสัญลักษณ์สีเหลืองคือโดเมน ZnF\_C4, สีฟ้าคือโดเมน HOLI และสีชมพูคือ Transcription termination signal

ภาพที่ 3-24 การแสดงความคล้ายคลึงของยีนตัวรับฮอร์โมนเอสโตรเจน (NGS: 6598) ในกั้งตักแต่น หางจุดกับสิ่งมีชีวิตในฐานข้อมูลของ GenBank ด้วยวิธี Nucleotide BLAST โดยกรดอะมิโน cysteine ที่พบในตำแหน่งเดียวกันของทุกฮอร์โมนในกลุ่มสิ่งมีชีวิตที่มียีน estrogen related receptor ใช้สัญลักษณ์สีเทาเข้ม ส่วนตำแหน่งที่เหมือนกันในยีนทุกตัวใช้สัญลักษณ์สีเทา กรอบสีเหลืองคือโดเมน ZnF C4 และสีพ้าคือโดเมน HOXI

ภาพที่ 3-24 (ต่อ) การแสดงความคล้ายคลึงของยีนตัวรับฮอร์โมนเอสโตรเจน (NGS: 6598) ในกั้งตักแตนหางจุดกับสิ่งมีชีวิตในฐานข้อมูลของ GenBank ด้วยวิธี Nucleotide BLAST โดยกรดอะมิโน cysteine ที่พบในตำแหน่งเดียวกันของทุกฮอร์โมนในกลุ่มสิ่งมีชีวิตที่มียีน estrogen related receptor ใช้สัญลักษณ์สีเทาเข้ม ส่วนตำแหน่งที่เหมือนกันในยีนทุกตัวใช้สัญลักษณ์สีเทา กรอบสีเหลืองคือโดเมน ZnF C4 และสีฟ้าคือโดเมน HOI

เมื่อศึกษาความสัมพันธ์เชิงวิวัฒนาการด้วยลำดับกรดอะมิโนของยีนตัวรับฮอร์โมนเอสโตรเจน (NGS: 6598) ในกั้งตีกแต่นหางจุดโดยใช้โปรแกรม MEGA เวอร์ชัน 7.0 พบร่วมกับความสัมพันธ์กับปูม้า *Portunus trituberculatus* และปูขาว *Scylla paramamosain* มากที่สุดที่ 100 % ทำให้ทราบว่า yīnตัวรับฮอร์โมนเอสโตรเจนในกั้งตีกแต่นหางจุดมีความคล้ายคลึงกัน และมีวิวัฒนาการร่วมกันเมื่อเทียบกับสัตว์กลุ่มจิ้งหรีด โคพีพอด และแมลงชนิดอื่นๆ ดังภาพที่ 3-25



ภาพที่ 3-25 การศึกษาความสัมพันธ์เชิงวิวัฒนาการโดยใช้ลำดับนิวคลีโอไทด์ของยีนตัวรับฮอร์โมนเอสโตรเจนในกั้งตีกแต่นหางจุด ที่มีการระบุในห้องสมุดยีน โดยใช้ *S. paramamosain* (ADB43256.1), *P. trituberculatus* (AIS76179.1), *Z. nevadensis* (KDR06670.1), *P. corporis* (XP\_002431237.1), *T. emma* (ACW84414.1), *S. mimosarum* (KFM71034.1), *D. ponderosae*(YQE) (ENN81341.1), *D. ponderosae* (D910) (ERL87717.1), *T. japonicus* (AID52852.1) และ *F. arisanus* (XP\_011312293.1)

### 3.3.3 ยืน hepatocyte nuclear factor 4-alpha-like

จากการหาลำดับนิวคลีโอไทด์ทั้งหมดของยืน hepatocyte nuclear factor 4-alpha-like (NGS: 20511) ในของกั้งตักแต่นหางจุดพบว่ามีลำดับนิวคลีโอไทด์ทั้งหมด 2,039 คู่เบส และมีลำดับกรดอะมิโน 697 ตัว มีส่วนที่เป็น Open reading frame มีลำดับนิวคลีโอไทด์ 1,428 คู่เบส และมีลำดับกรดอะมิโน 476 ตัว โดยยืน hepatocyte nuclear factor 4-alpha-like พบโดยน-men ZnF\_C4 มีค่า E-value เท่ากับ 3.93e-38 และ HOLI มีค่า E-value เท่ากับ 7.18e-46 ดังตารางที่ 3-27 และเปรียบเทียบลำดับนิวคลีโอ-ไทด์ของชิ้นดีเอ็นเอจากกั้งตักแต่นหางจุดที่ได้จากเทคนิคเอ็นจี เอสกับข้อมูลในห้องสมุดยืนด้วยวิธี BLASTX พบว่ามีความคล้ายกับของยืน hepatocyte nuclear factor 4-alpha-like ในหนอน *Saccoglossus kowalevskii* 模ต *Tribolium castaneum* แมงดา แอตแลนติก *Limulus polyphemus* แมลงวัน *Fopius arisanus* และหอยนางรม *Crassostrea gigas* ตามลำดับ ดังตารางที่ 3-27 เมื่อนำมาเรียงลำดับด้วยโปรแกรม six frame translation ได้ผลดังภาพที่ 3-28

ตารางที่ 3-27 โดยน-menที่พบบนยืน hepatocyte nuclear factor 4-alpha-like ในกั้งตักแต่นหางจุดที่ได้จากเทคนิค Next generation sequencing technology ด้วยหลักการของเครื่อง Illumina

Name	Start	End	E-value
ZnF_C4	26	97	3.93e-38
HOLI	159	322	7.18e-46
low complexity	368	388	N/A
low complexity	399	415	N/A
low complexity	434	446	N/A

เมื่อนำผลที่ได้จากการวิเคราะห์การเปรียบเทียบลำดับนิวคลีโอไทด์และลำดับกรดอะมิโน จากภาพที่ 3-26 ไปศึกษาความเหมือนกันของยืนกับสิ่งมีชีวิตอื่นด้วยโปรแกรม CLUSTAL W (1.2.1) ได้ผลดังภาพที่ 3-27

ตารางที่ 3-28 การประยุกต์ใช้แบบจำลองไนโตรเจนต์ดักบีช้อมูลในห้องสมุดยืนตัววิเคราะห์ BLASTX ของยีน hepatocyte nuclear factor 4-alpha-like ในกงตากแคนดู  
ทางจุล

Description	Max score	Total score	Query cover	E-value	Identity es	Accession
PREDICTED: hepatocyte nuclear factor 4-alpha-like [Saccoglossus kowalevskii]	475	475	49%	1e-157	72%	XP_002731047.1
PREDICTED: hepatocyte nuclear factor 4-gamma isoform X10 [Tribolium castaneum]	471	471	54%	2e-155	65%	XP_008196276.1
PREDICTED: hepatocyte nuclear factor 4-gamma isoform X3 [Tribolium castaneum]	469	469	54%	9e-155	64%	XP_008196269.1
hepatocyte nuclear factor 4 [Tribolium castaneum]	469	469	54%	1e-154	64%	EFA07427.1
PREDICTED: hepatocyte nuclear factor 4-gamma isoform X5 [Tribolium castaneum]	469	469	54%	1e-154	64%	XP_008196271.1
PREDICTED: hepatocyte nuclear factor 4-gamma-like [Limulus polyphemus]	466	466	52%	4e-154	68%	XP_013779786.1
PREDICTED: hepatocyte nuclear factor 4- isoform X2 [Fopius arisanus]	467	467	48%	4e-154	70%	XP_011302608.1
PREDICTED: hepatocyte nuclear factor 4-gamma-like [Limulus polyphemus]	466	466	49%	6e-154	72%	XP_013791686.1
PREDICTED: hepatocyte nuclear factor 4-gamma-like isoform X3 [Crassostrea gigas]	467	467	50%	7e-154	69%	XP_011451246.1
PREDICTED: hepatocyte nuclear factor 4-gamma isoform X6 [Tribolium castaneum]	466	466	54%	9e-154	63%	XP_008196272.1

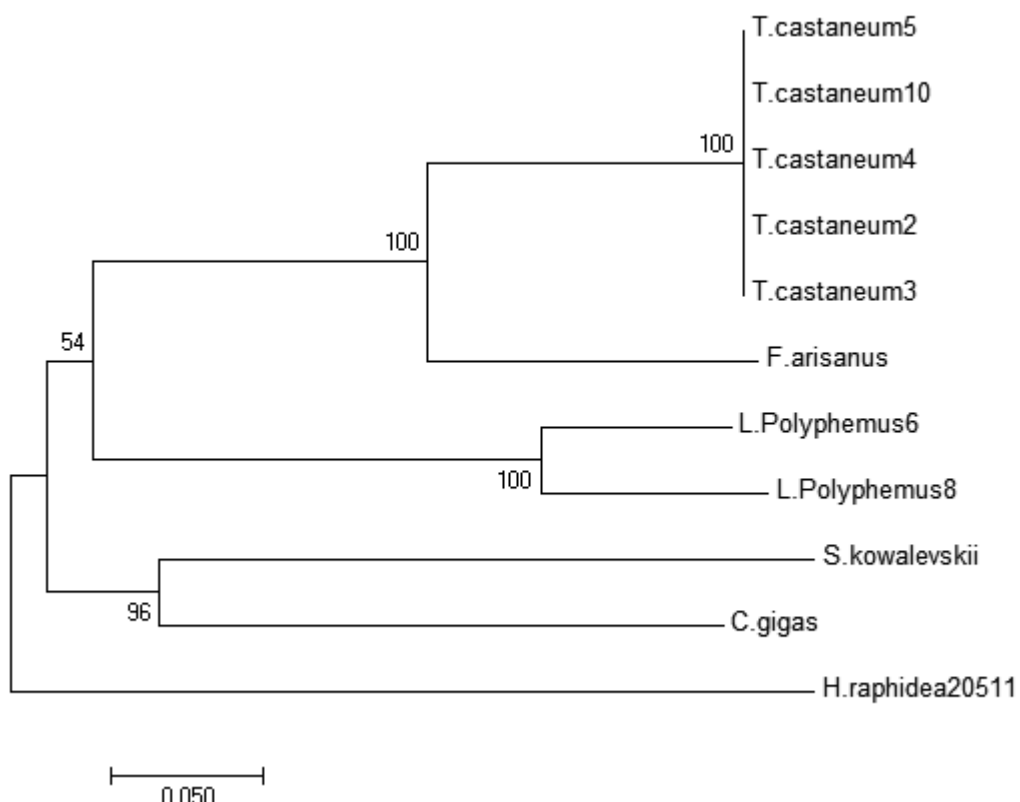
ภาพที่ 3-26 ลำดับนิวคลีโอไทด์และการดูอะมิโนของยีน hepatocyte nuclear factor 4-alpha-like (NGS: 20511) ในตับของกังตึกแต่นหาจุดเมื่อผ่านการ BLASTX โดยตัวอักษรพิมพ์เล็กคือลำดับนิวคลีโอไทด์ก่อนถึง start codon และหลัง stop codon โดยสัญลักษณ์สีเหลืองคือโดเมน ZnF\_C4, สีฟ้าคือโดเมน HOII และสีชมพูคือ Transcription termination signal

ภาพที่ 3-27 การแสดงความคล้ายคลึงของยีน hepatocyte nuclear factor 4-alpha-like (NGS: 20511) ในกั้งตื้กแต่นหางจุดกับสิ่งมีชีวิตในฐานข้อมูลของ GenBank ด้วยวิธี Nucleotide BLAST โดยกรดอะมิโน cysteine ที่พับในตำแหน่งเดียวกันของทุกอร์โนนในกลุ่มสิ่งมีชีวิตที่มียีน hepatocyte nuclear factor 4-alpha-like ใช้สัญลักษณ์สีเทาเข้ม ส่วนตำแหน่งที่เหมือนกันในยีนทุกตัวใช้สัญลักษณ์สีเทา กรอบสีเหลืองคือโอดเมน ZnF\_C4 และสีฟ้าคือโอดเมน HOXI

S.kowalevskii	SRIAARILDELVKPLHDVQ1DDHEFACLKAIVFFDPDAKGLSDSMKIKS1RLYQAQINLED
C.gigas	GRVASRILDELVQPMKDVMQDESEFACLKAIVFFDPDAKGLTDQPKIKSFRYQVQVNLED
F.arisanus	SRVGIRVMDELVKPLNEVQ1DDETEFACLKAIVFFDPNAKGLSEPARIKALRYQIQINLED
T.castaneum10	SRVGSRIMDELVKPMTVEQVDDTEFACLKAIVFFDPNAKGLSEPARIKALRYQIQINLED
T.castaneum3	SRVGSRIMDELVKPMTVEQVDDTEFACLKAIVFFDPNAKGLSEPARIKALRYQIQINLED
T.castaneum4	SRVGSRIMDELVKPMTVEQVDDTEFACLKAIVFFDPNAKGLSEPARIKALRYQIQINLED
T.castaneum5	SRVGSRIMDELVKPMTVEQVDDTEFACLKAIVFFDPNAKGLSEPARIKALRYQIQINLED
T.castaneum6	SRIGARILDELVKPLRQVNLDSEFACLKAIVFFDPVIRGLNDINRVKALRYQVQLILED
s.kowalevskii20511	SRIGCRIMDELVTTLREVNVDDTEFACLKAIVFFDPYAKGLSDTMRIKLLRCQVQTSLED
L.Polyphemus1	SRIGCRIMDELVTTLREVNVDDTEFACLKAIVFFDPYAKGLSDTMRIKLLRCQVQTSLED
L.Polyphemus2	*.*:***** : *.*:***** : *.*:***** : *.*:***** : *.*:***** : ***
S.kowalevskii	YINDROQYDSRGRFGEILLVLPLSLSITVNMIEQVQFAKLFGVTKIDNLLQEMLLGGTSND
C.gigas	YINDROQYDTGRFGEILLMLPPLSITVNMIEQVQFAKLFGMARIDLNLQEMLLGGAAPE
F.arisanus	YISDRQYDSRGRFGEILLTPALQSITVNMIEQIQFVRLFGVAHIDSLLQEMLLGG-----C
T.castaneum10	YISDRQYDSRGRFGEILLTPALQSITVNMIEQIQFAKLFGVAHIDSLLQEMLLGG-----C
T.castaneum3	YISDRQYDSRGRFGEILLTPALQSITVNMIEQIQFAKLFGVAHIDSLLQEMLLGG-----C
T.castaneum4	YISDRQYDSRGRFGEILLTPALQSITVNMIEQIQFAKLFGVAHIDSLLQEMLLGG-----C
T.castaneum5	YISDRQYDSRGRFGEILLTPALQSITVNMIEQIQFAKLFGVAHIDSLLQEMLLGG-----C
T.castaneum6	YISDRQYDSRGRFGEILLTPALQSITVNMIEQIQFAKLFGVAHIDSLLQEMLLGGESILO
s.kowalevskii20511	YVNDSQYESRGRFGEILLTLPLSLSITVNMIEQVQFVKLFGVAHIDLQEMLLGGASSD
L.Polyphemus1	YINDROQYDSRGRFGEILLTPPLSLSITVNMIEQIQIAKILGMAKIDNLQEMLLGGMTS
L.Polyphemus2	YINDROQYDSRGRFGEILLTPPLSLSITVNMIEQIQIAKILGMAKIDNLQEMLLGDSFS*
S.kowalevskii	TQHSMSMAAAA-----ANPTTDHLTNGHPIMHQLQPSEASIAASHTPASEFLKLQO-----
C.gigas	NGSTGTTPTTLQPTLMVNSFSQ1SQSTDVL-----SIATATIPSPHTCISPNN-----
F.arisanus	-STDLNGTTPLP-----ISNA-PE-----SYVSSN---ESPSSPLT-PANTGP-----
T.castaneum10	ASIDTNAASMMS----SANASVN-----NYQSTS---DSADSPVTSPTTTC-----
T.castaneum3	ASIDTNAASMMS----SANASVN-----NYQSTS---DSADSPVTSPTTTC-----
T.castaneum4	ASIDTNAASMMS----SANASVN-----NYQSTS---DSADSPVTSPTTTC-----
T.castaneum5	ASIDTNAASMMS----SANASVN-----NYQSTS---DSADSPVTSPTTTC-----
T.castaneum6	ASIDTNAASMMS----SANASVN-----NYQSTS---DSADSPVTSPTTTC-----
s.kowalevskii20511	GNNGTGTNQ-----A-----SYGGAGGIGTGTTPAPLPGGPGPCFISHOM-----
L.Polyphemus1	M-----LYPPGTGATEQGGGSMGPFTTGLSLPSAPS-----
L.Polyphemus2	ENPMMSTFAPYP---YTVRALNRIP---EFTASVPSSGEQGPFMPPSGPL---LQ-----*
S.kowalevskii	--V---AAHGPK-REDLS-DMDYTRA VV VASSTHAFKRE VIA A S S-----GIRYEDMTTV-----
C.gigas	--SHSSPMGPL-NLGLHHNMQAP-TPPMSSTDHLLTASAMV-S-----TIDHLTAQHNM-----
F.arisanus	-----LSPQDHMLG-----ATSPVMLLRDLT-----
T.castaneum10	-----NSPTDHLLINGNISSPPS--TATSNVLIMRDIT-----
T.castaneum3	-----NSPTDHLLINGNISSPPS--TATSNVLIMRDIT-----
T.castaneum4	-----NSPTDHLLINGNISSPPS--TATSNVLIMRDIT-----
T.castaneum5	-----NSPTDHLLINGNISSPPS--TATSNVLIMRDIT-----
T.castaneum6	-----NSPTDHLLINGNISSPPS--TATSNVLIMRDIT-----
s.kowalevskii20511	--VNNSGATGSTHTTSTD---SGVPLSAQSEMSLHGHVGVITSSSSSTSSLVTSRDID-----
L.Polyphemus1	TSLHHHSVLPNPIAHLTNSH-----NSQSNSHLTNGHPEPIP-----
L.Polyphemus2	TSLHHHSVLPQHPIAHVNNGH-----SDHLSNGHPDTPPIP-----
S.kowalevskii	VTAASTPPTIITSATQTRVTAS-----
C.gigas	DSPISPPL-SSESYTTKVNGSSYSFKQEV-----
F.arisanus	P-----LPQDDPSTVGS--FRLFKQEPISMETTPF-----
T.castaneum10	P-----IDE-----NS--YMAFKQEPIQEVEQHTF-----
T.castaneum3	P-----IDE-----NS--YMAFKQEPIQEVEQHTF-----
T.castaneum4	P-----IDE-----NS--YMAFKQEPIQEVEQHTF-----
T.castaneum5	P-----IDE-----NS--YMAFKQEPIQEVEQHTF-----
T.castaneum6	P-----IDE-----NS--YMAFKQEPIQEVEQHTF-----
s.kowalevskii20511	L-----TTEDQYK---LLAAPFFKAELLDQN---YDA-----
L.Polyphemus1	-----SPSDTYKVHQPLGSQPFKREMLETD---PAY-----
L.Polyphemus2	-----SPPDTYKV---QSLGSQPLKREMI DSD---PAY-----

ภาพที่ 3-27 (ต่อ) การแสดงความคล้ายคลึงของยีน hepatocyte nuclear factor 4-alpha-like (NGS: 20511) ในกั้งตักแต่นหางจุดกับสิ่งมีชีวิตในฐานข้อมูลของ GenBank ด้วยวิธี Nucleotide BLAST โดยกรดอะมิโน cysteine ที่พบในตำแหน่งเดียวกันของทุกยีนในกลุ่มสิ่งมีชีวิตที่มียีน hepatocyte nuclear factor 4-alpha-like ใช้สัญลักษณ์สีเทาเข้ม ส่วนตำแหน่งที่เหมือนกันในยีนทุกตัวใช้สัญลักษณ์สีเทา กรอบสีเหลืองคือโดเมน ZnF C4 และสีฟ้าคือโดเมน HO1

เมื่อศึกษาความสัมพันธ์เชิงวิัฒนาการโดยใช้ลำดับกรดอะมิโนของยีน hepatocyte nuclear factor 4-alpha-like (NGS: 20511) ในกั้งตักแต่นหางจุดโดยใช้โปรแกรม MEGA เวอร์ชัน 7.0 พบร่วมความสัมพันธ์กับหนอน *Saccoglossus kowalevskii* และหอยนางรม *Crassostrea gigas* มากที่สุดที่ 96 % ทำให้ทราบว่ายีน hepatocyte nuclear factor 4-alpha-like ในกั้งตักแต่นหางจุดมีความคล้ายคลึงกัน และมีวิัฒนาการร่วมกันเมื่อเทียบกับสัตว์กลุ่มมอด แมลงดา แอตแลนติก และแมลงวัน ดังภาพที่ 3-28



ภาพที่ 3-28 การศึกษาความสัมพันธ์เชิงวิัฒนาการโดยใช้ลำดับนิวคลีโอไทด์ของยีน hepatocyte nuclear factor 4-alpha-like (NGS: 20511) ในกั้งตักแต่นหางจุดโดยใช้ *S. kowalevskii* (XP\_002731047.1), *T. castaneum10* (XP\_008196276.1), *T. castaneum3* (XP\_008196269.1), *T. castaneum4* (EFA07427.1.1), *T. castaneum5* (XP\_008196271.1), *L. Polyphemus1* (XP\_013779786.1), *F. arisanus* (XP\_011302608.1), *L. Polyphemus2* (XP\_013791686.1), *C. gigas* (XP\_011451246.1) และ *T. castaneum6* (XP\_008196272.1).

### 3.3.4 ยืน putative nuclear hormone receptor HR38

จากการหาลำดับนิวคลีโอไทด์ทั้งหมดของ putative nuclear hormone receptor HR38 (NGS: 56829) ในกั้งตึกแต่นหางจุดพบว่ามีลำดับนิวคลีโอไทด์ 2,351 คู่เบส และมีลำดับกรดอะมิโน 783 ตัว มีส่วนที่เป็น Open reading frame มีลำดับนิวคลีโอไทด์ 2,256 คู่เบส และมีลำดับกรดอะมิโน 752 ตัว โดยยืน putative nuclear hormone receptor HR38 พบโดยนメン ZnF\_C4 มีค่า E-value เท่ากับ 4.57e-39 และโดยนメン HOLI มีค่า E-value เท่ากับ 3.04e-26 ดังตารางที่ 3-29 เมื่อนำลำดับนิวคลีโอไทด์ และลำดับกรดอะมิโนมาเรียงลำดับด้วยโปรแกรม six frame translation ได้ผลดังภาพที่ 3-29 และเปรียบเทียบลำดับนิวคลีโอไทด์ของชิ้นเดียวจากกั้งตึกแต่นหางจุดที่ได้จากเทคนิคเอ็นจีเอสกับข้อมูลในห้องสมุดยืนด้วยวิธี BLASTX พบร่วมความคล้ายกับของยืน putative nuclear hormone receptor HR38 (NGS: 56829) ปลา Zootermopsis nevadensis ยุง Anopheles gambiae str. PEST ล่อน Pediculus humanus corporis ยุงลาย Aedes aegypti มองแด่ปีง Tribolium castaneum แมลงวันบ้าน Musca domestica ด้วงสนภูเขา Dendroctonus ponderosae แมลงระโดดอินเดีย Harpegnathos saltator และตัวต่อไม้กาฝาก Orussus abietinus ตามลำดับ ดังตารางที่ 3-30

ตารางที่ 3-29 โดยนメンที่พบบนยืน putative nuclear hormone receptor HR38 (NGS: 56829) ในกั้งตึกแต่นหางจุดที่ได้จากเทคนิค Next generation sequencing technology ด้วยหลักการของเครื่อง Illumina

Name	Start	End	E-value
ZnF_C4	411	482	4.57e-39
HOLI	559	719	3.04e-26

เมื่อนำผลที่ได้จากการวิเคราะห์การเปรียบเทียบลำดับนิวคลีโอไทด์ และลำดับกรดอะมิโน จากภาพที่ 4-8 ไปศึกษาความเหมือนกันของยืนกับสิ่งมีชีวิตอื่นด้วยโปรแกรม CLUSTAL W (1.2.1) ได้ผลดังภาพที่ 3-30

ตารางที่ 3-30 การประยุกต์ใช้เบบล์ดับบินิวคัลส์อิโนไซด์เพื่อค้นหาพื้นที่ของสมูดี้ด้วยวิธี BLASTX ของเป็น putative nuclear hormone receptor HR38 ในชีสติกแนนหางจุด

Description	Max score	Total score	Query cover	E value	Indentifi es	Accession
Putative nuclear hormone receptor HR38 [Zootermopsis nevadensis]	505	505	44%	4e-167	81%	KDR09534.1
AGAP008334-PA [Anopheles gambiae str. PEST]	512	512	44%	1e-166	81%	XP_317123.4
Retinoid X receptor , putative [Pediculus humanus corporis]	505	505	43%	7e-166	81%	XP_002428935.1
Nuclear hormone receptor [Aedes aegypti]	500	500	44%	1e-164	79%	AAF23095.1
PREDICTED: probable nuclear hormone receptor HR38 [Tribolium castaneum]	502	502	44%	2e-164	80%	XP_008194320.1
PREDICTED: probable nuclear hormone receptor HR38 [Musca domestica]	509	509	44%	4e-163	81%	XP_011292206.1
Hypothetical protein D910_06538 [Dendroctonus ponderosae]	493	493	44%	5e-163	79%	ERL89163.1
AAEL013270-PA [Aedes aegypti]	504	504	44%	8e-163	79%	XP_001663431.1
Probable nuclear hormone receptor HR38 [Harpegnathos saltator]	489	489	44%	3e-162	78%	EFN81833.1
PREDICTED: LOW QUALITY PROTEIN: nuclear receptor subfamily a group A member [Oruussus abietinus]	515	515	44%	5e-161	81%	XP_012285623.1

-48: GTGGTGGCTAGCTTCTCTGCGCCCCCAGCACCAACCAACTCG :0  
 1: ATCGGGGACCTGTACGAGACCTATCTGACTGGAGCACGTCACCGACGTAGGGTTCCCG :60  
 M R D L Y E T Y L D L E Q L T D V G F P  
 61: ACCTGCCTCTGGTAGATAGTTCCCCCATCGGCCACCTGCCCTCTCGCTGAAGAC :120  
 T L P L V D S F P P S C H L P F F A E D  
 121: CACGTGACGGCTAGACGTAAACCGCTCGTGGCCCCCAGGGACCACGGGAAGTCT :180  
 H V T A L D V N T V V P P R A P P G K S  
 181: TCCCCCTTCCCTGTATCTCTGAAGCCTCTTAACCATGACTCCAACACAGGACTGGC :240  
 S P F V P S P I E A F L T I D S N T G L D  
 241: GTGCCCGAGAAAGTCCCTCGAGCTGACGAATCTCCCTCTCCCCAACCCACACC :300  
 V P Q E S P L E P D E S S L S P N H H T  
 301: ACCTCCCACACGGCATCACCATCACACCTCCACATGCTGGCTACAGCCACAGCAG :360  
 T S H H A H H H T S N M L V L Q P Q Q  
 361: ACCTGTTGCACCTCCAGTGTGGCCGAAGGCCCTCCACCTTACAACCTCACTTGAGC :420  
 T L L H S S V A E A L S T S Y N L T S S  
 421: CTCTGCGATGAGTCCTGGCAGCGCTGGCGAGGAGTCAAACGTAGGACTTCGTT :480  
 L C D E S L G S A S G E E F K L S T S F  
 481: ACCGCTCCGGCTACAAAGCTACGGCAGAGCGCGCGAAGGCTCTCAGGGACGTG :540  
 T P P A S T S Y G E S G A E S F S D V  
 540: TTCCACGCCGACTACCTCTGAGACCCACGCCCTCGAGATCTAACGGCGTATCAC :600  
 F H A D Y L L Q T T P L E D L K P V I T  
 601: CAGGCCCTCAGCACGCCCTGGGTACCCCCGACGCCAGGTTAACATTACTGCCAGC :660  
 Q A S S T P P P G S P P T Q V N I T A T  
 661: GCCTCCGTTGCCCTGCACTCTGCCAGCTTCCAGGAGACCTACTGCCGAGGTA :720  
 A S V A S T L P S F Q E T Y S P R Y R P  
 721: CTTGGCGCTGATGTTTACCTCAAGGGCATGAGCCAAGGCCAGCACGGCTGCC :780  
 L G A D V F T F K A D E P R P S T A A V  
 781: GAGTGTATCCCTCAGCCGCCAGCACACCAAGACCTTACCCCGCAGCCGTTGCC :840  
 E C Y P Q P P A H Q T F T P Q P V A P  
 841: TCAGCCGCTGCCCTCCCTCCCGCTCCGGCACCCACAGGAGGCCATACT :900  
 S A A A P P P P P P S A P T A T E A H T  
 901: TCCTACAGCTCTCCCGCAGGCCACAGCACAGATGTTCTCCCGCGTGA :960  
 S Y E S F P P Q P Q P T A Q M F S R V T  
 961: AGCTACTCCAGCCGGTCCCGTACCCATACTACACAGCACCTTCAAGACCTATGGA :1020  
 S Y S Q P V P V T H T Y T A P S K T Y G  
 1021: AGCGACTCTCACAGCCCGTAGCGAGGCCCTCCAGGCCACCAAGAGCCGTACATG :1080  
 S D F Y Q T P Y E G L Q P L H Q E P Y M  
 1081: CGGCCCTCCACCTCCGGTGCACATACCCGATATGGTCCGCCCTCATGCCCTCGT :1140  
 R P S T S A S H Y T D M V P P S M P F V  
 1141: CCCGCAAGGGAGCCATGGACCCCTGCACATGAGGATCATTCAGGGCTCC :1200  
 P R K A E P M D P A L M R I H S P A R V  
 1201: TCCCCCTGGAAAGCACCTCAGTCGCCCTCGAGCTGCGTTTGGGAGACACG :1260  
 S P V E Q K P Q S P S Q L C A V C G D T  
 1261: GCAGCGTGCAGCACTACGGCGTGCACCTCGCGAGGGCTGCAAGGGCTCTCAAAGG :1320  
 A A C Q H Y G V R T C E G C K G F F K R  
 1321: ACCGTGCAAGAAAGCCAAGTACGTCTGGCTGGCCGACAAGAACGTGCCGTGGACAAG :1380  
 T V Q K N A K Y V C L A D K N C P V D K  
 1381: AGCGGGAGGAACCGCTGCCAGTCTGCCGTTCCAGAAGTGTCTGGCGTCGGCATGGC :1440  
 R R R T C R Q F C R F Q K C L A V G M V  
 1441: AAAGGAGCTCGTACGCACGGCACCTCAAGGGTCCCGCGACTTCCAGCAAACCC :1500  
 K E V V R T D N L K G R R G R L P S K P  
 1501: AAAGAGCCCCCAGGAGTCGCCGCCCTCCCGCCGTGCTCACGTCCCTGGTCCGC :1560  
 K S P Q E S P P S V S L I T S L V R  
 1561: GCTCACGTGGACACCAACGCCGACGTGTCGAACCTGACTACTCGCAGTACAAGGAACCT :1620  
 A H V D T T P D V S N L D Y S Q Y K E P  
 1621: AGCGGAGGCCGAGACCCCAACGACAGAAGCCGAGAAGGTGCAAGCAGTTTACGCGCTC :1680  
 S G G A E T P T T E A K V Q Q F Y A L  
 1681: CTCGTATCCACTATAGAGGTGATCCGAACCTCCGGCAAAAGATCTCGGCTACCCAGGAC :1740  
 L V S S I E V I R N F A D K I S G Y Q D  
 1741: CTGGCCAAGGGAGGCCAGAACCTCTTCCACTCGGCCCTCGCAACTCTTCGTA :1800  
 L A K E D Q E L L F H S A S L E L F V L  
 1801: AGACTCGCCTACAGATATGGAGACAGCCCGATGACGTCAAAGTCGCTTCGACAATGGA :1860  
 R L A Y R F M N S P D D V K V F D N G  
 1861: TGGCTTCTCACCGCGCGCAATGCGAGAGATCTTCGGAGAGTGGCTCCAGGTATCCTC :1920  
 C V L H R A Q C E R S F G E W L Q G I L  
 1921: GACTTCGCCGCCCTCACTAAAGCTATGGAGCTCGATATCTCCGCCCTCGCCTGGCTTCT :1980  
 D F A A S L K A M E L D I S A F A C L S  
 1981: GCCCTCACAACTTACAGAACGCCACGGCTCAAGGACACCAAGAAGGTGCAACAGTTC :2040  
 A L T I T E R H G L K D T K V E Q L  
 2041: CAGATGAAGATTATCAGTCTCGAGAGAACCCGTCAGCTAACATTAGACGCCAGAAC :2100  
 Q M K I I S S L R D H V T Y N S D A Q K  
 2101: AACACCTCACTTCTCCGGATTCTGGCAAGCTTCAGCTGAGATCGTTGTCAGTC :2160  
 K P H Y F S R I L G K L P E L R S L S V  
 2160: CAGGGTCTGCAACGCATCTCTACCTGAAGCTCGAGGACCTGGTCCCGCGCCAGCTT :2220  
 Q G L Q R I F Y L K L E D L V P A P Q L  
 2221: ATAGAGAATATTTGTGTCAGCATTCCCTCTGAagagaagccgctggcgaggta :2280  
 I E N M F V S S I P F  
 2281: gggcgccggggctgacatcgagg :2303

ภาพที่ 3-29 ลำดับนิวคลีโอไทด์และกรดอะมิโนของยีน putative nuclear hormone receptor HR38 (NGS: 56829) ในของกั้งตึกแต่นหาจุดเมื่อผ่านการ BLASTX โดยตัวอักษรพิมพ์เล็กคือลำดับนิวคลีโอไทด์ก่อนถึง start codon และหลัง stop codon โดยสัญลักษณ์สีเหลืองคือโดเมน ZnF\_C4 และสีฟ้าคือโดเมน HOI

H.raphidea56829	MRDLYE-----TYLDLEQ-----LTDVGFP-----
P.humanuscorporis	-----
Z.nevadensis	-----
T.castaneum	-----
D.ponderosae	-----
M.domestica	-----
A.gambiae	-----
A.aegypti4	-----
A.aegypti8	-----
H.saltator	-----
O.abietinus	MRTVEDVGPRSTAPAVGPVDLGRNRDHGASRGGSATDSATGFPHPAPYHPATLAADSNNN
H.raphidea56829	-----TLPLVDSFPP-----
P.humanuscorporis	-----
Z.nevadensis	-----
T.castaneum	-----
D.ponderosae	-----
M.domestica	-----MLLQPNNTFGTLSPFDNFSSQSGNQQQHQHHQQQQQQQQPQQ
A.gambiae	-----
A.aegypti4	-----
A.aegypti8	-----MWYNANSFSSVSSFDYLLSQQQNHPEQSYYHQLGAFGP-----
H.saltator	-----
O.abietinus	-----HDHHRNFESTEPGDVRRHEHWSKWQLHSP-----SAESEHANGTLNR-----
H.raphidea56829	-----SCHLPFFAEDHTALDVNTVVP-----
P.humanuscorporis	-----
Z.nevadensis	-----
T.castaneum	-----
D.ponderosae	-----
M.domestica	-----QLHHQSQQHSHHHPPHHHHHHHHQHHSTTTLAGNTTPHLLSVATEDHLIGNLTDTTTS
A.gambiae	-----
A.aegypti4	-----
A.aegypti8	-----SQQLPQQQHQESQHQQLSPGLPPTSQ-----
H.saltator	-----
O.abietinus	-----AISRTEIDQPHHQHQHQSH-----
H.raphidea56829	PRAPPGKSSPFPVSPEAFLTIDSNTGLDVPQES--PLEPDESSLSPNHH---T-TSHAH
P.humanuscorporis	-----
Z.nevadensis	-----
T.castaneum	-----
D.ponderosae	-----
M.domestica	-----MRSGPPTLRQHFRLOQHFNAPOQTHTDSN
A.gambiae	-----EHSELIDHTFNQLSDLFFPTDSNQSILLSPTLDNSPS--READSSTQHN----HHHHSH
A.aegypti4	-----LDKFVELFSAAQPHTPAESITTES-----YLADQT-----QHSNS-
A.aegypti8	-----HQLDKFVELFGASQSQSTEEAISSES-----YL-DQT-----QHSNS-
H.saltator	-----
O.abietinus	-----QQR-----QRPAS-

ภาพที่ 3-30 การแสดงความคล้ายคลึงของยีน putative nuclear hormone receptor HR38 (NGS: 56829) ในกั้งตึกแตenhทางจุดกับสิ่งมีชีวิตในฐานข้อมูลของ GenBank ด้วยวิธี Nucleotide BLAST โดยกรองอะมิโน cysteine ที่พบในตำแหน่งเดียวกันของทุกอร์โมนในกลุ่มสิ่งมีชีวิตที่มียีน putative nuclear hormone receptor HR38 ใช้สัญลักษณ์สีเทาเข้ม ส่วนตำแหน่งที่เหมือนกันในยีนทุกตัวใช้สัญลักษณ์สีเทา กรอบสีเหลืองคือโดเมน ZnF\_C4 และกรอบสีฟ้าคือโดเมน HOI

H.raphidea56829	HHHTSNMLVLQPQQTLLHSSVAEALSTSNTSSLCDESLGSASGEFKLSTSFTPPAST
P.humanuscorporis	-----MPRGGF-GNAMHVIWV-VAPFGS
Z.nevadensis	-----
T.castaneum	NNSPAYNFHLQNKTCLVQGEVS---SAPLVAASAQPSAPTSP-QSSMLLQT-QTPFGS
D.ponderosae	-----
M.domestica	HHHHSQLQDLHSSCETLVGSSED-----ITSSLNLTKLTC-LREKRLOSSI-PE---
A.gambiae	---SSDTLVGLEDNPSTFGGSSDS-----IPSALLKA---S-YKEE---L-PSPFSA
A.aegypti4	-----
A.aegypti8	--SSDTLVGLEENPSTFGGSNDS-----IPTAILKA---T-YKEESLTDL-QDPFSA
H.saltator	-----
O.abietinus	--ISDSPPLPCNNQATTTATAFT-----VASSM-----LLLQT-QSPFGC
H.raphidea56829	SYGESGAEGSFSDVFHADYLLQTTPLEDLKPVITQASS-----
P.humanuscorporis	STFAELLSAPYSEDVG-----GETLDPFPE-----
Z.nevadensis	-----
T.castaneum	SSFADLLSAPFSDDPSSVL----PPEDLDPFPD-----
D.ponderosae	-----
M.domestica	--QHSLRTTSNSEADHSSLCFDRSTPQEIGLLSLRSSSDPAIALHALQERQQQQHQ---
A.gambiae	GPSTR---APTTEPPDTLLFESSSTEELGLTLRSSSDPVLIASSARLPQAIVHAQQGQL
A.aegypti4	-----
A.aegypti8	GPSRA---Q--TTEPEQDLLLETSSTEELGLTLRSSSDPVLIASSARQQPQPPPQOLLQH
H.saltator	-----
O.abietinus	STLADLLTVPYSEPTDAGS----LPDELDPFPEIQLGNPQGAISAGI--ESVHSQQ--
H.raphidea56829	---TPPPGSPTQVNITATASVASTLPSFQETYSPRYRPLGA-----DVFTKADE
P.humanuscorporis	-----VVFHSQLPLSPAPLPSFQEYSPRFPTRQ-----TKSP
Z.nevadensis	-----MDE
T.castaneum	-----VALQSQPASPAPLPSFQETYSPRYNAPF-----KMDE
D.ponderosae	-----MDE
M.domestica	-TSTAGGSVRGVGDPLLSPLGGPLSLPSFEETYSLKYGTTPTGGSASTVSTDQLIKMDE
A.gambiae	RPNAPATAGPSGVESVAAAAAAASLLPSFQETYPIKY---N-----QLASYGLKMD
A.aegypti4	-----MDE
A.aegypti8	PAQRG-GPRPISSSTEIPSGAANSLLPSFQETYPIKY---N-----QLASFGLKMD
H.saltator	-----
O.abietinus	---PPHQHPPPLPGDVQTDLSPTPLPSFQETYTVQRYSRQ-----DIVGLGLKMD
H.raphidea56829	PRPSTAACEVCPQPPPAAQTF-----
P.humanuscorporis	-----ELNNIGIKMDEDYVYV-----HHHPSPAMP-----
Z.nevadensis	-----ECYNVP---TPYNHN-----HHH-HHPAVV-----
T.castaneum	-----ECF-NV---S-----YHHPPH-----
D.ponderosae	-----DCGFNV-----APYH-----
M.domestica	-----DCFPLNTSSGEGIGGP---ALNQAQTHHHH---QHQQQQHLHNQQQQHHSQ
A.gambiae	-----DCFKMATSPHHQ---AV-----TAAYAHHG-
A.aegypti4	-----DCFKIAASPHHQ-----V-----GYGHG-
A.aegypti8	-----DCFKIAASPHHQ-----V-----GYGHG-
H.saltator	-----
O.abietinus	-----DSYDSVYTCGALYPTEFSPALVPAPPAGAPPATPPATESATPRAGSAAPGS
H.raphidea56829	-----TPQPVAPS-----
P.humanuscorporis	-----TTPIQSPYDFHSQHF-----
Z.nevadensis	-----PTPAPSPYDFQPS--AP-----
T.castaneum	-----HVSAPHHYDYQQL-QYT-----
D.ponderosae	-----PVPTSHHYEYQQLHQYP-----
M.domestica	LGNNHNSLLGNQQQQQ-----QQQSATQQQPHLPQQTHHQHTQQQQQNSNN---FN
A.gambiae	--S-----VYGHG-----HQHHHHQHQAHTAGGASGGITQYN
A.aegypti4	--Y-----GHH-----AAAVH-QPHYEFPQHTTAPPTQYS
A.aegypti8	--Y-----GHH-----AAAVH-QPHYEFPQHTTAPPTQYS
H.saltator	-----
O.abietinus	AGP-----ATSPAASAAADPPPAAPCAPPPPQSPPPPQQQHHRQDYFSPE--SGPVTVA

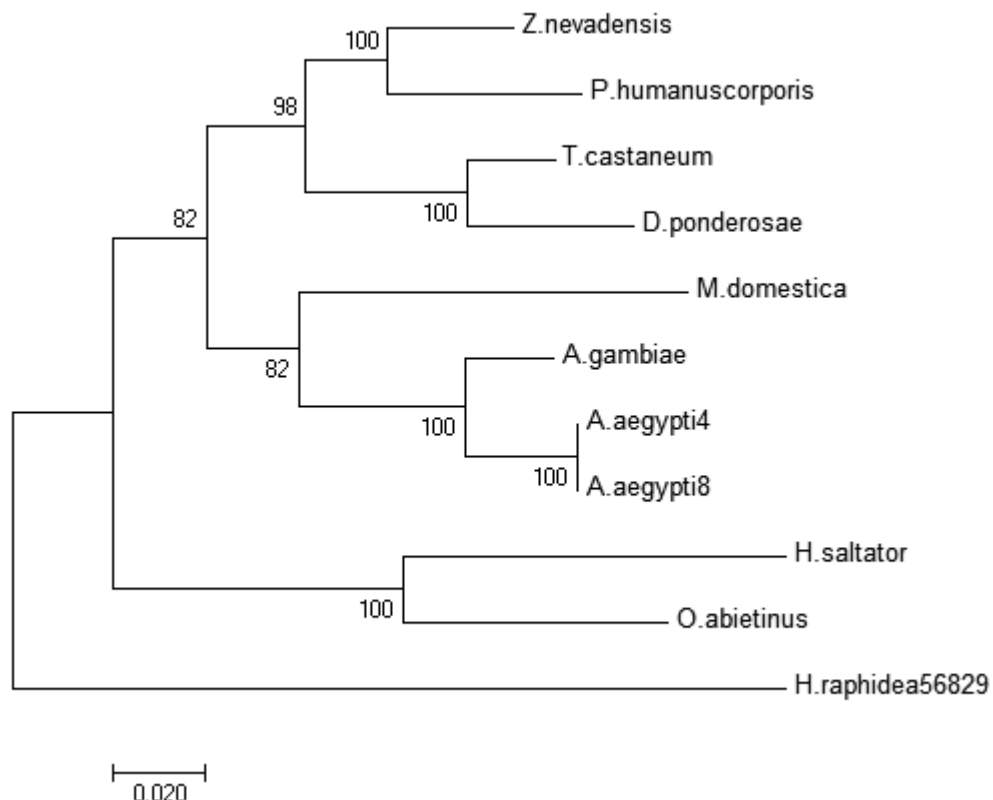
ภาพที่ 3-30 (ต่อ) การแสดงความคล้ายคลึงของยีน putative nuclear hormone receptor HR38 (NGS: 56829) ในกังตึกแตนหางจุดกับสิ่งมีชีวิตในฐานข้อมูลของ GenBank ด้วยวิธี Nucleotide BLAST โดยกรองอะมิโน cysteine ที่พบในตำแหน่งเดียวกันของทุกอร์โนนในกลุ่มสิ่งมีชีวิตที่มียีน putative nuclear hormone receptor HR38 ใช้สัญลักษณ์สีเทาเข้ม ส่วนตำแหน่งที่เหมือนกันในยีนทุกตัวใช้สัญลักษณ์สีเทา เท่า กรอบสีเหลืองคือโดเมน ZnF\_C4 และกรอบสีฟ้าคือโดเมน HOI

H.raphidea56829	-----AAPPPP--PPPSAPTAEHTSYE-----SFPPQPQPTAQMFSRVTS
P.humanuscorporis	-----SPYYQQ-----QPHHPNQGYE-----
Z.nevadensis	-----QPAPYSPY-----FPQQ-SPGFEP-----
T.castaneum	-----ASSPYYP-----PQTC-SPGFT-----
D.ponderosae	-----VASPYYP-----PPTC-SPSFDA-----
M.domestica	-----YHGHF-NATT-----ASSTSSVSSSPYEFTNGTETSGSFNTSTS-----GE-NFY-----
A.gambiae	-----NP---AGP---PGSATSSCKYDLSIN----NEFQELLQQQ-TF---VPL-----
A.aegypti4	-----NP---SP---GGSFYPTPAYEQHAA---VSQPRNTTQT-NT---STI-----
A.aegypti8	-----NP---SP---GGSFYPTPAYEQHAA---VSQPRNTTQT-NT---STI-----
H.saltator	-----MV-----
O.abietinus	LITPQPAGAVTPPPPPPPPPPPPPPPPPPAPAM---ASVPASQQGS-PYSTLSMV
 H.raphidea56829	 YSQP-----VPV-THTYTAPSPTYGSDFYQTPYEGLO-----PLH-----
P.humanuscorporis	-----SSGGPQDSYSLPHFP---TSEL---HINTTLNLQRQRASLPLQR-----S
Z.nevadensis	-----TP-LPQDTYSLPHF---PSTSEL---HVTTTLSPRQRRA-----SPLQR-----S
T.castaneum	-----LISO---ETYSLPAYQTA-TSEL---HVSTALSPRQRRA-----SPLQR-----S
D.ponderosae	-----LMAQSEGESYSLPTYQVPSATEL---HVSTALSPRQRRA-----SPLQR-----S
M.domestica	-----HQYHLNTQPNNYHSSTAERYSLPTFTMSLEAAAVASAAALAPLRRASLPVNRS-----
A.gambiae	-----FRSQGYGGQVG-----AQDPLSPPFPTVA-ELH-----VTTCHRRSSLPIQR-----S
A.aegypti4	-----VSFPQNYGAVT-----PQDSYSLPPFPFTA-ELH-----VSTTCYRRASLPLQR-----S
A.aegypti8	-----VSFPQNYGAVT-----PQDSYSLPPFPFTA-ELH-----VSTTCYRRASLPLQR-----S
H.saltator	-----YGAPATAIANVAAPV-----AAPTDLCPNV-DTVV-----VGTARSRRASLPTQRS-----
O.abietinus	-----YGPSSIAGINPVPSNTVLSPQADHHQPVPGIAPSNA-----ASNARSRRASLPLQR-----S
 H.raphidea56829	 -----QEPYMPRPSTSASHYTD-----VPPSMPFV-----PRK-----
P.humanuscorporis	ESTNSS--DSPKLRLGMMT-----GPPPSASSSASSSPGCGV-----PETVA-----
Z.nevadensis	ESTSSS--ESPKLRLGPIP-----SG-----GPAPSASSSASSSPGCGLSDVV-----PAVT-----
T.castaneum	ESTSSS--ESPKLRLRMP-----G-----PSASSSAASSP-----GG-----
D.ponderosae	ESTSSS--ESPKLRLRMV-----GTGPSASSAASSP-----GG-----
M.domestica	ESPLS--NHSPKLPLKVIGSTNTLHLKHQHATLASAPSSA-----NSPSVRQQS-----STPSLHQ-----QQ-----
A.gambiae	ESTSSS--ESPKPPIAIYNKYSAL-----PSASSSASSSPG-----YMN-----NNNP-----PNTI-----NNNE-----
A.aegypti4	ESTSSS--ESPKPPIRVGIY-KYSAL-----PSASSSASSSPG-----YI-----INNN-----NPNTI-----NNNE-----
A.aegypti8	ESTSSS--ESPKPPIRVGIY-KYSAL-----PSASSSASSSPG-----YI-----INNN-----NPNTI-----NNNE-----
H.saltator	ESTSS--ESPSKGPTPPS-----PSOLCAVCGDTAAC-----COHYGVRT-----CEGCKGFFF-----
O.abietinus	ESTS--SNESPKPRGGGSSSS-----SVS-----VG-----
 H.raphidea56829	 -----AEPMDPAL--MRIHSPARVSPVEQK-----PQPS-----SQLCAVCGDTAAC-----COHYGVRT-----CEGCKGFFF-----
P.humanuscorporis	-----PSLLPRPAPQ-----PSQLCAVCGDTAAC-----COHYGVRT-----CEGCKGFFF-----
Z.nevadensis	-----VPPPTPAASTA-----PSTGGAVPRTSGG-----PAPQ-----PSQLCAVCGDTAAC-----COHYGVRT-----CEGCKGFFF-----
T.castaneum	-----IA---EPPSKG-----PTPP-----PSQLCAVCGDTAAC-----COHYGVRT-----CEGCKGFFF-----
D.ponderosae	-----PGDQQPQ-----TSKG-----PTPS-----PSQLCAVCGDTAAC-----COHYGVRT-----CEGCKGFFF-----
M.domestica	QLHHH--QHHHMNQSAS-----DMLN-----GRV-----IPT-----PSQLCAVCGDTAAC-----COHYGVRT-----CEGCKGFFF-----
A.gambiae	VAAAAAAA-----AAT-----SAGGI-----VAGA-----GAP-----TPV-----PS-----PSQLCAVCGDTAAC-----COHYGVRT-----CEGCKGFFF-----
A.aegypti4	VAAAAAAA-----VAAA-----AVAGS-----SAT-----PAPR-----GPT-----PS-----PSQLCAVCGDTAAC-----COHYGVRT-----CEGCKGFFF-----
A.aegypti8	VAAAAAAA-----VAAA-----AVAGS-----SAT-----PAPR-----GPT-----PS-----PSQLCAVCGDTAAC-----COHYGVRT-----CEGCKGFFF-----
H.saltator	-----SP-----SPSGSGT-----SGGER-----RAPP-----PS-----PSQLCAVCGDTAAC-----COHYGVRT-----CEGCKGFFF-----
O.abietinus	-----SP-----CSSNGER-----RAPP-----PS-----SQLCAVCGDTAAC-----COHYGVRT-----CEGCKGFFF-----
 H.raphidea56829	 -----RTVQKNAKYVCLADKNCPV-----DKR-----RRRNRCQF-----C-----RFQ-----K-----C-----L-----A-----V-----G-----M-----V-----K-----E-----V-----/-----V-----/-----R-----T-----D-----N-----L-----K-----G-----R-----R-----G-----R-----L-----P-----S-----K-----
P.humanuscorporis	-----RTVQKGSKYVCLADKSC-----CPV-----DKR-----RRRNRCQF-----C-----RFQ-----K-----C-----L-----A-----V-----G-----M-----V-----K-----E-----V-----/-----V-----/-----R-----T-----D-----N-----L-----K-----G-----R-----R-----G-----R-----L-----P-----S-----K-----
Z.nevadensis	-----RTVQKGSKYVCLADKA-----CPV-----DKR-----RRRNRCQF-----C-----RFQ-----K-----C-----L-----A-----V-----G-----M-----V-----K-----E-----V-----/-----V-----/-----R-----T-----D-----N-----L-----K-----G-----R-----R-----G-----R-----L-----P-----S-----K-----
T.castaneum	-----RTVQKGSKYVCLADKAC-----CPV-----DKR-----RRRNRCQF-----C-----RFQ-----K-----C-----L-----A-----V-----G-----M-----V-----K-----E-----V-----/-----V-----/-----R-----T-----D-----N-----L-----K-----G-----R-----R-----G-----R-----L-----P-----S-----K-----
D.ponderosae	-----RTVQKGSKYVCLADKAC-----CPV-----DKR-----RRRNRCQF-----C-----RFQ-----K-----C-----L-----A-----V-----G-----M-----V-----K-----E-----V-----/-----V-----/-----R-----T-----D-----N-----L-----K-----G-----R-----R-----G-----R-----L-----P-----S-----K-----
M.domestica	-----RTVQKGSKYVCLADKAC-----CPV-----DKR-----RRRNRCQF-----C-----RFQ-----K-----C-----L-----A-----V-----G-----M-----V-----K-----E-----V-----/-----V-----/-----R-----T-----D-----N-----L-----K-----G-----R-----R-----G-----R-----L-----P-----S-----K-----
A.gambiae	-----RTVQKGSKYVCLADKAC-----CPV-----DKR-----RRRNRCQF-----C-----RFQ-----K-----C-----L-----A-----V-----G-----M-----V-----K-----E-----V-----/-----V-----/-----R-----T-----D-----N-----L-----K-----G-----R-----R-----G-----R-----L-----P-----S-----K-----
A.aegypti4	-----RTVQKGSKYVCLADKAC-----CPV-----DKR-----RRRNRCQF-----C-----RFQ-----K-----C-----L-----A-----V-----G-----M-----V-----K-----E-----V-----/-----V-----/-----R-----T-----D-----N-----L-----K-----G-----R-----R-----G-----R-----L-----P-----S-----K-----
A.aegypti8	-----RTVQKGSKYVCLADKAC-----CPV-----DKR-----RRRNRCQF-----C-----RFQ-----K-----C-----L-----A-----V-----G-----M-----V-----K-----E-----V-----/-----V-----/-----R-----T-----D-----N-----L-----K-----G-----R-----R-----G-----R-----L-----P-----S-----K-----
H.saltator	-----RTVQKGSKYVCLAEKA-----CPV-----DKR-----RRRNRCQF-----C-----RFQ-----K-----C-----L-----A-----V-----G-----M-----V-----K-----E-----V-----/-----V-----/-----R-----T-----D-----N-----L-----K-----G-----R-----R-----G-----R-----L-----P-----S-----K-----
O.abietinus	-----RTVQKGSKYVCLAEKA-----CPV-----DKR-----RRRNRCQF-----C-----RFQ-----K-----C-----L-----A-----V-----G-----M-----V-----K-----E-----V-----/-----V-----/-----R-----T-----D-----N-----L-----K-----G-----R-----R-----G-----R-----L-----P-----S-----K-----

ภาพที่ 3-30 (ต่อ) การแสดงความคล้ายคลึงของยีน putative nuclear hormone receptor HR38 (NGS: 56829) ในกังตี้กัปแต่ทางจุดกับสิ่งมีชีวิตในฐานข้อมูลของ GenBank ด้วยวิธี Nucleotide BLAST โดยกรดอะมิโน cysteine ที่พปในตำแหน่งเดียวกันของทุกอยอร์โนนในกลุ่มสิ่งมีชีวิตที่มียีน putative nuclear hormone receptor HR38 ใช้สัญลักษณ์สีเทาเข้ม ส่วนตำแหน่งที่เหมือนกันในยีนทกดัวใช้สัญลักษณ์สีเทา เท่า ครอบสีเหลืองคือโดเมน ZnF C4 และครอบสีฟ้าคือโดเมน HOI

ภาพที่ 3-30 (ต่อ) การแสดงความคล้ายคลึงของยีน putative nuclear hormone receptor HR38 (NGS: 56829) ในกั้งตึกแตนหางจุดกับสิ่งมีชีวิตในฐานข้อมูลของ GenBank ด้วยวิธี Nucleotide BLAST โดยกรดอะมิโน cysteine ที่พบในตำแหน่งเดียวกันของทุกชอร์โนนในกลุ่มสิ่งมีชีวิตที่มียีน putative nuclear hormone receptor HR38 ใช้สัญลักษณ์สีเทาเข้ม ส่วนตำแหน่งที่เหมือนกันในยีนทกดัวใช้สัญลักษณ์สีเทา เท่า ครอบสีเหลืองคือโดเมน ZnF C4 และครอบสีฟ้าคือโดเมน HOI

เมื่อศึกษาความสัมพันธ์เชิงวิวัฒนาการโดยใช้ลำดับกรดอะมิโนของยีน putative nuclear hormone receptor HR38 (NGS: 56829) ในกั้งตึกแตenทางจุด โดยใช้โปรแกรม MEGA เวอร์ชั่น 7.0 พบว่ามีความสัมพันธ์กับมดกระโดดอินเดีย *Harpegnathos saltator* ตัวต่อไม้กาฝาก *Orussus abietinus* มากที่สุดที่ 100% ทำให้ทราบว่ายีน putative nuclear hormone receptor HR38 ใน กั้งตึกแตenทางจุดมีความคล้ายคลึงแมลงชนิดอื่นๆ ดังภาพที่ 3-31



ภาพที่ 3-31 การศึกษาความสัมพันธ์เชิงวิวัฒนาการโดยใช้ลำดับนิวคลีโอไทด์ของของยีน putative nuclear hormone receptor HR38 (NGS: 56829) ในกั้งตึกแตenทางจุด ที่มีการระบุในห้องสมุด ยีน โดยใช้ *Z. nevadensis* (KDR09534.1), *A. gambiae* str. PEST (XP\_317123.4), *P. humanuscorporis* (XP\_002428935.1), *A. aegypti* (AAF23095.1), *T. castaneum* (XP\_008194320.1), *M. domestica* (XP\_011292206.1), *D. ponderosae* (ERL89163.1), *A. aegypti* (XP\_001663431.1), *H. saltator* (EFN81833.1) และ *O. abietinus* (XP\_012285623.1)

### 3.3.5 ยืน retinoid-X receptor 2

จากการหาลำดับนิวคลีโอไทด์ทั้งหมดของยืน retinoid-X receptor 2 (NGS: 21609) ในของกังตึกแต่นทางจุดพบว่ามีลำดับนิวคลีโอไทด์ 1,169 คู่เบส และมีลำดับกรดอะมิโน 389 ตัว โดยยืน retinoid-X receptor 2 พบโดยนmen ZnF\_C4 มีค่า E-value เท่ากับ 1.19e-37 และ HOLI มีค่า E-value เท่ากับ 2.07e-28 ดังตารางที่ 3-31 เมื่อนำลำดับนิวคลีโอไทด์และลำดับกรดอะมิโนมาเรียงลำดับด้วยโปรแกรม six frame translation ได้ผลดังภาพที่ 3-32 และเปรียบเทียบลำดับนิวคลีโอไทด์ของชั้นดีเอ็นเอจากกังตึกแต่นทางจุดที่ได้จากเทคนิคเอ็นจีเอสกับข้อมูลในห้องสมุดยืนด้วยวิธี BLASTX พบร่วมความคล้ายกับของยืน retinoid-X receptor 2 ในปูม้า *Portunus trituberculatus* กุ้งแม่น้ำ *Macrobrachium nipponense* ปู *Callinectes sapidus* กุ้งขาว *Fopius arisanus* ปูขาว *Scylla paramamosain* กุ้งแซบวัย *Fenneropenaeus chinensis* ปูชน *Eriocheir sinensis* และกุ้งมังกร *Homarus americanus* ตามลำดับ ดังตารางที่ 3-32

ตารางที่ 3-31 โดยนmenที่พบบนยืน retinoid-X receptor 2 ในกังตึกแต่นทางจุด ที่ได้จากเทคนิค Next generation sequencing technology ด้วยหลักการของเครื่อง Illumina

Name	Start	End	E-value
low complexity	14	34	N/A
low complexity	50	65	N/A
ZnF_C4	78	149	1.19e-37
HOLI	208	349	2.07e-28

เมื่อนำผลที่ได้จากการวิเคราะห์การเปรียบเทียบลำดับนิวคลีโอไทด์และลำดับกรดอะมิโน จากราฟที่ 3-32 ไปศึกษาความเหมือนกันของยืนกับสิ่งมีชีวิตอื่นด้วยโปรแกรม CLUSTAL W (1.2.1) ได้ผลดังภาพที่ 3-33

ตารางที่ 3-32 การประยุกต์เพิ่มเติมสำหรับค่าอัตราการเข้าฟังของส่วนตัวที่ได้จากการ BLASTX ของรีน retinoid-X receptor 2 ใน基因ทางจุลทรรศน์

Description	Max score	Total score	Query cover	E value	Identities	Accession
retinoid-X receptor 2 [Portunus trituberculatus]	458	458	90%	4e-155	72%	AHJ81363.1
retinoid X receptor [Macrobrachium nipponense]	452	452	90%	3e-153	71%	AHA33388.1
retinoid-X receptor [Callinectes sapidus]	450	450	89%	7e-153	72%	AET06182.1
retinoid X receptor [Litopenaeus vannamei]	451	451	90%	1e-152	70%	AGG55291.1
retinoid X receptor [Macrobrachium nipponense]	451	451	90%	1e-152	71%	AHA33387.1
retinoid X receptor 3 [Scylla paramosain]	449	449	89%	1e-152	72%	ALM98948.1
retinoid X receptor 2 [Fenneropenaeus chinensis]	448	448	90%	2e-151	70%	ACN78602.1
retinoid X receptor [Eriocheir sinensis]	466	466	89%	2e-151	72%	AHF65152.1
retinoid X receptor [Homarus americanus]	448	448	90%	2e-151	70%	AGI15961.1
retinoid-X receptor -2 [Callinectes sapidus]	444	444	89%	2e-150	71%	AGB34183.1

122: ca :-121  
 -120: ataatcggttcgacactcacacacccttccacagaaattgcaattaccgtgcataag : -61  
 1: tgaattccaggcgttaagaaccagactgtttgtatgtataaagggttgttgatgtcgcc : 0  
 1: ATGTCGAATTCACTGGGCCAGTCGCACATAAATATGACCCCCAGATAACCCTCTGTCT : 60  
 M S N S V G R Q S P L N M T P D T L L S  
 61: CCCACTTCCCTCACAAACCATCCTCCAATTCAACACAACCAATGGCGAGCCCGCATCA : 120  
 P T S S T T S S N F N T T N G E P A S  
 121: CCAAGCATCCCTCATTCACTATTGGTCAAGTGGAACCAATTACCTAAGTACGAGTAGC : 180  
 P S I P P F T I G S S G T N Y L S T S S  
 181: ACCACATCTCTACTAACAGTTCCCCTAACCACCCGCTCAGGATCAAAACATTTA : 240  
 T T S P T Q Q F P P N H P L S G S K H L  
 240: TGTTCCATTGTGGTGTACGTGCTCTGGCAAGCACTATGGCGTCTACAGCTGTGAGGGT : 300  
 C S I C G D R A S G K H Y G V Y S C E G  
 301: TGCAAGGGATTCTCAAACGCACTGTGCGAAAGGATCTCTCTATGCTTGCCGAGAAC : 360  
 C K G F F K R T V R K D L S Y A C R E D  
 361: CGCAGCTGCACTATTGACAAAAGACAGAGAAATCGATGCCAGTACTGCGTTACCAAAAG : 420  
 R S C T I D K R Q R N R C Q Y C R Y Q K  
 421: TGTTGTCCAAGGGGATGAAGAGGGAAAGCTGTCCAGGAGGAGCGGCAGCGGACCAAGGG : 480  
 C L S K G M K R E A V Q E E R Q R T K G  
 481: GACAAAAGCGAAATGGAGTTGGATACAGCCTCCAGTGCTGCTGCTGACATGCCAGTTGA : 540  
 D K S E M E L D T A S S A A A D M P V A  
 541: CAGATCAAGGAAGCAGAGATGAGAGTCGAGGCCACTGATGACCTCATATGGAACCTGGG : 600  
 Q I K E A E M R V E P T D D L I M E P G  
 601: GATGCAGTAAATAACATCTGC CGTGCAGCAGGAAGACAGCTTATTCTGCTTGAGATTGG : 660  
 D A V N N I C R A A G R Q L I L V D W  
 661: GCTAAACACATCCCACATTCACTGAACATACCCATTGAGGACCAAGTGGTGTGCTTAGA : 720  
 A K H I P H F I E L P I E D Q V V L L R  
 721: GCTGGGTGGAATGAACACTAATTGCAAGCATTTCATCGTAGCATAGAAAGTTGAGTCT : 780  
 A G W N E L L I A A F S H R S I E V E S  
 781: GGCATAGTATTAGCAACTGGTGTGATTGAGCAGAACATGAGGGAGATGAAGATGAGTGTG : 840  
 G I V L A T G V V I E R N E A H Q A G V  
 841: GAAGGAATCTATGACCGTGTGTTGTCAGAGTTGGTAGCTAAGATGAGGGAGATGAAGATG : 900  
 E G I Y D R V L S E L V A K M R E M K M  
 901: GACAAAACAGAACTTGGATGCTACGCTCCATTGCTTATTAAATCCAGATGCTAAGGAT : 960  
 D K T E L G C L R S I V L F N P D A K D  
 961: TTGCGTAATGTAAGTGAAGTAGAGTCGTTACGTGAGAAGGTGTATGCTGCATTGGAGGA : 1020  
 L R N V S E V E S L R E K V Y A A L E E  
 1021: TATACACGCAATACATCCAGATGAG : 1047  
 Y T R N T Y P D E

ภาพที่ 3-32 ลำดับนิวคลีโอไทด์และการต่อમิโนของยีน retinoid-X receptor 2 (NGS: 21609) ใน กั้งตักแต่นางจุดเมื่อผ่านการ BLASTX โดยตัวอักษรพิมพ์เล็กคือลำดับนิวคลีโอไทด์ก่อนถึง start codon โดยสัญลักษณ์สีเหลืองคือโดเมน ZnF\_C4 และสีฟ้าคือโดเมน HOU

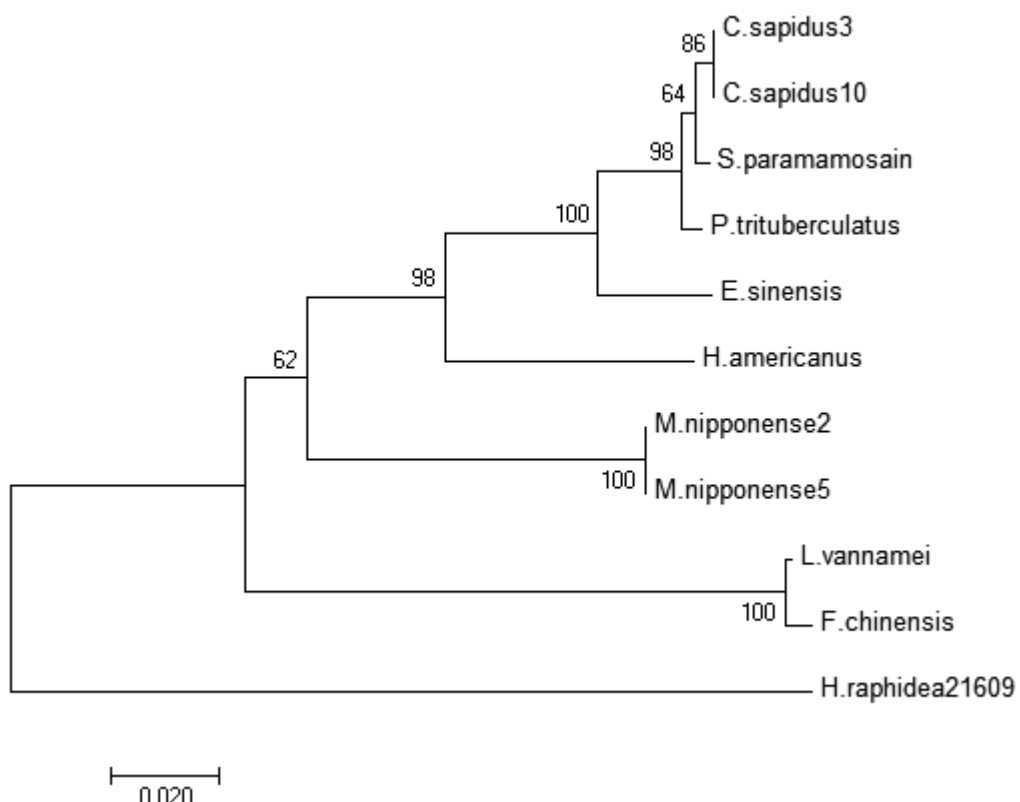
H.raphidea21609	-----	-----MSNS
M.nipponense2	-----MSLLY-----	AVRGHDGLDIGMSGSS
M.nipponense5	MIVIKKEKPVMSVSSIIHDTQQRPWTPGEMSLLY-----	AVRGHDGLDIGMSGSS
L.vannamei	MIMIKKEKPVMSVSIAIHESQQRPWGT-----	GLDIGMSGSS
F.chinensis	MIMIKKEKPVMSVSIAIHESQQRPWGT-----	GLDIGMSGSS
H.americanus	MIVIKKEKPVMSVSSIIHGSQQRSWTPGEFYGEQPQR-----	CYTPGLEIGMSGSS
E.sinensis	-----	MSGSS
C.sapidus3	-----	MSGSS
C.sapidus10	-----	MSGSS
P.trituberculatus	MIMIKKEKPVMSVSSIIHGSQQRPWTPGEFGCGTIQTPAPPPLPSFVSPLOQVDIGMSGSS	MSGSS
S.paramamosain	-----	MSGSS
***		
H.raphidea21609	VGROSPLNMTPDTLSSPTSSNTTSSNFNTTNGEPASPSI---PPFTIGSSGTNYLSTS---	
M.nipponense2	LDRHSPLNVTPDGSILS---PATSNYSNTNGEPASPSVSNPQPFVIGSSGS----GSS	
M.nipponense5	LDRHSPLNVTPDGSILS---PATSNYSNTNGEPASPSVSNPQPFVIGSSGS----GSS	
L.vannamei	LDRQSPLNVTPDTAPLLS---PSPSSYSNTNGGPASPSPVPT-PSFTIGSSGNVINSSNGS	
F.chinensis	LDRQSPLNVTPDTAPLLS---PSPSSYSNTNGGPASPSPVPT-PSFTIGSSGNVINSSNGS	
H.americanus	LDRQSPLNVTSNTASILLS---PSSSSFFSANGGPASPSPSIFT-APFTIGSSGNMLSSSN-S	
E.sinensis	LDRQSPLSVAPDTVSILLS---PA-PAFSNANGGPASPSPSIST-SPFTIGSS-----N-T	
C.sapidus3	LDRQSPLSVAPDTVSILLS---PA-PSFSNANGGPASPSPSIST-SPFTIGSS-----N-T	
C.sapidus10	LDRQSPLSVAPDTVSILLS---PA-PSFSNANGGPASPSPSIST-SPFTIGSS-----N-T	
P.trituberculatus	LDRQSPLSVAPDTVSILLS---PA-PSFSNANGGPASPSPSIST-SPFTIGSS-----N-T	
S.paramamosain	LDRQSPLSVAPDTVSILLS---PA-PSFSNANGGPASPSPSIST-SPFTIGSS-----N-T	
: *;****: *: : : : : * * * * * : * . *****		
H.raphidea21609	-STTSPTQQFPNNHPLSGSKHLCSICGDRASGKHYGVYSCEGCKGFFKRTVRKDLSYACR	
M.nipponense2	SGLSTSPTQYPPNHPPLSGSKHLCSICGDRASGKHYGVYSCEGCKGFFKRTVRKDLSYACR	
M.nipponense5	SGLSTSPTQYPPNHPPLSGSKHLCSICGDRASGKHYGVYSCEGCKGFFKRTVRKDLSYACR	
L.vannamei	SNLSTSPTQYPPNHPPLSGSKHLCSICGDRASGKHYGVYSCEGCKGFFKRTVRKDLSYACR	
F.chinensis	SNLSTSPTQYPPNHPPLSGSKHLCSICGDRASGKHYGVYSCEGCKGFFKRTVRKDLSYACR	
H.americanus	NSLSTSPTQYPPSHPLSGSKHLCSICGDRASGKHYGVYSCEGCKGFFKRTVRKDLSYACR	
E.sinensis	SGLSTSPTQYPPSHPLSGSKHLCSICGDRASGKHYGVYSCEGCKGFFKRTVRKDLSYACR	
C.sapidus3	TSLSTSPTQYPPSHPLSGSKHLCSICGDRASGKHYGVYSCEGCKGFFKRTVRKDLSYACR	
C.sapidus10	TSLSTSPTQYPPSHPLSGSKHLCSICGDRASGKHYGVYSCEGCKGFFKRTVRKDLSYACR	
P.trituberculatus	TGLSTSPTQYPPSHPLSGSKHLCSICGDRASGKHYGVYSCEGCKGFFKRTVRKDLSYACR	
S.paramamosain	TSLSTSPTQYPPSHPLSGSKHLCSICGDRASGKHYGVYSCEGCKGFFKRTVRKDLSYACR	
: : *;****: *: : : : : * * * * * : * . *****		
H.raphidea21609	EDRSCTIDKRQRNRQYCRYQKCLSMGMKREAV-----QEERQRTKGDKSEMLEDTASSA	
M.nipponense2	EDRVCTIDKRQRNRQYCRYQKCLSMGMKREAV-----QEERQRTKGDKGDGPDSSCGG	
M.nipponense5	EDRVCTIDKRQRNRQYCRYQKCLSMGMKREAV-----QEERQRTKGDKGDGPDSSCGG	
L.vannamei	EERGCTIDKRQRNRQYCRYQKCLSMGMKREAV-----QEERQRTKGDKDE-VDTDASLG	
F.chinensis	EERGCTIDKRQRNRQYCRYQKCLSMGMKREAV-----QEERQRTKGDKDE-VDTDASLG	
H.americanus	EDRSCTIDKRQRNRQYCRYQKCLSMGMKREAV-----QEERQRTKGDKGDTESSCGG	
E.sinensis	EERSCTIDKRQRNRQYCRYQKCLSMGMKREAV-----QEERQRTKGDKGDTESSCGA	
C.sapidus3	EERSCTIDKRQRNRQYCRYQKCLSMGMKREAV-----QVQGAVEEEERQRTKGDKGDGTTESSCGA	
C.sapidus10	EERSCTIDKRQRNRQYCRYQKCLSMGMKREAV-----QEERQRTKGDKGDGTTESSCGA	
P.trituberculatus	EERSCTIDKRQRNRQYCRYQKCLSMGMKREAV-----QEERQRTKGDKGDGTTESSCGA	
S.paramamosain	EERSCTIDKRQRNRQYCRYQKCLSMGMKREAV-----QEERQRTKGDKGDGTTESSCGA	
*: *;****: *: : : : : * * * * * : * . *****		

ภาพที่ 3-33 การแสดงความคล้ายคลึงของยีน retinoid-X receptor 2 (NGS: 21609) ในกั้งตักแต่น ทางจุดกับสิ่งมีชีวิตในฐานข้อมูลของ GenBank ด้วยวิธี Nucleotide BLAST โดยกรดอะมิโน cysteine ที่พับในตำแหน่งเดียวกันของทุกอร์โนในกลุ่มสิ่งมีชีวิตที่มียีน retinoid-X receptor 2 ใช้สัญลักษณ์สีเทาเข้ม ส่วนตำแหน่งที่เหมือนกันในยีนทุกตัวใช้สัญลักษณ์สีเทา กรอบสีเหลืองคือ โดเมน ZnF\_C4 และสีฟ้าคือโดเมน HOI

H.raphidea21609	AADMPVAQIKEAEMRVEPTDDLIMEPG-DAVNNICRAAGRQLILLVDWAKHIPHIELPI
M.nipponense2	IPDMPISSIHEAETIVDPTDEQPVDQG-DAVTNICQAADRHLVQLVEWAKHIPHFTDLPV
M.nipponense5	IPDMPISSIHEAETIVDPTDEQPVDQG-DAVTNICQAADRHLVQLVEWAKHIPHFTDLPV
L.vannamei	VNDMPSIQIRDAELNSDPTDDLLFEEG-DAVSHICQAADRHLVQLVEWAKHIPHFTDLPV
F.chinensis	VNDMPSIQIRDAELNSDPTDDLLFEEG-DAVSHICQAADRHLVQLVEWAKHIPHFTDLPV
H.amERICANus	ISDMPIITSIREAELSVEHTDEQPLDQG-DAVTNICQAADRHLVQLVEWAKHIPHFTDLPV
E.sinensis	ISDMPIIASIREAELTVEPIDEQPLDQGQDVSNICQAADRHLVQLVEWAKHIPHFTDLPV
C.sapidus3	ISDMPIIASIREAELSVPDIDEQPLDQG-DVVSNICQAADRHLVQLVEWAKHIPHFTDLPV
C.sapidus10	ISDMPIIASIREAELSVPDIDEQPLDQG-DVVSNICQAADRHLVQLVEWAKHIPHFTDLPV
P.trituberculatus	ISDMPIIASIREAELSVPDIDEQPLDQG-DVVSNICQAADRHLVQLVEWAKHIPHFTDLPV
S.paramamosain	ISDMPIIASIREAELSVPDIDEQPLDQG-DVVSNICQAADRHLVQLVEWAKHIPHFTDLPV *****:***:*** : *: .: * *. .:***:***:***:*****:*** :
H.raphidea21609	EDQVVLKAGWNELLIAAFSHRSIEVESGIVLATGVVIERNEAQAGVEGIYDRVLSELV
M.nipponense2	EDQVVLKAGWNELLIAAFSHRSRMGVKDGVLATGLVVHRSSAHQAGVGAIFDRVLSELI
M.nipponense5	EDQVVLKAGWNELLIAAFSHRSRMGVKDGVLATGLVVHRSSAHQAGVGAIFDRVLSELI
L.vannamei	DDQVILLKAGWNELLIASFSHRSRMGVKDGVLATGLVVHRSSAHAGVGDIIFDRVLSELV
F.chinensis	DDQVILLKAGWNELLIASFSHRSRMGVKDGVLATGLVVHRSSAHAGVGDIIFDRVLSELV
H.amERICANus	EDQVVLKAGWNELLIASFSHRSRMGVVEDGIVLATGLVVHRSSAHQAGVGTIFDRVLSELV
E.sinensis	EDQVVLKAGWNELLIASFSHRSRMGVVEDGIVLATGLVIHRSSAHQAGVGPIFDRVLSELV
C.sapidus3	EDQVVLKAGWNELLIASFSHRSIGVEDGIVLATGLVVHRSSAHQAGVGAIFDRVLSELV
C.sapidus10	EDQVVLKAGWNELLIASFSHRSIGVEDGIVLATGLVVHRSSAHQAGVGAIFDRVLSELV
P.trituberculatus	EDQVVLKAGWNELLIASFSHRSMGVEDGIVLATGLVVHRSSAHQAGVGAIFDRVLSELV
S.paramamosain	EDQVVLKAGWNELLIASFSHRSMGVEDGIVLATGLVVHRSSAHQAGVGAIFDRVLSELV *****:*****:*****:*****:*****:*****:*****:*****:*****:*****:
H.raphidea21609	AKMREMKMDKTELGLRSIVLFNPDAKLDLNRSEVESLRKVYAALEEYTRNTYPDE---
M.nipponense2	AKMREMKMDKTELGLRSIVLFNPDAKGLIACNEVEILREKVYAALEEYTRRTTYPHEPGR
M.nipponense5	AKMREMKMDKTELGLRSIVLFNPDAKGLIACNEVEILREKVYAALEEYTRRTTYPHEPGR
L.vannamei	AKMREMKMDKTELGLRSIVLFNPDKGLSACDTIEVLREKVYATLEEYTRTSYFDQPGGR
F.chinensis	AKMREMKMDKTELGLRSIVLFNPDKGLSACETIEVLREKVYATLEEYTRTSYEDQPGGR
H.amERICANus	AKMREMKMDKTELGLRSIVLYNPDPAKGLTCNCNDVEILREKVYAALEEYTRTSYPEEPGR
E.sinensis	AKMREMKMDKTELGLRSIVLFNPDAKGLNCNDVEILREKVYAALEEYTRRTYPDEPGR
C.sapidus3	SKMREMKMDKTELGLRAIVLFNPDAKGVNCCSDVEILREKVYAALEEYTRRTYPDEPGR
C.sapidus10	SKMREMKMDKTELGLRAIVLFNPDAKGVTCCNDVEILREKVYAALEEYTRRTYPDEPGR
P.trituberculatus	SKMREMKMDKTELGLRAIVLFNPDAKGVTCCNDVEILREKVYAALEEYTRRTYPDEPGR
S.paramamosain	SKMREMKMDKTELGLRAIVLFNPDAKGVTCCSDVEILREKVYAALEEYTRRTYPDEPGR *****:*****:*****:*****:*****:*****:*****:*****:*****:*****:*****:
H.raphidea21609	-----
M.nipponense2	FVKLVTITSSQIYRPKTSLEYLFKLIGDTPLDNYLMKMLVDGPNTNNPSSN-
M.nipponense5	FVKLVTITSSQIYRPKTSLEYLFKLIGDTPLDNYLMKMLVDGPNTNNPSSN-
L.vannamei	FAKLLRLPALSRI-GLKCLEYLFKLIGDTPLDNYLMKMLVENPNSSSSPTT--
F.chinensis	FAKLLRLPALSRI-GLKCLEYLFKLIGDTPLDNYLMKMLVENPNSSSSPTT--
H.amERICANus	FAKLLRLPALSRI-GLKCLEYLFKLIGDTPLDNYLMKMLVENPNNTSPSS--
E.sinensis	FAKLLRLPALSRI-GLKCLEYLFKLIGDTPLESYLMKMLVDNPSSSTTPPTS
C.sapidus3	FPKLLRLPALSRI-GLKCLEYLFKKLIGDTPLDSYLMKMLVDNPSPSNTSPPS
C.sapidus10	FPKLLRLPALSRI-GLKCLEYLFKKLIGDTPLDSYLMKMLVDNPSPSNTSPPS
P.trituberculatus	FPKLLRLPALSRI-GLKCLEYLFKKLIGDTPLDSYLMKMLVDNPSPSNTSPS
S.paramamosain	FPKLLRLPALSRI-GLKCLEYLFKKLIGDTPLDSYLMKMLVDNPSPSNTSPS

ภาพที่ 3-33 (ต่อ) การแสดงความคล้ายคลึงของยีน retinoid-X receptor 2 (NGS: 21609) ในกั้งตักแต่นหางจุดกับสิ่งมีชีวิตในฐานข้อมูลของ GenBank ด้วยวิธี Nucleotide BLAST โดยกรดอะมิโน cysteine ที่พับในตำแหน่งเดียวกันของทุกออร์โนนในกลุ่มสิ่งมีชีวิตที่มียีน retinoid-X receptor 2 ใช้สัญลักษณ์สีเทาเข้ม ส่วนตำแหน่งที่เหมือนกันในยีนทุกตัวใช้สัญลักษณ์สีเทา กรอบสีเหลืองคือโดเมน ZnF\_C4 และสีฟ้าคือโดเมน HOI

เมื่อศึกษาความสัมพันธ์เชิงวิژนากากรโดยใช้ลำดับกรดอะมิโนของยีน retinoid-X receptor 2 (NGS: 21609) ในกั้งตื๊กแต่นหางจุด โดยใช้โปรแกรม MEGA เวอร์ชัน 7.0 พบว่ามีความสัมพันธ์กับกุ้งขาว *Litopenaeus vannamei* และกุ้งแซบวัย *Fenneropenaeus chinensis* มากที่สุดที่ 100 % ทำให้ทราบว่ากลุ่มโปรตีน retinoid-X receptor 2 ในกั้งตื๊กแต่นหางจุดมีความคล้ายคลึงกัน และมีวิژนาการร่วมกันเมื่อเทียบกับสัตว์กลุ่มปู หนอน หอยนางรม แมงดา แอตแลนติก และแมลงวัน ดังภาพที่ 3-34



ภาพที่ 3-34 การศึกษาความสัมพันธ์เชิงวิژนากากรของยีน retinoid-X receptor 2 (NGS: 21609) ในกั้งตื๊กแต่นหางจุด โดยใช้ *P. trituberculatus* (AHJ81363.1), *M. nipponense1* (AHA33388.1), *C. sapidus* (AET06182.1), *L. vannamei* (AGG55291.1), *M. nipponense2* (AHA33387.1), *S. paramamosain* (ALM98948.1), *F. chinensis* (ACN78602.1), *E. sinensis* (AHF65152.1), *H. americanus* (AGI15961.1) และ *C. sapidus2* (AGB34183.1)

### 3.3.6 ยืน ecdysone receptor

จากการหาลำดับนิวคลีโอไทด์ทั้งหมดของยืน ecdysone receptor (NGS: 38631) ในของ กั้งตื๊กแต่นหางจุดพบว่ามีลำดับนิวคลีโอไทด์ 724 คู่เบส และมีลำดับกรดอะมิโน 241 ตัว โดยยืน ecdysone receptor พบโดยนเณ ZnF\_C4 มีค่า E-value เท่ากับ 1.31e-39 และ Pfam:Hormone\_recep มีค่า E-value เท่ากับ 0.000003 ดังตารางที่ 3-33 เมื่อนำลำดับนิวคลีโอไทด์ และลำดับกรดอะมิโนมาเรียงลำดับด้วยโปรแกรม six frame translation ได้ผลดังภาพที่ 3-35 และเปรียบเทียบลำดับนิวคลีโอ-ไทด์ของชั้นดีอีนเอกสารกั้งตื๊กแต่นหางจุดที่ได้จากเทคนิคเอ็นจีเอสกับข้อมูลในห้องสมุดยินด้วยวิธี BLASTX พบร่วมความคล้ายกับของยืน ecdysone receptor ในกุ้งก้ามกราม *Macrobrachium rosenbergii* ปูก้ามดาบ *Uca pugillator* กุ้งแม่น้ำ *Macrobrachium nipponense* ปู *Callinectes sapidus* ปูม้า *Portunus trituberculatus* และกุ้ง *Crangon crangon* ตามลำดับ ดังตารางที่ 3-34

ตารางที่ 3-33 โดยนเณที่พบบนยืน ecdysone receptor ในกั้งตื๊กแต่นหางจุด ที่ได้จากเทคนิค Next generation sequencing technology ด้วยหลักการของเครื่อง Illumina

Name	Start	End	E-value
ZnF_C4	30	101	1.31e-39
Pfam:Hormone_recep	187	232	0.000003

เมื่อนำผลที่ได้จากการวิเคราะห์การเปรียบเทียบลำดับนิวคลีโอไทด์ และลำดับกรดอะมิโน จากภาพที่ 3-36 ไปศึกษาความเหมือนกันของยืนกับสิ่งมีชีวิตอื่นด้วยโปรแกรม CLUSTAL W (1.2.1) ได้ผลดังภาพที่ 3-35

ตารางที่ 3-34 การประยุกต์เพิ่บลำดับบีนิวคลีอีโนท์ที่ได้รับข้อมูลในห้องสมุดยังด้วยวิธี BLASTX ของเป็น ecdisone receptor ในสัตว์แพรเทอนทางจุล

Description	Max score	Total score	Query cover	E value	Indentities	Accession
ecdysone receptor [Macrobrachium rosenbergii]	357	357	99%	2e-117	71%	AKL71618.1
ecdysone receptor [Macrobrachium rosenbergii]	345	345	99%	3e-112	64%	AKL71617.1
ecdysteroid receptor [ <i>Uca pugillator</i> ]	339	339	99%	2e-110	67%	AAC33432.2
ecdysone receptor [Macrobrachium nipponense]	340	340	99%	2e-109	64%	AHA33385.1
ecdysone receptor [Callinectes sapidus]	337	337	99%	2e-109	68%	AET06180.1
ecdysteroid receptor isoform 3 [ <i>Uca pugillator</i> ]	331	331	97%	8e-109	68%	AIE88263.1
ecdysteroid receptor [ <i>Portunus trituberculatus</i> ]	334	334	99%	2e-108	68%	AFH35032.1
ecdysone receptor [Macrobrachium rosenbergii]	334	334	99%	2e-108	68%	AKL71619.1
ecdysteroid receptor isoform 3 [ <i>Crangon crangon</i> ]	329	329	96%	2e-108	68%	ACO44667.1
ecdysteroid receptor isoform 1 [ <i>Uca pugillator</i> ]	330	330	97%	3e-108	67%	AIE88261.1

```

-28:                               cacgtcgccatcaggctgtgaggat :0
 1: ATGTCATCTCCACTGTCTCTGACTGGCTACAGCGTGGATAGCGTTAATGACGGCAAGAAA :60
   M S S P L S L T G Y S V D S V N D G K K
 61: AAGAAAGGGCCTGCAACGAGGCAGCAAGAAGAACTCTGTCTCGTGTGCAGATCGCGCT :120
   K K G P A T R Q Q E E L C L V C A D R A
121: TCTGGCTACCACTACAATGCCTCACATGTGAAGGTTGCAAAGGATTCTTCGACGTTCT :180
   S G Y H Y N A L T C E G C K G F F R R S
181: GTCACACCGAATGCAGTCTACCAATGTAATATGGAAAAATTGTGAGATGGACATGTAT :240
   V T R N A V Y Q C K Y G K N C E M D M Y
241: ATGAGACGTAAATGCCAGGAATGCCCTAAAGAAATGCCCTAGTGTGGCATGAGACCA :300
   M R R K C Q E C R L K K C L S V G M R P
301: GAATGTGTGGTGCCAGAACACAGTGTGGTGAAGAGAAGCAAAGGAAAGGTG :361
   E C V V P E Q Q C L V K R E A K K A K V
361: AAGAGCAACCGCAAAGAGATAAGCAGTCATCTCAGTAGCTGTGGATGGCAACTCACCT :420
   K S N R K E I S S Q S P V A V D G N S P
421: GAAATACCTGGACCCTCAGTACAAACAGGGCTTCCCCCTGAGCAGGATGAACTCATC :480
   E I P G P L S T N R V L S P E Q D E L I
481: CAGAGACTCGTGTACTTCCAGGAGAAATATGAAGAGCCCTCCAAGGTCGAGCTAGATAAC :540
   Q R L V Y F Q E K Y E E P S K V E L D N
541: TTAGCTCATTGCTTCGATGGTGAGGACCCAGTGACCTGAGATTCAAGCACATAACAGAG :600
   L A H C F D G E D P S D L R F K H I T E
601: ATGACGATACTCACAGTTCACTATTGAGTTGCCAAGAGCCTACCTGGTTGAT :660
   M T I L T V Q L I I E F A K S L P G F D
661: AACCTGCATCGTGAAGATCAGATTACTCTACTGAAG :696
   N L H R E D Q I T L L K

```

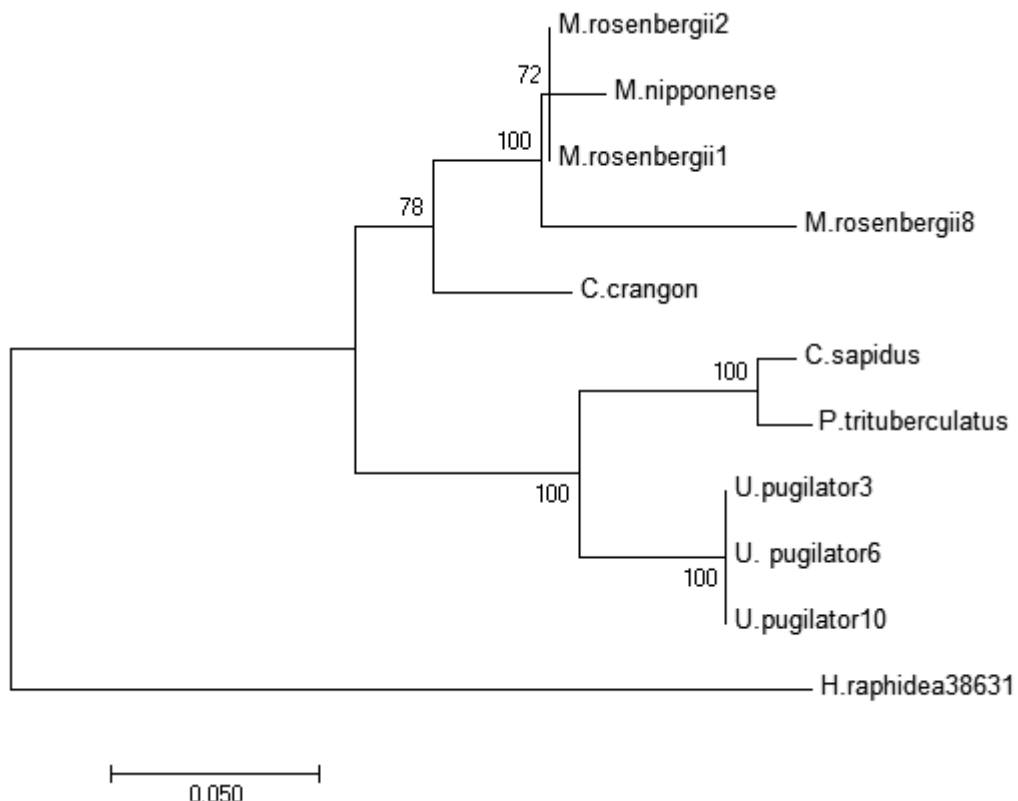
ภาพที่ 3-35 ลำดับนิวคลีโอไทด์และกรดอะมิโนของยีน ecdysone receptor (NGS: 38631) ในกั้งตื้กแต่นหางจุดเมื่อผ่านการ BLASTX โดยตัวอักษรพิมพ์เล็กคือลำดับนิวคลีโอไทด์ก่อนถึง start codon โดยสัญลักษณ์เหลืองคือโดเมน ZnF\_C4, สีเขียวคือโดเมน Pfam:Hormone\_recep

ภาพที่ 3-36 การแสดงความคล้ายคลึงของยีน ecdysone receptor (NGS: 38631) ในกั้งตักแต่น ทางจุดกับสิ่งมีชีวิตในฐานข้อมูลของ GenBank ด้วยวิธี Nucleotide BLAST โดยกรดอะมิโน cysteine ที่พับในตำแหน่งเดียวกันของทุกอร์โนในกลุ่มสิ่งมีชีวิตที่มียีน ecdysone receptor ใช้ สัญลักษณ์สีเทาเข้ม ส่วนตำแหน่งที่เหมือนกันในยีนทุกตัวใช้สัญลักษณ์สีเทา กรอบสีเหลืองคือโดเมน ZnF C4 และสีเขียวคือโดเมน Pfam:Hormone receptor

ภาพที่ 3-36 (ต่อ) การแสดงความคล้ายคลึงของยีน ecdysone receptor (NGS: 38631) ในกั้งตื๊กแต่นหางจุดกับสิ่งมีชีวิตในฐานข้อมูลของ GenBank ด้วยวิธี Nucleotide BLAST โดยกรดอะมิโน cysteine ที่พับใบในตำแหน่งเดียวกันของทุกซอฟต์เวย์มีในกลุ่มสิ่งมีชีวิตที่มียีน ecdysone receptor ใช้

สัญลักษณ์สีเทาเข้ม ส่วนดำเน้นที่เหมือนกันในยีนทุกตัวใช้สัญลักษณ์สีเทา กรอบสีเหลืองคือโดเมน ZnF\_C4 และสีเขียวคือโดเมน Pfam:Hormone\_recep

เมื่อศึกษาความสัมพันธ์เชิงวิวัฒนาการโดยใช้ลำดับกรดอะมิโนของยีน ecdysone receptor (NGS: 38631) ในกั้งตักแต่นหางจุด โดยใช้โปรแกรม MEGA เวอร์ชัน 7.0 พบว่ามีความสัมพันธ์กับปู *Callinectes sapidus*, ปูม้า *Portunus trituberculatus* และปูก้ามดาบ *Uca pugilator* หากที่สุดที่ 100% ทำให้ทราบว่ายีน ecdysone receptor ในกั้งตักแต่นหางจุดมีความคล้ายคลึงกัน และมีวิวัฒนาการร่วมกันเมื่อเทียบกับสัตว์กลุ่มปูและกุ้งชนิดอื่น ๆ ดังภาพที่ 3-37



ภาพที่ 3-37 การศึกษาความสัมพันธ์เชิงวิวัฒนาการของยีน ecdysone receptor (NGS: 38631) ในกั้งตักแต่นหางจุดโดยใช้ *M. rosenbergii1* (AKL71618.1), *M. rosenbergii2* (AKL71617.1), *U. pugilator* (AAC33432.2), *M. nipponense* (AHA33385.1), *C. sapidus* (AET06180.1), *U. pugilator3* (AIE88263.1), *P. trituberculatus* (AFH35032.1), *M. rosenbergii3* (AKL71619.1), *C. crangon* (ACO44667.1) และ *U. pugilator1* (AIE88261.1)

### 3.3.7 ยืน nuclear receptor subfamily 2 group F member 1-A-like

จากการหาลำดับนิวคลีโอไทด์ทั้งหมดของ nuclear receptor subfamily 2 group F member 1-A-like (NGS: 47812) ในกั้งตึกแตenทางจุดพบว่ามีลำดับนิวคลีโอไทด์ 363 คู่เบส และมีลำดับกรดอะมิโน 121 ตัว โดยยืน nuclear receptor subfamily 2 group F member 1-A-like พบโดย ZnF\_C4 มีค่า E-value เท่ากับ 8.14e-36 ดังตารางที่ 3-35 เมื่อนำลำดับนิวคลีโอไทด์ และลำดับกรดอะมิโนมาเรียงลำดับด้วยโปรแกรม six frame translation ได้ผลดังภาพที่ 3-38 และเปรียบเทียบลำดับนิวคลีโอไทด์ของชั้นดีอีนจากกั้งตึกแตenทางจุดที่ได้จากเทคนิคอีนเจอสกับข้อมูลในห้องสมุดยินด้วยวิธี BLASTX พบร่วมความคล้ายกับของยืน nuclear receptor subfamily 2 group F member 1-A-like ในแมลงดาแอตแลนติก *Limulus polyphemus* หอยปากเป็ด *Lingula anatina* ผึ้ง *Bombus terrestris* แมลง *Camponotus floridanus* ผึ้ง *Megachile rotundata* โพลีคีท *Capitella teleta* ชิมแปนซีแคระ *Pan paniscus* และหอยนางรม *Crassostrea gigas* ตามลำดับ ดังตารางที่ 3-36

ตารางที่ 3-35 โดยเมนที่พบบนยืน nuclear receptor subfamily 2 group F member 1-A-like ในกั้งตึกแตenทางจุด ที่ได้จากเทคนิค Next generation sequencing technology ด้วยหลักการของเครื่อง Illumina

Name	Start	End	E-value
ZnF_C4	1	71	8.14e-36

เมื่อนำผลที่ได้จากการวิเคราะห์การเปรียบเทียบลำดับนิวคลีโอไทด์ และลำดับกรดอะมิโน จากภาพที่ 3-37 ไปศึกษาความเหมือนกันของยืนกับสิ่งมีชีวิตอื่นด้วยโปรแกรม CLUSTAL W (1.2.1) ได้ผลดังภาพที่ 3-39

```

-54: gggtcgccctcgtcggcgcccagtccgacggggggacgacaagaacgcgcagaac :0
 1: ATGTCCCTGCGTCGTTGGGGAGACAAGTCTCGGGAAACACTACGCCAATTCACGTGT :60
 M S C V V C G D K S S G K H Y G Q F T C
 61: GAAGGTTGCAAGAGCTTCTCAAGAGATCAGTTGCCGAAATCTCCAGTACTCTTGTCGC :120
 E G C K S F F K R S V R R N L Q Y S C R
 121: GGGAACCGGAACATGCCGATCGACCAGCACCCGAAACCACTGCCAGTACTGCCGACTC :180
 G N R N C P I D Q H H R N Q C Q Y C R L
 181: AGAAAATGTCTTAAGGTGGGATGAGAAGAGAAAGCCGTGCAAAGAGGTGCGATCCCGCCT :240
 R K C L K V G M R R E A V Q R G R I P P
 241: TCGCAGGCCATGGGCATGCCAGGACAGTTCCGCTCACGAACGGGGATGCCCTCAACGGC :300
 S Q A M G M P G Q F P L T N G D A L N G
 301: CACACATAC :309
 H T Y

```

ภาพที่ 3-38 ลำดับนิวคลีโอไทด์และกรดอะมิโนของยืน ของ nuclear receptor subfamily 2 group F member 1-A-like (NGS: 47812) ในกั้งตึกแตenทางจุดเมื่อผ่านการ BLASTX โดยตัวอักษรพิมพ์เล็กคือลำดับนิวคลีโอไทด์ก่อนถึง start codon โดยสัญลักษณ์สีเหลืองคือโดยmen ZnF\_C4

ตารางที่ 3-36 การประยุกต์ใช้บิวคอล์อไนด์ที่ได้รับข้อมูลในห้องสมุดเยื่อตัวอย่างวิธี BLASTX ของเยื่อน 核 receptor subfamily 2 group F member 1-A-like ไม่มีผู้แต่งทางจุด

Description	Max score	Total score	Query cover	E-value	Identity es	Accession
PREDICTED: nuclear receptor superfamily 2 group F member 1-A-like [ <i>Limulus polyphemus</i> ]	206	206	90%	5e-62	84%	XP_013774988.1
PREDICTED: COUP transcription factor 2-like isoform X1 [ <i>Lingula anatina</i> ]	204	204	94%	6e-61	82%	XP_013394781.1
PREDICTED: nuclear receptor superfamily 2 group F member 1-A-like [ <i>Limulus polyphemus</i> ]	198	198	90%	4e-60	81%	XP_013790693.1
PREDICTED: steroid receptor seven-up, isoforms B/C [ <i>Bombyx terrestris</i> ]	199	199	98%	2e-59	76%	XP_012174781.1
PREDICTED: steroid receptor seven-up, isoforms B/C [ <i>Camponotus floridanus</i> ]	196	196	98%	4e-59	75%	XP_011263764.1
PREDICTED: steroid receptor seven-up, isoforms B/C [ <i>Megachile rotundata</i> ]	198	198	98%	6e-59	75%	XP_012140861.1
hypothetical protein CAPTEDRAFT_171549 [ <i>Capitella teleta</i> ]	199	199	90%	6e-59	79%	ELT89160.1
PREDICTED: COUP transcription factor 1 [ <i>Pan paniscus</i> ]	197	197	95%	6e-59	72%	XP_014200330.1
PREDICTED: hepatocyte nuclear factor 4-gamma-like isoform X3 [ <i>Crassostrea gigas</i> ]	197	197	98%	9e-59	75%	XP_012542052.1
PREDICTED: COUP transcription factor 2-like isoform X2 [ <i>Lingula anatina</i> ]	198	198	94%	2e-58	81%	XP_013394783.1

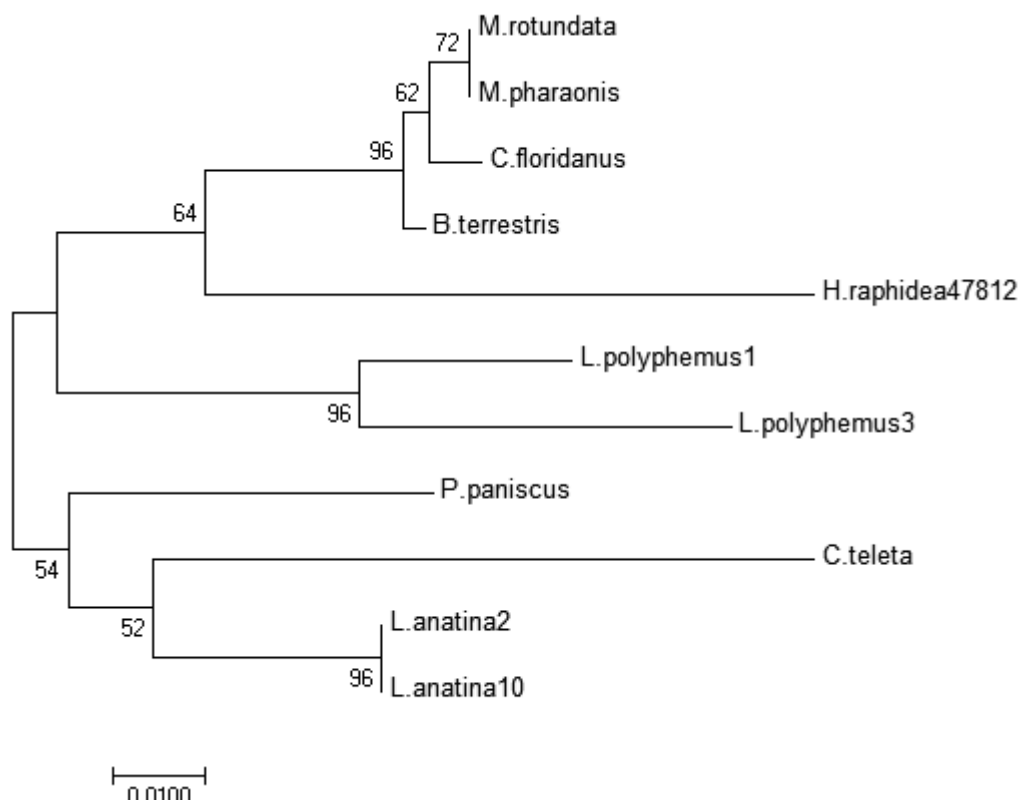
L.polyphemus1	-----MALAVTSWRDPP-----	PTA-----GVSVPET-D
L.polyphemus3	-----MALAVASWRDPP-----	PND-----GSTVTET-D
C.teleta	MAL-AVANQPNTVPTWGGSQEDLAGTTCTPQTGPPPAVH---	AQPTAGVTAPT--S
P.paniscus	-----	-----
C.floridanus	-----	MPPAHLTPSATPEDITCLVPAGSVLTSRDP
M.pharaonis	-----	MPPAHLTPSATPEDITCLVPAGSVLTSRDP
B.terrestris	-----	MPPTHLTPSATPEDITCLVPTGAVLTPRDP
M.rotundata	-----	HTPSATPEDITCLVPTGAVLTPRDP
H.raphidea47812	-----	-----
L.anatina2	MAMTPVSQTTPVVNTWHDPSEEL-NSPTQQQQPPPPVNVTPVQPVQAQTPAGVPATPTSP	
L.anatina10	MAMTPVSQTTPVVNTWHDPSEEL-NSPTQQQQPPPPVNVTPVQPVQAQTPAGVPATPTSP	
L.polyphemus1	LTPQTPT-----DSHNGPPPPQPSSTTSQTVDKNVQI ME	VVCGDKSSGKHYGQFTCE
L.polyphemus3	LAPHTPT-----AVLNQPPPPN-----TTSQNADKNLQF	LECVVCGDKSSGKHYGQFTCE
C.teleta	QPPQPPPSIVTDSTST-----PTSNNNNNSPGNSNDKTAQI IE	CIVCGDKSSGKHYGQFTCE
P.paniscus	-----PGAPATPA-----RRGTRPGPPG--SGQSQQH IE	CVVCGDKSSGKHYGQFTCE
C.floridanus	LPPSTTPGQANSS-----QSGSSQTDKSPN IE	CVVCGDKSSGKHYGQFTCE
M.pharaonis	LPPSTTPGQANSS-----QSGSSQTDKSPN IE	CVVCGDKSSGKHYGQFTCE
B.terrestris	LPPSTTPGQANSS-----QSGSSQTDKSPN IE	CVVCGDKSSGKHYGQFTCE
M.rotundata	LPPSTTPGQANSS-----QSGSSQTDKSPN IE	CVVCGDKSSGKHYGQFTCE
H.raphidea47812	-----MSCVVCGDKSSGKHYGQFTCE	
L.anatina2	TTPQQPPQOPSQQQQQGQGQQQGQTPGSQTPSGENKQOH IE	CVVCGDKSSGKHYGQFTCE
L.anatina10	TTPQQPPQOPSQQQQQGQGQQQGQTPGSQTPSGENKQOH IE	CVVCGDKSSGKHYGQFTCE
 		*****
L.polyphemus1	GCKSFFKRSVRRNLTYTCRGNRNCVDQHHRNQCQYCRLLKKCLKGMRREAVQRGRLPPT	
L.polyphemus3	GCKSFFKRSVRRNLTYTCRGNRNCVDQHHRNQCQYCRLLKKCLKGMRREAVQRGRLPPT	
C.teleta	GCKSFFKRSVRRNLTYSCRGNRNCPI DQHHHRNQCQYCRFKCLKGMRREAVQRGRVPPT	
P.paniscus	GCKSFFKRSVRRNLTYSCRGNRNCPI DQHHHRNQCQYCRLLKKCLKGMRREAVQRGRVPPT	
C.floridanus	GCKSFFKRSVRRNLTYSCRGNRNCPI DQHHHRNQCQFCRLLKKCLKGMRREAVQRGRVPPS	
M.pharaonis	GCKSFFKRSVRRNLTYSCRGNRNCPI DQHHHRNQCQFCRLLKKCLKGMRREAVQRGRVPPS	
B.terrestris	GCKSFFKRSVRRNLTYSCRGNRNCPI DQHHHRNQCQFCRLLKKCLKGMRREAVQRGRVPPS	
M.rotundata	GCKSFFKRSVRRNLTYSCRGNRNCPI DQHHHRNQCQFCRLLKKCLKGMRREAVQRGRVPPS	
H.raphidea47812	GCKSFFKRSVRRNLTYSCRGNRNCPI DQHHHRNQCQFCRLLKKCLKGMRREAVQRGRVPPS	
L.anatina2	GCKSFFKRSVRRNLTYSCRGNRNCPI DQHHHRNQCQFCRLLKKCLKGMRREAVQRGRIPPT	
L.anatina10	GCKSFFKRSVRRNLTYTCRGSRNCPIDQHHHRNQCQYCRLLKKCLKGMRREAVQRGRIPPT	
 		*****
L.polyphemus1	Q---HGLPGQMTLTNGDT-----LNGHSYLS斐ISLLLRAEPYQPTRYA-QCMQPNNFMG	
L.polyphemus3	Q---HALPGQMALTNGDS-----MNNGHSYLS斐ISLLLRAEPYEPMSRYG-QCMQSNNIMG	
C.teleta	Q---HPGFPQQLALANTDP-----FSGHTYLSS斐ISMLLRRAEPYPTSRYG-QCMQPNNIMG	
P.paniscus	QPN----PGQYALTNGDP-----LNHGCHYLSGY斐ISLLLRRAEPYPTSRYG-QCMQPNNIMG	
C.floridanus	QPSLPGLPQFALTNGDAVACAGLNGHNYLSSY斐ISLLLRRAEPYPTSRYG-QCMQPNNIMG	
M.pharaonis	QPSLPGLPQFALTNGDAVACAGLNGHNSY斐ISLLLRRAEPYPTSRYG-QCMQPNNIMG	
B.terrestris	QPSLPGLPQFALTNGDAVACANLNHGHTYLSSY斐ISLLLRRAEPYPTSRYG-QCMQPNNIMG	
M.rotundata	QPSLPGLPQFALTNGDAVACASLNHGHSY斐ISLLLRRAEPYPTSRYG-QCMQPNNIMG	
H.raphidea47812	Q---AMGMPQFPLTNGDA-----LNHGHTY-----	
L.anatina2	Q---HPGFPQQLALTNGDP-----LNHGHTYLSS斐ISMLLRRAEPYPTSRYG-QCMQPNNIMG	
L.anatina10	Q---HPGFPQQLALTNGDP-----LNHGHTYLSS斐ISMLLRRAEPYPTSRYG-QCMQPNNIMG	
*	*** * : * * : . : *** : * : * : * : * : * :	

ภาพที่ 3-39 การแสดงความคล้ายคลึงของยีน nuclear receptor subfamily 2 group F member 1-A-like (NGS: 47812) ในกังตึกแต่นหางจุดกับสิ่งมีชีวิตในฐานข้อมูลของ GenBank ด้วยวิธี Nucleotide BLAST โดยกรดอะมิโน cysteine ที่พบในตำแหน่งเดียวกันของทุกอร์โนในกลุ่มสิ่งมีชีวิตที่มียีน nuclear receptor subfamily 2 group F member 1-A-like ใช้สัญลักษณ์สีเทาเข้ม ส่วนตำแหน่งที่เหมือนกันในยีนทุกตัวใช้สัญลักษณ์สีเทา กรอบสีเหลืองคือโดเมน ZnF\_C4

L.polyphemus1	IDNICELAARLLFSAVEWARNIPFFPDLQITDQVALLRLVWSELFVLNASQCSMPLHVAP
L.polyphemus3	IDNICELAARLLFSAVEWARNIPFFPDLQITDQVALLRLVWSELFVLNASQCSMPLHVAP
C.teleta	IENICELAARLLFSAVEWGRNIPFFPDLQADQVALLRLAWSELFVLNAAQCAMPLHVAP
P.paniscus	IENICELAARLLFSAVEWARNIPFFPDLQITDQVSLRLTWSELFVLNAAQCAMPLHVAP
C.floridanus	IDNICELAARLLFSAVEWARNIPFFPDLQITDQVALLRLVWSELFVLNASQCSMPLHVAP
M.pharaonis	IDNICELAARLLFSAVEWARNIPFFPDLQVTDQVALLRLVWSELFVLNASQCSMPLHVAP
B.terrestris	IDNICELAARLLFSAVEWARNIPFFPDLQVTDQVALLRLVWSELFVLNASQCSMPLHVAP
M.rotundata	IDNICELAARLLFSAVEWARNIPFFPDLQVTDQVALLRLVWSELFVLNASQCSMPLHVAP
H.raphidea47812	-----
L.anatina2	IENICELAARLLFSAVEWARNIPFFPDLQVTDQVALLRLCWSELFVLNAAQCNMPLHVAP
L.anatina10	IENICELAARLLFSAVEWARNIPFFPDLQVTDQVALLRLCWSELFVLNAAQCNMPLHVAP
 L.polyphemus1	 LLAAAGLHASPMAADRVVAFMDHIRIFQEVEKALKALHVDAAEYSCLKAIVLFTTDACGI
L.polyphemus3	LLAAAGLHASPMAADHVVAFMDHIRIFQEVEKALKALHVDAAEYSCLKAIVLFTT----
C.teleta	LLAAAGLHASPMAADRVVAFMDHIRIFQEVEKALKALHVDSAEYSCLKAIVLFTSDACGL
P.paniscus	LLAAAGLHASPMASDRVVAFMDHIRIFQEVEKALKALHVXXXXXXGAVLLEVSDACGL
C.floridanus	LLAAAGLHASPMAADRVVAFMDHIRIFQEVEKALKALHVDSAESCLKAIVLFTTGESEI
M.pharaonis	LLAAAGLHASPMAADRVVAFMDHIRIFQEVEKALKALHVDSAESCLKAIVLFTTDACGL
B.terrestris	LLAAAGLHASPMAADRVVAFMDHIRIFQEVEKALKALHVDSAESCLKAIVLFTTDACGL
M.rotundata	LLAAAGLHASPMAADRVVAFMDHIRIFQEVEKALKALHVDSAESCLKAIVLFTTDACGL
H.raphidea47812	-----
L.anatina2	LLAAAGLHASPMAADRVVAFMDHIRIFQEVEKALKALHVDSAESCLKAIVLFTTDACGL
L.anatina10	LLAAAGLHASPMAADRVVAFMDHIRIFQEVEKALKALHVDSAESCLKAIVLFTTDACGL
 L.polyphemus1	 SDVGHIESLQEKSQCALEEYCRTQYPNQPTRFGKLLRLPSLRTVSSQVIEQLFFVRLVG
L.polyphemus3	-----
C.teleta	SDSAHIESLQEKAQCALEEYDRSQYPNQPTRFGKLLRLPSLSRVSAQVIEQLFFVRLVG
P.paniscus	SDAAHIESLQEKSQCALEEYVRSQYPNQPSRFGKLLRLPSLRTVSSSVIEQLFFVRLVG
C.floridanus	NVRF-----
M.pharaonis	SDVAHIESLQEKSQCALEEYCRTQYPNQPTRFGKLLRLPSLRTVSSQVIEQLFFVRLVG
B.terrestris	SDVTHIESLQEKSQCALEEYCRTQYPNQPTRFGKLLRLPSLRTVSSQVIEQLFFVRLVG
M.rotundata	SDVAHIESLQEKSQCALEEYCRTQYPNQPTRFGKLLRLPSLRTVSSQVIEQLFFVRLVG
H.raphidea47812	-----
L.anatina2	SDQGHIESLQEKSQCALEEYVRSQYPNQPTRFGKLLRLPSLRTVSAQVIEQLFFVRLVG
L.anatina10	SDQGHIESLQEKSQCALEEYVRSQYPNQPTRFGKLLRLPSLRTVSAQVIEQLFFVRLVG
 L.polyphemus1	 KTPIETLIRDMLLSGSSFNWPYMSLQ--
L.polyphemus3	-----
C.teleta	KTPIETLIRDMLLSGGSFNWPYMPIQ--
P.paniscus	KTPIETLIRDMLLSGSSFNWPYMSIQC
C.floridanus	-----
M.pharaonis	KTPIETLIRDMLLSGNSFNWPYITTM--
B.terrestris	KTPIETLIRDMLLSGSSFNWPYMST--
M.rotundata	KTPIETLIRDMLLSGSSFNWPYMST--
H.raphidea47812	-----
L.anatina2	KTPIETLIRDMLLSGGSFNWPYMAIQ--
L.anatina10	KTPIETLIRDMLLSGGSFNWPYMAIQ--

ภาพที่ 3-39 (ต่อ) การแสดงความคล้ายคลึงของยีน nuclear receptor subfamily 2 group F member 1-A-like (NGS: 47812) ในกั้งตึกแต่นหางจุดกับสิ่งมีชีวิตในฐานข้อมูลของ GenBank ด้วยวิธี Nucleotide BLAST โดยกรดอะมิโน cysteine ที่พบในตำแหน่งเดียวกันของทุกออร์โนนในกลุ่มสิ่งมีชีวิตที่มียีน nuclear receptor subfamily 2 group F member 1-A-like ใช้สัญลักษณ์สีเทาเข้ม ส่วนตำแหน่งที่เหมือนกันในยีนทุกตัวใช้สัญลักษณ์สีเทา กรอบสีเหลืองคือโคน ZnF\_C4

เมื่อศึกษาความสัมพันธ์เชิงวิัฒนาการโดยใช้ลำดับกรดอะมิโนของยีน nuclear receptor subfamily 2 group F member 1-A-like (NGS: 47812) ในกั้งตักแต่นหางจุดโดยใช้โปรแกรม MEGA เวอร์ชัน 7.0 พบว่ามีความสัมพันธ์กับแมงดาแอตแลนติก *Limulus polyphemus* มากที่สุด 96% ทำให้ทราบว่า yeinecdysone receptor ในกั้งตักแต่นหางจุดมีความคล้ายคลึงกัน และมีวิัฒนาการร่วมกันเมื่อเทียบกับสัตว์กลุ่มปูและกุ้งชนิดอื่นๆ ดังภาพที่ 3-40



ภาพที่ 3-40 การศึกษาความสัมพันธ์เชิงวิวัฒนาการของยีน nuclear receptor subfamily 2 group F member 1-A-like (NGS: 47812) ในกุ้งตื๊กแตนหางจุด โดยใช้ *L. Polyphemus* (XP\_013774988.1), *L. anatine* (XP\_013394781.1), *L. Polyphemus* (XP\_013790693.1), *B. terrestris* (XP\_012174781.1), *C. floridanus* (XP\_011263764.1), *M. rotundata* (XP\_012140861.1), *C. teleta* (ELT89160.1), *P. paniscus* (XP\_014200330.1), *C. gigas* (XP\_012542052.1) และ *L. anatine* (XP\_013394783.1)

ตารางที่ 3-37 สรุปผลเมื่อค้นตัวรับประบोร์โมน (Hormone receptor gene)

รหัส NGS	ชื่อย่อ	ลิสต์เข็มวิเคราะห์ก่อตัว (Acc. No.)	E value, % Identity	ขนาดพื้นที่ของ (bp และ ออ)	ขนาดและพื้นที่ open reading frame (bp เดียวกัน)	ขนาด 5' UTR และขนาด 3' UTR	Domain	สายสัมพันธ์เบื้องมีคริตรที่ ใกล้เคียง
6598	estrogen-related receptor [ <i>Scylla paramosain</i> ]	ADB43256.1	0.0, 76%	2,715 bp ผลลัพธ์ 905 ออ	พื้นที่ขนาด 1,386 bp ผลลัพธ์ 462 ออ	5' UTR 360 bp และ 3' UTR 969 bp	ZnF_C4 และ HOLI	<i>Portunus trituberculatus</i> , <i>Scylla paramosain</i>
20511	PREDICTED: hepatocyte nuclear factor 4-alpha-like [ <i>Saccoglossus kowalevskii</i> ]	XP_002731047.1	1e-157, 72%	2,039 bp ผลลัพธ์ 697 ออ	พื้นที่ขนาด 1,428 bp ผลลัพธ์ 476 ออ	5' UTR 364 bp และ 3' UTR 247 bp	ZnF_C4 และ HOLI	<i>Crassostrea gigas</i> , <i>Saccoglossus kowalevskii</i>
56829	Putative nuclear hormone receptor HR38 [ <i>Zootermopsis nevadensis</i> ]	KDR09534.1	4e-167, 81%	2,351 bp และ 783 ออ	พื้นที่ขนาด 2,256 bp ผลลัพธ์ 752 ออ	5' UTR 48 bp และ 3' UTR 47 bp	ZnF_C4 และ HOLI	<i>Harpegnathos saltator</i> , <i>Orussus abietinus</i>
21609	retinoid-X receptor 2 [ <i>Portunus trituberculatus</i> ]	AHJ81363.1	4e-155, 72%	1,169 bp* ผลลัพธ์ 389 ออ	-	5' UTR 122 bp	ZnF_C4 และ HOLI	<i>Litopenaeus vannamei</i> , <i>Fenneropenaeus chinensis</i>
38631	PREDICTED: ecdysone receptor [ <i>Macrobrachium rosenbergii</i> ]	AKL71618.1	2e-117, 71%	724 bp* ผลลัพธ์ 241 ออ	-	5' UTR 28 bp	ZnF_C4 และ HOLI Pfam:Hormone_recep	<i>Callinectes sapidus</i> , <i>Portunus trituberculatus</i> , <i>Uca pugillator</i>
47812	PREDICTED: nuclear receptor superfamily 2 group F member 1-A-like [ <i>Limulus polyphemus</i> ]	XP_013774988.1	5e-62, 84%	363 bp* ผลลัพธ์ 121 ออ	-	5' UTR 54 bp	ZnF_C4	<i>Limulus polyphemus</i>

● หมายถึง ลำดับนิยาตร์อิเล็กทรอนิกส์ที่บ่งชี้ว่า

## บทที่ 4

### อภิปรายผลและสรุปผลการวิจัย

#### 4.1 การวิเคราะห์ลำดับนิวคลีโอไทด์โดยใช้เทคโนโลยี Next Generation Sequencing (NGS)

การทำ *De novo transcriptome assembly* สามารถรวม read ที่ได้จาก Illumina platform เป็น transcripts ได้ทั้งหมด 93,344 transcripts และทำการตัดข้อมูลที่มีความน่าเชื่อถือ น้อยออกโดยทำการตัด transcripts ที่มีค่าการแสดงออกเป็น 0 ทั้งชุดทดลองและ ชุดควบคุม ทำให้เหลือ transcripts เพียง 28,323 transcripts จากนั้นเปรียบเทียบค่า FPKM ในรูป log10 และมีค่าความแปรปรวนระหว่างชุดทดลองและ ชุดควบคุมไม่ต่างกว่า 2 จะได้ข้อมูลค่าความแตกต่างในการแสดงออกของแต่ละ transcripts ทั้งหมด 214 transcripts ซึ่งมีความแตกต่างจากการศึกษาของ Waiho *et al.* (2017) ซึ่งได้ทำการศึกษาวิเคราะห์ transcriptome และ ระดับการแสดงออกที่แตกต่างกันของยีนใน testis ของปู orange mud crab (*Scylla olivacea*) ในระยะสมบูรณ์เพศ ที่มีการออกแบบการทดลองให้สามารถเปรียบเทียบระดับการแสดงออกของยีนเป็นคู่ ระหว่างแต่ละ maturation stage ของ *S. olivacea* กับระยะที่ยังไม่สมบูรณ์เพศ ทำให้ได้ค่า fold change ของแต่ละคู่ และนำไปเปรียบเทียบกันในลักษณะของระดับการแสดงออกของยีนที่ต่างกันโดยที่มี base สำหรับการเปรียบเทียบเป็น base เดียวกันทำให้สามารถเปรียบเทียบได้อย่างชัดเจนโดยสามารถรวม reads เป็น transcripts ทั้งหมด 160,569 transcripts และเมื่อนำไปเปรียบเทียบกันฐานข้อมูลโปรตีนต่างๆพบว่า 15-23% ของ transcripts ทั้งหมดที่ได้สามารถบุปโตรีนบนฐานข้อมูลได้ ซึ่งในวิธีการศึกษาโดยการอาศัย bioinformatic tools มาใช้ในการวิเคราะห์ผลการศึกษามีความสอดคล้องกันกับการศึกษาในครั้งนี้ และเมื่ออ้างอิงวิธีการศึกษาจาก Conesa *et al.* (2016) พบว่าใน การศึกษาครั้งนี้ไม่ได้มีการทำชุดการทดลองซ้ำ ทำให้ไม่สามารถรายงานผลในเชิงสถิติได้

ในการศึกษาลำดับนิวคลีโอไทด์ของยีนตัวรับฮอร์โมน (Hormone receptor gene) ได้ใช้หลักการของเครื่อง Illumina ซึ่งเครื่องอ่านลำดับเบสแบบเอ็นจีเอสในปัจจุบัน (next-generation sequencing platforms) มี 3 เทคโนโลยีหลัก ๆ ที่ใช้กันอย่างกว้างขวาง หรือมักเรียกว่า Second generation NGS platforms ได้แก่ Roche/Gs-FLX 454 Genome sequencer, Illumina/Hiseq 2000 และ ABI/ SOLiD 5500xl สำหรับเทคโนโลยีอื่น ๆ เช่น Polonator/G.007 และเทคโนโลยีที่กำลังพัฒนาต่อเนื่องกันอยู่ หรือที่เรียกว่า Third generation NGS platforms เช่น Helicos/Heliscope ซึ่งมีหลายบริษัทที่พยายามนำข้อบกพร่องที่เกิดขึ้นจาก Second generation NGS platforms มาปรับปรุงให้เทคโนโลยีการหาลำดับเบสมีความถูกต้องและราคากลาง สิ่งที่แตกต่างกันของเทคโนโลยีเหล่านี้ คือ การตรึงดีเอ็นเอต้นแบบให้อยู่กับที่ (template immobilization) วิธีสังเคราะห์สายดีเอ็นเอ อัตราความผิดพลาด (error rate) และความยาวของ reads ที่ได้จากการอ่านลำดับเบส ดังตารางที่ 4.1 (อุลิษา วิลลันโท และคณะ, 2555)

ตารางที่ 4-1 การเปรียบเทียบ Output ของเทคโนโลยี NGS เทียบกับการหา Nucleotide ด้วยเทคนิคอื่น ๆ

NGS technology	454/Roch	Illumina/Solexa	SOLiD/ABI	Polonator/G.007	Helicos	SMRT (Pacific Biosciences)
Chemistry	Pyrosequencing	Polymerase-based	Ligation-based	Ligation-base	Reversible Dye terminators	Phospho-linked Fluorescent Nucleotides
Amplification	Emulsion PCR B	Bridge Amp	Emulsion PCR	Emulsion PCR	No (single molecule)	No (single molecule)
ลำดับจากการสังเคราะห์	Pyrosequencing	Reversible Dye terminators	Oligonucleotide probe ligation	Sequencing by ligation using a random arrayed, bead-based, emulsion PCR	Single molecule sequencing	Single molecule real time
Paired ends/sep.	Yes/3 kb	Yes/200 bp	Yes/3 kb	Yes/13 bp	25-55 bp	NA
ช่องทางการผลิต/วัน	400 Mb/run/7.5 ชั่วโมง.	3,000 Mb/run/6.5 ชั่วโมง.	4,000 Mb/run/6 ชั่วโมง.	~16 Gb/run/2.5 วัน	8 วัน	0.02 วัน
Sequencing/run	10 ชั่วโมง.	2-5 ชั่วโมง.	6 ชั่วโมง.	~80 ชั่วโมง.	12	< 1
ความถูกต้องของผลิตภัณฑ์	99.5%	>98.5%	99.94%	>98%	>99%	NA
เวลาคำนวณ Mayer	400 bp	100 bp	50 bp	26 bp	35 average length	มากกว่า 1000
ค่าใช้จ่ายต่อการหาน้ำ(รวม)	\$8,439 หรือ ~ \$312,597	\$8,950 หรือ ~ \$294,749	\$17,447 หรือ ~ \$609,371	\$3,500 หรือ ~ \$ 122,244	ต่ำกว่า second NGS	ต่ำกว่า second NGS

ที่มา : อธิชา วิลน์พ. และคณะ, 255

#### 4.2 รูปแบบการแสดงออกของ transcripts ในเลือดของกั้งตึกแทนทางจุด

รูปแบบการแสดงออกของ transcripts ทั้งหมด ถูกแบ่งออกเป็น 4 กลุ่ม โดยมีการแสดงออกที่เพิ่มสูงขึ้นในกลุ่มที่ 1/2 และกลุ่มที่ 2/2 และมีการแสดงออกลดลงในกลุ่มที่ 1/1 และกลุ่มที่ 2/1 ซึ่งพบยืนยันว่ามีความน่าสนใจตามการจัดลำดับตามรูปแบบของ gene ontology จากฐานข้อมูล GO ได้ดังนี้

Transcripts TR8251|c0\_g3\_i1, TR51934|c0\_g1\_i1 และ TR30957|c0\_g1\_i1 เป็น transcripts ที่พบในกลุ่มที่ 1/1 ซึ่งถูกจัดระดับอยู่ในระดับสุดท้ายของ biological process (level 7) , molecular function (level 5) และ cellular component (level 5) และถูกระบุหน้าที่จากฐานข้อมูล GO ตาม GO ID ดังตารางที่ 4-2 พบร่ว่าเป็น histone H1-delta-like ทั้งหมดจากการตรวจสอบจากฐานข้อมูล blastx โดยมีการแสดงออกลดลงเมื่อมีการติดเชื้อ *Vibrio parahemolyticus* ซึ่งโปรตีน histone เป็นโปรตีนที่อยู่ในโครงสร้างของ chromatin โดยโปรตีน histones จะถูกแบ่งเป็น core histones (H2A, H2B, H3 และ H4) และ linker histones (H1 และ H5) ซึ่งในส่วนของ linker histones H1 ทำหน้าที่ในการเชื่อม DNA ให้อยู่ร่วงห่วง nucleosomes กับ compact chromatin และ histones ซึ่งมีความสอดคล้องกันกับงานวิจัยของ Nam et al. (2012) ที่ทำการศึกษา antimicrobial histone H1-like protein ของปลาเดียว (*Paralichthys olivaceus*) โดยพบร่ว่าปลาอยู่ในสิ่งแวดล้อมที่เต็มไปด้วยแบคทีเรีย และมีหลายชนิด เป็นแบคทีเรียก่อโรคโดยตัวปลาสามารถผลิต antimicrobial peptides (AMPs) ซึ่งเป็นปัจจัยสำคัญในกลไกการป้องกันตัวเองของระบบภูมิคุ้มกันแบบไม่จำเพาะในสิ่งมีชีวิตหลายชนิด อยู่ในรูปแบบของผิวน้ำ และเมื่อก่อต่างๆ ซึ่งประกอบไปด้วย pardaxin, pleurocidin, piscidin, misgurin, bass hepcidin และ myxinidin จะเห็นได้ว่า AMPs ทั้งหมดเป็น peptides

นอกจากนี้ยังมีโปรตีนขนาดเล็กที่มีคุณสมบัติในการยับยั้งแบคทีเรีย เช่น histone-like proteins (HLPs) histones ที่มีคุณสมบัติเป็น AMPs สามารถระบุได้จาก N- หรือ C- terminus (fish histones) รวมถึงยังพบรูปคุณสมบัติการยับยั้งแบคทีเรียของ AMPs ใน reproductive tissues ของ สัตว์เลี้ยงลูกด้วยนม นก และ สัตว์ทะเล จากการศึกษาของ Nam et al. 2012 ซึ่งได้ทำการศึกษาเปรียบเทียบระหว่าง antimicrobial protein และ histone H1 ซึ่งได้แสดงให้เห็นถึงคุณสมบัติในการยับยั้งแบคทีเรียแกรมลบประกอบไปด้วย *Bacillus subtilis*, *Staphylococcus aureus* และ *Streptococcus iniae* แบคทีเรียแกรมลบประกอบไปด้วย *Aeromonas hydrophila*, *Escherichia coli* D31, *Vibrio parahemolyticus* และ *Candida albicans* และจากการศึกษา cDNA cloning และ tissue distribution ของ histone H1-like protein ของปลาเดียว พบร่ว่ามีระดับการแสดงออกที่ขึ้นอยู่กับ developmental stage และการลดจำนวนลงที่ล้มมากๆหลังจากการฟัก อย่างไรก็ตามไม่พบ H1-like protein อยู่ในอวัยวะที่เกี่ยวข้องกับภูมิคุ้มกันอื่นๆเลย เช่น ไต และ ม้าม จากการศึกษาทำให้เห็นได้ว่า histone H1 มีบทบาทสำคัญในระบบภูมิคุ้มกันแบบไม่จำเพาะในปลา ที่อยู่ในช่วงของการ reproduction ประกอบไปด้วย การผสมพันธุ์ การปฏิสนธิ และการฟักไข่

ตารางที่ 4-2 หน้าที่ของ transcripts TR8251|c0\_g3\_i1, TR51934|c0\_g1\_i1 และ TR30957|c0\_g1\_i1 จากฐานข้อมูล GO

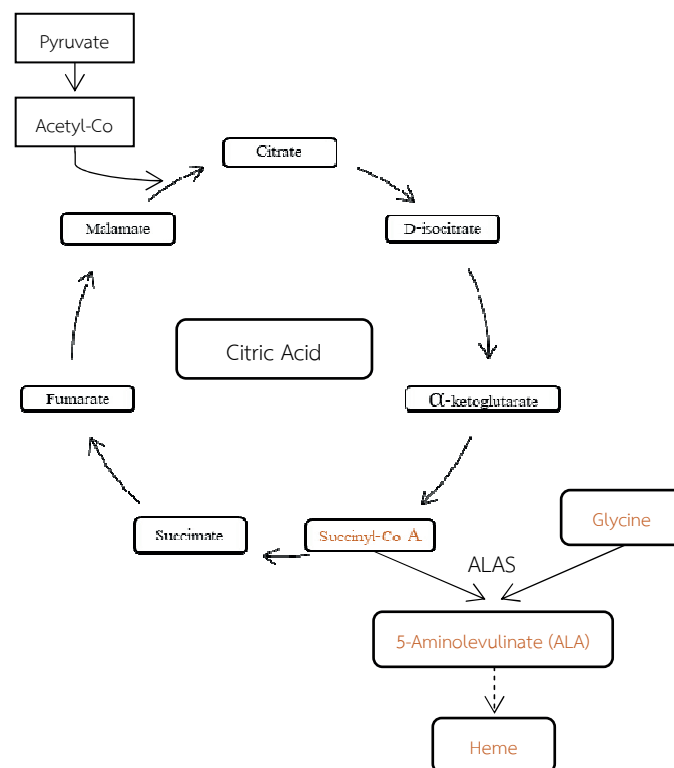
ID (Linked to Amigo)	Term	Type	Definition
GO:0000786	nucleosome	Cellular component	A complex comprised of DNA wound around a multisubunit core and associated proteins, which forms the primary packing unit of DNA into higher order structures.
GO:0005634	nucleus	Cellular component	A membrane-bounded organelle of eukaryotic cells in which chromosomes are housed and replicated. In most cells, the nucleus contains all of the cell's chromosomes except the organellar chromosomes, and is the site of RNA synthesis and processing. In some species, or in specialized cell types, RNA metabolism or DNA replication may be absent.
GO:0003677	DNA binding	Molecular function	Any molecular function by which a gene product interacts selectively and non-covalently with DNA (deoxyribonucleic acid).
GO:0006334	nucleosome assembly	Biological process	The aggregation, arrangement and bonding together of a nucleosome, the beadlike structural units of eukaryotic chromatin composed of histones and DNA.

Transcript TR33858|c0\_g1\_i1 เป็น transcript ในกลุ่มที่ 1/2 มีลักษณะการแสดงออกเพิ่มสูงขึ้น เมื่อได้รับการติดเชื้อ *Vibrio parahemolyticus* จากการตรวจสอบลำดับนิวคลีโอไทด์จากฐานข้อมูล blastx พบร่วมเป็น cyclooxygenases และถูกจัดระดับตามรูปแบบ gene ontology ในระดับสุดท้ายของ biological process (level 9) และได้ถูกระบุหน้าที่จากฐานข้อมูล GO ตาม GO ID ไว้ดังตารางที่ 4-3 ซึ่งจากการศึกษาครั้งนี้พบ pathway arachidonic acid metabolism และ pathway phenylpropanoid biosynthesis ใน transcript TR33858|c0\_g1\_i1 ซึ่งให้ผลสอดคล้องกับการศึกษาของ Varvas *et al.* (2009) ที่ได้ทำการศึกษา cyclooxygenase pathway ของกระบวนการสร้างสารเคมี prostaglandin ใน arthropods ซึ่งได้รายงานการ cloning และ การแสดงออกของ cyclooxygenase (COX) จาก *Gammarus* spp. และ *Caprella* spp. เป็นสิ่งมีชีวิตในกลุ่ม amphipod โดย COX ของ amphipod เป็นข้อบ่งชี้ที่สำคัญสำหรับ cyclooxygenase และ peroxidase activity จากการศึกษาพบว่า amphipod COX protein มีบทบาทเป็น N-glycosylate และอยู่ตำแหน่งเดียวกันกับ COX ในสัตว์มีกระดูกสันหลังที่อยู่ใน endoplasmic reticulum และ nuclear envelope จากการถอดรหัส COX mRNAs ของ amphipod เพื่อระบุหน้าที่พบร่วม COX หน้าที่เป็นตัวกระตุ้นให้เกิดการเปลี่ยน arachidonic acid ไปเป็น ฮอร์โมน prostaglandins ที่ทำหน้าที่เป็น lipid mediator ในสัตว์มีกระดูกสันหลัง และยังมีบทบาทในระบบสืบพันธุ์ ระบบภูมิคุ้มกัน และ ion transport ของสิ่งมีชีวิตในกลุ่ม arthropods

ตารางที่ 4-3 หน้าที่ของ transcript TR33858|c0\_g1\_i1 จากฐานข้อมูล GO

ID (Linked to Amigo)	Term	Type	Definition
GO:0016021	integral component of membrane	Cellulae component	The component of a membrane consisting of the gene products and protein complexes having at least some part of their peptide sequence embedded in the hydrophobic region of the membrane.
GO:0004601	peroxidase activity	Molecular function	Catalysis of the reaction: donor + hydrogen peroxide = oxidized donor + 2 H <sub>2</sub> O.
GO:0004666	prostaglandin-endoperoxide synthase activity	Molecular function	Catalysis of the reaction: arachidonate + donor-H <sub>2</sub> + 2 O <sub>2</sub> = prostaglandin H <sub>2</sub> + acceptor + H <sub>2</sub> O.
GO:0020037	heme binding	Molecular function	Interacting selectively and non-covalently with heme, any compound of iron complexed in a porphyrin (tetrapyrrole) ring.
GO:0006979	response to oxidative stress	Biological process	Any process that results in a change in state or activity of a cell or an organism (in terms of movement, secretion, enzyme production, gene expression, etc.) as a result of oxidative stress, a state often resulting from exposure to high levels of reactive oxygen species, e.g. superoxide anions, hydrogen peroxide (H <sub>2</sub> O <sub>2</sub> ), and hydroxyl radicals.
GO:0008217	regulation of blood pressure	Biological process	Any process that modulates the force with which blood travels through the circulatory system. The process is controlled by a balance of processes that increase pressure and decrease pressure.
GO:0019371	cyclooxygenase pathway	Biological process	The chemical reactions and pathways by which prostaglandins are formed from arachidonic acid, and in which prostaglandin-endoperoxide synthase (cyclooxygenase) catalyzes the committed step in the conversion of arachidonic acid to the prostaglandin-endoperoxides PGG <sub>2</sub> and PGH <sub>2</sub> .
GO:0055114	oxidation-reduction process	Biological process	A metabolic process that results in the removal or addition of one or more electrons to or from a substance, with or without the concomitant removal or addition of a proton or protons.
GO:0098869	cellular oxidant detoxification	Biological process	Any process carried out at the cellular level that reduces or removes the toxicity superoxide radicals or hydrogen peroxide.
GO:0006804	obsolete peroxidase reaction	Biological process	OBSOLETE (was not defined before being made obsolete).
GO:0006691	leukotriene metabolic process	Biological process	The chemical reactions and pathways involving leukotriene, a pharmacologically active substance derived from a polyunsaturated fatty acid, such as arachidonic acid.

Transcripts TR31322|c0\_g1\_i1 และ TR31322|c0\_g2\_i1 เป็น transcripts ในกลุ่มที่ 2/1 มีลักษณะการแสดงออกคล่องเมื่อได้รับการติดเชื้อ *Vibrio parahemolyticus* จากการตรวจสอบลำดับนิวคลีโอไทด์จากฐานข้อมูล blastx พบว่าเป็น 5-aminolevulinate erythroid- mitochondrial และถูกจัดระดับตามรูปแบบ gene ontology ในระดับสุดท้ายของ biological process (level 6) , molecular function (level 8) และ cellular component (level 5) และพบ pathway จำนวน 2 pathway ซึ่งประกอบไปด้วย Glycine, serine and threonine metabolism และ Porphyrin and chlorophyll metabolism โดยจากการศึกษาของ Hunter and Ferreira. (2011) พบว่า pyridoxal-5'-phosphate (PLP) เป็นปัจจัยที่ทำงานร่วมกับ homodimeric mitochondrial enzyme 5-aminolevulinate synthase (ALAS) เพื่อควบคุม metabolic flux ไปสู่ porphyrin biosynthetic pathway ในสัตว์, fungi และ  $\alpha$ -subclass of proteobacteria ALAS เป็นตัวกระตุ้น PLP-dependent reaction ของ glycine กับ succinyl-Coenzyme A เพื่อสร้าง Coenzyme A, carbon dioxide และ ALA และเป็นขั้นแรกในการศึกษาทั้งหมดของ biological tetrapterroles, hemes, chlorophylls และ cobalamins โดยที่ ALAS จะพบในเฉพาะสิ่งมีชีวิตที่เป็น eukaryotes ที่ไม่ใช่พืช และ  $\alpha$ -subclass of proteobacteria ALAS มีบทบาททั้งในการสร้าง heme และ cytochrome ในกระบวนการหายใจแบบใช้ออกซิเจน โดยการทำงานร่วมกันของ succinyl-Coenzyme A ดังภาพที่ 4-1 ซึ่งเป็นกลไกสำคัญในการควบคุมการสังเคราะห์ porphyrin ซึ่ง porphyrin มีบทบาทใน 2 ลักษณะดังนี้ hemoglobin biosynthesis ใน developing erythrocytes (ALAS-2) และมีการแสดงออกในทุกเนื้อเยื่อ สำหรับการผลิต cytochromes และ hemoproteins (ALAS-1)

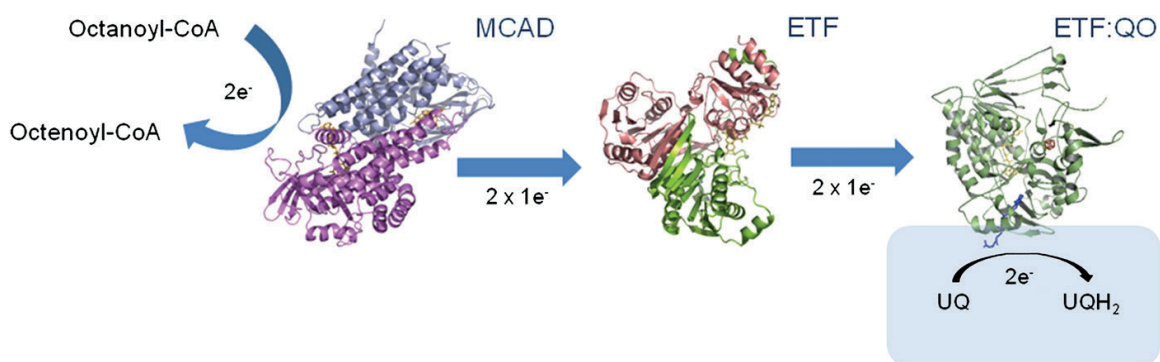


ภาพที่ 4-1 ALAS heme biosynthesis to aerobic respiration

ตารางที่ 4-4 หน้าที่ของ transcripts TR31322|c0\_g1\_i1 และ TR31322|c0\_g2\_i1 จากฐานข้อมูล GO

ID (Linked to Amigo)	Term	Type	Definition
GO:0016021	integral component of membrane	Cellulae component	The component of a membrane consisting of the gene products and protein complexes having at least some part of their peptide sequence embedded in the hydrophobic region of the membrane.
GO:0004601	peroxidase activity	Molecular function	Catalysis of the reaction: donor + hydrogen peroxide = oxidized donor + 2 H <sub>2</sub> O.
GO:0004666	prostaglandin-endoperoxide synthase activity	Molecular function	Catalysis of the reaction: arachidonate + donor-H <sub>2</sub> + 2 O <sub>2</sub> = prostaglandin H <sub>2</sub> + acceptor + H <sub>2</sub> O.
GO:0020037	heme binding	Molecular function	Interacting selectively and non-covalently with heme, any compound of iron complexed in a porphyrin (tetrapyrrole) ring.
GO:0006979	response to oxidative stress	Biological process	Any process that results in a change in state or activity of a cell or an organism (in terms of movement, secretion, enzyme production, gene expression, etc.) as a result of oxidative stress, a state often resulting from exposure to high levels of reactive oxygen species, e.g. superoxide anions, hydrogen peroxide (H <sub>2</sub> O <sub>2</sub> ), and hydroxyl radicals.
GO:0008217	regulation of blood pressure	Biological process	Any process that modulates the force with which blood travels through the circulatory system. The process is controlled by a balance of processes that increase pressure and decrease pressure.
GO:0019371	cyclooxygenase pathway	Biological process	The chemical reactions and pathways by which prostaglandins are formed from arachidonic acid, and in which prostaglandin-endoperoxide synthase (cyclooxygenase) catalyzes the committed step in the conversion of arachidonic acid to the prostaglandin-endoperoxides PGG <sub>2</sub> and PGH <sub>2</sub> .
GO:0055114	oxidation-reduction process	Biological process	A metabolic process that results in the removal or addition of one or more electrons to or from a substance, with or without the concomitant removal or addition of a proton or protons.
GO:0098869	cellular oxidant detoxification	Biological process	Any process carried out at the cellular level that reduces or removes the toxicity superoxide radicals or hydrogen peroxide.
GO:0006804	obsolete peroxidase reaction	Biological process	OBSOLETE (was not defined before being made obsolete).
GO:0006691	leukotriene metabolic process	Biological process	The chemical reactions and pathways involving leukotriene, a pharmacologically active substance derived from a polyunsaturated fatty acid, such as arachidonic acid.

Transcript TR16718\_c0\_g1\_i1 เป็น transcript ในกลุ่มที่ 2/2 มีลักษณะการแสดงออกเพิ่มสูงขึ้นเมื่อได้รับการติดเชื้อ *Vibrio parahemolyticus* จากการตรวจสอบลำดับนิวคลีโอไทด์จากฐานข้อมูล blastx พบร้าเป็น electron transfer flavo-ubiquinone mitochondrial และถูกจัดระดับตามรูปแบบ gene ontology ในระดับสุดท้ายของ cellular component (level 6) และได้ถูกระบุหน้าที่จากฐานข้อมูล GO ตาม GO ID ไว้ดังตารางที่ 4-5 โดยจากการศึกษาของ Watmough and Frerman. (2010) พบร้า electron transfer flavoprotein : ubiquinone oxidoreductases (ETF-QO) คือส่วนประกอบของ mitochondrial respiratory chain ที่อยู่ร่วมกันกับ electron transfer flavoprotein (ETF) ซึ่งเป็นเส้นทางการขนถ่าย electron จาก mitochondrial flavoprotein dehydrogenases ทั้ง 11 ชนิดไปยัง ubiquinone pool ซึ่งในการศึกษาโครงสร้างของ enzyme จากตับหมู ทำให้ทราบถึงโครงสร้างของ ETF-QO ที่ถูกเปลี่ยนเป็น monotopic membrane protein โดย FAD และ  $[4\text{Fe}-4\text{S}]^{+1+2}$  cluster ซึ่ง ETF : ubiquinone oxidoreductases ทำหน้าที่เป็นตัวกลางในการขนถ่าย electron ระหว่าง ETF และ ubiquinone โดยที่อยู่รูปแบบของ short electron transfer pathway เพื่อนำ electron จาก mitochondrial FTA ที่มีองค์ประกอบของ acyl-CoA dehydrogenase ของ กรดไขมัน  $\beta$ -oxidation และ amino acid catabolism ไปสู่ ubiquinone pool ซึ่งอยู่ในกลไกการหายใจระดับเซลล์ ซึ่งมีกลไกการขนส่ง electron ดังภาพที่ 4-2



ภาพที่ 4-2 กลไกการขนส่ง electron ใน short electron transfer pathway เริ่มการขนส่ง electron จาก Octanoyl-CoA ไปสู่ Ubiquinone โดยมีตัวกลางเป็น ETF และ ETF : QO (Watmough and Frerman. 2010)

ตารางที่ 4-5 หน้าที่ของ transcript TR16718\_c0\_g1\_i1 จากฐานข้อมูล GO

ID (Linked to Amigo)	Term	Type	Definition
GO:0031305	integral component of mitochondrial inner membrane	Cellular component	The component of the mitochondrial inner membrane consisting of the gene products having at least some part of their peptide sequence embedded in the hydrophobic region of the membrane.
GO:0004174	electron-transferring-flavoprotein dehydrogenase activity	Molecular function	Catalysis of the reaction: reduced ETF + ubiquinone = ETF + ubiquinol.
GO:0009055	electron carrier activity	Molecular function	Any molecular entity that serves as an electron acceptor and electron donor in an electron transport chain. An electron transport chain is a process in which a series of electron carriers operate together to transfer electrons from donors to any of several different terminal electron acceptors to generate a transmembrane electrochemical gradient.
GO:0048039	ubiquinone binding	Molecular function	Interacting selectively and non-covalently with ubiquinone, a quinone derivative with a tail of isoprene units.
GO:0051539	4 iron, 4 sulfur cluster binding	Molecular function	Interacting selectively and non-covalently with a 4 iron, 4 sulfur (4Fe-4S) cluster; this cluster consists of four iron atoms, with the inorganic sulfur atoms found between the irons and acting as bridging ligands.
GO:0006979	response to oxidative stress	Biological process	Any process that results in a change in state or activity of a cell or an organism (in terms of movement, secretion, enzyme production, gene expression, etc.) as a result of oxidative stress, a state often resulting from exposure to high levels of reactive oxygen species, e.g. superoxide anions, hydrogen peroxide (H <sub>2</sub> O <sub>2</sub> ), and hydroxyl radicals.
GO:0022904	respiratory electron transport chain	Biological process	A process in which a series of electron carriers operate together to transfer electrons from donors such as NADH and FADH <sub>2</sub> to any of several different terminal electron acceptors to generate a transmembrane electrochemical gradient.
GO:0033539	fatty acid beta-oxidation using acyl-CoA dehydrogenase	Biological process	A fatty acid beta-oxidation pathway in which the initial step of each oxidation cycle, which converts an acyl-CoA to a trans-2-enoyl-CoA, is catalyzed by acyl-CoA dehydrogenase; the electrons removed by oxidation pass through the respiratory chain to oxygen and leave H <sub>2</sub> O as the product. Fatty acid beta-oxidation begins with the addition of coenzyme A to a fatty acid, and ends when only two or three carbons remain (as acetyl-CoA or propionyl-CoA respectively).
GO:0006118	obsolete electron transport	Biological process	OBsolete. The transport of electrons from an electron donor to an electron acceptor.

Transcript TR11263|c0\_g2\_i1 เป็น transcript ในกลุ่มที่ 2/2 มีลักษณะการแสดงออกเพิ่มสูงขึ้นเมื่อได้รับการติดเชื้อ *Vibrio parahemolyticus* จากการตรวจสอบลำดับนิวคลีโอไทด์จากฐานข้อมูล blastx พบร่วมเป็น CCR4-NOT transcription complex subunit 7 isoform X1 และถูกจัดระดับตามรูปแบบ gene ontology ในระดับสุดท้ายของ biological process (level 9) และ molecular function (level 9) และได้ถูกระบุหน้าที่จากฐานข้อมูล GO ตาม GO ID ไว้ดังตารางที่ 4-6 CCR4-NOT complex มีอยู่หลาย subunit ที่มีบทบาทในเซลล์อยู่หลายหน้าที่ เพื่อการควบคุมระดับการแสดงออกของยีน โดยกระบวนการ ubiquitination และ deadenylation (Collart and Panasenko. 2012) จากการศึกษาของ Gavin *et al.*, (2002) สามารถระบุ subunits ของ CCR4-NOT complex จากเซลล์ของมนุษย์ได้ตั้งแต่ CNOT1-CNOT10 การศึกษาของ J.-X. Shi *et al.* (2012) ได้ทำการศึกษา CNOT7/hCAF1 ในมนุษย์ที่มีความเกี่ยวข้องกับ intercellular adhesion molecule-1 และ interleukin-8 โดย tristetraprolin ซึ่งเป็น RNA-binding protein ที่เปลี่ยนไปเป็น AU-rich elements ที่บริเวณ 3'-untranslated region (3'-UTR) แสดงให้เห็นว่า tristetraprolin จะอยู่ติดกับ AU-rich elements ของ intercellular adhesion molecule-1 และ interleukin-8 mRNAs และยังเป็น coimmunoprecipitated กับ intercellular adhesion molecule-1 และ interleukin-8 mRNAs นอกจากนี้ tristetraprolin, CNOT7 และ CNOT1 ยังเป็น coimmunoprecipitated ใน human pulmonary microvascular endothelial cells

#### ตารางที่ 4-6 หน้าที่ของ transcript TR11263|c0\_g2\_i1 จากฐานข้อมูล GO

ID (Linked to Amigo)	Term	Type	Definition
GO:0003676	nucleic acid binding	Molecular function	Interacting selectively and non-covalently with any nucleic acid.
GO:0004535	poly(A)-specific ribonuclease activity	Molecular function	Catalysis of the exonucleolytic cleavage of poly(A) to 5'-AMP.
GO:0000289	nuclear-transcribed mRNA poly(A) tail shortening	Biological process	Shortening of the poly(A) tail of a nuclear-transcribed mRNA from full length to an oligo(A) length.
GO:0051252	regulation of RNA metabolic process	Biological process	Any process that modulates the frequency, rate or extent of the chemical reactions and pathways involving RNA.

#### 4.3 รูปแบบการแสดงออกของ transcripts ในรังไข่ของกั้งตักแตนหางจุด

งานวิจัยนี้ประสบผลสำเร็จในการหาลำดับนิวคลีอิทีดของยีนไวนิวโลเจนิน (Vitellogenin, VTG) ซึ่งรูปแบบการพัฒนารังไข่ของกั้งตักแตนหางจุดมีความใกล้เคียงกับปูมากกว่าในกุ้ง เนื่องจากลักษณะภายนอกของรังไข่กั้งตักแตนในช่วงที่มีพัฒนาการของรังไข่จากระยะที่ยังไม่สมบูรณ์เพศจนเป็นระยะสมบูรณ์เพศ จะมีความแตกต่างกันทั้งขนาดและสีตามลำดับการพัฒนา ในระยะแรกรังไข่มีลักษณะเป็นเส้นบางใส ส่วนในรังไข่ระยะที่ 2-5 จะมีการเปลี่ยนแปลงของขนาดของรังไข่ที่ขยายใหญ่ขึ้น และขยายปุกคุณส่วนของตับ/ตับอ่อนตามระยะการเจริญ จากการวิจัยนี้พบว่ายีนไวนิวโลเจนินสามารถพบรการแสดงออกได้ในรังไข่ของกั้งตักแตนหางจุด ซึ่งพบโดยเมนทิพบนยีนไวนิวโลเจนินในสิ่งมีชีวิตที่ใกล้เคียงกัน ดังตารางที่ 4-7 โดยมีผลสอดคล้องกับชนิดหิรัญสัจจาเลิศ (2556) ศึกษากลไกของการผลิตไวนิวโลเจนิน และโปรตีนไวนิวโลเจนิน ของกุ้งกุลาดำ และกุ้งพีเนียสอื่น ๆ พบร่วมกับการแสดงออกของยีนไวนิวโลเจนินในรังไข่ และตับ/ตับอ่อนของกุ้งพีเนียสหลายชนิด ซึ่งมีความแตกต่างจากครัสเตเชียนชนิดอื่น เช่น ปูและกุ้งมังกร ในบริเวณที่มีการผลิตโปรตีนไวนิวโลเจนินจะจำกัดอยู่ที่ตับ/ตับอ่อนเพียงอวัยวะเดียว โดยเส้นทางของการลำเลียงโปรตีนไวนิวโลเจนินของกุ้งพีเนียสที่ผลิตจากเซลล์ตับ/ตับอ่อน ที่ผ่านกระบวนการตกแต่ง 2 ครั้ง และลำเลียงผ่านทางเลือดแล้วจึงส่งไปยังอวัยวะเป้าหมายคือรังไข่ โดยที่บริเวณผนังเซลล์ไข่จะมีตัวรับโปรตีนไวนิวโลเจนินที่มาจากการเลือด เพื่อนำเข้าสู่เซลล์ไข่แล้วเปลี่ยนเป็นโปรตีนไวนิลินต่อไป และการสร้างไวนิวโลเจนินมีความสัมพันธ์กับการพัฒนารังไข่การแสดงออกของยีนไวนิวโลเจนินในตับและรังไข่อาจมีการควบคุมที่แตกต่างกันในแต่ละเนื้อเยื่อ

Santos and Negreiros-Franozo (1999) ที่ศึกษาการพัฒนารังไข่ในปูชนิด *Portunus spinimanus* ขณะที่มีการสร้างไข่แดงในกระบวนการสร้างและสะสมไข่แดง (vitellogenesis) ปริมาณของ oocytes ในรังไข่จะเพิ่มขึ้นทำให้เกิดการเปลี่ยนแปลงของสีของรังไข่ สีของรังไข่เป็นผลจากการสะสมของรงค์วัตถุจำพวก carotenoid สำหรับการศึกษาลักษณะทางเนื้อเยื่อวิทยา (histology) เพื่อจำแนกระยะการพัฒนาของรังไข่ จากผลการศึกษาพบว่าลักษณะภายนอกของรังไข่ปูในช่วงที่มีพัฒนาการของรังไข่จากระยะที่ยังไม่สมบูรณ์เพศจนเป็นระยะสมบูรณ์เพศ จะมีความแตกต่างกันทั้งขนาดและสีตามลำดับการพัฒนา โดยในระยะแรกรังไข่มีลักษณะเป็นเส้นบางใส เนื่องจากยังไม่มีการเจริญของ oocyte ภายในรังไข่ ส่วนในรังไข่ระยะที่ 2-5 จะมีการเปลี่ยนแปลงของขนาดของรังไข่ขยายใหญ่ขึ้น และขยายปุกคุณส่วนของตับอ่อนตามระยะการเจริญ ส่วนสีของรังไข่จะเปลี่ยนจากสีขาวขุ่นในระยะที่ 2 กลายเป็นสีเหลืองและสีน้ำตาลในตับตามลำดับ

พริมา พิริยะงูร (2549) ศึกษาคุณสมบัติของไวนิลินในกุ้งแซบวัย โดยโปรตีนที่ทำหน้าที่รับโปรตีนไวนิวโลเจนินจากเลือดเข้าสู่เซลล์ไข่ คือโปรตีนตัวรับไวนิวโลเจนิน (vitellogenin receptor) มีรายงานลำดับนิวคลีอิทีดของยีนตัวรับไวนิวโลเจนินเป็นครั้งแรกในกุ้งกุลาดำ โดยพบการแสดงออกของยีนที่ทำหน้าที่ผลิตโปรตีนตัวรับไวนิวโลเจนินที่ระดับต่าง ๆ ในรังไข่ระยะไวนิวโลเจนิกตอนต้น และสูงขึ้นเมื่อรังไข่ของแม่กุ้งมีค่าดัชนีรังไข่เป็น 3-4% ทำให้สามารถสนับนิยฐานได้ว่าเป็นช่วง ที่รังไข่มีความต้องการการส่งผ่านโปรตีนไวนิวโลเจนินจากตับ/ตับอ่อนผ่านเลือดเข้าไปในเซลล์ไข่ของกุ้งกุลาดำโดยอาศัยตัวรับตังกล่าว ซึ่งจากการศึกษาตำแหน่งของโปรตีนตัวรับไวนิวโลเจนินด้วยวิธีอิมมูโนไฮสโตรเคมี (immunohistochemistry) พบว่า

มีการแสดงออกอย่างชัดเจนบริเวณผนังเซลล์ไขระยะไวเทลโลเจนิก แสดงให้เห็นว่ากลไกการรับประตีนไวเทลโลเจนินที่ผ่านการทำให้เป็นโมเลกุลเด็กลงแล้วเข้าสู่เซลล์ไข่ของกุ้งกุลาดำเน็นมีประตีนตัวรับไวเทลโลเจนินเป็นตัวนำเข้าสู่เซลล์ (Tiu et al., 2008)\

Avarre et al. (2003) ศึกษาความสัมพันธ์ระหว่างยีนไวเทลโลเจนิน และไวเทลลินในกุ้งกุลาย (*Penaeus semisulcatus*) และลักษณะองค์ประกอบทางโมเลกุลของดีเอ็นเอ พบร่วงเหล่งที่มากของโปรตีนไข่แดงในรังไข่กุ้งมีส่วนเกี่ยวข้องในความสัมพันธ์ของยีนไวเทลโลเจนิน (VTG) และไวเทลลิน (VT) จากการเปรียบเทียบปริมาณยีนไวเทลโลเจนิน และไวเทลลินในรังไข่ของกุ้ง *Penaeus semisulcatus* พบร่วงมียีนไวเทลโลเจนินจากรังไข่ซึ่งมีลำดับนิวคลีโอไทด์ 7,920 คู่เบส และกรดอะมิโน 2,068 กรดอะมิโน ส่วนยีนไวเทลโลเจนินในตับ/ตับอ่อนมีลำดับนิวคลีโอไทด์ 7,920 คู่เบส โดยพบว่ายีนไวเทลโลเจนินจากตับคล้ายคลึงกับยีนไวเทลโลเจนินจากรังไข่ ซึ่งผลการตรวจสอบพบว่ายีนไวเทลโลเจนินพบเฉพาะในรังไข่และตับ/ตับอ่อนของเพศเมียถึงแม้ว่ายีนไวเทลโลเจนินจะถูกพบในเพศผู้ประมาณ 7.8 กิโลเบส โดยรูปแบบการแสดงออกของยีนไวเทลโลเจนินจะเกี่ยวข้องกับขั้นตอนของการพัฒนารังไข่ และวงจรการลอกคราบ

Tsutsui et al. (2000) ศึกษาลักษณะโมเลกุลของยีนไวเทลโลเจนิน และการแสดงออกในรังไข่และตับ/ตับอ่อน ในช่วงกระบวนการไวเทลโลเจนีซีสในกุ้ง Kuruma Prawn (*Penaeus japonicas*) พบร่วงในครั้งเตเชียนมีการสืบทอดพันธุ์และกลไกการควบคุมกระบวนการไวเทลโลเจนีซีส โดยไม่เลือดของครั้งเตเชียนจะพบร่วงไข่แดง และไวเทลลิน เช่นเดียวกับการแสดงออกของยีนไวเทลโลเจนิน โดยยีนไวเทลโลเจนินสามารถแสดงออกได้ทั้งในรังไข่ และเซลล์ตับ/ตับอ่อนของกุ้ง Kuruma Prawn (*Penaeus japonicas*) เพศเมียในระยะไวเทลโลเจนิกตอนต้นและสูงขึ้นเรื่อยๆ เมื่อระยะการพัฒนาไปสูงขึ้น

Tiu et al. (2006) ศึกษารูปแบบการผลิตไวเทลโลเจนิน (PmVg1) ในตับ/ตับอ่อน และรังไข่ของกุ้งกุลาดำเน (*Penaeus monodon*) โดยรูปแบบของยีนไวเทลโลเจนินมีคล้ายกับ *MeVg1* จาก *M. ensis* ซึ่งยีนไวเทลโลเจนินของกุ้งกุลาดำเน (*PmVg1*) ประกอบด้วย 14 introns และ 15 exons โดยยีน *PmVg* มีขนาด 7.8 กิโลเบส และสารตั้งต้นส่วนใหญ่คล้ายกับยีนไวเทลโลเจนิน ของกุ้ง *Penaeus mergueensis* (identity 86%) ซึ่งรังไข่มีบทบาทสำคัญในการมียีน *PmVg1* ในช่วงไวเทลโลเจนีซีสตอนต้น (GSI <3%) พบร่วงการแสดงออกของ *PmVg1* ในรังไข่ และตับ/ตับอ่อนอยู่ในระดับต่ำ ส่วนการแสดงออกถึงระดับสูงสุดในกุ้งที่มี GSI 4-8% และ GSI> 9% โดยกรด Farnesoic และ 20-hydroecdysone สามารถทำให้เกิดการกระตุ้นให้ตับ/ตับอ่อนมีการแสดงออกของ *PmVg1* อย่างมีนัยสำคัญในหลอดทดลอง

Treerattrakool et al. (2008) ศึกษาการบังคับการทำงานของยีน Pem-GIH ในกุ้งกุลาดำเนโดยใช้เทคนิค double stranded RNA (dsRNA) พบร่วง GIH-dsRNA ส่งผลให้ระดับการแสดงออกของยีน Pem-GIH ในกลุ่มเซลล์ประสาทบริเวณก้านตา (eyestalk ganglia) และแนวเส้นประสาทตรงส่วนท้อง (abdominal nerve cord) ของแมงดาพันธุ์กุ้งกุลาดำเนลดลง แต่ระดับการแสดงออกของยีนที่ผลิตไวเทลโลเจนินในรังไข่มีค่าสูงขึ้นอย่างมีนัยสำคัญ เมื่อยีน Pem-GIH ถูกบังคับการทำงานด้วย GIH-dsRNA แสดงให้เห็นว่าอร์โนนที่หลังมาจากการต่อเมืองเรี้ยท่อ (X-organ/sinus gland complex; XO-SG) ที่บริเวณก้านตา กุ้งมีความสำคัญในการควบคุมกระบวนการไวเทลโลเจนีซีสในกุ้งกุลาดำเน

ตารางที่ 4-7 ผลโดยเมนที่พบบนยีนไว้เทลโลเจนินในสิ่งมีชีวิตที่ใกล้เคียงกัน

Description	Domain (E-value)			Accession number
	LPD_N	DUF1943	VWD	
<i>Vitellogenin [Harpisquilla raphidea]</i>	1.07e-09	2.25e-51	0.00141	-
<i>Vitellogenin [Oratosquilla oratoria]</i>	2.23e -09	2.51e -49	0.000727	ALI 16501.1
<i>Vitellogenin [Portunus trituberculatus]</i>	6.41e -10	2.19e -40	3.45e -08	AAX 94762.1
<i>Vitellogenin [Scylla paramamosain]</i>	7.43e -10	9.60e -37	7.73e -11	ACO 36035.1
<i>Vitellogenin [Callinectes sapidus]</i>	7.36e -11	1.06e -38	9.52e -11	AFI 59132.1
<i>Vitellogenin [Fenneropenaeus chinensis]</i>	1.51e -09	2.84e -39	0.000653	ABC 86571.1
<i>Vitellogenin [Marsupenaeus japonicus]</i>	1.65e -10	8.41e -42	0.00316	BAD 98732.1
<i>Vitellogenin [Palaemon carinicauda]</i>	4.49e -10	9.66e -42	0.00000411	AFM 82474.1
<i>Vitellogenin [Macrobrachium rosenbergii]</i>	1.18e -10	4.23e -47	7.04e -11	BAB 69831.1
<i>Vitellogenin [Pandalus hypsinotus]</i>	4.23e -10	1.38e -51	1.00e -09	BAD 11098.1
<i>Vitellogenin [Pandalopsis japonica]</i>	2.03e -09	9.27e -47	1.66e -10	AHD 26978.1

ฮอร์โมน Estrogen related receptor proteins (ERRs) และ ecdisone receptors ในสัตว์ไม่มีกระดูกสันหลังจัดอยู่ในกลุ่ม nuclear receptor superfamily (He et al., 2010) จากรายงานการวิจัยในสิ่งมีชีวิตกลุ่มนี้มีอยู่ไม่นานกับ sex steroid (estrogens, androgens และ progestins) จะจับกับโปรตีนตัวรับ (sex steroid receptors, receptor-like proteins หรือ membrane receptors) เพื่อกระตุ้นการพัฒนาระบบสืบพันธุ์ในสัตว์ไม่มีกระดูกสันหลัง

จากการวิจัยของ ณัฐนิ จิราวดัน และภูมิ สุขชิตพัฒน์ (2556) ได้ใช้เทคโนโลยีเอ็นจีเอส (Next Generation Sequencing) ในการวินิจฉัยรักษาและวิจัยโรคมะเร็ง ซึ่งในการวิจัยได้ใช้เทคโนโลยีเอ็นจีเอสในการศึกษาลำดับนิวคลีโอไทด์ของยีนตัวรับฮอร์โมน (Hormone receptor gene) ในรังไข่ของกังหันแตenh จุดซึ่งประสบความสำเร็จในงานวิจัยนี้ ซึ่งเอสโตรเจน (estrogen) เป็นฮอร์โมนเพศและเป็นกลุ่มฮอร์โมนสเตียรอยด์ โดยจะทำงานแพร่เข้าสู่เซลล์โดยแพร่ผ่านเยื่อหุ้มเซลล์ จากนั้นมี ตัวรับสัญญาณ สเตียรอยด์ฮอร์โมน มีทั้งในไซโตพลาซึมและในนิวเคลียส ที่ทำให้ฮอร์โมนจับกับตัวรับสัญญาณฮอร์โมน ฮอร์โมนจับกับตัวรับสัญญาณและดีเอ็นเอ กระตุ้นให้ยีนจำเพาะในดีเอ็นเอถอดรหัสสร้างเอ็มอาร์เอ็นเอซึ่ง เอ็มอาร์เอ็นเอ เป็นแม่แบบในการสร้างโปรตีน

Zhang et al. (2012) ได้ศึกษายีนตัวรับฮอร์โมนเอสโตรเจนในหอยเชลล์ *Chlamys farreri* ต่อการแสดงออกในการตอบสนองของต่อมไร้ท่อที่ถูกทำลายด้วยสารเคมี ในกลไกของการส่งสัญญาณฮอร์โมนเพศ (sex steroid) ในมอลลัส โดย full-length cDNA ของ estrogen receptor (ER) จาก *C. farreri* ตำแหน่ง cysteinene ซึ่งเป็นสารตกค้าง และสารตกค้างอื่นๆ ประกอบด้วยลักษณะเด่นของ Zinc สองตัว, P-box และส่วนอนุรักษ์ สายสัมพันธ์ทางวิวัฒนาการแสดงให้เห็นว่า CfER เป็นกลุ่มของสายลำดับเบสจากสิ่งมีชีวิตคนละ

ชนิดที่มีความคล้ายคลึงกัน (ortholog) ของ ERs ในมอลลัสก์นิ่น ๆ ในกระบวนการ Tissue distribution ของ CfER mRNA มีการแสดงออกของ ER mRNA ในเนื้อเยื่อที่แตกต่างกันและสูงสุดในอวัยวะสีบพันธุ์ของเพศผู้ และเพศเมีย ในการศึกษาต่อมไร้ท่อของ *C. farreri* ที่ถูกทำลายด้วยสารเคมีเป็นเวลา 10 วันซึ่งประกอบด้วย Benzo(a)pyrene (B(a)p) และ polybrominated diphenyl ethers (BDE-47) ซึ่ง (B(a)p) ถูกให้ที่ 0.4 และ 2  $\mu\text{g}/\text{L}$  ทำให้เกิดการเพิ่มขึ้นอย่างมีนัยสำคัญในการแสดงออกของ mRNA ของ CfER และ VTG แต่ (B(a)p) ที่ 10  $\mu\text{g}/\text{L}$  ทำให้การแสดงออกของ CfER และ VTG mRNA ลดลงเมื่อเทียบกับตัวควบคุม การเปลี่ยนแปลงที่เพิ่มขึ้นของ CfER และ VTG mRNA transcripts เป็นผลของ BDE-47 ที่ความเข้มข้น 0.1, 1 และ 10  $\mu\text{g}/\text{L}$  จากผลการศึกษาสามารถอธิบายบทหน้าที่ของ CfER ที่เกิดจากสารแบกลาปลอมที่เข้าสู่ร่างกาย (xenobiotics) ใน *C. farreri* ได้และมีประโยชน์ในการตรวจสอบกลไกของการส่งสัญญาณฮอร์โมนเพศในหอยสองฝา ในยีน ER ได้รับการโคลนและประสบความสำเร็จในมอลลัสค์ ได้แก่ ทากเปลือย *Aplysia californica* (Thornton et al., 2003), หอยฝาเดียว *Thais clavigera* (Kajiwara et al., 2006), หอยปากกระจาด *Nucella lapillus* (Castro et al., 2007), หอยสองฝา *M. edulis* (Puinean et al., 2006) และหอยทาก *Marisa cornuarietis* (Bannister et al., 2007)

Yang et al. (2012) ได้ศึกษาลักษณะทางพยาธิสภาพของตัวรับฮอร์โมนเอสโตรเจนอัลfa (ER $\alpha$ ) ในระหว่างการพัฒนา oocytes และ follicle cells ของ *Neomysis japonica* จากการศึกษาพบว่าเอสโตรเจนทำให้เกิดการพัฒนาเซลล์ไปและໄวเทลโลจินินในครัสเตเชียน โดยมีปฏิกิริยาสัมพันธ์กับตัวรับฮอร์โมนเอสโตรเจน (ER) ชนิดย่อย ซึ่งพบ ER $\alpha$  ครั้งแรกใน oocytes และ follicle cells และเซลล์ตับของไมสิส (mysis) โดยใช้ immunohistochemistry ที่จำเพาะเจาะจงของ ER $\alpha$  antibody ซึ่ง ER $\alpha$  จะจำเพาะในนิวเคลียสของ oocytes และ follicle cells และส่วนมากจะพบในนิวเคลียสของ oogonia (OG), previtellogenic oocyte (PR) และ endogenous vitellogenic oocyte (EN) ที่ previtellogenic และ early vitellogenic stage (I-early III) ใน follicle cells ในระยะของรังไข่ (all vitellogenic stage) แสดงให้เห็นถึงปฏิกิริยาเพิ่มขึ้นของ ER $\alpha$  และเคลื่อนย้ายไปยังเซลล์ไข่ในระหว่างการพัฒนาเซลล์ไข่ ER $\alpha$  เป็นตัวบ่งบอกตำแหน่งในนิวเคลียสและใช้โดย พลาซีเมของเซลล์ตับและตับอ่อนทั้ง 4 เซลล์ (E-, R-, F- และ B-cell) ในทุกระยะของรังไข่ การศึกษาในครั้งนี้คิดว่าอาจมีการเชื่อมโยงอย่างใกล้ชิดระหว่าง oogenesis, follicle cell, hepatopencreas cells ในการควบคุมต่อมไร้ท่อ และเอสโตรเจนน่ามีส่วนร่วมในการควบคุมการพัฒนาของไข่ในการพัฒนารังไข่ในช่วงต้นของไมสิส (mysis)

เอสโตรเจนถูกพบในสัตว์ไม่มีกระดูกสันหลังอีน ๆ ได้แก่ หอย *Ilyanassa obsoleta* (Sternberg et al., 2008), หอยนางรม *Crassostrea gigas* (Matsumoto et al., 2007), ปูทะเล *Scylla serrata* (Warrier et al., 2001), กุ้งก้ามgram *Macrobrachium rosenbergii* (Ghosh and Ray, 1993) และหอยแมลงภู่ *Mytilus edulis* (Zhu et al., 2003) จากงานวิจัยของ Nagasawa et al. (2015) ได้ศึกษาลักษณะโมเลกุลของตัวรับฮอร์โมนเอสโตรเจน (estrogen receptor) และตัวรับที่เกี่ยวข้องกับฮอร์โมนเอสโตรเจน (estrogen-related receptor) และความสามารถในการควบคุมของหอยแมลงภู่สองชนิด ซึ่งในการศึกษาในครั้งนี้ประสบความสำเร็จในการโคลนยืนสองรูปแบบใหม่จาก estrogen receptor-like gene ตัวรับฮอร์โมนนี้มีความเกี่ยวข้องอย่างใกล้ชิดกับ *M. edulis* และ *M. galloprovincialis* โดยสายสัมพันธ์ทางวิวัฒนาการแสดงให้เห็นว่าตัวรับฮอร์โมนเหล่านี้เป็น estrogen receptor (ER) และ estrogen-related receptor (ERR) ซึ่งแสดงให้เห็นว่าตัวรับ mRNA ทั้งคู่มีความจำเพาะใน oocytes และ follicle cells ในระหว่างการพัฒนา oocytes ใน ovary และ Sertoli cell ในอวัยวะสีบพันธุ์เพศผู้ (testis) และใน ciliated

cell ของเหงือก นอกจากรีเซปเตอร์ ER อาจจะสามารถควบคุมการแสดงออกใน gonadal cell โดย estrogen (**E<sub>2</sub>**) และยืนนี้ยังตอบสนองต่อสารประกอบ estrogenic ด้วย

#### 4.3.1 การทำงานของโดเมน ZnF\_C4 และโดเมน HOLO

ในการศึกษาถึงตัวรับฮอร์โมน(Hormone receptor gene) พบร่วมกันที่พบส่วนใหญ่คือโดเมน ZnF\_C4 และโดเมน HOLO สเตียรอยด์ หรือตัวรับฮอร์โมนนิวเคลียร์ ประกอบด้วย superfamily ที่สำคัญของการควบคุมการถอดรหัสที่มีส่วนร่วมในการทำงานทางสรีรวิทยาที่มีความหลากหลายอย่างกว้างขวางรวมถึงการควบคุมของการพัฒนาตัวอ่อน การเปลี่ยนแปลงของเซลล์และสภาวะสมดุล การทำงานของตัวรับเช่น การรวมตัวของกันของโมเลกุลคู่ในนิวเคลียสในการควบคุมการถอดรหัสของยีนเป้าหมายในลักษณะ ligand-responsive ตัวรับฮอร์โมนนิวเคลียร์ประกอบด้วย DNA-binding domain ที่เป็นส่วนอนุรักษ์อย่างมากที่เป็นลำดับนิวโටอีดที่เฉพาะเจาะจง มีความสัมพันธ์เกี่ยวข้องโดยตรงกับตำแหน่ง C-terminal ligand-binding domain นอกจากนี้ตัวรับฮอร์โมนนิวเคลียร์บางตัวมี N-terminal modulatory domain

#### 4.3.2 การทำงานของโดเมน ZnF\_C4

DNA-binding domain สามารถทึบกระดับน้ำหนักหรือระงับผล โดยมีการผูกพันที่เฉพาะเจาะจงของตีอีน เอที่เป็นองค์ประกอบของฮอร์โมนในการตอบสนอง (Moehren et. Al., 2004), (Claessens and Gewirth, 2004) องค์ประกอบเหล่านี้ตอบสนองตำแหน่งตัวรับและได้คัดเลือก complexes ใกล้กับยีนที่ถอดรหัสได้รับผลกระทบ DNA-binding domain ของตัวรับฮอร์โมนนิวเคลียร์ประกอบด้วยโมดูล zinc-nucleated 2 ตัว และ C-terminal extension ในโมดูล zinc ตัวแรกจะเป็นตัวกำหนดที่จำเพาะของตีอีนเอและในโมดูล zinc ตัวที่สองมีส่วนร่วมใน dimerization DNA-binding domain ที่มีส่วนเกี่ยวข้องในฟังก์ชันอื่น ๆ นอกจากนี้รวมทั้งการเปลี่ยนแปลงนิวเคลียร์และปฏิกิริยา กับปัจจัยการถอดรหัสและการการกระตุ้นร่วมกัน (Claessens and Gewirth, 2004)

#### 4.3.3 การทำงานของโดเมน HOLO

Ligand-binding domain ทำหน้าที่ในการตอบสนองต่อ ligand binding ซึ่งก่อให้เกิดการเปลี่ยนแปลงในโครงสร้างตัวรับเพื่อก่อให้เกิดการตอบสนองซึ่งทำหน้าที่เป็นสวิทซ์ระดับโมเลกุลเพื่อเปิดกิจกรรมการถอดรหัส (Edwards, 2000) ตัวอย่างเช่น หลังจากที่มีการ binding ของตัวรับ glucocorticoid ไปยัง corticosteroid ligand, ตัวรับจะถูกเหนี่ยวนำให้เกิดการปฏิบัติหน้าที่สร้าง nuclear translocation, oligomerisation, cofactor/kinase/transcription factor association และ DNA binding (Bledsoe et. Al., 2004) ligand-binding domain เป็นหน่วยที่มีความยืดหยุ่นเกิดจากการจับของ ligand ทำให้เกิดโครงสร้าง ซึ่งในทางกลับกัน coactivator binding จะเปลี่ยนให้ตัวรับทำงาน (Tamrazi, 2005) ซึ่ง coactivator สามารถผูกกับ activator function 2 (AF2) ที่ปลาย C-terminal และ ligand-binding domain (Kong et al., 2005) การจับกันของ ligands ที่แตกต่างกันสามารถปรับเปลี่ยนโครงสร้างของ ligand-binding domain ซึ่งในที่สุดจะส่งผลกระทบต่อความจำเพาะต่อ DNA binding ของ DNA binding domain

#### 4. 4 สรุปผลการวิจัย

จากการศึกษารูปแบบการแสดงออกของยีนโดยใช้เทคโนโลยี NGS และเทคโนโลยีชีวสารสนเทศในการศึกษา โดยสามารถใช้ R studio ในการวิเคราะห์รูปแบบการแสดงออกที่แตกต่างของ transcripts จาก 28,323 transcripts เป็น 214 transcripts แบ่งเป็น 4 กลุ่ม และพัฒนา Graphic User Interface (GUI) ใน การช่วยให้สามารถเลือก transcripts ในแต่ละกลุ่มจากข้อมูล transcripts ทั้งหมด 93,344 sequences และ สามารถนำไปวิเคราะห์หน้าที่ของยีนในกลุ่มที่ 1/1 ทั้งหมด 18 transcripts blastx ได้ทั้งหมด 9 transcripts สามารถระบุหน้าที่ได้ 5 transcripts ในกลุ่มที่ 1/2 ทั้งหมด 34 transcripts blastx ได้ทั้งหมด 9 transcripts สามารถระบุหน้าที่ได้ 8 transcripts สามารถระบุ pathway ได้ 2 pathway ในกลุ่มที่ 2/1 ทั้งหมด 135 transcripts blastx ได้ทั้งหมด 34 transcripts สามารถระบุหน้าที่ได้ 13 transcripts สามารถระบุ pathway ได้ 2 pathway ในกลุ่มที่ 1/2 ทั้งหมด 32 transcripts blastx ได้ทั้งหมด 16 transcripts สามารถระบุหน้าที่ได้ 8 transcripts โดยยืนที่พนันมีความเกี่ยวข้องกับระบบภูมิคุ้มกัน, metabolism process, กระบวนการหายใจระดับเซลล์ และ กลไกการควบคุมการแสดงออกของยีนอื่นๆ ซึ่งตอบสนองต่อ ภาวะการติดเชื้อ *Vibrio parahemolyticus* และสามารถนำข้อมูลที่ได้จากการศึกษานี้เป็นข้อมูลพื้นฐานในการศึกษาด้าน genomic ในกังตึกแตนทางจุดในอนาคต

ตารางที่ 4-8 สรุปจำนวน transcripts ภายหลังจากการดำเนินการในแต่ละขั้นตอน

Clusters	Total (transcripts)	Blast x (transcripts)	Unknown / De novo (transcripts)	Annotated (transcripts)	Pathway (transcripts)
Cluster 1/1	18	9	4	5	-
Cluster 1/2	34	9	1	8	2
Cluster 2/1	135	34	21	13	2
Cluster 2/2	32	16	8	8	-
Total	219	68	34	34	4

จากการหาลำดับนิวคลีโอไทด์เต็มยืนของยีนที่เกี่ยวข้องกับการพัฒนารังไข่โดยใช้เทคโนโลยี NGS พบยีนไว้เลโลเจนินมีขนาดลำดับนิวคลีโอไทด์ 7,455 คู่เบส แปรรหัสเป็นกรดอะมิโนได้ 2,485 กรดอะมิโน มีด้านของ 5'UTR 24 คู่เบส และ 3'UTR 128 คู่เบส โดยพบตำแหน่ง cysteine (c) ทั้งหมด 12 ตำแหน่ง เมื่อศึกษาความสัมพันธ์เชิงวิัฒนาการของลำดับกรดอะมิโนของยีน ไว้เลโลเจนินในรังไข่ของกั้งตักแตนหางจุดพบว่ามีความสัมพันธ์กับ *Oratosquilla oratoria* มากที่สุดที่ 100% โดยมีระยะห่างความสัมพันธ์ของกลุ่มกั้งตักแตนเป็น 0.62 เมื่อเปรียบเทียบความสัมพันธ์ในกลุ่มคราชเตเชียน โดยมีปลาแม่น้ำลาย (*Danio rerio*) เป็นตัวเปรียบเทียบความสัมพันธ์ของสัตว์กลุ่มนี้นอกเหนือจากกลุ่มคราชเตเชียน

พบลำดับนิวคลีโอไทด์ทั้งหมดของยีนตัวรับฮอร์โมนเอสโตรเจน (NGS: 6598) ในกั้งตักแตนหางจุดจำนวน 2,715 bp และมีลำดับกรดอะมิโน 905 ตัว มีส่วนที่เป็น Open reading frame มีลำดับนิวคลีโอไทด์ 1,386 คู่เบส และมีลำดับกรดอะมิโน 462 ตัว โดยยืนตัวรับฮอร์โมนเอสโตรเจนพบโดยmen ZnF\_C4 มีค่า E-value เท่ากับ 1.51e-39 และโดยmen HOLI มีค่า E-value เท่ากับ 1.2e-24 โดยมีความคล้ายกับยีน Estrogen-related receptor ในปูขาว *Scylla paramamosain* มากที่สุด มีค่า E-value เท่ากับ 0.0 และมีค่า Identities เท่ากับ 76% เมื่อศึกษาความสัมพันธ์เชิงวิัฒนาการของลำดับกรดอะมิโนของยีนตัวรับฮอร์โมนเอสโตรเจนในกั้งตักแตนหางจุด พบว่ามีความสัมพันธ์กับปูม้า *Portunus trituberculatus* และปูขาว *Scylla paramamosain* มากที่สุดที่ 100%

พบลำดับนิวคลีโอไทด์ทั้งหมดของยีน hepatocyte nuclear factor 4-alpha-like (NGS: 20511) ในรังไข่ของกั้งตักแตนหางจุดจำนวน 2,039 bp และมีลำดับกรดอะมิโน 697 ตัว มีส่วนที่เป็น Open reading frame มีลำดับนิวคลีโอไทด์ 1,428 คู่เบส และมีลำดับกรดอะมิโน 476 ตัว โดยยืน hepatocyte nuclear factor 4-alpha-like พบโดยmen ZnF\_C4 มีค่า E-value เท่ากับ 3.93e-38 และ โดยmen HOLI มีค่า E-value เท่ากับ 7.18e-46 โดยมีความคล้ายกับยีน PREDICTED: hepatocyte nuclear factor 4-alpha-like ในหนอน *Saccoglossus kowalevskii* มากที่สุด มีค่า E value เท่ากับ 1e-157 และมีค่า Identities เท่ากับ 72% เมื่อศึกษาความสัมพันธ์เชิงวิัฒนาการของลำดับกรดอะมิโนของยีน hepatocyte nuclear factor 4-alpha-like ในกั้งตักแตนหางจุด พบว่ามีความสัมพันธ์กับหนอน *Saccoglossus kowalevskii* และหอยนางรม *Crassostrea gigas* มากที่สุดที่ 96 %

พบลำดับนิวคลีโอไทด์ทั้งหมดของ putative nuclear hormone receptor HR38 (NGS: 56829) ในรังไข่ของกั้งตักแตนหางจุดจำนวน 2,351 bp และมีลำดับกรดอะมิโน 783 ตัว มีส่วนที่เป็น Open reading frame มีลำดับนิวคลีโอไทด์ 2,256 คู่เบส และมีลำดับกรดอะมิโน 752 ตัว โดยยืน putative nuclear hormone receptor HR38 พบโดยmen ZnF\_C4 มีค่า E-value เท่ากับ 4.57e-39 และโดยmen HOLI มีค่า E-value เท่ากับ 3.04e-26 โดยมีความคล้ายกับยีน putative nuclear hormone receptor HR38 ในปลากะ *Zootermopsis nevadensis* มากที่สุด มีค่า E-value เท่ากับ 4e-167 และมีค่า Identities เท่ากับ 81% เมื่อศึกษาความสัมพันธ์เชิงวิัฒนาการของลำดับกรดอะมิโนของยีน putative nuclear

hormone receptor HR38 ในกั้งตื้กแต่นหางจุด พบร่วมมีความสัมพันธ์กับมดกระโดดอินเดีย *Harpegnathos saltator* และตัวต่อไม้กาฝาก *Orussus abietinus* หากที่สุดที่ 100%

พบลำดับนิวคลีโอไทด์บางส่วนของยีน retinoid-X receptor 2 (NGS: 21609) ในรังไข่ของกั้งตื้กแต่นหางจุดจำนวน 1,169 bp และมีลำดับกรดอะมิโน 389 ตัว โดยยีน retinoid-X receptor 2 พบโดยเมน ZnF\_C4 มีค่า E-value เท่ากับ 1.19e-37 และโดยเมน H0L1 มีค่า E-value เท่ากับ 2.07e-28 โดยมีความคล้ายกับยีน retinoid-X receptor 2 ในปูม้า *Portunus trituberculatus* หากที่สุด มีค่า E value เท่ากับ 4e-155 และมีค่า Identities เท่ากับ 72% เมื่อศึกษาความสัมพันธ์เชิงวิถุตนาการของลำดับกรดอะมิโนของยีน retinoid-X receptor 2 ในกั้งตื้กแต่นหางจุด พบร่วมมีความสัมพันธ์กับกุ้งขาว *Litopenaeus vannamei* และกุ้งแซบบี้ *Fenneropenaeus chinensis* หากที่สุดที่ 100 %

พบลำดับนิวคลีโอไทด์บางส่วนของยีน ecdysone receptor (NGS: 38631) ในรังไข่ของกั้งตื้กแต่นหางจุดจำนวน 724 bp และมีลำดับกรดอะมิโน 241 ตัว โดยยีน ecdysone receptor มีพบโดยเมน ZnF\_C4 มีค่า E-value เท่ากับ 1.31e-39 และโดยเมน Pfam:Hormone\_recep มีค่า E-value เท่ากับ 0.000003 โดยมีความคล้ายกับยีน ecdysone receptor ในกุ้งก้ามกราม *Macrobrachium rosenbergii* หากที่สุด มีค่า E-value เท่ากับ 2e-117 และมีค่า Identities เท่ากับ 71% เมื่อศึกษาความสัมพันธ์เชิงวิถุตนาการของลำดับกรดอะมิโนของยีน ecdysone receptor ในกั้งตื้กแต่นหางจุด พบร่วมมีความสัมพันธ์กับปู *Callinectes sapidus*, ปูม้า *Portunus trituberculatus* และปูก้ามดาบ *Uca pugilator* หากที่สุดที่ 100%

พบลำดับนิวคลีโอไทด์บางส่วนของยีน nuclear receptor subfamily 2 group F member 1-A-like (NGS: 47812) ในรังไข่ของกั้งตื้กแต่นหางจุดจำนวน 363 bp และมีลำดับกรดอะมิโน 121 ตัว โดยยีน nuclear receptor subfamily 2 group F member 1-A-like พบโดยเมน ZnF\_C4 มีค่า E-value เท่ากับ 8.14e-36 โดยมีความคล้ายกับยีน PREDICTED: nuclear receptor superfamily 2 group F member 1-A-like ในแมลงแอตแลนติก *Limulus polyphemus* หากที่สุด มีค่า E-value เท่ากับ 5e-62 และมีค่า Identities เท่ากับ 84% เมื่อศึกษาความสัมพันธ์เชิงวิถุตนาการของลำดับกรดอะมิโนของยีน nuclear receptor subfamily 2 group F member 1-A-like ในกั้งตื้กแต่นหางจุด พบร่วมมีความสัมพันธ์กับแมงดาแอตแลนติก *Limulus polyphemus* หากที่สุด 96%

## บทที่ 5

### ผลผลิต

#### 5.1 ผลกระทบด้านต่างๆ

##### 5.1.1 ผลกระทบเชิงเศรษฐศาสตร์/ พาณิชย์

ในสภาวะปัจจุบันมีความนิยมในการบริโภคกั้งตื้กแต่นเป็นอาหาร โดยกั้งตื้กแต่นทางจุด (*Harpisquilla raphidea*) นับเป็นกั้งตื้กแต่นเศรษฐกิจชนิดหนึ่งที่กำลังได้รับความนิยมในการบริโภคเพิ่มมากขึ้น แต่การเพาะเลี้ยงกั้งตื้กแต่นยังไม่ประสบความสำเร็จในเชิงพาณิชย์ เนื่องจากการขาดความเข้าใจในชีววิทยาของกั้งตื้กแต่นทั้งในส่วนของการต้านทานโรคและการสืบพันธุ์ ดังนั้นการทราบถึงลำดับของยีนที่เกี่ยวข้องเป็นปัจจัยหนึ่งที่ทำให้การเข้าใจชีววิทยาของกั้งตื้กแต่นมีเพิ่มมากขึ้น งานวิจัยนี้มีจุดมุ่งหมายเพื่อศึกษาลำดับนิวคลีโอไทด์ของยีนในกระบวนการที่เกี่ยวข้องกับการตอบสนองต่อเชื้อและการพัฒนารังไข่ของกั้งตื้กแต่นทางจุด ซึ่งยังไม่มีรายงานมาก่อน

##### 5.1.2 ผลกระทบเชิงสังคม/ สิ่งแวดล้อม

ข้อมูลที่ได้จากการศึกษานี้เป็นประโยชน์ต่อการพัฒนาการเลี้ยงกั้งตื้กแต่นทางจุดในเชิงพาณิชย์ รวมถึงการอนุรักษ์ประชากรกั้งตื้กแต่นในธรรมชาติในอนาคต

##### 5.1.3 ผลกระทบเชิงวิชาการ/ วิทยาศาสตร์

- มีความรู้ความเข้าใจเกี่ยวกับ transcriptome profiles, ยีน, โปรตีน ที่พบในกั้งตื้กแต่นทางจุดเพิ่มมากขึ้น
  - สามารถระบุถึงยีนที่มีความสำคัญต่อระบบภูมิคุ้มกันของกั้งตื้กแต่นทางจุด
  - สามารถจำแนกยีนที่มีการแสดงออกต่างกันในรังไข่และเลือดของกั้งตื้กแต่นทางจุดได้

#### 5.2 การนำเสนอผลงานและตีพิมพ์ผลงานในวารสาร

นำเสนอผลงาน ใน การประชุมวิชาการ The 29<sup>th</sup> Annual Meeting of the Thai Society for Biotechnology and International Conference ในวันที่ 23 – 25 พฤศจิกายน 2560 ณ กรุงเทพฯ ประเทศไทย.

ตีพิมพ์ผลงานใน Sodsee, N., Wongphayak, S., Kondo, H., Hirono, I., and Hiransuchalert, R. (2018). A preliminary study on differential gene expression in hemocyte of the mantis shrimp *Harpisquilla raphidea* by next generation sequencing technique. The Journal of Applied Science. 17(Special issue): 27-36.



**The Journal of Applied Science**  
วารสารวิทยาศาสตร์ประยุกต์  
ISSN 1513-7805 (Printed in Thailand)

**Vol. 17 Special issue: 27-36 [2018]**  
doi: 10.14416/j.appsci.2018.02.S04  
ISSN 2586-9663 (Online)

## Research Article

# A preliminary study on differential gene expression in hemocyte of the mantis shrimp *Harpiosquilla raphidea* by next generation sequencing technique

**Naiyasit Sodsee<sup>1</sup>, Sarawut Wongphayak<sup>2</sup>, Hidehiro Kondo<sup>3</sup>, Ikuo Hirono<sup>3</sup> and Rachanimuk Hiransuchalert<sup>1\*</sup>**

<sup>1</sup>Faculty of Marine Technology, Burapha University, Chanthaburi Campus, Chanthaburi 22170, Thailand

<sup>2</sup>Vishuo Biomedical (Thailand) Ltd. 17th Floor Alma Link Building, Bangkok 10330 Thailand

<sup>3</sup>Laboratory of Genome Science, Tokyo University of Marine Science and Technology, Tokyo, Japan

\*E-mail: rachanimuk@buu.ac.th

### Abstract

This study aims to determine gene expression profiling in hemocyte of *Harpiosquilla raphidea* by using bioinformatics technology and Next Generation Sequencing (NGS) technique. The *De novo* RNA-sequencing was performed using Illumina HiSeq2000. In total, 93,344 assembly consensus sequences were identified by using Trinity software. These 93,344 transcripts were estimated the expression level of each transcript in the hemocyte of *H. raphidea* (both infected by *Vibrio parahemolyticus* for 24 hours and normal condition) in terms of FPKM (Frackets Per Kilobase of target transcript length per Million reads mapped). The 219 differential expression of transcripts were classified into 4 clusters, i.e., down regulated expression levels (cluster 1/1 and 2/1) and up regulated expression levels (cluster 1/2 and 2/2). Clusters were further functional and annotation analyzed by using Blast2GO software. The important genes that relevant in the immune system of *H. raphidea* were found this study. These included histone H1-delta-like, Cyclooxygenases, 5-aminolevulinate erythroid-mitochondrial, electron transfer flavo-ubiquinone mitochondrial and CCR4-NOT transcription complex subunit 7isoform X1 gene. The basic information related to these immune genes in *H. raphidea* was investigated in this study and will be the guidance for further studies on the important process in the immune system of *H. raphidea* and for its commercial culture in the future.

**Keywords:** *Harpiosquilla raphidea*, NGS, RNA-seq, *de novo*, transcriptome assembly

### Introduction

Recently, mantis shrimps are popular for food consumption especially in Asia. *Harpiosquilla raphidea* is one of the commercial mantis shrimp species. *H. raphidea* become more desirable food for customers (Tangkrock-olan & Ruksar, 2012), however, most of *H. raphidea* is not come from aquaculture. These affect natural populations of *H. raphidea* because of the over fishing and ore potential fishing gear were used.

## บรรณานุกรม

- กุลชนา เกศสุวรรณ์. (2557). การวิเคราะห์ข้อมูลการถอดรหัส ที่ส่งผลต่อการแสดงออกของยีนที่แตกต่างกันในช่องอกจากจีโนม ข้าวหลุกผสมและพันธุ์พ่อแม่. สัมมนาวิชาการกลุ่มศูนย์วิจัยข้าวภาคเหนือตอนบนและภาคเหนือตอนล่าง ประจำปี 2557. 68-82.
- กรมประมง. 2551. สถิติการประมงแห่งประเทศไทย พ.ศ. 2556. เอกสารฉบับที่ 7/2558. ศูนย์เทคโนโลยีสารสนเทศและการสื่อสาร. กรมประมง, กระทรวงเกษตรและสหกรณ์. 87 หน้า.
- กิตติพัฒน์ อุ่นไชกิจ, มาริสา รักสุขสมบัติ และสุภาพรน ขันโน. (2558). เทคโนโลยีการวิเคราะห์ลำดับเบส ยุคที่สองและสาม. วารสารวิทยาศาสตร์และเทคโนโลยี. 23, 633-650.
- บังอร ศรีมุกด้า และสรณ์ณัฐ์ จำปาครี. (2537). การศึกษาเบื้องต้นเกี่ยวกับการเพาะและอนุบาลกั้งตีกแต่น *Harpisquilla raphidea* (Fabricius, 1798). ในเอกสารวิชาการ 12/2537, ศูนย์พัฒนาการเพาะเลี้ยงสัตว์น้ำชายฝั่งจันทบุรี. 453-459. กรุงเทพฯ: กรมประมง.
- ณัฐนิจ จินวัฒน์ และภูมิ สุธิพัฒน์. (2556). การใช้เทคโนโลยี Next Generation Sequencing ในการวินิจฉัยรักษาและวิจัยโรคมะเร็ง. *Thai Journal of Genetics*, 1, 62-65.
- ณัฐราภรณ์ ขวัญเมือง. (2555). การจำแนกลำดับนิวคลีโอไทด์ของยีนตัวรับชอร์โมนเอสโตรเจนและการแสดงออกของยีนไว้เทลโลเจนินในรังไข่ของกุ้งกุลาดำ (*Penaeus monodon*). ปัญหาพิเศษปริญญาวิทยาศาสตรบัณฑิต, สาขาเทคโนโลยีทางทะเล, บัณฑิตวิทยาลัย, มหาวิทยาลัยปูรพา.
- นงนุช ตั้งเกริกโภชา. (2550). ชีววิทยาของครัสเตเชียน. กรุงเทพฯ: โรงพิมพ์แห่งจุฬาลงกรณ์มหาวิทยาลัย.
- นงนุช ตั้งเกริกโภชา และพิชญาณันท์ รักษา. (2555). ผลของความเค็มต่อค่าօโซไมลาลิติข้องเลือดกั้งตีกแต่น *Miyakea nepa*. วารสารวิทยาศาสตร์ปูรพา. 17. 50-58.
- บพิช จากรุพันธุ์ และนันทพร จากรุพันธุ์. (2546). สัตว์ไม่มีกระดูกสันหลัง // แอนเนลิดาถึงโพโรโคร์ดาทา. กรุงเทพฯ: มหาวิทยาลัยเกษตรศาสตร์.
- บังอร ศรีมุกด้า และสรณ์ณัฐ์ จำปาครี. (2537). การศึกษาเบื้องต้นเกี่ยวกับการเพาะและอนุบาลกั้งตีกแต่น *Harpisquilla raphidea* (Fabricius, 1798). ในเอกสารวิชาการ 12/2537, ศูนย์พัฒนาการเพาะเลี้ยงสัตว์น้ำชายฝั่งจันทบุรี. 453-459. กรุงเทพฯ: กรมประมง.
- ปราณี อ่อนแก้ว., วีระ เจริญพัทตร์., ศราวุธ สังข์แก้ว., และอดิเทพ บุญเจริญ (2558). การอนุบาลกั้งตีกแต่นทางจุด *Harpisquilla raphidea* (Fabricius, 1798). กรุงเทพฯ: สำนักงานกองทุนสนับสนุนการวิจัย.
- พวงาน ลีมตระกูล. (2545). ชีวเคมีของกรดนิวคลีอิกและโปรตีน. กรุงเทพฯ: โรงพิมพ์แห่งจุฬาลงกรณ์มหาวิทยาลัย.
- พริมา พิริยากร. (2549). การโคลนและศึกษาสมบัติของ cDNA ของไวเทลลินในกุ้งแซบบี้วิทยานิพนธ์ปริญญาวิทยาศาสตรบัณฑิต, สาขาชีวเคมี, บัณฑิตวิทยาลัย, มหาวิทยาลัยสงขลานครินทร์.
- รชนิมุข หริรัญสัจจาเดช. (2556). ไวเทลโลเจนีส: กระบวนการสร้างไข่แดงของกุ้งกุลาดำ (*Penaeus monodon*). แก่นเกษตร, 41(2), 281-297.
- วีรภัทร บุกบุญ. (2554). การศึกษาชีววิทยาบางประการของกั้งตีกแต่นสามແղ (Oratosquilla nepa) บริเวณท่าเทียบเรือประมงเกาะแรมสิงห์ จังหวัดจันทบุรี. ปัญหาพิเศษปริญญาวิทยาศาสตรบัณฑิต, สาขาเทคโนโลยีทางทะเล, บัณฑิตวิทยาลัย, มหาวิทยาลัยปูรพา.
- ศิริลักษณ์ เอี่ยมธรรม. (2552). พันธุวิศวกรรม: วิธีการและการประยุกต์ใช้. กรุงเทพฯ: โรงพิมพ์แห่งจุฬาลงกรณ์มหาวิทยาลัย.
- สมาคมพันธุศาสตรแห่งประเทศไทย และสถาบันส่งเสริมการสอนวิทยาศาสตร์และเทคโนโลยี. (2548). สาระน่ารู้อัญพันธุศาสตร์ = *Essential molecular genetics*. (พิมพ์ครั้งที่ 1). กรุงเทพฯ: เท็กซ์แอนด์เจอร์นัล.
- สาธิต โภวิทวี. (2537). การศึกษาอนุกรมวิธานของกั้งตีกแต่น บริเวณชายฝั่งทะเลภาคตะวันออก. กรุงเทพฯ: มหาวิทยาลัยเกษตรศาสตร์.
- สำนักบริการคอมพิวเตอร์. (2550). กั้งตีกแต่น. วันที่ค้นข้อมูล 18 เมษายน 2558. เข้าถึงได้จาก <http://www.ku.ac.th/e-magazine/jan50/agri/lobster.htm>

- ศิรินันท์ ชำนาญชล. (2555). การจำแนกชนิด และสกุลของสาหร่ายสีเขียวแกมน้ำเงินน้ำเงินโดยใช้ลำดับนิวคลีโอไทด์ของยีนไฟโโคไซดานินและส่วนของ *International Transcribed Spacer (ITS)*. ปัญหาพิเศษปริญญาวิทยาศาสตรบัณฑิต, สาขาวิทยาโนโลห์ทางทะเล, บัณฑิตวิทยาลัย, มหาวิทยาลัยบูรพา.
- สุพัฒน์ กำลังเกื้อ ปราณี อ่อนแก้ว และอดิเทพ บุญเจริญ. (2555). การอนุบาลกั้งตักแต่นหางจุด *Harpitosquilla raphidea* (Farbricius, 1798) โดยใช้วิธีการต่างกัน. ในเอกสารวิชาการ 38/2555. คุณวิจัยและพัฒนาประมงชายฝั่งสงขลา, 1-26.
- กรุงเทพฯ: กรมประมง.
- สรินทร์ ปิยะโชคณาภุล. (2543). พันธุวิเคราะห์เบื้องต้น. (พิมพ์ครั้งที่ 1). กรุงเทพฯ: ภาควิชาพันธุศาสตร์ คณะวิทยาศาสตร์ มหาวิทยาลัยเกษตรศาสตร์.
- อดิสรณ์ มานต์วิเศษ. (2541). การพัฒนาของกั้งตักแต่น *Oratosquilla nepa* (Latreille, 1825) วัยอ่อนจากไข่ของแม่พันธุ์ที่กระตุ้นการวางไข่โดยวิธีทำลายก้านตา. วิทยานิพนธ์ปริญญาวิทยาศาสตรบัณฑิต, สาขาวิชาวิทยา, บัณฑิตวิทยาลัย, มหาวิทยาลัยเกษตรศาสตร์.
- อติชา วิลัnn โorth ประดิษฐ์ทรัพย์ วรรณวิสาห์ เจริญนิม ศุภศักดิ์ กุลงค์คำนันชัย อนันต์ชัย อัศวเมธิน และศิษย์ภูศ ทองสินما. (2554). เทคโนโลยีเอ็นจีเอสและการประยุกต์ในงานวิจัยโมมิกส์. วารสารวิทยาศาสตร์. สมาคมพันธุศาสตร์แห่งประเทศไทย, 104-129.
- วีรวัท บุกบุญ. (2554). การศึกษาชีววิทยาบางประการของกั้งตักแต่นสามแยก (*Oratosquilla nepa*) บริเวณท่าเที่ยวเรือประมงเกาะแสลง อำเภอแหลมสิงห์ จังหวัดจันทบุรี. ปัญหาพิเศษปริญญาวิทยาศาสตรบัณฑิต, สาขาวิทยาโนโลห์ทางทะเล, บัณฑิตวิทยาลัย, มหาวิทยาลัยบูรพา.
- สมมิตร อุ่วรรณ์. 2522. การศึกษาชีววิทยาของกั้งตักแต่น 3 ชนิดในอ่าวไทย. รายงานวิชาการฉบับที่ 18/2522. งานสัตว์น้ำอื่นๆ กองประมงทะเล. 36 หน้า
- สาธิ โกวิทวี และ นฤมล เดชะประเสริฐ. (2538). การเบรียบเทียบวิธีการทำลายก้านตาเพื่อเร่งการวางไข่ของกั้งตักแต่น *Oratosquilla nepa* (Latreille, 1825). กรุงเทพฯ: มหาวิทยาลัยเกษตรศาสตร์. กระทรวงเกษตรและสหกรณ์.
- กระทรวงวิทยาศาสตร์ เทคโนโลยีและสิ่งแวดล้อม. บทบัญญัติ.
- สายลม เกิดประเสริฐ, ภิญญ์โภ พานิชพันธุ์, พินทิพ รื่นวงศ์, และ เจริญศรี ธนบุญสมบัติ. (2558). สำรวจโรคออร์มีน. วันที่ ค้นข้อมูล 1 พฤษภาคม 2558 เข้าถึงได้จาก <http://www.il.mahidol.ac.th/e-media/hormone/chapter1/chapter1.7.htm>
- หทัยา การวีวงศ์. (2549). อนุพันธุศาสตร์ (Molecular genetics) (พิมพ์ครั้งที่ 2). เชียงใหม่ : บุญไชยการพิมพ์.
- Anderson, M.W. and Schrijver, I. (2010). Next generation DNA sequencing and the future of Genomic Medicine. *Genes*. 1, 38–69.
- Ansorge, W.J. (2009). Next-generation DNA sequencing techniques. *Nat Biotechnol.* 25, 195–203
- Avarre, J.C., Michelis, R., Tietz, A. and Lubzens, E. (2003). Relationship between vitellogenin and vitellin in a marine shrimp (*Penaeus semisulcatus*) and molecular characterization of vitellogenin complimentary DNAs. *Biology of Reproduction*, 69, 355– 364.
- Diwan, A.D., Joseph, S. and Ayyappan, S. (2009). Physiology of reproduction, breeding and culture of tiger shrimp *Penaeus monodon* (Fabricius). *Narendra Publishing House*. 1, 1-292 .
- El-Sherif, S.S., El-Khodary, M.G. and Ghonim, A. (2012). Ovarian cycle and scanning electron micrographs of the spawned egg of female mantis shrimp *Oratosquilla massavensis* (Alexandria, Egypt). *Basic and Applied Zoology*, 65, 116-124.
- He, H., Xi, G., and Lu, X . (2010). Molecular cloning characterization and expression analysis of an estrogen receptor-related homologue in the cricket *Teleogryllus emma*. *Journal of Insect Science*. 10(188): 1-16.
- Khayat, M., Babin, P.J., Funkenstein, B., Sammar, M., Nagasawa, H., Tietz, A. and Lubzens, E. (2001). Molecular characterization and high expression during oocyte development of a shrimp ovarian

- cortical rod protein homologous to insect intestinal peritrophins. *Biology of Reproduction*. 64, 1090–1099.
- Sambrook, J. and Russell D.W. (2006). *Fragmentation of DNA by Nebulization*. Cold Spring Harb Protoc. New York: USA.
- Sambrook, J. and Russell, D. W. (2001). *Molecular Cloning: A Laboratory Manual* Cold Spring Harbor Laboratory Press (3rd ed.). New York: USA.
- Santos, C.S. and Negreiros-Fransozo, M.L. (1999). Reproductive cycle of the swimming crab *Portunus spinimanus* Latreille (Crustacea, Oecapoda, Brachyura) from Ubatuba, São Paulo, Brazil. *Interciencia Series Zoologia*. 22(5): 259-263.
- Son, M.S., Taylor, R.K. (2011). Preparing DNA libraries for multiplexed paired-end deep sequencing for illumina GA sequencers. *Curr Protoc Microbiol*. 20, 1E.4.1–1E.4.13
- Tiu, S.H.K., Benzie, J. and Chan, S.-M. (2008). From hepatopancreas to ovary: molecular characterization of a shrimp vitellogenin receptor involved in the processing of vitellogenin. *Biology of Reproduction*. 79(1), 66-74.
- Tiu, S.H.K., Hui, J. H., Mak, A.S., He, J.G. and Chan, S.M. (2006). Equal contribution of hepatopancreas and ovary to the production of vitellogenin (PmVg1) transcripts in the tiger shrimp, *Penaeus monodon*. *Aquaculture*. 254, 666–674.
- Treerattrakool, S., Panyim, S., Chan, S.M., Withyachumnarnkul, B. and Udomkit, A. (2008). Molecular characterization of gonad inhibiting hormone of *Penaeus monodon* and elucidation of its inhibitory role in vitellogenin expression by RNA interference. *FEBS Journal*. 275, 970–980.
- Tseng, D. Y., Chen, Y. N., Kou, G. H., Lo, C. F. and Kuo, C. M. (2001). Hepatopancreas is the extraovarian site of vitellogenin synthesis in black tiger shrimp, *Penaeus monodon*. *Comp. biochem physiology*. 129, 909-917.
- Tsutsui, N., Kawazoe, I., Ohira, T., Jasmani, S., Yang, W.J., Wilder, M.N. and Aida, K. (2000). Molecular characterization of a cDNA encoding vitellogenin and its expression in the hepatopancreas and ovary during vitellogenesis in the Kuruma Prawn, *Penaeus japonicus*. *Zoological science*, 17, 651–660.
- Wilder, M. N., Okumura, T. and Tsutsui, N. (2010). Reproductive mechanisms in Crustacea focusing on selected prawn species: Vitellogenin structure, processing and synthetic control. *Aqua-BioScience Monographs*. 3, 73-110.
- Adiyodi, K.G., and Adiyodi, R.G.. (1970). Endocrine control of reproduction in decapod Crustacean. *Biol. Rev.* 45: 121-165.
- Anderson, M.W., and Schrijver, I. (2010). Next generation DNA sequencing and the future of Genomic Medicine. *Genes*. 1, 38–69.
- Ansorge, W.J. (2009). Next-generation DNA sequencing techniques. *Nat Biotechnol*. 25, 195–203.
- Bannister, R., Beresford, N., May, D., Routledge, E.J., Jobling, S., and Weaver, M.R., 2007. Novel estrogen receptor-related transcripts in Marisa cornuarietis; a freshwater snail with reported sensitivity to estrogenic chemicals. *Environ. Sci. Technol*. 41, 2643–2650
- Bledsoe, RK., Stewart, EL., and Pearce, KH.( 2004). Structure and function of the glucocorticoid receptor ligand binding domain. *Vitam Horm*. 68:49-91.
- Castro, L.F.C., Melo, C., Guillot, R., Mendes, I., Queiros, S., Lima, D., Reis-Henriques, M.A., and Santos, M.M., 2007. The estrogen receptor of the gastropod *Nucella lapillus*: modulation following exposure to an estrogenic effluent?. *Aquat. Toxicol*. 84, 465–468
- Claessens, F., and Gewirth, DT. (2004). DNA recognition by nuclear receptors. *Essays Biochem*. 40:59-72.

- Edwards , DP. (2000). The role of coactivators and corepressors in the biology and mechanism of action of steroid hormone receptors. *J Mammary Gland Biol Neoplasia.* Jul;5(3):307-24.
- Endocrinol. 151, 195–201. Ghosh, D., and Ray, A.K. (1993). 17 $\beta$ -Hydroxysteroid dehydrogenase activity of ovary and hepatopancreas of fresh water prawn, Macrobrachium rosenbergii, relation to ovarian condition and estrogen treatment. *Gen. Comp. Endocrinol.* 89: 248–254.
- He, H., Xi, G., and Lu, X. (2010). Molecular cloning characterization and analysis of an estrogen receptor-related homologue in the cricket *Teleogryllus emma*. *Journal of Insect Science.* 10(188): 1-16.
- Keay, J., Bridgham, J.T., and Thornton J.W. (2006). The *Octopus vulgaris* Estrogen Receptor Is a Constitutive Transcriptional Activator: Evolutionary and Functional Implications. *Endocrinology.* 147(8):3861–3869.
- Kong, EH., Heldring, N., Gustafsson, JA., Treuter, E., Hubbard, RE., and Pike, AC. (2005). Delineation of a unique protein-protein interaction site on the surface of the estrogen receptor. *Proc Natl Acad Sci USA.* Mar 8;102(10):3593-8.
- Kajiwara, M., Kuraku, S., Kurokawa, T., Kato, K., Toda, S., Hirose, H., Takahashi, S., Shibata, Y., Iguchi, T., Matsumoto, T., Miyata, T., Miura, T., and Takahashi, Y., (2006). Tissue preferential expression of estrogen receptor gene in the marine snail, *Thais clavigera*. *Gen. Comp. Endocrinol.* 148, 315–326.
- Matsumoto, T., Nakamura, A.M., Mori, K., Akiyama, I., Hirose, H., and Takahashi, Y. (2007). Oyster estrogen receptor: cDNA cloning and immunolocalization. *Gen. Comp.*
- Moehren, U., Eckey, M., and Baniahmad, A. (2004). Gene repression by nuclear hormone receptors. *Essays Biochem.* 40:89-104.
- Nagasawa, K., Treen, N., Kondo, R., Otoki, Y., Itoh, N., Rotchell, J.M., and Osada, M. (2015). Molecular characterization of an estrogen receptor and estrogen-related receptor and their autoregulatory capabilities in two *Mytilus* species. *Gene.* 564: 153–159.
- Preechaphol, R., Klinbunga, S., Yamono, K., and Menasveta, P. (2010). Molecular cloning and expression of progestin membrane receptor component 1 (PGMRC1) of the giant tiger shrimp *Penaeus monodon*. *Gen. Comp. Endocrinol.* 168: 440-449.
- Puinean, A.M., Labadie, P., Hill, E.M., Osada, M., Kishida, M., Nakao, R., Novillo, A., Callard, I.P., Rotchell, and J.M., (2006). Laboratory exposure to 17 $\beta$ -estradiol fails to induce vitellogenin and estrogen receptor gene expression in the marine. *Aquat. Toxicol.* 79, 376–383
- Sternberg, R.M., Hotchkiss, A.K., and LeBlanc, G.A. (2008). The contribution of steroid androgens and estrogens to reproductive maturation of the eastern mud snail *Ilyanassa obsoleta*. *Gen. Comp. Endocrinol.* 156: 15–26.
- Tamrazi, A., Carlson, KE., Rodriguez, AL., and Katzenellenbogen, JA. (2005). Coactivator proteins as vbdeterminants of estrogen receptor structure and function: spectroscopic evidence for a novel coactivator-stabilized receptor conformation. *Mol Endocrinol.* Jun;19(6):1516-28
- Thornton, J.W., Need, E., and Crews, D., (2003). Resurrecting the ancestral steroid receptor: ancient origin of estrogen signaling. *Science.* 301: 1714–1717.
- Warrier, S.R., Tirumalai, R., and Subramoniam, T. (2001). Occurrence of vertebrate steroids, estradiol-17 $\beta$  and progesterone in the reproducing females of the mud crab *Scylla serrata*. *Comp. Biochem. Physiol.* A 130: 283–294.
- Yang, X., Zhao, L., Zhao, Z., Hu, B., Wang, B., Yang, Z., and Cheng, Y. (2012). Immunolocalization of estrogen receptor  $\alpha$  in *Neomysis japonica* oocytes and follicle cells during ovarian development. *Tissue and Cell.* 44: 95– 100.

- Zhang, H., Pan L., Zhang, L., (2012). Molecular cloning and characterization of estrogen receptor gene in the Scallop *Chlamys farreri*: Expression profiles in response to endocrine disrupting chemicals. *Comparative Biochemistry and Physiology, Part C*. 156: 51–57
- Zhu, W., Mantione, K., Jones, D., Salamon, E., Cho, J.J., Cadet, P., and Stefano, G.B. (2003). The presence of 17\_-estradiol in *Mytilus edulis* gonadal tissues: evidence for estradiol isoforms. *Neuroendocrinol. Lett.* 24: 137–140.
- Clark, K.F., Acorn, A.R. and Greenwood, S.J. (2013). Differential expression of American lobster (*Homarus americanus*) immune related genes during infection of *Aerococcus viridans* var. *homari*, the causative agent of Gaffkemia. *Journal of Invertebrate Pathology*, 112, 192-202.
- Collart, M.A. and Panasenko, O.O. (2012). TheCcr4-Not complex. *Gene*, 492, 42-53.
- Conesa, A., Madrigal, P., Tarazona, S., Gomez-Cabrero, D., Cervera, A., McPherson, A., Szczesniak, M.W., Gaffney, D.J., Elo, L.L., Zhang, X. and Mortazavi, A. (2016). A survey of best practices for RNA-seq data analysis. *Genome Biology*, 17:13.
- Garcia-Seco, D., Zhang, Y., Gutierrez-Mañero, F.J., Martin, C. and Ramos-Solano, B. (2015). RNA-Seq analysis and transcriptome assembly for blackberry (*Rubus* sp. Var. Lochness) fruit. *BMC Genomics*. 16:5, 1-11.
- Hass, B.J., Papanicolaou, A., Yassour, M., Grabherr, M., Blood, P.D., Bowden, J., Couger, M.B., Eccles, D., Li, B., Lieber, M., MacManes, M.D., Ott, M., Orvis, J., Pochet, N., Westerman, R., William, T., Dewey, C.N., Henschel, R., LeDuc, R.D., Friedman, N. and Regev, A. (2013). De novo transcript sequence reconstruction from RNA-Seq:reference generation and analysis with Trinity. *NIH Public Access Author Manuscript*, 8, 1-43.
- Hunter, G.A. and Ferreira, G.C. (2011). Molecular enzymology of 5-Aminolevulinate synthase, the gatekeeper of heme biosynthesis. *Biochimical et Biophysica Acta*, 1814, 1467-1473.
- Nam, B.H., Seo, J.K., Go, H.J., Lee, M.J., Kim, Y.O., Kim, D.G., Lee, S.J. and Park, N.G. (2012). Purification and characterization of an antimicrobial histone H1 like protein and its gene from the testes of olive flounder, *Paralichthys olivaceus*. *Fish & Shellfish Immunology*, 33, 92-98.
- Valenzuela-Muñoz, V., Chavez-Mardones, J. and Gallardo-Escárate, C. (2015). RNA-seq analysis evidences multiple gene responses in *Caligus rogercresseyi* exposed to the anti-salmon lice drug azamethiphos. *Aquaculture*, 446, 156-166.
- Varvas, K., Kurg, R., Hansen, K., Järving, R., Järving, L., Valmsen, K., Löheliaid, H. and Samel, N. (2009). Direct evidence of the cyclooxygenase pathway of prostaglandin synthesis in arthropods: Genetic and biochemical characterization of two crustacean cyclooxygenase. *Insect Biochemistry and Molecular biology*, 39, 851-860.
- Waiho, K., Fazhan, H., Shahreza, M.S., Moh, J.H.Z., Noorbaiduri, S., Wong, L.L., Sinnasamy, S. and Ikhwanuddin, M. (2017). Transcriptome Analysis and Differential Gene Expression on the Testis of Organ Mud Crab, *Scylla olivacea*, during Sexual Maturation. *PLOS ONE*, 1-29.
- Watmough, N.J. and Frerman, F.E. (2010). The electron transfer flavoprotein: Ubiquinone oxidoreductases. *Biochimical et Biophysica Acta*, 1797, 1910-1916.
- Zhang, S., Sui, Z., Chang, L., Kang, K., Ma, J., Kong, F., Zhou, W., Wang, J., Guo, L., Geng, H., Zhong, J. and Ma, Q. (2014). Transcriptome *De novo* assembly sequencing and analysis of the toxic dinoflagellate *Alexandrium catenella* using Illumina platform. *Gene*, 537, 285-293.